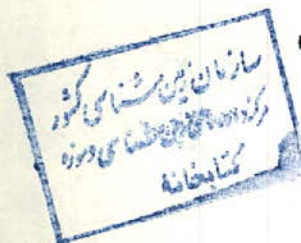


TN  
۴۹۰  
۱۷  
۱۴۵ / ۱۷  
۱۳۷۴

کتبخانه

بنام خدا

## وزارت معدن و فلزات طرح اکتشاف ذخایر بوکسیت

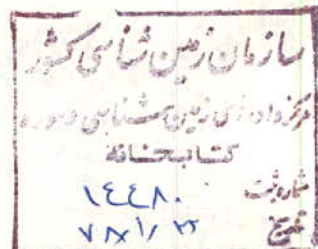


مجری طرح : عبدالحمید سمساریلر

## طراحی، انجام و تحلیل اکتشافات تفصیلی کانسارهای بوکسیت یزد

تهیه کننده : علی اصغر شادمانی

خرداد ۱۳۷۴



# فهرست مطالب

## صفحه

## عنوان

پیشگفتار

چکیده

فصل اول : کلیاتی راجع به بوکسیت

۱ - مقدمه

۲ - تاریخچه اکتشاف بوکسیت

۳ - تعریف بوکسیت

۴ - خواص کانیهای مهم بوکسیت

۵ - توزیع جهانی ذخایر بوکسیت

۶ - شرایط تشکیل بوکسیت

۷ - طبقه بندی ذخایر بوکسیت

۸ - کانیهای تشکیل دهنده بوکسیتها

۹ - لیتوولوژی بوکسیتها

۱۰ - کاربرد صنعتی بوکسیت

۱۰-۱- کاربرد بوکسیت در تولید آلومینا

فصل دوم : موقعیت جغرافیایی و زمین شناسی

۱- زمین شناسی ایران و پیدایش کانسارهای بوکسیت

۲- منطقه غرب یزد

۲-۱- موقعیت جغرافیایی ، راههای دسترسی و آب و هوای

۲-۲- زمین شناسی

۳- منطقه شمال یزد

۳-۱- موقعیت جغرافیایی ، راههای دسترسی و آب و هوای

۳-۲- زمین شناسی

۴۲	فصل سوم : کارهای اکتشافی قبلی و تحلیل آنها بمنظور طراحی پروژه
۴۳	- کانسارهای بوکسیت غرب یزد
۴۴	۱- منطقه صدرآباد
۶۱	۲- گدارزرد " -۲-۱
۷۳	۳- خمسیان " -۳-۱
۸۵	۴- دولاب " -۴-۱
۹۷	۵- نصرآباد " -۵-۱
۱۰۸	- کانسارهای بوکسیت شمال یزد
۱۰۸	۱-۱- پلیت ۴
۱۱۹	۲ " -۲-۲
۱۳۰	۳ " -۳-۲
۱۴۲	۴A " -۴-۲
۱۴۶	۴B " -۵-۲
۱۵۱	۵- منطقه چک چک
۱۵۶	- نتایج تجزیه و تحلیل های مناطق مختلف
۱۵۹	فصل چهارم : کاربرد نتایج در طراحی اکتشاف نیمه تفصیلی
۱۶۰	- مقدمه
۱۶۰	۱- منطقه صدرآباد
۱۶۰	۲- برآورد تعداد نقاط لازم جهت نمونه گیری
۱۶۸	۳- تعیین شبکه و محل های نمونه برداری
۱۶۹	۴- نتایج انجام عملیات اکتشاف نیمه تفصیلی
۱۹۸	۵- منطقه گدارزرد
۱۹۸	۱-۱- بررسی رخنمونهای بوکسیت جهت نمونه برداری
۲۰۳	۱-۲- برآورد تعداد نمونه و تعیین محل های نمونه برداری
۲۰۷	۱-۳- نتایج انجام عملیات اکتشاف نیمه تفصیلی

فصل پنجم: تحلیل نتایج اکتشاف نیمه تفصیلی

- ۲۱۰  
۲۱۱ ۱- منطقه صدر آباد  
۲۱۱ ۱-۱- زمین شناسی  
۲۱۲ ۲-۱- شکل و محدوده کانسار  
۲۱۲ ۳-۱- بررسی زمین آماری بمنظور تخمین ذخیره و عیار  
۲۱۸ ۴-۱- بررسی کیفی ماده معدنی  
۲۱۸ ۵-۱- محاسبه ذخیره ، عیار و حجم باطله کانسار  
۲۳۸ ۲- منطقه گدارزد

منابع

- ۲۳۹  
۲۴۰ ضامن

در کار اکتشاف سیستماتیک چند مرحله کلی وجود دارد که عبارتند از : تعیین هدف ، جمع آوری اطلاعات اولیه ، مشخص کردن پتانسیل ها ، پی جوشی ، اکتشاف مقدماتی ، اکتشاف نیمه تفصیلی ، اکتشاف تفصیلی ، اکتشاف تکمیلی و اکتشاف حین استخراج . در هریک از مراحل فوق یک سری عملیات اکتشافی انجام می شود و از آنجا که هزینه هر مرحله چند برابر مرحله قبل است پس از پایان هر فاز اکتشافی یک بررسی فنی و اقتصادی انجام شده و در صورت رضایت بخش بودن نتایج ، فاز بعدی اکتشاف انجام می شود ، در غیر اینصورت پروژه مردود و یا موقتاً متوقف می گردد .

- طرح تولید آلومینا از طرحهای وابسته به وزارت معادن و فلزات ، کارخانه تولید آلومینا از بوکسیت را در جاجرم از توابع شهرستان بجنورد استان خراسان که در شمال شرقی شهرستان شاهرود و جنوب غربی شهرستان بجنورد واقع شده است در دست احداث دارد . این کارخانه در پنج کیلومتری شرق جاجرم و ۱۲ کیلومتری جنوب غربی معدن بوکسیت جاجرم واقع شده است و سالانه ۲۸۰ هزار تن آلومینای ماسه ای با روش با مر انحلال لوله ای تولید خواهد نمود .

- خوارک مورد نیاز این کارخانه سالانه حدود یک میلیون تن بوکسیت با عیار متوسط ۴۷ درصد Al2O3 و ۱۵/۳ درصد SiO2 می باشد که بدیهی است بالا بودن میزان Al2O3 و پایین بودن درصد سیلیس باعث اقتصادی تر شدن پروژه تولید آلومینا خواهد شد . زیرا جهت جداسازی سیلیس در فرآیند به سود سوزآور نیاز است که مصرف آن با درصد سیلیس نسبت مستقیم دارد . قسمت عمده سنگ معدن بوکسیت این کارخانه از معدن جاجرم تامین می گردد و بخشی از آن نیز از سایر معدن بوکسیت که تعدادی از آنها از جمله : یزد ، سفاریاب ، سرچاوه و آبگرم توسط طرح اکتشاف بوکسیت در دست مطالعه می باشند تامین خواهد شد . عیار حدی برای

بوکسیت جهت مصرف در کارخانه برابر ۴۰ درصد Al2O3 و ۱۵ درصد SiO2 در نظر گرفته شده است.

کانسارهای بوکسیت یزد به دو بخش اصلی تقسیم می‌شوند، یکی کانسارهای شمال یزد که در ۳۵ کیلومتری شمال یزد واقع شده است و بخش دوم کانسارهای غرب یزد می‌باشد که در فاصله حدود ۱۰۰ کیلومتری جنوب غربی یزد واقع گردیده است. کارهای اکتشافی اولیه شمال یزد توسط سازمان زمین‌شناسی کشور انجام گردیده و پس از نمونه برداری سطحی یک نقشه در مقیاس ۱:۲۰۰۰ از قسمتهای از ماده معدنی تهیه گرده است.

پس از آن طرح اکتشاف بوکسیت در سال ۱۳۶۷ مطالعاتی بر روی کانسارهای بوکسیت غرب یزد انجام داد و پس از نمونه برداری سطحی از قسمتهای مختلف آن، یک گزارش بهمراه نقشه زمین‌شناسی در مقیاس ۱:۲۰۰۰۰ تهیه گردید. در سال ۱۳۷۰ یک گزارش تحت عنوان مطالعات آماری کانسارهای بوکسیت یزد توسط آقای دکتر حسنی پاک‌تهیه گردید و در آن پتانسیل‌های اولویت‌دار مشخص شده. همچنین در سال ۱۳۷۰ نقشه‌های زمین‌شناسی ۱:۲۰۰۰ و ۱:۵۰۰۰ از شمال و غرب یزد تهیه شد. در سال ۱۳۷۲ مجدداً "طرح اکتشاف ذخایر بوکسیت" کانسارهای بوکسیت شمال و غرب یزد و منطقه چک‌چک را مطالعه نمود و مورد نمونه برداری سطحی قرارداد که شامل تکمیل مرحله اکتشاف مقدماتی می‌شد. پس از آن ادامه کار اکتشاف مدنظر قرار گرفت و با توجه به کیفیت مناسب بخشی از این کانسارات ادامه کار اکتشاف توجیه پذیر شد.

گزارش حاضر تحت عنوان طراحی و انجام عملیات اکتشاف نیمه تفصیلی کانسارهای بوکسیت یزد می‌باشد، همانطور که ذکر شد از آنجایی که عملیات اکتشافی این مرحله همراه با حفاری اکتشافی است انجام آن هزینه زیادتری نسبت به مراحل قبلی در بر خواهد داشت، لذا در این مرحله از اکتشاف بایستی مطالعات و اطلاعات موجود از کانسارت دقیقاً بررسی شده و سپس مناطق مناسبتر جهت عملیات اکتشاف نیمه تفصیلی انتخاب شوند. در این گزارش نیز با در نظر گرفتن پارامترهای تعیین

کننده اقتصادی از جمله عیار حدی کانسار ، نسبت باطله به کانه ، موقعیت جغرافیایی ، میزان ذخیره قابل استعمال اقتصادی و ... پس از بررسی داده های اکتشافی موجود از تک تک مناطق شمال ، غرب و منطقه چک چک مناطق با کیفیت مناسبتر انتخاب گردیدند .

کزارش موجود شامل پنج فصل است . در فصل اول کلیاتی راجع به بوکسیت از جمله شناسایی سنگ معدن بوکسیت ، توزیع جهانی ذخایر بوکسیت ، شرایط تشکیل بوکسیت ، طبقه بندی ذخایر بوکسیت ، کاربرد بوکسیت و ... مطالبی آمده است .

- در فصل دوم موقعیت جغرافیایی و زمین شناسی مناطق مورد مطالعه شامل شمال و غرب یزد بررسی شده است .

- در فصل سوم کارهای اکتشافی انجام شده قبلی برای تک تک مناطق شمال و غرب یزد بررسی و تجزیه و تحلیل شده اند تا از نتایج آنها جهت طراحی پروژه در فاز اکتشاف نیمه تفصیلی بهره گرفته شود و در نهایت در این فصل جمع بندی از تجزیه و تحلیل ها انجام گرفته و مناطق مناسبتر مشخص شده اند .

- در فصل چهارم از نتایج تحلیل داده ها که در فصل سوم انجام شد استفاده شده و طراحی پروژه برای مناطق صدرآباد و کدارزرد انجام شده است و در همین فصل نتایج عملیات نیمه تفصیلی نیز آورده شده است .

- در فصل پنجم که آخرین فصل این نوشتار است نتایج اکتشاف نیمه تفصیلی تجزیه و تحلیل شده اند و برای کانسار بوکسیت صدرآباد تحلیل های آماری و زمین آماری انجام گرفته است و کانسار از دید کمی و کیفی و سایر ابعاد بررسی شده است .

در اینجا لازم است از آقایان دکتر حسنی پاک و دکتر میر محمدی اساتید راهنمای اینجانب تشکر و قدردانی شود .

همچنین از آقای مهندس سمساریلر مجری طرحهای تولید آلومینا و اکتشاف  
بوکسیت که امکانات اجرای این پروژه را در اختیار اینجانب قرار دادند  
تشکر می شود .  
لازم است از خانم داودآبادی که تایپ این گزارش را بر عهده داشتند  
تشکر شود .

علی اصغر شادمانی

خرداد ۷۴

بوکسیت سنگ معدن فلز آلومینیوم بوده و مشتمل از کانیهای دیاپلور، بوهمیت، گیبسیت و کانیهای آهن، تیتان و سیلیس می باشد.

این کاسنگ از نوع ذخایر بر جای مانده است. کانسارهای بوکسیت در دورانهای مختلف زمین شناسی تشکیل شده، در ایران نیز در دورانهای پرمین، تریاس و کرتاسه بوکسیت کشف شده است. کانسارهای بوکسیت بسته به نوع سنگ بستر آنها به انواع کارستی و لاتریتی تقسیم بندی می شوند و کانسارهای ایران از نوع کارستی می باشند. کانسارهای بوکسیت یزد در شمال و غرب یزد رخنمون دارند. در شمال یزد بین رسوبات پرمین و ژوراسیک در مناطق دشتده و چکچک و در غرب یزد بین رسوبات تریاس و ژوراسیک در مناطق نصرآباد تا صدرآباد بوکسیت مشاهده می شود.

کارهای اکتشاف مقدماتی در شمال و غرب یزد قبلاً انجام شده است. در این مرحله بررسی و تجزیه و تحلیل داده های تک تک کانسارهای شمال و غرب یزد نشان داد که در منطقه شمال یزد تنها بخشی از کانسارهای پلیت 2B و چکچک و بطور جزئی در سایر کانسارها بوکسیت با کیفیت خوب مشاهده می شود. میانگین درصد Al2O3 و SiO2 در منطقه شمال یزد بترتیب ۴۲/۲ و ۱۳/۶ می باشد. از طرفی سایر عوامل از جمله صعوبت استخراج بدلیل شیب زیاد لایه ها و نامناسب بودن افزار ماده معدنی باعث شد که کار اکتشاف این کانسارها متوقف گردد و جهت اکتشاف نیمه تفصیلی توجیه پذیر نباشد. در منطقه غرب یزد از پنج کانسار تنها کانسارهای صدرآباد و گدارزرد دارای کیفیت و موقعیت مناسبی بودند. میانگین عیار Al2O3 و SiO2 در منطقه غرب یزد بترتیب ۴۶/۷ و ۸ درصد می باشد. لذا بررسی های انجام شده نشان داد که تنها در منطقه غرب یزد برای کانسارهای صدرآباد و گدارزرد اکتشاف نیمه تفصیلی توجیه پذیر می باشد. با مشخص شدن مناسبترین محل ها برای ادامه اکتشاف طراحی عملیات اکتشافی برای آنها انجام گردید. شواهد

زمین شناسی و رخنمون کانسار در منطقه صدر آباد نشان می داد که کانسار باشیب کم در وسعت تقریباً " زیادی وجود داشته و با کمانه های کم عمق قابل اکتشاف می باشد ، لذا با بدست آمدن تعداد نقاط حفاری با روش‌های آماری و مشخص بودن وسعت تقریبی محدوده شبکه مربوطی با ابعاد ۵۰×۵۰ متر برای حفاری بدست آمد و یک نقشه برای آن تهیه شد و تعداد ۲۰۲ نقطه حفاری شد که ۱۷۴ نقطه آن تا کمر پایین ماده معدنی حفاری گردید و در بخش اعظمی از منطقه ای که پیش بینی می شد کانسار وجود داشته باشد تا عمق مناسب برای استخراج روباز بوکسیت کشف گردید . برای منطقه گدارزرد نیز تعداد نقاط لازم جهت حفاری و نمونه برداشی مشخص شد و در طول رخنمون کانسار محل های آن تعیین و حفاری گردید . پس از انجام عملیات اکتشاف نیمه تفصیلی ، اطلاعات بدست آمده از آنها تجزیه و تحلیل گردید و مشخص گردید در منطقه صدرآباد کانسار به صورت تقریباً " لایه ای به وسعت حدود ۳۵ هکتار به ضخامت تا حد اکثر ۸ متر، بوکسیت وجود دارد و مقاطع اکتشافی از پروفیل های حفاری تهیه گردید . مطالعات آماری و زمین آماری نیز برای پارامترهای مختلف کمی و کیفی کانسار انجام شد و مشخص گردید در کانسار ساختار وجود دارد و روند خاصی در آن مشاهده نشد . تخمین های لازم برای عیار و ذخیره کانسار انجام شد و مشخص گردید در منطقه صدرآباد حدود ۲/۵ میلیون تن بوکسیت با عیار ۴۸ درصد Al2O3 و ۹ درصد SiO2 با نسبت باطله به کمانه حدود ۶ وجود دارد . در منطقه گدارزرد بدليل تکتونیک شدید و نفوذ توده های آذرین متعدد ، کیفیت و پیوستگی ماده معدنی در عمق چندان مطلوب نبود .

## فصل اول : کلیاتی راجع به بوسیت

## ۱- مقدمه

آلومینیم فراوانترین فلز پوسته زمین، و بعد از اکسیژن دومین عنصر از نظر فراوانی میباشد. این فلز به علت خواص، سبکی، هدایت الکتریکی، مقاومت مکانیکی، رنگ روشن و ... استفاده فراوانی در صنعت امروزی دارد. این فلز را میتوان از منابع معدنی نفلین سینیت، آلونیت، رسها و بوکسیت تهیه نمود، ولی بوکسیت پر معرفت‌ترین سنگ معدن در تهیه آلومینا و فلز آلومینیم میباشد. برای تهیه این فلز از بوکسیت اکثراً از روش بایر و روشهای اصلاح شده آن استفاده میشود.

## ۲- تاریخچه اکتشاف بوکسیت

اولین بار در سال ۱۸۲۱ میلادی شیمیدان فرانسوی بنام برتیر (Berthier) بوکسیت را کشف کرد، و آن را بعنوان رسهای قرمز فروسیلیس خواند. برتیر نام بوکسیت را به دلیل وجود آن در ناحیه لی بوکس (Lesbarux) در جنوب فرانسه، جاییکه اولین بار نمونه برداری نمود، انتخاب کرد.

## ۳- تعریف بوکسیت

باردوشی در سال ۱۹۷۶ میلادی بوکسیت را به شرح زیر تعریف کرد:

نوعی سنگ رسوی که مجموع هیدرو اکسیدها و اکسیدهای Al، Fe و Ti بیشتر از ۵ درصد بوده و کانیهای Al بیشترین مقدار را دارا می‌باشند. و در جای دیگر بوکسیت را بعنوان سنگهای تخربی بر جای مانده که میزان اکسیدهای آلومینیوم، آهن و تیتان آنها بیش از ۵ درصد باشد، و میزان اکسید آلومینیوم بیش از دو اکسید دیگر باشد تعریف کرده‌اند. بوکسیت را اینطور نیز میتوان تعریف کرد: به نوعی خاک یا سنگی که بخش عده آن را اکسیدهای آلومینیوم داریا هیدرو اکسیدهای آن تشکیل می‌دهند، بوکسیت گفته می‌شود. و کانیهای آلومینیوم آن گیبسیت، بوهمیت و دیاسپور هستند.

## ۴- خواص کانیهای مهم بوکسیت

دیاپور	بوهمیت	گیبسیت :	کانی
A1203.H20	A1203.H20	A1203.3H20 :	فرمول
۸۵	۸۵	۶۵/۴ :	% A1203
۱۵	۱۵	۳۴/۶ :	% H20
ارتور مبیک	ارتور مبیک	سیستم تبلور :	منوکلینیک
۶/۵-۷	۳/۵-۵	۲/۳-۳/۵ :	سختی
۴/۳-۳/۵	۳/۶۰	۲/۳-۲/۴ :	وزن مخصوص

## ۵- توزیع جهانی ذخایر بوکسیت

### ۱- توزیع چینه شناسی Stratigraphic Distribution

در طول تاریخ عمر کره زمین تنها زمانهای خاصی شرایط برای تشکیل بوکسیت مناسب بوده است، و تعدادی از ذخایر نیز پس از تشکیل فرسایش یافته‌اند. تشکیل بوکسیت قبل از پالئوزوئیک شناخته نشده است و قدیمی‌ترین بوکسیتها مربوط به دوره کامبرین می‌باشند. بیشترین ذخایر در دورانهای دوم و سوم تشکیل شده‌اند و در کرتاسه فوقانی و پالئوسن - اثوسن به اوج خود رسیده است. مطالعات نشان داده است که در دورانهای زیر شرایط هوا (هوای گرم) و رسوب‌گذاری برای تشکیل بوکسیت مساعد بوده است.

- از اوایل کامبرین تا اواخر اردوبیسین؛

- در طول اوایل کربونیفر؛

- در طول اواخر پرمین؛

- از اواخر پالثوسن تا اوایل میوسن;
- در طول اواخر پلیوسن .

بوکسیتهای شناخته شده نیز تقریباً منطبق بر همین زمانها می باشد .  
ذیلاً "توزيع بوکسیت در دورانهای مختلف زمین شناسی بررسی می شود .

### دوران اول Paleozoic

- کامبرین تا کربونیفر From combrian to carboniferous

---

در کامبرین تعداد کمی ذخایر بوکسیت از نوع کارستی شناخته شده است و در دوره های اردوبیسین ( Ordovician ) و سیلورین ( Silvorian ) بوکسیتی دیده نشده است ، و فقط ذخایر کوچکی از نوع ذخایر قراستان در اواخر اردوبیسین تشکیل شده است . پس از آن اولین بوکسیت ها در دونین میانی ( Middle Devonian ) و اواخر کربونیفر مشاهده شده است ، که بعداز واقعه کوهزائی هرسینین به شکل ذخایر کارستی دیده شده است . اولین ذخایر لاتریتی نیز در دونین میانی تشکیل شده است ، و در رشته کوه تیمان می باشد ولی اکثر آنها فرسایش یافته است در اواخر کربونیفر دو ذخیره کوچک لاتریتی شناخته شده است ، که یکی در فرانسه و دیگری در پنسیلوانیا است .  
بیشترین ذخایر بوکسیت کارستی در دوران اول ، در دوره کربونیفر تشکیل شده است که ۱۲ درصد ذخایر کارستی را شامل می شود .

### - پرمیان Prmian

---

بوکسیتهای کارستی در جنوب ترکیه ، شمال چین ، ویتنام و کامبوج شناخته شده است . بوکسیتهای لاتریتی در اواخر پرمیان مشاهده نشده است و فقط نوع تیکوین در پرمیان بالایی در چین شناخته شده است .

در پرموترياس و اوائل ترياس بوكسيتهاي کارستی شکل گرفته ، که شامل رشته کوه پامير در روسیه ، سلسله البرز و بوكان در ایران می باشد . بوكسيتهاي لاتريتي در اين زمان کزارش نشده است .

### دوران دوم Mezozoic

#### - ترياس Triassic

اواخر ترياس مجددا " هوا مرطوب شده و تعداد کمي ذخیره بوكسيتی کارستی تشکيل شده است که در کمربند تپیس بوده و شامل بوكسيتهاي جاجرم در شمال ایران و منطقه يزد و کرمان در جنوب ایران است .

#### - ژوراسيک Jurassic

در دوره ژوراسيک ذخادر قابل توجهی تشکيل نشده است . در دوره لياس (Lias) تعداد کمي ذخیره کوچک تشکيل شده ، از جمله یونان و اسرائیل . در دوکر (Dogger) تعداد ذخیره کوچک کارستی و لاتريتي شکل گرفته ، که نوع لاتريتي آن در تركيه میباشد . در مالم (Malm) در یونان مرکزي تعداد ذخیره کارستی تشکيل شده و بوكسيت لاتريتي در اين زمان شناخته نشده است .

#### - کرتاسه Cretaceous

در کرتاسه پايینی تعداد کمي ذخیره بوكسيت کارستی تشکيل شده ، ولی در کرتاسه بالايی در اکثر جاها بوكسيت بوفور شکل گرفته است . بوكسيتهاي لاتريتي در آفريقيا ، هند ، ماداگاسکار و شمال غربی استراليا شکل گرفته ، و ذخایر کارستی در اطراف مدیترانه ، فرانسه ، اسپانيا ، مجارستان ، یوگسلاوی ، یونان و رشته کوه زاگرس در ایران در اين زمان مشاهده می شود .

## دوران سوم Cenozoic

### - پالئوسن و ائوسن Paleocone and Eocene -

در پالئوسن و ائوسن شرایط آب و هوایی برای بوکسیت‌زایی بهتر شده است. بوکسیتهای لاتریتی در برزیل، غرب آفریقا، شمال شرق آفریقا، هند و غرب استرالیا شکل گرفته است. بوکسیتهای کارستی در مقیاس بزرگ در ناحیه مدیترانه در فرانسه، مجارستان، یوگسلاوی، یونان، اسپانیا و ترکیه تشکیل شده‌اند در ایالات متحده نیز هر سه نوع بوکسیت تشکیل شده است.

### - اولیکوسن و میوسن Miocen and Oligocene -

در اواخر این دوره "مجدداً" هوا گرم شده و در میوسن میانی Middle Miocen به اوج خود رسیده است. تشکیل بوکسیت در حوضه آمازون ادامه پیدا کرده و بوکسیتهای لاتریتی در جنوب شرق آسیا، ویتنام جنوبی، اندونزی و مالزی شکل گرفته است. بوکسیتهای کارستی در جامایکا و هائیتی تشکیل شده‌اند.

### - پلیوسن و پلیستوسن Pliocene and Pleistocene -

در پلیوسن و اوایل پلیستوسن در ویتنام جنوبی، لائوس و کامبوج بوکسیتهای فراوانی شکل گرفته است.

### - توزیع جغرافیایی Geographic distribution

#### بوکسیتهای کارستی

مناطقی که در آن بوکسیت کارستی شناخته شده است شامل هفت زون

به شرح زیر می باشد .

- ۱- بوکسیتهای کارستی اروپا در شمال مدیترانه که به کمربند بوکسیت مدیترانه معروف است .
- ۲- زون بوکسیتی کمربند ایران و هیمالیا که از شرق ترکیه تا شمال غرب ایران و افغانستان ، پاکستان و تا کشمیر ادامه دارد .
- ۳- بوکسیتهای کارستی غرب آقیانوس آرام (Pacific) که کمربند بوکسیتی پاسیفیک را تشکیل میدهند .
- ۴- بوکسیتهای ناحیه شرق آسیا از کامبوج و ویتنام تا چین که کمربند شرق آسیا را شامل می شود .
- ۵- کمربند بوکسیتی اورال ، سیبری و مرکز آسیا که بخش مهم بوکسیتی آسیا و شرق اروپا و بخشی از شوروی را دربر می گیرد .
- ۶- کمربند بوکسیتی کارپین که شامل کارپین جامایکا و کوبا می شود .
- ۷- نهایتاً " تعدادی ذخیره بوکسیتی فرعی در آمریکا می باشد که کمربند شمال آمریکا را شامل می شود .

#### بوکسیتهای لاتریتی

مجموعاً " پنج ایالت اصلی و سه ایالت فرعی از این نوع بوکسیت در جهان شناخته شده است .

- ۱- ایالت پلات فرم آمریکا : در این ایالت چهار زیر ایالت و مجموعاً ۱۵ منطقه بوکسیتی شناخته شده است .
- ۲- ایالت غرب آفریقا : با ۲۱ منطقه بوکسیتی که در غرب کراتون آفریقا واقع شده است ، بزرگترین ذخایر در گینه ، کامرون ، غنا و مالی می باشد .
- ۳- ایالت هند : پنج ذخیره بزرگ این ایالت در شرق قاتاس (Ghats) واقع شده است .
- ۴- ایالت جنوب شرق آسیا : این ایالت با دو زیر ایالت و ۷ منطقه بوکسیتی بوده است ، که بزرگترین ذخایر آن در ویتنام است ، و

به طرف غرب گسترش می یابد و تا به کامبوج و لائوس می رسد .  
ذخایر کوچکتر در اندونزی و مالزی واقع شده اند .

۵- ایالت شمال و شرق استرالیا : در این ایالت هفت منطقه در شمال  
و شرق کراتون استرالیا واقع شده اند .

۶- ایالت جنوب شرقی برزیل : این ایالت شامل پنج منطقه بوکسیتی  
است .

۷- ایالت جنوب شرقی آفریقا : این ایالت شامل پنج منطقه بوکسیتی  
می باشد .

۸- ایالت جنوب شرقی استرالیا : در این ایالت نیز تعدادی ذخیره  
کوچک شناخته شده است .

#### ذخایر نوع تیکوین

این نوع ذخایر در سه ایالت به شرح زیر شناخته شده اند :

۱- ایالت شرق اروپا : حدود ۴۰ درصد از این نوع بوکسیت ها را  
این ایالت بخود اختصاص می دهد که بزرگترین این ذخایر در  
شرق لینگراد و در نزدیکی تیکوین واقع شده است .

۲- ایالت کره و چین : در این ایالت حدود ۵۰ درصد ذخایر بوکسیتی  
نوع تیکوین وجود دارد .

۳- ایالت شمال امریکا : این ایالت فقط ۵ درصد این نوع ذخایر را  
شامل می شود و در جنوب شرقی ایالت جورجیا ، آلاباما و تنسیس  
واقع شده اند .

#### ۶- شرایط تشکیل بوکسیت

بوکسیت زاٹی یک فرایند هوازدگی است که ممکن است به یک شکل خاص  
از خاک زاٹی متمایل شود این عمل در سطح زمین یا مناطق کم عمق و در

نزدیکی سطح انجام می شود عمل بوکسیت زائی در اعماق و بعد از مدفون شدن ادامه پیدا نمی کند . شرایط فوق در بوکسیتهای کارستی و لاتریتی هر دو صادق می باشد . فرایند بوکسیت زائی در شرایط خاص و در دورانهای خاصی از کره زمین اتفاق افتاده است .

### شرایط آب و هوایی

امروزه مشخص شده است که عمل لاتریتی شدن به یک رنج مشخص از شرایط مرطوب استواهی محدود می شود . سینتسین در سال ۱۹۷۶ (Sinitcsyn) شرایط آب و هوایی را برای تشکیل بوکسیت به شرح زیر می دارد

میانگین حرارت سالانه	۲۶ درجه سانتی گراد
میانگین حرارت ماههای گرم	۳۰ درجه سانتی گراد
میانگین حرارت ماههای سرد	۲۰ درجه سانتی گراد
تعداد ماههای با بارندگی	۱۰-۱۱ ماه
تعداد ماههای خشک	۱-۲ ماه
بارندگی سالانه	۱۵۰۰ - ۱۲۰۰ میلی متر
نوع آب و هوای	استواهی

شرایط برای بوکسیتهای کارستی نیز مشابه بوکسیت لاتریتی است ، تشکیل بوکسیت کارستی که اکنون در جزایر غربی اقیانوس آرام انجام می شود حرارت ۲۳ درجه و بارندگی ۱۶۰۰ میلی متر را دارد .

### نقش پوشش کیاھی

پوشش کیاھی نیز در تشکیل لاتریت نقش مؤثری دارد ، بیشتر مناطقی که اکنون لاتریت تشکیل می شود از کیاھان پوشیده شده ، در جزایر اقیانوس آرام بوکسیتهای کارستی بوسیله جنکل متراکم ولی کوتاه قد پوشیده شده است .

به گفته لورینگ (Lovering ۱۹۵۹) مناطقی که پوشش کیاھی دارند سیلیس در آنجا براحتی حل می شود . البته تشکیل بوکسیت بدون کیاھان

بعید به نظر نمی رسد زیرا بوکسیت از اواخر پر کامبرین و کامبرین نیز کزارش شده است ، ولی در آن زمان پوشش کیاهی در کره زمین وجود نداشته است . انحلال سیلیس بوسیله میکروارگانیزم ها نیز ممکن است انجام گیرد ، زیرا میکروارگانیزم ها نیز می توانند سیلیکاتها را متلاشی کنند .

#### ژئومرفولوژی (Geomorphology)

تشکیل بوکسیت کارستی احتیاج به محل مرتفعی دارد تا در مرحله دوباره رسوب کردن اولیه مواد خارجی نتوانند با بوکسیت مخلوط شوند . اغلب بوکسیتها می توانند در جزایر بزرگ و یا کوچک که از دریاها کم عمق بیرون آمده است شکل بگیرند ، در جاهایی که کوههای مرتفع نبوده و مراحل برای فرسایش بوجود نیاید .

#### آبهای زیر زمینی

یکی از نیازهای بوکسیت زایی وجود آبهای زیرزمینی می باشد . حرکت آبهای زیر زمینی برای انتقال سیلیس سیلیکاتها می توانند شده برای بوجود آمدن بوکسیت لازم می باشد . در جاهایی که آب زیرزمینی بالاتر از محل کارستها و یا سنگ مادر بوکسیت می باشد عمل بوکسیتی شدن بکنندی انجام می شود .

#### سایر عوامل

سایر عوامل مؤثر در تشکیل بوکسیت می توانند عامل زمان و پارامترهای فیزیکوشیمیایی و .... باشند .

## ۷- طبقه بندی ذخایر بوکسیتی

بوکسیتها بوسیله متخصصین از چندین جنبه مطالعه و بررسی شده اند . برای مثال : زمین شناسی ، زمین شناسی مهندسی ، خاک شناسی و تکنولوژی آلومینا ، ولی متسافانه این تقسیم بندی ها کاملاً "برهم منطبق نیستند .

برای بیشتر کانیها اساس تقسیم بندی می تواند بر روی ترکیب شیمیایی آنها باشد . مشابه ترکیب شیمیایی بوکسیتها نیز بوسیله لپارنت در سال ۱۹۳۰ (J.De Lapparent) برای تشخیص انواع مختلف آن بکار گرفته شد . نسبت آلومینا به سیلیس و آهن که در واقع جزو ترکیبات شیمیایی اصلی بوکسیتها می باشد به عنوان یک معیار طبقه بندی بکار گرفته شد . این طبقه بندی اکنون کاربردی ندارد ولی در کشورهای سوسیالیستی سابق برای تشخیص بوکسیتهای با عیار بالا و با عیار پایین از این فاکتور که مدول (Module) نامیده می شود استفاده می کنند .

$$\text{Module} = \text{Al}_2\text{O}_3\% / \text{SiO}_2\%$$

ترکیب کانی شناسی نیز می تواند برای طبقه بندی چندین نوع بوکسیت استفاده شود . شیندرهون (Schneiderhon) در سال ۱۹۴۴ بوکسیتها را بر اساس ترکیب کانیهای آلومینای اصلی آنها یعنی دیاسپور ، بوهمیت و گیبسیت طبقه بندی کرد . کونتا (Konta) در سال ۱۹۵۸ و والتون (Valeton) در سال ۱۹۶۲ یک دیاگرام مثلثی تشکیل دادند و کانیهای آلومینیوم ، آهن و رس را در رئوس این مثلث قرار دادند . در این دیاگرام کونتا پنج نوع و والتون ده نوع بوکسیت را تشخیص دادند . مسئله مشترک در طبقه بندی کانی شناسی و شیمیایی این است که بیشتر ذخایر بوکسیتی دارای یک ترکیب کانی شناسی و شیمیایی ناهمگنی هستند . بنابراین ، این نوع طبقه بندی همه جا عملی نبوده و فقط در برخی از ذخایر کاربرد دارد ( ذخایر دست نخورده Entire Deposits ) به این دلیل باردوشی (Bardossy) در سال ۱۹۸۲ کاربرد این طبقه بندی را برای

تشخیص انواع بوکسیتها برای مقاصد سنگ شناسی ، شکل ذخایر و موقعیت زمین شناسی آنها پیشنهاد کرد و در برخی از انواع ذخایر می تواند معیار مناسبی باشد مانند ذخایر دست نخورده که اشاره شد .

کروب (Grubb) در سال ۱۹۷۳ با اختلاف بافت ساخت ، ضخامت و ژئومتری بوکسیتها یی که در ارتفاعات بالاتر و پایین تر هستند پی برد . بر این اساس او دو نوع اصلی بوکسیت تشخیص داد که عبارتند از :

- بوکسیتهای نواحی مرتفع

- بوکسیتهای دشت گون ( پست و هموار )

این نوع طبقه بندی بر می کردد به ارتفاعی که بوکسیت در آن شکل گرفته است . ولی این برای حالتی که ذخایر قدیمی بوده و در طول تاریخ زمین بوسیله حرکات تکتونیکی قائم در ارتفاع پایین و بالا قرار گرفته اند ، معیاری ندارد . و همچنین تشخیص ارتفاع اولیه بوکسیتهای حمل شده برای ما غیر ممکن است . حتی کروب عقیده دارد که در طی زمانهای طولانی یک نوع از ذخایر ممکن است مشخصات نوع دوم را بخود گیرد . ولی کاربرد این طبقه بندی بدلیل روش نبودن آن توصیه نشده است .

هارد (Harder) و گریج (Greig) در سال ۱۹۶۰ طبقه بندی زیر را پیشنهاد کردند .

- ذخایر پتوای Blanket Deposits

- ذخایر بین لایه ای (Inter layer) لایه های ناپیوسته ولنزی - لایه ای در سنگهای رسوبی و آذرین یا در طول کن tact بین سنگهای آذرین و رسوبی با سنگهای جوانتر .

- ذخایر پاکتی Pocket Deposits پر شدن و سنگ شدن مواد در داخل سنگ آهک و دلومیت .

این طبقه بندی بوسیله پترسون (Patrerson) در سال ۱۹۶۷ و همچنین بوسیله وی و همکار انش در سال ۱۹۸۶ تیزبکار گرفته شد . این اختلاف در شکل و موقعیت ذخایر را بهتر از طبقه بندی که بوسیله کروب

انجام شد روش می کند، ولی هنوز وضوح و آشکاری آن باقی می ماند . سپس پترسون اظهار می کند که در کروه ذخایر پاکتی بعضی از انواع بزرگ آنها لنزهای لایه‌ای هستند که بشكل پتو (Blanket) درآمده اند . برای ذخایر بین لایه‌ای او اطمینان میدهد که آنها باقیمانده ذخایر برجای مانده بلنکت قدیمی هستند که بوسیله سنگهای جوانتر پوشیده شده اند .

پایو (Peive) در سال ۱۹۴۷ اولین کسی بود که اهمیت تکتونیک را در تشخیص ذخایر اظهار کرد، و دو نوع ذخیره براساس تکتونیک تشخیص داد .

Deposit in Geosynclinal zones

- ذخایر زون ژئو سنکلینال

Deposit in Platform areas

- ذخایر نواحی پلات فرم (دشت‌کون)

این نوع طبقه‌بندی می‌کوید که ذخایر بر روی سنگهای کربناته قرار گرفته اند ، و به نظر پویا باید منشاء دریایی داشته باشد . آنها که در پلات فرم هستند بر جای مانده بوده و در دریاچه‌ها و یا مردابها ذخیره شده اند جزویات بیشتر طبقه‌بندی تکتونیکی بوسیله کروتسکی (Coretsky) در سال ۱۹۶۰ پیشنهاد شده است . مخالفت اصلی روی طبقه‌بندی ژئوتکتونیکی این است که فرایند تکتونیکی به طور غیر مستقیم در بوکسیت‌زایی تاثیر دارد ، بنابراین نمی‌تواند معیار اصلی طبقه‌بندی انواع ذخایر باشد .

چندین طبقه‌بندی صرفا " ژنتیکی نیز پیشنهاد شد . برای مثال ویکولوا (Vikulova) در سال ۱۹۴۶ پنج نوع ذخیره در حول فرایند های زمین شناسی بوکسیت زایی تشخیص داد . معیار اصلی طبقه‌بندی برای بوشینسکی (Bushinsky) در سال ۱۹۷۵ و کیرپال (Kirpal) در سال ۱۹۷۷ یک اختلاف بین ذخایر برجای مانده و رسوی است . در یک طبقه‌بندی ژنتیکی دقیق‌تر که بوسیله ساپوشینو (Saposhinov) در سال ۱۹۲۵ انجام شد پانزده نوع ذخیره با منابع مختلف تشخیص داده شد . اشکال و غیر سودمندی مشترک طبقه‌بندی‌های ژنتیکی این است که چندین معیار از مشخصه‌های تئوری آن برداشته شده است ، و

علاوه بر آن در میدان عمل و کاربرد غیر ممکن است. همچنین مدت طولانی نیاز است تا درباره موقعیت ذخایر در این سیستم تعمیم گرفته شود. "نهایتاً" منشاء چندین نوع ذخیره هنوز قویاً مورد بحث می باشد.

بیشترین دامنه طبقه بندهای براساس سنگ‌شناسی سنگ‌بستر و در موارد خاص روی سنگ‌شناسی سنگ‌مادر می باشد. ایده اساسی در طبقه بندي سنگ بستر و سنگ مادر این است که نه تنها بر روی ترکیب و لیتو‌لوژی بوکسیت بلکه بر روی شکل آن نیز تاثیر می کذارد.

اولین بار فاکس (Fox) در سال ۱۹۳۷ واژه بوکسیت‌لاتریتی (Lateritic bauxite) را برای ذخایری که از سنگ‌های آلومو‌سیلکاته منتج شده اند و بوکسیت‌های تراروسا (Terarosa) را برای آنهایی که احتمالاً از تراروسا منتج شده اند و بقایای برجای مانده هوازدگی سنگ آهک و دولومیت هستند بکاربرد. طبقه بندي مشابهی در کارهای دوایس (De veisse) در سالهای ۱۹۴۸، ۱۹۶۴ و ۱۹۷۶ بکار گرفته شده بود. واداس (Vadasz) در ۱۹۵۱ کسی بود که پیشنهاد کرد ذخایر گروه دوم را ذخایر بوکسیت‌های کارستی بنامند (Karst bauxite deposits). این نوع طبقه بندي اختلاف هوازدگی شیمیایی روی سنگ‌های آلومو‌سیلکاته و کربناته را منعکس می کند. بین طبقه بندي بر اساس سنگ مادر که بوسیله هاردر (Harder) در سال ۱۹۵۲ و باردوشی و والتون (Valton) در سال ۱۹۷۲ انجام شد. اختلاف اساسی کمتری دیده می شود.

در اصل همه طبقه بندهای گفته شده در بالا برای کاربرد مناسب هستند بجز اینکه مرز این طبقه بندهای به خوبی معین نیست. در سال ۱۹۸۲ طبقه بندي زیر بوسیله باردوشی پیشنهاد شد.

#### ۱- بوکسیت‌های لاتریتی Lateritic Bauxites

این ذخایر برجای مانده و منتج از سنگ‌های آلومو‌سیلکاته زیرین

که در زیر این طبقات قرار گرفته اند می باشد، و این نوع شامل بوکسیتهاي دوباره ذخیره شده در خارج از مرزهاي اين نوع ذخیره می باشد .

#### ۲- بوکسیتهاي نوع Tikvin type Bauxite

این نوع ذخایر بوکسیتهاي آواري (Detrital) هستند که از فرسايش سطحي سنگهاي آلوموسيليكاته بوجود آمده اند و از فرسايش ذخایر بوکسیتهاي لاتريتي توليد می شوند . علت جدا کردن اين نوع ذخایر فاصله زياد حمل شدن آن است . در تعدادي از حالات فرسايش كامل سنگهاي مادر بوکسیتهاي لاتريتي نيز اتفاق می افتد، اين نوع ذخایر در نزديكى شهر Tikvin (Tikvin) شوروی (USSR) وجود دارد .

#### ۳- ذخایر بوکسيتی کارستی Karst Bauxite Deposits

این نوع ذخایر کم و بيش بردوی سطوح کارستی شده سنگهاي کربناته تشکيل می شوند باردوشی در اين نوع شش زيرگروه بر اساس نوع قرار گرفتن (Constitution) و شکل کارستی شدن تشخيص داده است که عبارتند از :

نوع مدیترانه‌ای ;Mediterranean subtype	"	
;Kasakhstanian	"	نوع قزاقستان
;Arege	"	نوع آريج
;Timan	"	تيمان
;Salento	"	سالنتو
.Tula	"	تولا

در بين اين سه نوع اصلی ذخایر، حالت جابجايی (Transition) وجود دارد اما اتفاق افتادن در انواع آن نادر است . مزيت اساسی اين نوع طبقه بندی اين است که ، اختلاف اساسی در نوع تشکيل شدن و واقع شدن ذخایر منعکس می گردد . و همچنین اين طبقه بندی ساده بوده و به آسانی می توان بادیدن رخمنون کانسار و یا انجام کارهای اکتشافی آن را تشخيص داد .

تقریباً ۸۸٪ ذخایر بوكسیت جهان از نوع ذخایر بوكسیتی لاتریتی، ۱۱/۵٪ از آنها از نوع بوكسیت‌های کارستی و حدود ۵/۰ درصد از نوع ذخایر تیکوین هستند. کمی ذخایر نوع سوم می‌تواند اینگونه توجیه شود که بوكسیتها وقتی حمل و نقل شوند، به‌آسانی متلاشی شده و فرسایش‌می‌یابند و در طول مسیر انتقال با مواد آواری دیگری مخلوط می‌شوند. ذخایر نوع تیکوین می‌تواند در شرایط خیلی خاص و نادر زمین شناسی تشکیل شوند. در طول تاریخ زمین این شرایط کمتر اتفاق افتاده است.

## ۸- کانیهای تشکیل دهنده بوكسیتها

تعیین ترکیب کانی شناسی بوكسیتها کار دشواری است و احتیاج به ابزارهای دقیق دارد. بیشترین ترکیب بوكسیتهارا کانیهای آلومینیوم، آهن و سیلیس تشکیل می‌دهند و کانیهای تیتانیوم، کربناتها، سولفاتها، فسفاتها و.... نیز در آن دیده می‌شوند.

### ۱- کانیهای آلومینیوم Alumina Minerals

$\text{Al(OH)}_3$  کیست (Gibbsite) به فرمول

---

این کانی، کانی اصلی بوكسیتهای لاتریتی می‌باشد. کیست ترکیب افقهای بوكسیتی را از ۱۰ تا ۹۰ درصد شامل می‌شود و به طور عموم از ۴۰-۷۰ درصد. اغلب بوكسیتهای روشن بطور خالص از کیست تشکیل شده‌اند. این کانی غالباً به شکل پاکتهایی تا چندین متر مکعب و به شکل ماده سفید رنگ و متخلخل دیده می‌شود. معمولاً "کیست کمتر به شکل پیزولیت و اوولیت مشاهده می‌شود. اندازه بلورهای آن معمولاً کوچک است و از ۱۰ تا چند میکرون متغیر است و بلورهای ۱ تا ۲ میلی متر آن نیز دیده شده است.

### بوهمیت (Bohemite) به فرمول $\text{AlO(OH)}$

بعد از گیبسیت، بوهمیت کانی اصلی بوکسیت‌های لاتریتی می‌باشد. اما بطور متوسط کم بوده و در قسمت سطحی ذخایر حدوداً "کمتر از ۱ درصد دیده می‌شود. در برخی جاهای بوهمیت تا ۱۵-۱۰ درصد و بندرتا ۳۵ درصد نیز افزایش می‌یابد. این کانی، کانی اصلی آلومینا در بوکسیت‌های حمل شده مزوژوژیک و پالوژوژیک می‌باشد. در بعضی جاهای بین ۴۰-۶۰ درصد نیز می‌رسد. اندازه بلورهای بوهمیت اغلب کمتر از ۱۰ میکرون است. در بسیاری ذخایر بوهمیت در پیزولیت‌ها نسبت به گیبسیت غنی می‌شود.

### دیاسپور (Diaspore) به فرمول $\text{AlO(OH)}$

"دیاسپور معمولاً" در بوکسیت‌های لاتریتی کمیاب است. ابعاد بلورهای این کانی معمولاً "کمتر از ۵ میکرون بوده، در بعضی موارد با ابعاد ۱۰ تا ۵۵ میکرومتر مشاهده شده است. معمولاً" برای تشخیص این کانیها از روش پراش اشعه X (X-ray diffraction) استفاده می‌کنند. در برخی ذخایر هند میزان دیاسپور به ۴ درصد نیز می‌رسد و در ذخایر کوچکی نیز میزان دیاسپور تا ۴۳ درصد اندازه کیری شده است در بوکسیت‌های تریاس جا جرم کانی دیاسپور کانی اصلی آلومینا می‌باشد.

### کراندم (Corundum) به فرمول $\text{Al}_2\text{O}_3$

ابعاد بلورهای کانی کراندم کمتر از ۱ میلی متر می‌باشد و اغلب پیزولیت‌های تیره را تشکیل می‌دهد. کراندم معمولاً" از سنگهای مادر اولیه منتج نمی‌شود و به صورت شانوی در بوکسیت‌ها تشکیل

می کردد . همینطور میکروکراندوم با ابعاد بلورهای ریزتر از کراندوم در اثر دگرگون شدن سنگها تشکیل می شود . مشابه بلور دیازنتیک کراندوم در چندین ذخیره بوکسیت کارستی مشاهده شده است .

## ۲- کانیهای آهن Iron Minerals

کانیهای آهن در بوکسیتها به شکل های کوتیت  $FeO(OH)$  (Goethite) که کانی اصلی آهن در بوکسیتها لاتریتی است و نیز کانیهای هماتیت  $Fe_3O_4$  (Magnetite) ، مگنیتیت  $Fe_2O_3$  (Hematite) مشاهده می شوند .  
( میزان کوتیت در بوکسیتها از ۱-۳٪ درصد است )

## ۳- کانیهای تیتانیوم Titanium Minerals

### آناتاز $TiO_2$ به فرمول (Anataze)

آناتاز در بوکسیتها لاتریتی از ۱۰ درصد دیده شده است ، ولی بطور عمومی ۲-۴ درصد بوکسیتها را تشکیل می دهد . اندازه بلورهای آن کمتر از یک میکرون است . این کانی از هوازدگی کانیهای تیتانیوم دار سنگ مادر تشکیل شده است . برای مثال اسفن (Sphane) که یک کانی تیتانیوم دار سنگهای نفلین - سینیت میباشد .

### رتیل $TiO_2$ به فرمول (Rutile)

یکی دیگر از کانیهای تیتانیوم دار بوکسیتها ، رتیل است . میزان این کانی به حدود یک درصد می رسد و در بعضی موارد تا ۶ درصد نیز وجود دارد .

### ایلمنیت $FeTiO_2$ به فرمول (Ilmenite)

ایلمنیت نیز در بوکسیتها مشاهده می شود ولی میزان آن کمتر از

کانیهای آناتاز و روتیل است. بندرت کانیهای یولیت (Ulvite) و بروکیت نیز در بوکسیتها مشاهده شده است.

#### ۴- کانیهای سیلیکاته Silicate Minerals

کاٹولینیت  $\text{Al}_4(\text{OH})_8(\text{Si}_4\text{O}_{10})$  به فرمول (Kaolinite)

کاٹولینیت فراوانترین کانی سیلیکاته در بوکسیتها لاتریتی می باشد. در بوکسیتها با عیار بالا و سیلیس کم میزان آن تا ۱۰ درصد می رسد این کانی معمولاً در بخشها میانی افق بوکسیتی کم است و به طرف پایین افزایش می یابد.

سایر کانیهای سیلیکاته عبارتند از: ایلیت، مونتموریونیت، برتیرین (شاموزیت)، کوارتز و....

#### ۵- سایر کانیها

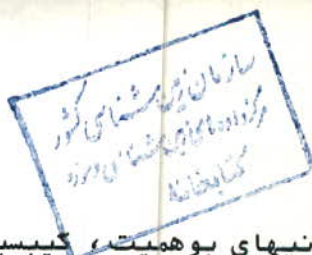
از کانیهای سولفید می توان پیریت و مارکاسیت، در گروه سولفاتها آلونیت و از گروه فسفاتها می توان کراندلیت را نام برد.

#### ۶- همراهی کانیها Mineral Assemblages

در بوکسیتها شش مجموعه کانی تشخیص داده شده است ولی مرز این مجموعه ها بخوبی از هم جدا نبوده و روشن نمی باشد.

الف - کانیهای کیبیت با کمی گوتیت، کاٹولینیت و آناتاز و در ذخایر جوان هالویزیت نیز ظاهر می شود. در این مجموعه کوارتز کم و بیش دیده می شود و بوهمیت از ۵% تا ۳% تغییر می کند.

ب - این مجموعه مانند شماره یک می باشد با این تفاوت که بوهمیت ۲-۶ درصد و بندرت به ۱۰-۳۰ درصد می رسد و هماتیت نسبت به گوتیت از مجموعه قبلی بیشتر است.



- ج - در این مجموعه، کانیهای بوهمیت، گیبسیت و هماتیت کانیهای اصلی هستند و کانیهای فرعی نیز نقش مهمی دارند و عبارتند از: برترین، کلوریت، سیدریت و پیریت و دیاسپور نیز از انواع اول بیشتر نمی باشد.
- د - در این مجموعه کانیهای اصلی کانیهای بوهمیت و هماتیت می باشند و گیبسیت وجود ندارد و یا دیاسپور بطور محلی وجود دارد.
- ه - در این مجموعه کانیهای بوهمیت و دیاسپور و نیز کانیهای هماتیت و کاثولینیت وجود دارند.
- و - در این مجموعه، بوکسیتهای دیاسپوری را داریم و سایر کانیها کاثولینیت، سیدریت، پیریت، برترین و تورینگیت می باشند. و فقط بوکسیتهای لهستان و نوارودا (Nowaroda) به این مجموعه تعلق دارند.

#### ۷- فراوانی کانیها در انواع ذخایر

اکثر کانیهایی که در بالا یاد شده در هر دو نوع ذخیره‌های کارستی و لاتریتی مشاهده می شود، ولی میزان فراوانی کانیهای مختلف در این نوع ذخیره متفاوت می باشد.

##### الف - بوکسیتهای کارستی

بوهمیت فراوان ترین کانی آلومینا در بوکسیتهای کارستی است. این کانی اغلب نئوژنیک است و کمتر دیاژنیک و یا اپی ژنیک می باشد. پس از بوهمیت دیاسپور فراوان ترین کانی آلومینا می باشد و گیبسیت سومین کانی بعد از بوهمیت و دیاسپور می باشد. هماتیت فراوانترین کانی آهن دار بوکسیتهای کارستی است و پس از آن کوتیت دومین کانی فراوان آهن دار در این نوع ذخایر است. فراوانترین کانی تیتانیوم دار بوکسیتهای کارستی آناتاز است.

بوکسیتهای ایران از آناتاز غنی می باشند ( کرمان ۴-۲ درصد ، یزد ۶-۴ درصد ، بوکان و جاجرم ۳-۵ درصد ) ( باردوشی ).

#### ب - بوکسیتهای لاتریتی

فراوانترین کانی آلومینا در بوکسیتهای لاتریتی کیبیست است . بوهمنیت بعد از کیبیست فراوانترین کانی آلومینا می باشد . بندرت دیاسپور نیز در بوکسیتهای لاتریتی مشاهده می شود . از کانیهای آهن دار ، کوتیت فراوانترین و بعد از آن هماتیت و سپس کوتیت کانی فراوان آهن دار در این نوع بوکسیتها می باشد . از کانیهای تیتانیوم دار در بوکسیتهای لاتریتی فراوانترین کانی آناتاز و سپس رتیل می باشد . فراوانترین کانیهای سیلیکاته در این نوع ذخایربترتیب کاثولینیت واپلیت می باشد .

### ۹- لیتلوزی بوکسیتها

#### ۱- رنگ بوکسیتها

بسیاری باور دارند که رنگ بوکسیت قرمز است . ولی رنگ بوکسیت در رنج وسیعی متغیر است ( روشن ، زرد ، قهوه ای صورتی ، صورتی شکلاتی ، خاکستری کمرنگ ، بنفش و ....).

کانیهای آلومینیوم ، تیتانیوم ، کاثولینیت و هالوزیت بی رنگ می باشند و رنگ بوکسیت غالباً " بوسیله اکسیدها و هیدرو اکسیدهای آهن ، مواد آلی ، آهن موجود در کانیهای رسی و مقدار کمی بوسیله کانیهای منگنز تعیین می گردد .

هماتیت در بوکسیتها رنگ های قرمز ، صورتی یا بنفش و کوتیت رنگ های زرد یا قهوه ای مایل به زرد ایجاد می کند . پیریت و مارکاسیت به بوکسیتها رنگ خاکستری می دهد . رنگ قهوه ای در

ارتباط با کلریت و خاکستری تیره مربوط به مواد آلی یا اکسیدها و هیدرو اکسیدهای منکنر است. رنگ روش نشان دهنده عاری بودن بوکسیت از کانیهای آهن است.

رنگهای قرمز، بنفش، صورتی، زرد، قهوه‌ای مایل به زرد و بوکسیتهای الوان مشخص کننده حالت اسیدی می‌باشد. در شرایط احیاء متوسط تاضعیف رنگ قهوه‌ای تیره در بوکسیتهای شاموزیتی آهن دار دیده می‌شود. در درجات قویتر رنگ سبز، خاکستری و تیره در بوکسیتها به چشم می‌خورد.

رنگ بوکسیت نه تنها از ترکیب کانی شناسی بلکه از شرایط ژئوشیمیایی نیز تاثیر می‌پذیرد. درصد بوکسیت در رنگهای مختلف در جدول ۱-۱ آمده است.

جدول ۱-۱ درصد بوکسیتها در رنگهای مختلف

رنگ	درصد
قرمز، صورتی و بنفش	۵۳
خاکستری	۱۲
الوان	۱۱
زرد و قهوه‌ای مایل به زرد	۹
سبز و سبز مایل به خاکستری	۵
قهوة‌ای تیره	۲
روشن	۲
تیره	۱

## ۲- لمس بوکسیت

لمس بوکسیت تابع فاکتورهایی از قبیل بافت، ترکیب کانی شناسی، سختی، تراکم و غیره می‌باشد. برای مثال لمس چرب در بوکسیتهای رسی دیده می‌شود. شش نوع لمس در بوکسیتها شناخته شده که عبارتند از:

۱- خیلی زبر

- ۲- زبر
- ۳- کمی زبر
- ۴- صاف
- ۵- چرب
- ۶- خاکی

بیشتر بوکسیتها با لمس زبر هستند ، بوکسیتهای با لمس کمی زبر و خاکی نیز کمتر مشاهده میشوند ولی بوکسیتها بالمس های دیگر بندرت مشاهده شده است .

### -۳- سختی بوکسیت

اندازه کیری سختی بوکسیت به راحتی کانیهای سنگ ساز نمی باشد و سختی آن به بافت ، اندازه ذرات و تراکم آنها بستگی دارد . بوکسیتهارا براساس سختی می توان مطابق جدول ۱-۲ طبقه بندی کرد .

جدول ۲-۱ طبقه بندی سختی بوکسیت

سختی موس	واحد سختی
> ۸	بسیار سخت
۴-۸	خیلی سخت
۳-۴	سخت
۲-۳	سخت متوسط
۱-۲	کمی سخت
۰/۵-۱	نرم
۰/۱-۰/۵	خیلی نرم

### -۴- بافت بوکسیت

بافت بوکسیتها بسته به نوع بوکسیت ، ژنز ، چگونگی تشکیل آن و زمان تشکیل متفاوت می باشد . در بوکسیتها بافتهای اسفنجی ، دانه ریز ، الیتی و پیزولیتی مشاهده می شود . بافت برشی و کنکلومرایی نیز به چشم میخورد .

## ۱۰- کاربرد صنعتی بوکسیت

مصارف صنعتی بوکسیت را میتوان به طور کلی به دو بخش تقسیم نمود . یکی تولید آلومینا و دیگری غیر آلومینا . شکل ۲-۱ شایی از مصرف بوکسیت را نشان میدهد .

آلومینیم به علت سبکی وزن ، مقاوم بودن ، هدایت الکتریکی و ... امروزه موارد مصرف زیادی دارد . ماده معدنی این فلز عمدتاً بوکسیت میباشد (بیش از ۹۵ %) . برای تولید آلومینیم باستی اول آلومینا تولید نمود (عمدتاً از روش بایر ) و سپس از آلومینا باروشهای الکتریکی فلز آلومینیم تهیه میشود .

از موارد مصرف غیر آلومینای این ماده معدنی میتوان ، فراوردهای نسوز ، ساینده ها ، تهیه سیمان ، فولاد سازی ، جوشکاری ، استخراج نفت ، جاده سازی ، کراندم صنعتی و ... را نام برد .

## ۱۱- کاربرد بوکسیت در تولید آلومینا

بیش از ۹۰ % بوکسیت به مصرف تولید آلومینا میرسد و برای تولید آن عمدتاً از روش بایر استفاده میشود . در ارزیابی بوکسیت جهت تولید آلومینا دو معیار  $Al_2O_3/SiO_2$  (مدول ) و  $Al_2O_3-SiO_2$  اهمیت دارد اگر سیلیس بین ۳ تا ۶ درصد باشد بوکسیت را کم سیلیس ، و اگر بین ۸ تا ۱۲ درصد باشد بوکسیت با سیلیس زیاد گفته میشود . اکسیدهای مزاحم در تولید آلومینا  $SiO_2$  و  $CaO$  میباشد .

برای تهیه آلومینا ابتدا بوکسیت را خرد کرده و سپس آنرا تا حدود ۳۵ مش در آسیانرم میکنند پالپ بوکسیت را به یک اتوکلاو منتقل نموده ، همراه با سودسوز آور غلیظ حرارت میدهند ، و در آنجاهیدرات آلومینیم به آلومینات سدیم تبدیل میشود . درجه حرارت و غلظت سود در انواع کانه ها متفاوت است ، در مورد

منوهیدرات حرارت ۱۴۰ تا ۱۵۰ درجه سانتیگراد و فشار ۱۵ اتمسفر ، و درمورد بوکسیت تری هیدرات حرارت ۲۴۰ تا ۲۶۰ درجه و فشار ۴۵ تا ۶۰ اتمسفر نیاز است . عمل انحلال ممکن است در چندین اتوکلاو که بطورسری قرار گرفته اند صورت گیرد . در مرحله بعد عمل جدايش باطله و شستشو صورت ميگيرد ، و اين عمل را چندين بار انجام ميدهند تا سود کاملا بازیابی شود .

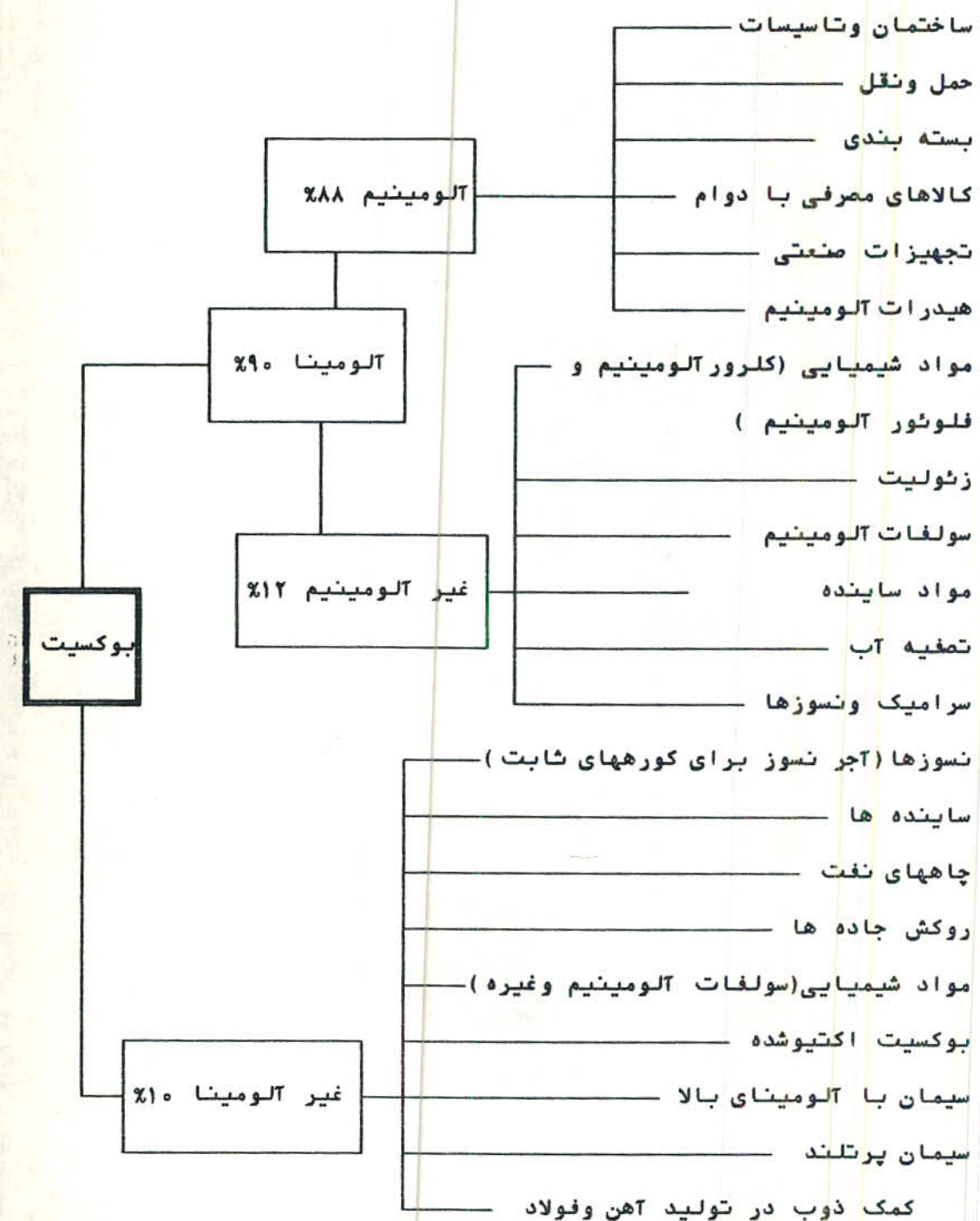
دو نوع آلومینای آردی و ماسه اي میتوان تولید کرد . در تهیه نوع ماسه اي غلظت سود سوزآور را پاپیون می آورند و سرد کردن را تا ۷۰ درجه انجام ميدهند و عمل ۱/۵ تا ۲ روز طول ميکشد . در نوع آردی غلظت سود را بالا برده و خنک کردن را تا ۵ درجه ادامه ميدهند و عمل ۳ تا ۵ روز به طول می انجامد .

در صورتی که سیلیس زیاد باشد روش کمی متفاوت است ، ابتدا جهت سیلیس زدایی بوکسیت را با کربنات سدیم آسیا نموده و در کوره سینتره میکنند .

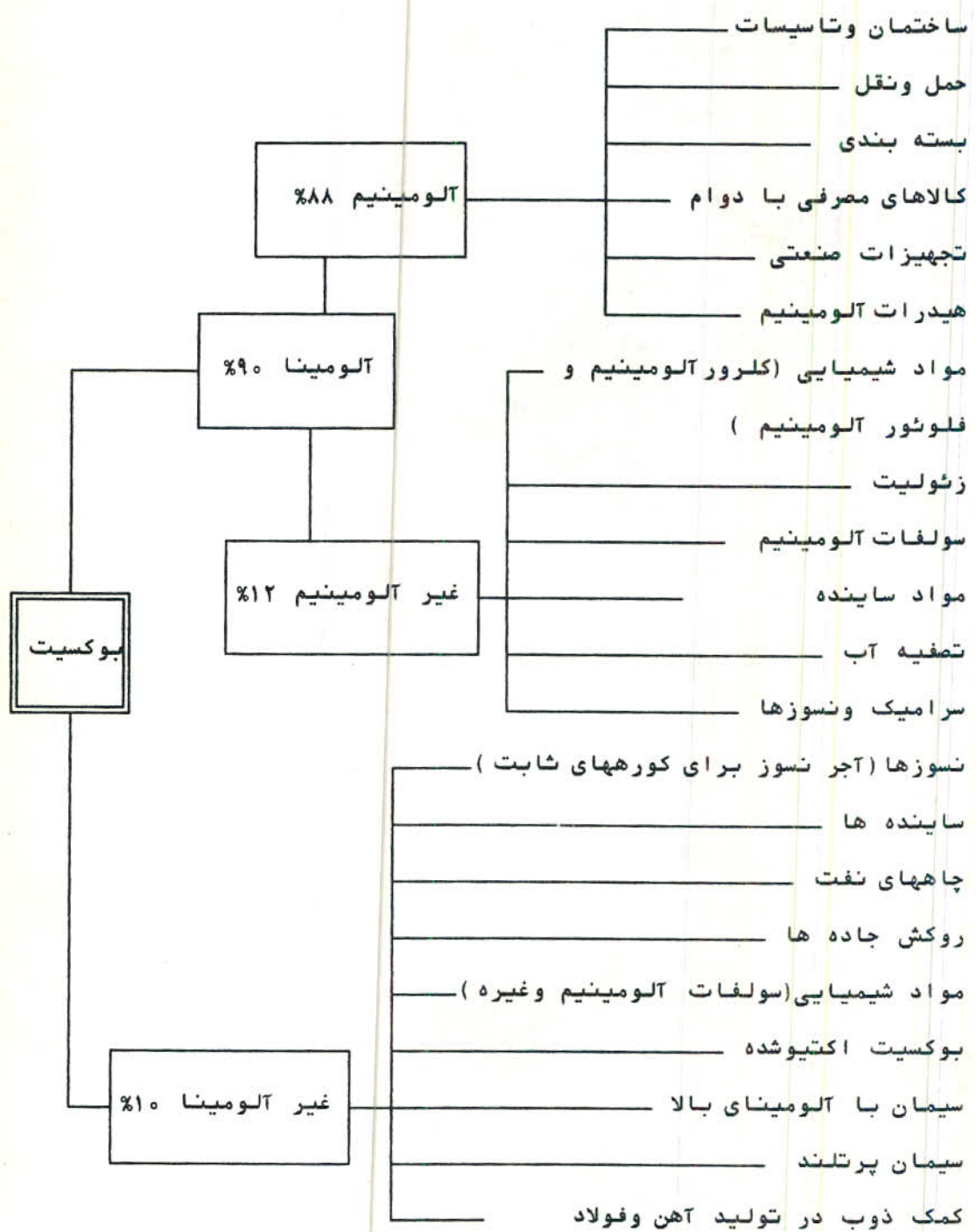
برای تهیه یک تن آلومینا تقریبا مواد زیر احتیاج است :

بوکسیت	۲۴۰۰ kg
آهک	۹۰ تا ۱۸۰ kg
کربنات سدیم	۵۰ تا ۱۰۰ kg

شکل ۱-۶



شکل ۱-۱



## فصل دوم : موقعیت جغرافیایی و زمین‌شناسی

## ۱- زمین شناسی ایران و پیدایش کانسارهای بُوکسیت

از نظر موقعیت جغرافیایی و زمین شناسی، ایران فلات چین خورده‌ای است که بین عربستان (در جنوب) و فلات روسیه یا توران (در شمال) قرار گرفته است.

قدیمی ترین سنگهای رسوبی ایران مربوط به دوره پرکامبرین است که شامل سازند کهر میباشد. مرز بین پرکامبرین و کامبرین را سازند دولومیتی سلطانیه تشکیل میدهد.

همانطور که در بخش ۶ فصل اول (شرایط تشکیل بُوکسیت) اشاره شد بُوکسیت زایی یک فرایند هوازدگی می‌باشد و این عمل در اعماق انجام نمی‌شود، بلکه در سطح یا نزدیک به سطح انجام می‌کشد. در نتیجه برای زمان و مکان تشکیل چنین کانساری باید توجه خود را به نبودهای رسوبی (خشکی زایی‌ها و یا کوه‌زایی‌ها) در دورانهای مختلف زمین شناسی معطوف داریم. برای این کار بایستی وضع تکتونیکی ایران را در دورانهای مختلف مورد بررسی قرار دهیم.

### ۱- تقسیمات زمین شناسی ایران

ایران توسط زمین شناسان متعدد مطالعه و به بخش‌های مختلفی تقسیم بندی شده است. در یک دید کلی می‌توان آن را به سه منطقه: ایران مرکزی، شمال ایران و جنوب غربی ایران تقسیم بندی کرد. برای تقسیم بندی معمولاً "مناطقی" را که از نظر تکتونیکی، سنگهای رسوبی، دکرکونی و فعالیتهای آتش‌نشانی دارای خصوصیات نزدیک به هم هستند تحت عنوان یک منطقه در نظر گرفته شده است. در تقسیم بندی دقیق‌تر که توسط اشتولکلین انجام گرفته است ایران به ۹ ناحیه تقسیم بندی شده است که عبارتند از:

۱- دشت خوزستان

۲- منطقه چین خورده زاگرس

- ۳ منطقه رورانده زاگرس
- ۴ منطقه سندج - سیرجان
- ۵ ایران مرکزی
- ۶ البرز
- ۷ کپه داغ
- ۸ شرق ایران رشته جبال مکران
- ۹ بلوک لوت

## ۲- حرکات تکتونیکی ایران

قدیمی ترین حرکات تکتونیکی ایران و آخرین رخداد زمین ساختی پرکامبرین چین خورده‌کی بایکالی (Baikalian) یا کاتانگایی (Katangan) بوده است سایر حرکات تکتونیکی در اثر کوه‌زایی‌های کالدونی، هرسینین و آلب بوده است.

### فاز کوه‌زایی کالدونی هرسینین

این فاز به استثناء ناحیه کپه داغ که در آن رسوبات تریاس بصورت دکر شیب رسوبات قدیمی تر را می‌پوشاند و حکایت از یک فاز کوه‌زایی هرسینینی می‌کند در سایر نقاط ایران بصورت حرکات خشکی زایی بوده است.

### کوه‌زایی آلب

مراحل کوه‌زایی آلب به سه مرحله، آلب پیشین، میانی و پسین تقسیم می‌گردد آلب پیشین در دوران دوم و دو مرحله دیگر در دوران سوم اتفاق افتاده است.

## ۳- واحد‌های تکتونیکی

واحد‌های تکتونیکی عبارتند از نواحی که دارای وضع زمین شناسی - تاریخی و تکتونیکی مشابهی می‌باشند. می‌توان گفت شش عامل، رخسارهای سنگی، فعالیتهای ماگمایی، دگرگونی، فازهای کوه‌زایی، شیوه چین‌ها و بالاخره

روندها در حقیقت، در تعیین یک واحد تکتونیکی نقش اساسی را بعده دارند و شکل گسترش حوضه های رسوبی را نشان میدهند.

### واحد ایران مرکزی

فازهای تکتونیکی در ایران مرکزی عبارتند از: فاز آسینتی در دوران اول، کمیرین پیشین در حد فاصل تریاس میانی و بالایی، فاز کوهزاپی کمیرین پسین در حد فاصل ژوراسیک و کرتاسه، فاز اتریشی در حد فاصل کرتاسه زیرین و بالایی، فاز لارامی در حد فاصل کرتاسه بالا و پالئوسن، فاز پیرینه در حد فاصل اثوسن - الیکوسن، و بالاخره فاز آلپ پسین در حد فاصل پلیوسن - پلیستوسن.

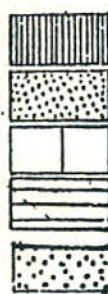
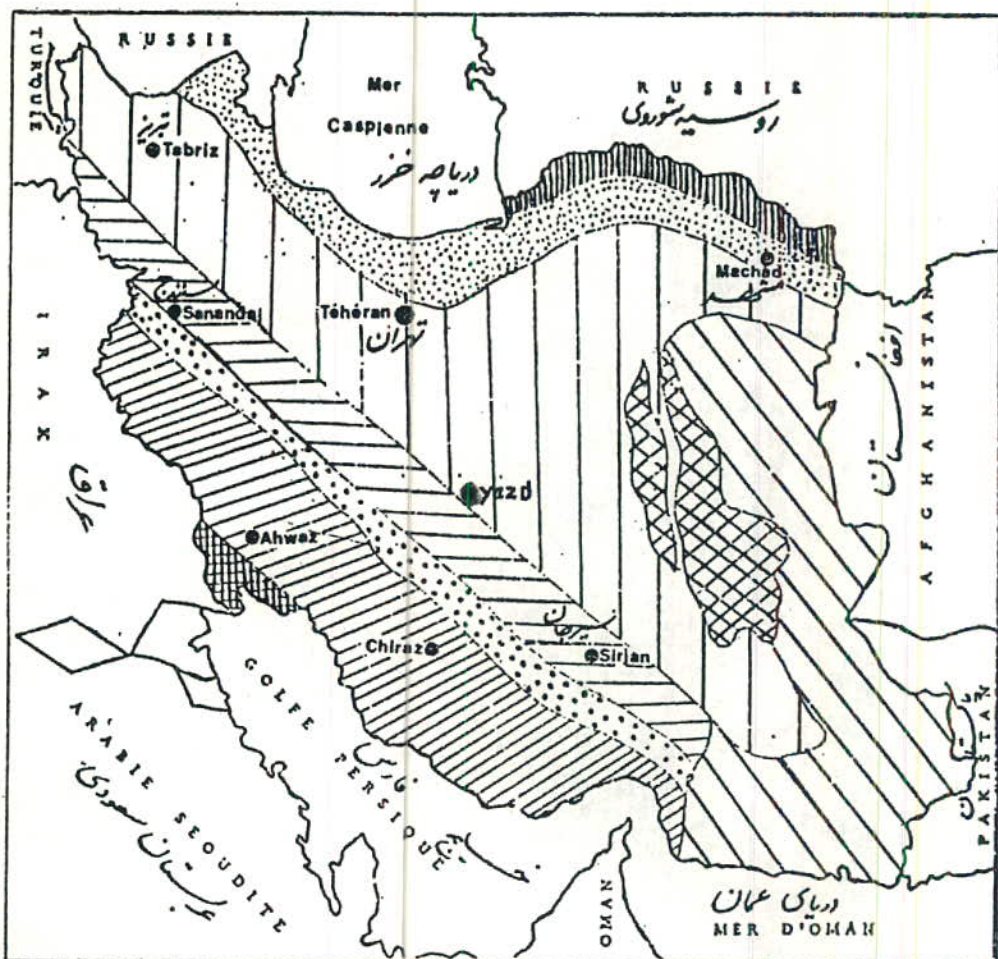
### تشکیل ذخایر:

---

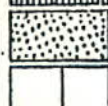
ذخایر شناخته شده در این واحد در دوران تریاس و در حد فاصل سازندهای دولومیتی شتری و آواری نایبند می باشد. در نواحی یزد و کرمان بخشی از این ذخایر اکتشاف شده است.

### سایر واحدها

واحدهای دیگر تکتونیکی ایران، واحد های البرز، واحد شرق ایران و مکران و واحد کپه داغ می باشند. واحدهای شرق ایران و مکران به لحاظ کانسار مورد بحث اهمیت زیادی ندارند، فقط در ناحیه طبس از واحد شرق ایران که کاملا با سایر مناطق از نظر تشکیل این کانسار متفاوت است، چهار افق بوکسیتی در زمانهای مختلف، از پرمین تا ژوراسیک تشکیل شده است. در واحد البرز در پرموتریاس و در زاکرس در کرتاسه بوکسیت مشاهده می شود. در زاکرس در منطقه سرفاریاب و در زاکرس در منطقه جاجرم، سیاه رو دبار، گانو، آبکرم، قشلاق و ... بوکسیت کشف شده است.



کوه داغ



البرز



آلزن هرزوگری



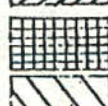
سیستان-بلوچستان



زورن دورانده زارگرم



ناحیه‌چین خوزده زارگرم



دشت خوزستان



جیال مازان و مشرق ایران



بلوک اوت

شکل ۲-۱: نقشه شماتیک تقسیمات ساختمانی ایران از نظر اشتولکلین و روتمن  
(اقتباس از علوی نائینی ۱۹۷۲).

## -۲- منطقه غرب یزد

### ۱-۲ موقعیت جغرافیایی، راههای دسترسی و آب و هوای

کانسارهای بوکسیت غرب یزد بطور تقریبی بین طول های جغرافیایی ۳۰ و ۵۳ تا ۵۴ و عرض های جغرافیایی ۵۵ و ۳۲ تا ۵۰ و ۳۳ واقع شده است. این کانسارها در اطراف روستاهای صدرآباد، نصرآباد، معین آباد، دولاب، خمیسان و ... بصورت پراکنده مشاهده می شوند و رخنمونهای مادهمعدنی که مطالعه و بررسی شده اند در اطراف این روستاهای نامهای محل ها شناخته می شوند که عبارتند از :

۱- ناحیه شرق روستای صدرآباد ( صدرآباد )  
۲- ناحیه گدارزرد ( دره آغل ) که به دو بخش شمال غرب و جنوب شرق تقسیم بندی شده است ( گدارزرد )

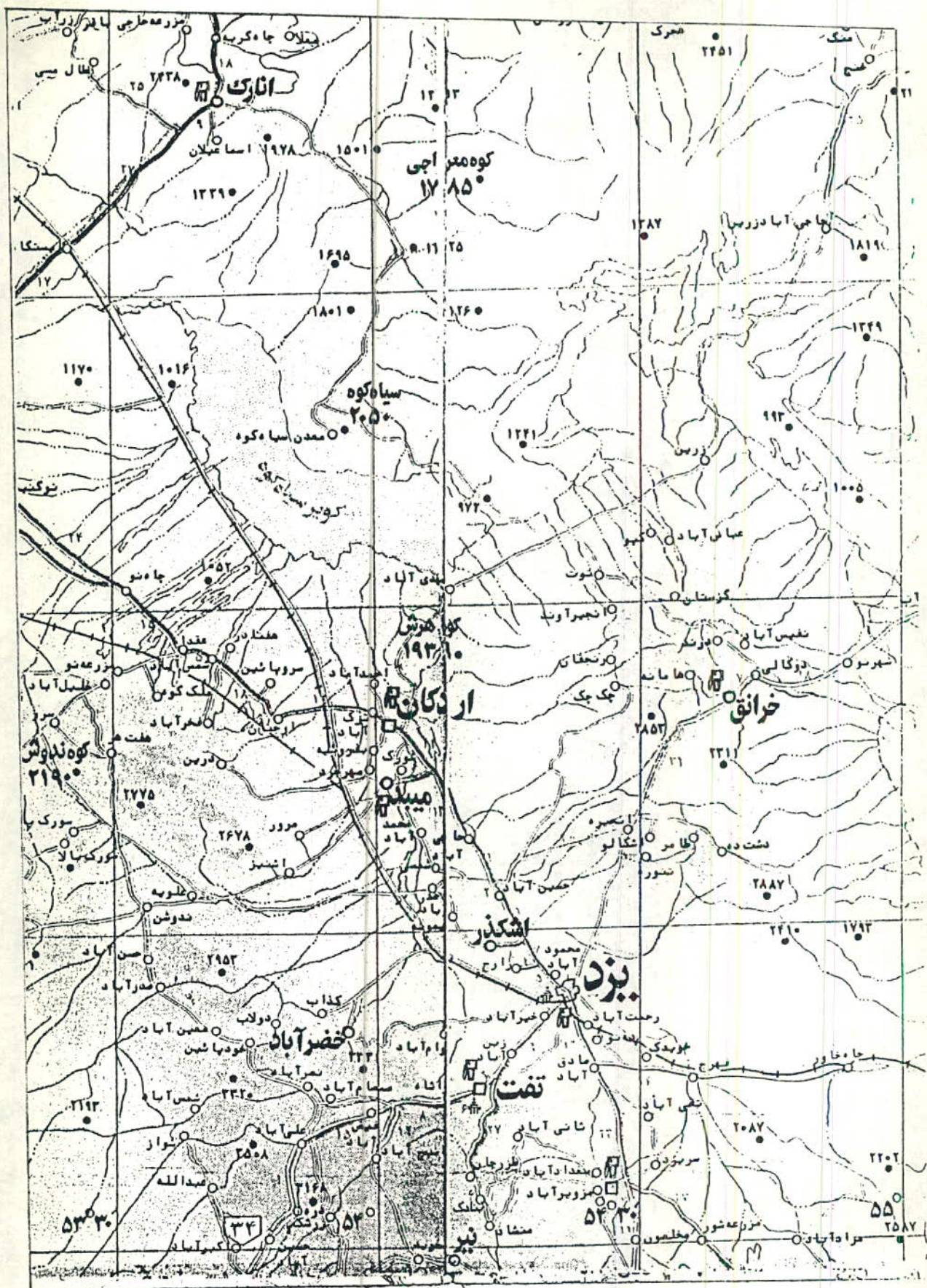
۳- ناحیه شمال غرب روستای خمیسان ( خمیسان )

۴- ناحیه جنوب شرق روستای دولاب ( دولاب )

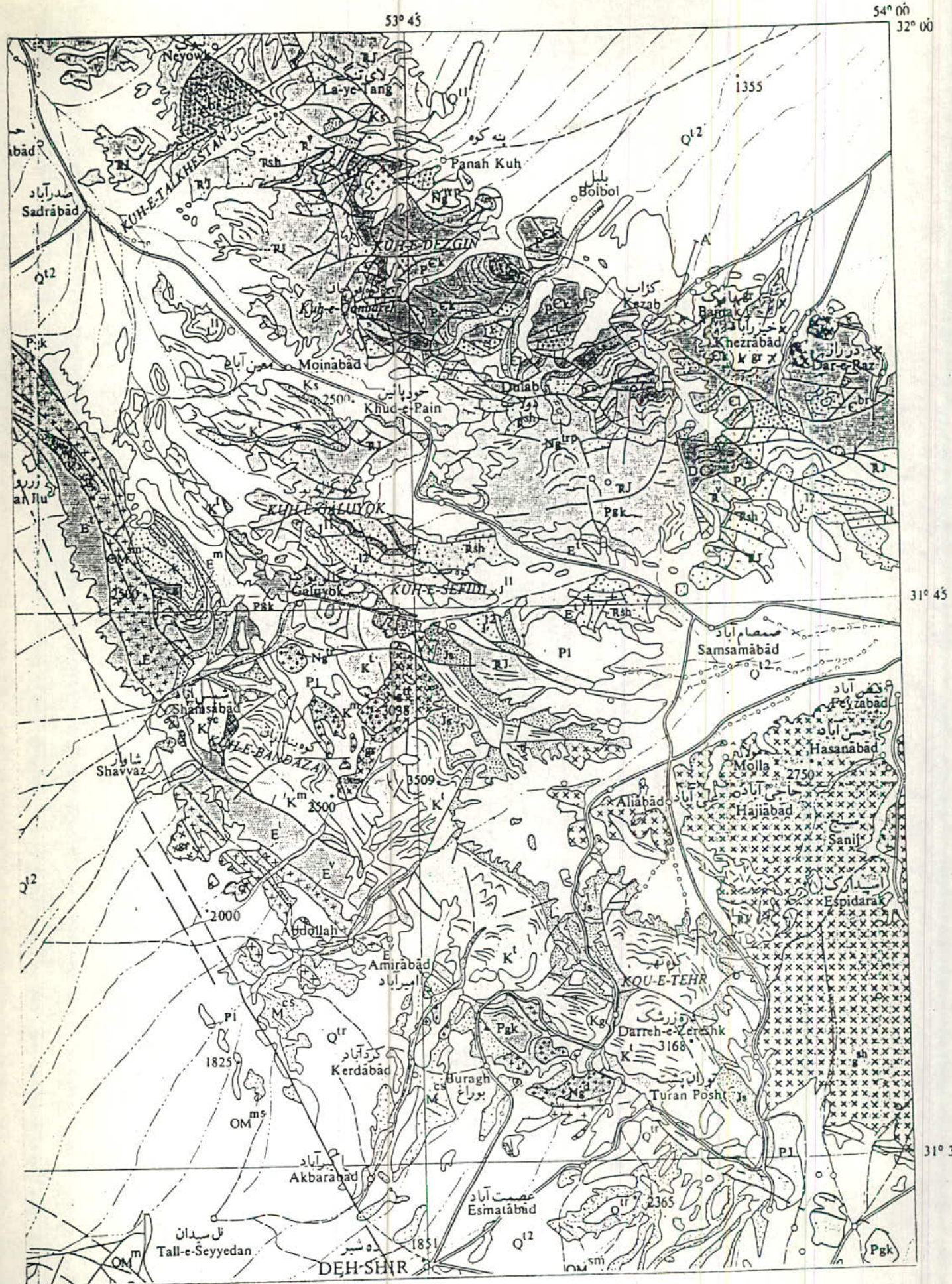
۵- ناحیه شمال نصرآباد و جنوب غرب روستای همامنه ( نصرآباد )  
رخنمونهای کوچکتری نیز در شمال غرب خودپایین شرق صمصام آباد و شمال شرق مزرعه آخوند مشاهده می شود. ( شکل شماره ۲-۲ )  
آب و هوای منطقه گرم و خشک می باشد ولی بعلت بالا بودن ارتفاع منطقه نسبت به یزد، میزان بارندگی سالانه زیادتر بوده و از نظر کشاورزی نیز دارای موقعیت بهتری نسبت به یزد می باشد .

### ۲-۲ زمین شناسی

منطقه مورد مطالعه در کوشه شمال شرقی نقشه چهار گوش آباده به مقیاس ۱:۲۵۰۰۰۰ مشاهده می شود ( شکل شماره ۳-۲ ) و آنچه در این نقشه مشاهده میشود رسوبات یال شمال شرقی یک ناویدیس می باشد که شامل رسوبات



## نقشه شماره ۲-۲ موقعیت جغرافیایی کانسارهای بوکسیت یزد



شکل شماره ۳-۲ موقعیت زمین‌شناسی کانسارهای بوکسیت غرب یزد در نقشه ۱:۲۵۰۰۰ چهارگوش آباده

سازندهای رسوبی دورانهای پرکامبرین ، پرمین ، تریاس ، ژوراسیک و کواترنری است . وجود بهم ریختگی در رسوبات و گسلهای متعدد حاکی از عملکرد تکتونیک شدید در منطقه است . همچنین وجود بوکسیت و لاتریت حاکی از خشکی زائی در دورانهای مختلف را دارد .

### چینه شناسی

#### ( PEK ) : پرکامبرین

قدیمی ترین رسوبات منطقه مربوط به پرکامبرین پسین و شامل رسوبات سازند کهر می باشد . این سازند شامل لایه های شیل خاکستری تیره و شیل های ماسه ای خاکستری ، کواتزیت متوسط لایه خاکستری ، ماسه سنگ کواتزیتی و سیلت استون خاکستری رنگ است .

#### پرمین :

رسوبات این دوران شامل سازند جمال ( PJ ) با کنتاکت گسلی بر روی رسوبات سازند کهر واقع شده اند . این سازند را سنگهای دولومیتی متوسط تا ضخیم لایه خاکستری تا تیره تشکیل می دهند . ضخامت آن ۱۰۰ تا ۱۲۵ متر است .

#### افق لاتریت :

در قسمت فوقانی لایه های کربناتی سازند جمال سنگهای بازالتی تیره رنگ با ضخامتی حدود ۳۵ متر وجود دارد که بطور هم شیب توسط رسوبات کربناته تریاس ( سازند شتری ) پوشیده شده اند .

بخشی از این بازالتها لاتریتی شده و دارای بافت الیتی می باشند ولی بافت خود بازالتها ریز بلور و گاه درشت بلور است . تعدادی نمونه نیز از این لاتریت ها برداشت و آنالیز شده که عبارت متوسط آنها بشرح زیر است :

A1203 % ۲۵/۵۱

SiO<sub>2</sub> % ۳۴/۵۲

من این سنگها احتمالاً تریاس زیرین است .

### تریاس میانی یا فوقانی :

رسوبات این دوران شامل سازند دلومیتی شتری است . رسوبات این سازند بر روی افق لاتریتی واقع شده و شب آن با شب لایه های سازند جمال یکسان است . ضخامت آن حدود ۱۵۰ تا ۱۷۰ متر است و از دلومیتهای متوسط تاضخیم لایه و توده ای و به رنگهای خاکستری تانخودی و در سطح هوازده با رنگ قهوه ای روشن و قهوه ای مایل به زرد مشاهده می شود . سطح این سازند فرسایشی بوده و شامل حفرات کارستی می باشد که با بوکسیت پر شده است .

### افق بوکسیت :

افق بوکسیت به صورت لنزهای پراکنده و گاه بمورت لایه ای به ضخامت ه تا ۸ متر در منطقه مورد مطالعه بر روی دلومیتهای فرسایش یافته و کارستی سازند شتری مشاهده می شود . زون بوکسیت را یک افق سخت دیاسپوری تشکیل می دهد . این بوکسیتها به رنگهای قرمز تا جگری ، خاکستری مایل به سبز و سیاه دیده می شود . بافت آن دانه ریز تا الیتی و گاه پیزولیتی می باشد . از نظر کسترش و وجود رخنمون بوکسیت در ناحیه کدار زرد پیوستگی بهتری دارد و طول کسترش رخنمونها نیز در این منطقه بیشتر است . شب لایه ها در منطقه صدر آباد کم ولی در سایر مناطق زیاد می باشد . از نظر کانی شناسی نیز این بوکسیتها آزمایش شده اند و کانیهای تشکیل دهنده عبارتنداز : دیاسپور ، کلریت ، هماتیت ، رتیل ، آناتاز ، ایلیت ، کراندم و ....

### تریاس بالایی - ژوراسیک زیرین :

رسوبات این دوره هارا سازندهای نایبند و شمشک تشکیل می دهند . این رسوبات از سنگهای شیلی ، ماسه سنگی ، آهکی و سیلتی تشکیل می شوند . سازند نایبند را می توان به سه بخش تقسیم کرد :

- ۱- بخش تحتانی شامل شیل های خاکستری تا تیره با آثار گیاهی ( روی افق بوکسیت ) و لایه های نازک تمام توسط ماسه سنگهای قهوه ای تا

خاکستری رنگ ، آهک خاکستری تا تیره متوسط لایه با فسیل مرجان بوده و معادل با آهک حوض خان به سن رتین است ، ضخامت این بخش ۲۰ تا ۳۰ متر است .

۲- بخش وسطی شامل ماسه سنگ کواتزیتی متوسط لایه ، شیل تیره ، ماسه سنگهای آهکی پر فسیل متوسط تا ضخیم لایه قهوه‌ای تا خاکستری رنگ و ضخامت آن بیش از ۱۵ متر است .

۳- بخش فوقانی شامل شیل تیره تا خاکستری بوده که معادل گروه حوض شیخ است .

مجموعه‌ناپیوند مطابق فسیل های یافته شده متعلق به تریاس بالایی است . این رسوبات قاره‌ای بوده و تغییرات جانبی شدیدی در آن مشاهده می شود .

#### کواترنری :

رسوبات کواترنری شامل آبرفت های قدیمی ، آبرفتهای جوان و رسوبات آبرفتی عهد حاضر می باشد .

#### سنگهای آذرین :

رخمنوئهای آذرین در منطقه گدارزد بخصوص قسمت جنوب شرق بیشتر به چشم می خورد و سنگهای آذرین منطقه شامل سنگهای آذرین کرانیتی تا کرانودیوریتی و رگه های آپلیتی ریز بلور می باشد که مربوط به کرانودیوریت شیرکوه و همزمان با آن می باشد . در منطقه گدارزد دایک های طولانی آپلیت درامتداد با رسوبات نایبند نیز دیده می شود . این رخمنوئها نامنظم بوده و ریزبلور می باشند .

### ۳- منطقه شمال یزد

#### ۱-۳- موقعیت جغرافیایی، راههای دسترسی و آب و هوای

منطقه شمال یزد در حد فاصل طول جغرافیایی ۵۴°۴۱' - ۵۴°۳۰' و عرض جغرافیایی ۳۲°۲۶' - ۳۲°۳۲' در شمال یزد واقع شده است. راه دسترسی به منطقه از طریق دهکده حسن آباد واقع در شمال یزد می باشد که فاصله آن از بخش مرکزی منطقه حدود ۳۰ کیلومتر است که بخشی از آن آسفالت شده است. آب و هوای منطقه در تابستان گرم و خشک و در زمستان نیز سرد و خشک و بندرت همراه با بارش برف و باران است.

تنها روستای پرجمعیت منطقه روستای دشتده است و چند مزرعه دیگر به نامهای دارابید، دوربید و کلمند با جمعیت کم یا فاقد جمعیت می باشد. منطقه فاقد برق و آب آشامیدنی بهداشتی است.

منطقه چک در محدوده طول جغرافیایی ۵۴°۳۱' - ۵۴°۲۲' و عرض جغرافیایی ۳۲°۱۷' - ۳۲°۳۲' در شرق شهرستان اردکان واقع شده است. جاده مناسب برای دسترسی به این منطقه از طریق شهرستان اردکان جاده درجه ۲ خاکی است که پس از عبور از نزدیکی زیارتگاه چک چک به منطقه مورد نظر می رسد. طول این جاده ۴۵ کیلومتر که بخشی از آن آسفالت می باشد.

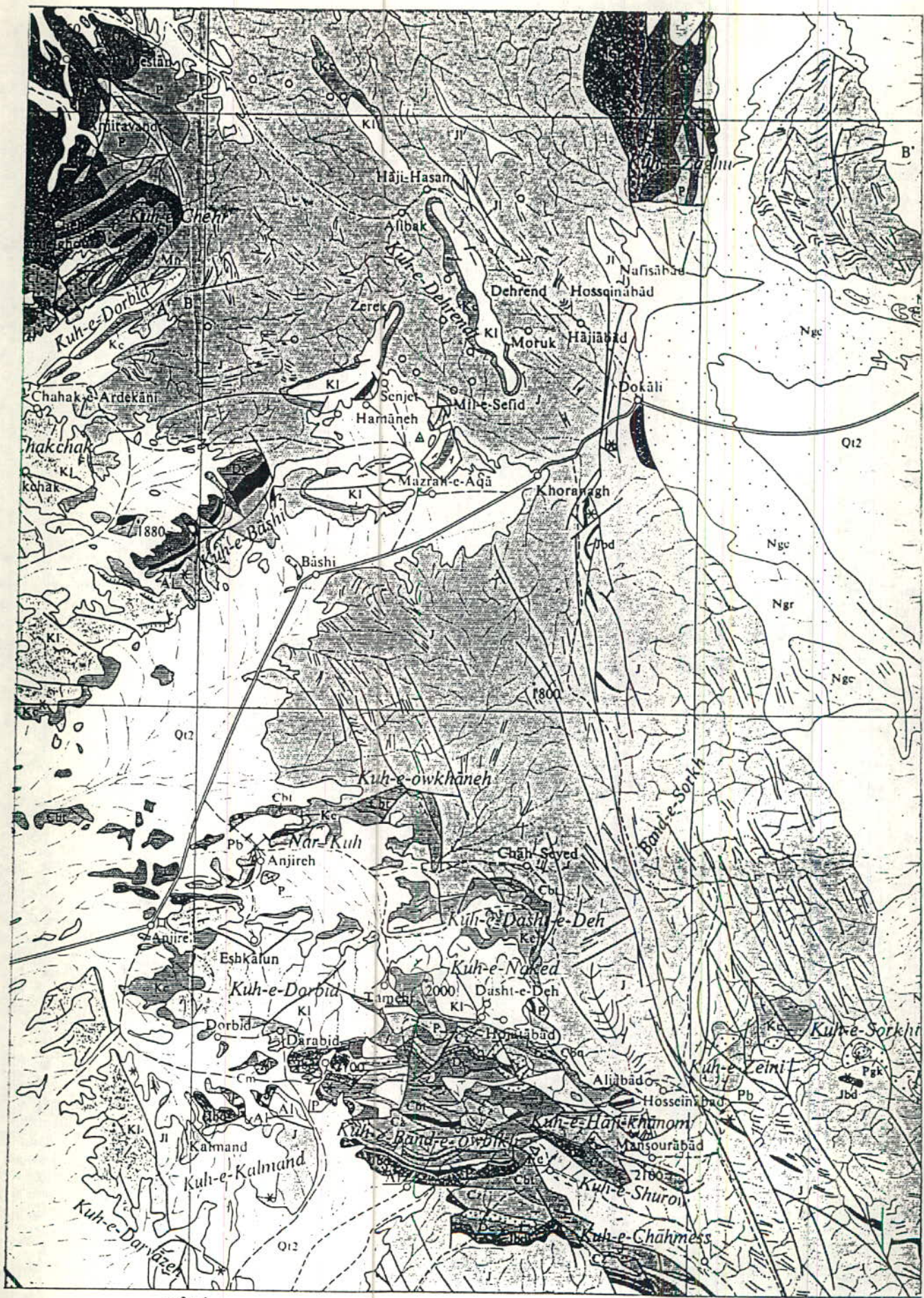
جاده مناسب دیگر جاده یزد - طبس است که تا سه راهی چک چک به طول ۴۵ کیلومتر آسفالت بوده و سپس باطی حدود ۱۸ کیلومتر جاده های خاکی به منطقه می توان دسترسی پیدا نمود.

شکل شماره ۲-۲ موقعیت جغرافیایی منطقه را نشان می دهد.

#### ۱-۴- زمین شناسی

##### ۱- زمین شناسی ساختمانی و تکتونیک:

ساختمان کلی منطقه بصورت یک تاقدیس بزرگ می باشد و منطقه مورد



شکل ۴-۲ موقعیت زمین شناسی کانسارهای بوكسیت شمال یزد در نقشه ۱:۲۵۰۰۰ چهارگوش اردکان

مطالعه دامنه جنوبی این تاقدیس را تشکیل می دهد .

فازهای تکتونیکی شامل کالدونین ، هرسی نین و کمرین پیشین می باشد که عمدتاً " بصورت خشکی زایی عمل نموده و موجب نبود رسوبگذاری در زمانهای مختلف شده است .

تکتونیک و چین خوردگی در منطقه تقریباً " شدید می باشد بصورتی که لایه بوکسیت عمدتاً " پر شیب و در مواردی نیز برگشته است و کسلهای متعدد نیز طبقات را جابجا نموده است .

## ۲- چینه شناسی :

مناطق مورد مطالعه در قسمت ایران مرکزی و در محدوده نقشه زمین شناسی چهارکوش اردکان واقع شده اند ( شکل شماره ۴-۲ ) قدیمی ترین رسوبات منطقه شمال یزد سازند لالون در کامبرین زیرین و میانی است . در کامبرین بالا و اردویسین ، دونین بالایی کربنیفرزیرین ، پرمین نیز رسوبگذاری انجام شده است و بر روی رسوبات پرمین افق بوکسیت واقع شده است که کمر بالای آن را رسوبات آواری دوران ژوراسیک تشکیل می دهند .

## کمر پایین ماده معدنی ( بوکسیت ) :

رسوبات کمرپایین ماده معدنی شامل شیل ، ماسه سنگ ، دلومیت و لاتریت می باشد که در قسمتهای فوقانی از دولومیتهای متوسط تا ضخیم لایه تشکیل شده است . البته این رسوبات در همه جا مشاهده نمی شود و در قسمتی از منطقه فقط دولومیتهای متوسط تا ضخیم لایه مشاهده می شود .

## افق بوکسیت :

افق بوکسیت در این منطقه در حد فاصل رسوبات پرمین و ژوراسیک در طول حدود ۸ کیلومتر گسترش دارد . ضخامت ماده معدنی از ه تا حدود ۸ متر متغیر است و بوکسیت به رنگهای قهوه ای ، جگری ، قرمز و خاکستری

تا سبز رنگ مشاهده می شود و دارای بافت های دانه ریز و الیتی بوده و بصورت سخت و شیلی مشاهده می شود که بخش سخت در قسمت فوقانی و بخش شیلی در قسمت تحتانی قرار دارد و بطور کلی افق بوکسیت از پایین به بالا شامل بخش های زیر است :

۱- بخش شیلی با سختی کم به رنگ جکری و خاکستری به ضخامت ۳۰ سانتیمتر تا یک متر

۲- بخش نسبتاً " سخت با رنگ قرمز ، قیوه ای و جکری با بافت دانه ریز تا الیتی به ضخامت  $1/5$  تا ۳ متر

۳- قسمت سخت با رنگ خاکستری تا سبز با بافت الیتی تا پیزولیتی به ضخامت حداقل ۱ متر

۴- قسمت کائولن با ضخامت ۲۰ سانتی متر تا ۴ متر به رنگ خاکستری و جکری

در منطقه چک چک ضخامت بوکسیت کمتر بوده ولی بخش سخت آن ضخامت بیشتری دارد و کیفیت بوکسیت نیز مناسبتر است .

کمر بالا :

روی افق بوکسیت را رسوبات تخریبی ژوراسیک زیرین شامل شیل و شیل های رسی ، ماسه سنگ ، ماسه سنگ آهکی و ماسه سنگ کواتزیتی و سیلت استون می پوشاند .

فصل سوم :

کارهای اکتشافی قبلی و تحلیل آنها  
بمنظور طراحی پروژه

## ۱- کانسارهای بوکسیت غرب یزد

### ۱-۱- منطقه صدرآباد

#### موقعیت جغرافیایی و راههای ارتباطی

کانسار بوکسیت صدرآباد بین مختصات جغرافیایی تقریبی عرض ۳۰ ۵۵ ۳۲ و طول ۳۲ ۵۷ ۳۰ تا ۴۰ ۵۳ ۳۸ قرار دارد . این منطقه در فاصله تقریباً ۱۰۰ کیلومتری غرب یزد قرار گرفته است و راه دسترسی به آن از دو طریق میباشد ، یکی جاده تفت - صدرآباد است که آسفالته بوده و کانسار بوکسیت در فاصله ۶ کیلومتری شرق روستای صدرآباد واقع شده است و فاصله آن تا جاد آسفالته نیز که از طریق یک جاده خاکی به کانسار متصل و از نرسیده به روستای صدرآباد منشعب می شود حدود ۵ کیلومتر است ، فاصله کانسار از شهرستان یزد از طریق این جاده ۹۶ کیلومتر می باشد . مسیر دوم جاده خضرآباد - پنه کوه است که ۶۴ کیلومتر آن تا روستای خمسیان آسفالته بوده و بقیه آن که ۲۳ کیلومتر می باشد و از طریق کدار اوچک ( کدار زرد ) به روستای صدرآباد متصل می شود . شکل شماره ۲-۲ موقعیت این محل ها را نشان می دهد .

#### ژئومرفولوژی

ارتفاعات این محل را دلومیت های سازند شتری تشکیل می دهند که ارتفاع آنها از سطح دشت حدود ۲۵۰ مترمی باشد و از طریق تپه های کوچک به دشت صدرآباد منتهی می شود . شیب توپوگرافی در قسمت سازند نایبند ( کمربالای ماده معدنی ) بسیار ملایم است ( ۲ تا ۲ درجه ) و محدوده

کانسار نیز در همین قسمت واقع شده است، که تپوگرافی تقریباً "ملايمی دارد. ولی کلا" این منطقه نسبت به سایر مناطق بیزد مرتفع است، و ارتفاع تقریبی کانسار از سطح دریا ۲۳۵۰ متر است.

### ساختمان و تکتونیک منطقه

این منطقه پلانژ یک تا قدیس می باشد و شب لایه هادر آنجا بسیار ملایم است (۲ تا ۱۵ درجه) و تکتونیک نیز آرام بوده و ماده معدنی بر روی دلومیت های فرسایش یافته سازند شتری قرار دارد. علاوه بر فرسایشی بودن کمر پایین بوکسیت، خود ماده معدنی نیز پس از تشکیل از عمل فرسایش در امان نبوده و در برخی جاهای حتی بطور کلی فرسایش ماده معدنی را حذف نموده و کمر بالا در مجاورت کمر پایین و بدون وجود بوکسیت قرار گرفته است.

ماده معدنی و کمر پایین در سه نقطه بصورت پنجره هایی از داخل سازند نایبند بیرون زده اند که این عمل در محل لنزهای ۶ و ۷ بعلت فرسایش و در محل لنز ۲ بعلت عمل کرد یک کسل با امتداد SW-NE می باشد.

### افق بوکسیت

ماده معدنی بوکسیت بصورت لنزهایی پراکنده در کن tact سازند دلومیتی شتری به سن تریاس (کمر پایین) و سازند آواری - آهکی نایبند به سن ژوراسیک (کمر بالا) رخنمون دارد که از ۱۱ تا ۱۹ میلی‌متر نامگذاری شده اند. L حرف اول کلمه Lens می باشد. در رخنمون پیوستگی در ماده معدنی مشاهده نمی شود و کانسار از یک افق بسیار سخت دیا سپوری تشکیل شده است و بر روی سطح ناهموار سازند شتری قرار گرفته است. در کمر بالا در مجاورت افق بوکسیتی لایه های رسی و شیلی سازند نایبند مشاهده می شود و پس از آن این سازند را تنابی از لایه های شیلی، سیلت، ماسه و آهک تشکیل می دهد.

### مشخصات ظاهری بوکسیت

---

بوکسیتهای این منطقه دارای بافت دانه‌ریز تا الیتی بوده و در رنگ‌های جگری، خاکستری تیره، خاکستری روشن، خاکستری مایل به سبز و ... مشاهده می‌شود. سختی بوکسیت بسیار بالا بوده و کل ذون را بوکسیت سخت دیاسپوری تشکیل می‌دهد. ولی در مواردی نیز بوکسیت کاثولنی نیز دیده می‌شود.

### کانیهای تشکیل دهنده بوکسیت

---

از منطقه صدر آباد تعداد ۱۳ نمونه مورد آزمایش کیفی و یا کمی کانی شناسی قرار گرفته است که نشان می‌دهد کانی اصلی ماده معدنی را دیاسپور تشکیل می‌دهد و پس از آن کانیهای کلریت، هماتیت و آناتاز نقش مهمی دارند. سایر کانیها عبارتند از رتیل اپلیت، دولومیت، کلسیت، کاثولینیت و کراندم. جداول شماره ۱-۲ و ۲-۳ بترتیب آنالیز شیمیایی و کانی شناسی ۱۲ نمونه از این کانسار را نشان می‌دهند.

جدول شماره ۱-۳ آنالیز شیمیایی ۱۲ نمونه بوکسیت که

تست کانی شناسی شده است .

شماره نمونه	محل نمونه برداشت	A12O3 %	SiO2%	Fe2O3%	TiO2 %	LoI %
Sa14Tr2-3	L4	48.04	12.74	19.53	5.46	9.72
Sa14Tr1-5	L4	53.31	12.95	4.06	5.31	10.92
Sa15Tr1-8	L5	53.22	6.07	24.15	5.34	14.43
341	L1	51.7	2.61	28.6	5.31	10.7
342	L4	52.8	4.95	25.1	4.92	11.2
343	L5	50	9.54	20.1	5.32	11.7
344		50.1	9.63	18.7	5.22	12.1
345	L6	46.1	5.68	30.5	5.69	10.10
346	L8	48.5	5.27	29	5.37	10.4
347	L2	50.3	6.93	25.2	5.47	10.6
348	L3	50.2	6.66	25.7	6	11
349		50.7	6.7	24.9	6.03	11.1
350	L2S1	49.8	5.69	25	5.91	11.6
میانگین		50.37	7.37	23.12	5.49	11.2
انحراف معیار		2.02	3.04	6.75	0.33	1.17

جدول شماره ۲-۳-۲ آتابلیز کمی پاکیشی ۱۳ نمونه بوكسیت صدر آباد

شماره نمونه	شماره برداری	محل نمونه	دیا سپوری	کلریت	هماتیت	آتا تاز	کلسیت	دولومیت	میکا ایلیت	کانوبلینیت
341	L1	58	11	24	5	2			0	
342	L4	57	19	18	5	1			1	
343	L5	49	27	9	5	0	3		6	
344		48	29	7	5	0	3		6	
345	L6	51	23	21	6	1	1		5	
346	L8	52	22	20	5	1				
347	L2	52	29	14	5	0				
348	L3	51	18	18	6	0				
349		51	28	14	6	0				
350	L2S1	52	24	15	6	2				
میانگین		57.37	21.6	17.87	5.37	0.87	0.5	0.87	0.67	

SaL4Tr2-3

SaL4Tr1-5

SaL5Tr1-8

شاموزیت ، دیا سپور ، آتا تاز دتیل ، هماتیت

دیا سپور ، ایلیت دولومیت ، کلسیت ، شاموزیت دتیل ، آتا تاز هماتیت

دیا سپور ، کراندم هماتیت ، شاموزیت ، دتیل ، ایلیت

## کارهای اکتشافی انجام شده

---

کارهای اکتشافی این منطقه شامل تهیه نقشه‌های زمین شناسی ۱:۲۰۰۰۰، ۱:۵۰۰۰ و نمونه برداری سطحی از رخنمونهای بوکسیتی است و در مجموع ۱۰ مقطع و ترانشه در این محدوده حفر و نمونه برداری شده است و تعداد ۱۰۹ نمونه از آنها آنالیز گردیده است. گزارش‌های موجود از این منطقه عبارتند از :

- ۱- گزارش پی جویی بوکسیت در سال ۶۸ توسط خسرو آبادی و همکاران.
- ۲- گزارش مطالعات آماری داده‌های مقدماتی غرب‌یزد توسط دکتر حسنی پاک.
- ۳- تهیه نقشه ۱:۵۰۰۰ بهمراه گزارش آن از غرب‌یزد توسط شرکت ایرامکو.

این گزارشات و مطالعات از کل منطقه غرب‌یزد می‌باشد.

## تحلیل داده‌های مقدماتی

---

### بررسی کیفیت نمونه‌ها

تجزیه شیمیایی ۱۰۹ نمونه که از ۱۰ ترانشه و مقطع برداشت شده است مورد بررسی قرار گرفت، میانگین وزن دارضخامت و میانگین حسابی عیار محل‌های نمونه برداری (مقاطع و ترانشه‌ها) برای Al2O3 و SiO2 به ترتیب  $50/73$  ،  $6/73$  درصد می‌باشد که مدول آنها برابر  $7/54$  خواهد بود . درصد آهن که در ۲۲ نمونه آنالیز شده است برابر  $20/24$  است که در جدول ۳-۳ مشخصات محل‌های نمونه برداری آمده است . همچنین شکل شماره ۱-۳ نمودار تغییرات این سه پارامتر را نسبت به محله‌هایشان می‌دهد و شکل شماره ۲-۳ تغییرات این سه پارامتر را که بر حسب مدول مرتب شده اند نشان می‌دهد .

Table 3.3 : Average values of different parameters of trench's for sadrabad deposit

NAME	SAMPLES	THICKNESS	Al2O3%	SiO2%	Fe2O3	MODULE
SaL1Tr1	8	2	51.94	3.14		15.24
SaL2S1	7	1.6	50.08	5.47		9.18
SaL2Tr2	7	3.2	52.15	8.20		7.10
SaL3Tr1	20	1.2	49.11	7.76		6.33
SaL4Tr1	1	1	65.1	4.11		15.84
SaL4Tr2	6	0.5	47.32	8.78		5.39
SaL5Tr2	8	0.7	47.19	9.78		4.82
SaL7S1		2	47.18	6.06		7.79
SaL8Tr1	22	4.5	47.89	5.93		8.07
SaL9S1	7	3	48.71	4.51		10.80
SaTr11	23	0.7	47.80	9.67	20.24	4.94
TOTAL SAMPLES 109						
TOTAL AVG		1.65	50.07	6.13	20.24	8.17
STD'S		1.26	5.35	2.41		4.04

Figure 3.1 : variation of different parameters in terms of samples location

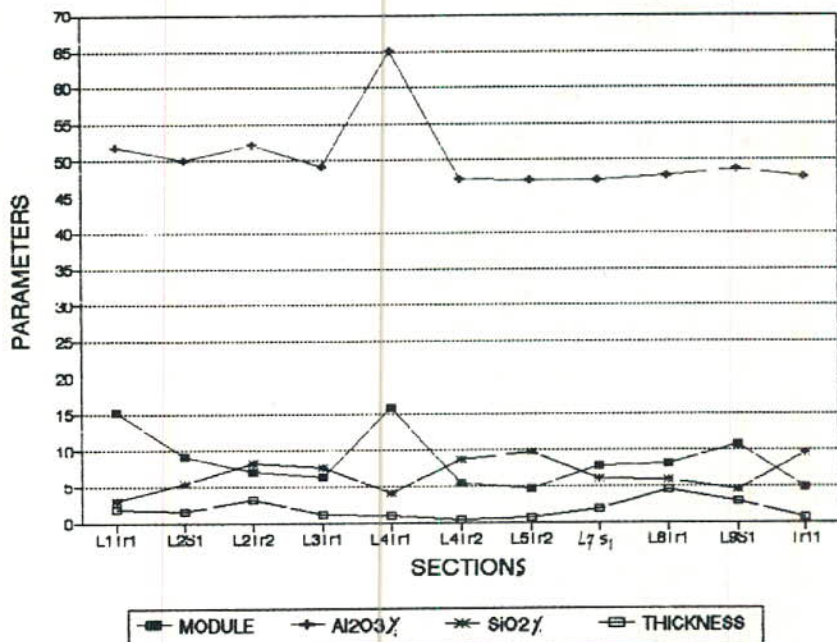
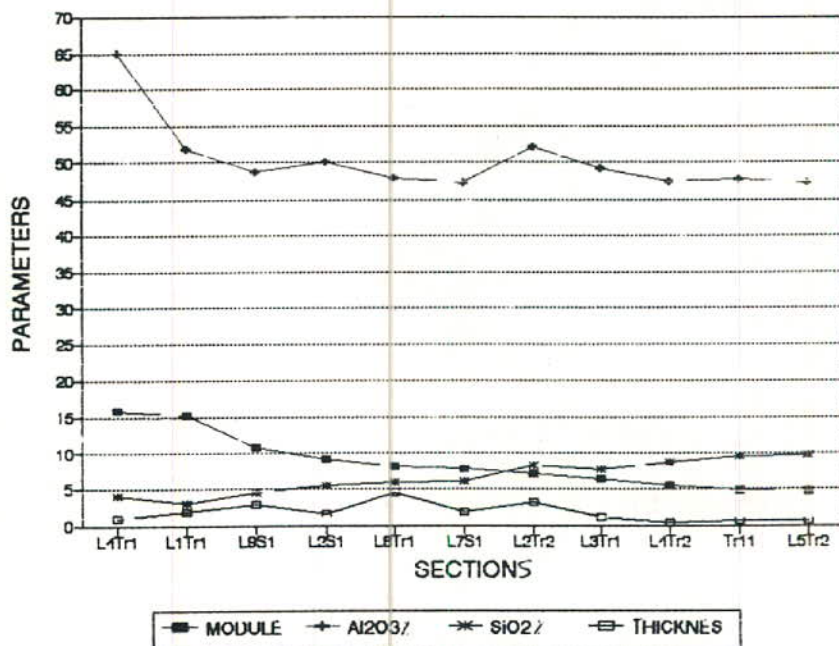


Table 3.4 : Average values of different parameters of trenches for sadrabad deposit that are sorted in terms of MODULE

NAME	SAMPLES	THICKNESS	Al2O3 %	SiO2 %	Fe2O3 %	MODULE
SaL4Tr1	1	1	65.1	4.11		15.84
SaL1Tr1	8	2	51.94	3.14		15.24
SaL9S1	7	3	48.71	4.51		10.80
SaL2S1	7	1.6	50.06	5.47		9.16
SaL8Tr1	22	4.5	47.89	5.93		8.07
SaL7S1		2	47.18	6.06		7.79
SaL2Tr2	7	3.2	52.15	8.20		7.10
SaL3Tr1	20	1.2	49.11	7.76		6.33
SaL4Tr2	8	0.5	47.32	8.78		5.39
SaTr11	23	0.7	47.80	9.67	20.24	4.94
SaL5Tr2	8	0.7	47.19	9.78		4.82
<b>TOTAL SAMPLES 109</b>						
<b>TOTAL AVG</b>		1.85	50.07	6.13	20.34	8.17
<b>STDs</b>		1.26	5.19	2.3		3.85

Figure 3.2 : variation of different parameters in terms of samples location that are sorted in terms of MODULE



### بررسی تغییرات پارامترهای مختلف

جهت بررسی دقیق‌تر تغییرات پارامترهای مختلف هیستوگرامها و نمودارهای آماری برای ۱۰۸ نمونه این منطقه تهیه شده است تا بتوان در برنامه و طراحی اکتشاف نیمه تفضیلی از اطلاعات موجود حداقل استفاده را بنماییم.

### بررسی تغییرات A1203

شکل شماره ۳-۳ هیستوگرام فراوانی درصد A1203 را در ۱۰۸ نمونه بوکسیت صدرآباد نشان می‌دهد. میانگین درصد آلومینا در این نمونه‌ها برابر ۴۸/۹۱ می‌باشد. ضریب تغییرات ۵/۶ نشان دهنده تغییرات کم این پارامتر حول مقدار میانگین است. همانطور که مشاهده می‌شود شکل توزیع به نرمال نزدیک است و میانگین و میانه تقریباً "برهم منطبق" می‌باشند ضریب چولگی این متغیر ۱/۱۱ است، که توزیع کمی از نرمال خارج است. ۲۵ درصد نمونه‌ها کمتر از ۴۶/۸۶ درصد ۲۵ درصد آنها بالاتر از ۵۰/۶۲ درصد و ۵۰ درصد دیگر بین ۴۶/۸۶ و ۵۰/۶۲ درصد A1203 دارند.

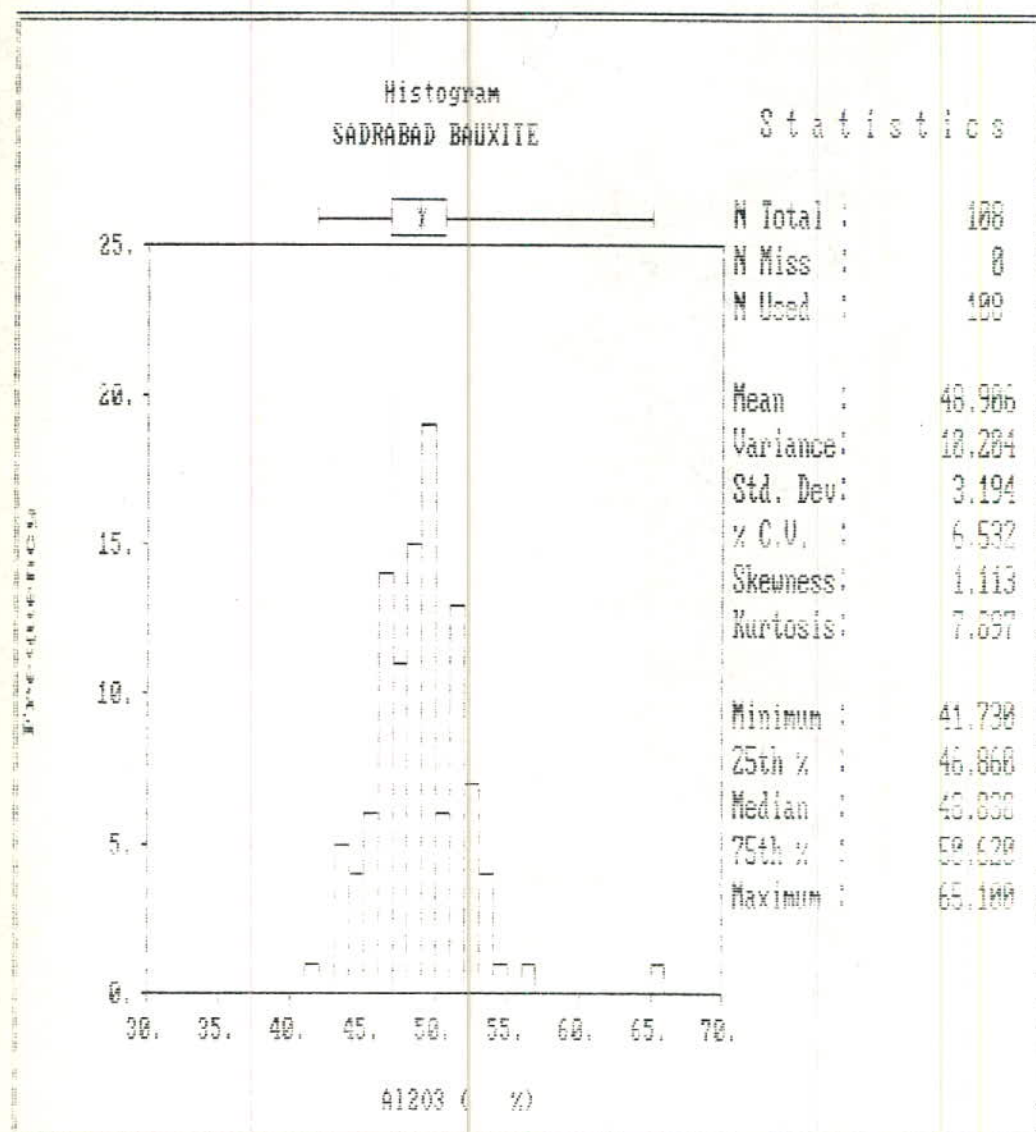
### تغییرات SiO<sub>2</sub>

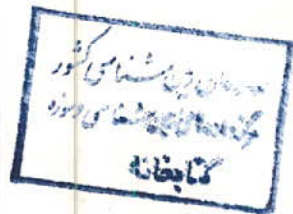
شکل شماره ۴-۳ هیستوگرام فراوانی درصد SiO<sub>2</sub> برای نمونه‌های بوکسیت صدرآباد می‌باشد، میانگین مقدار SiO<sub>2</sub> در این نمونه‌ها ۷/۳۱ درصد است. ضریب تغییرات ۴۱/۲۲ نشان دهنده تغییرات نسبتاً "شید این پارامتر حول مقدار میانگین است و ضریب چولگی ۵۳۵/۰ نشان دهنده غیرنرمال بودن توزیع این پارامتر است. براساس این هیستوگرام ۲۵ درصد نمونه‌ها کمتر از ۴/۲۹ درصد و ۵۰ درصد آنها بین ۴/۲۹ و ۸/۵۱ درصد و ۲۵ درصد دیگر بیش از ۸/۹۱ درصد سیلیس دارند.

### تغییرات مدول

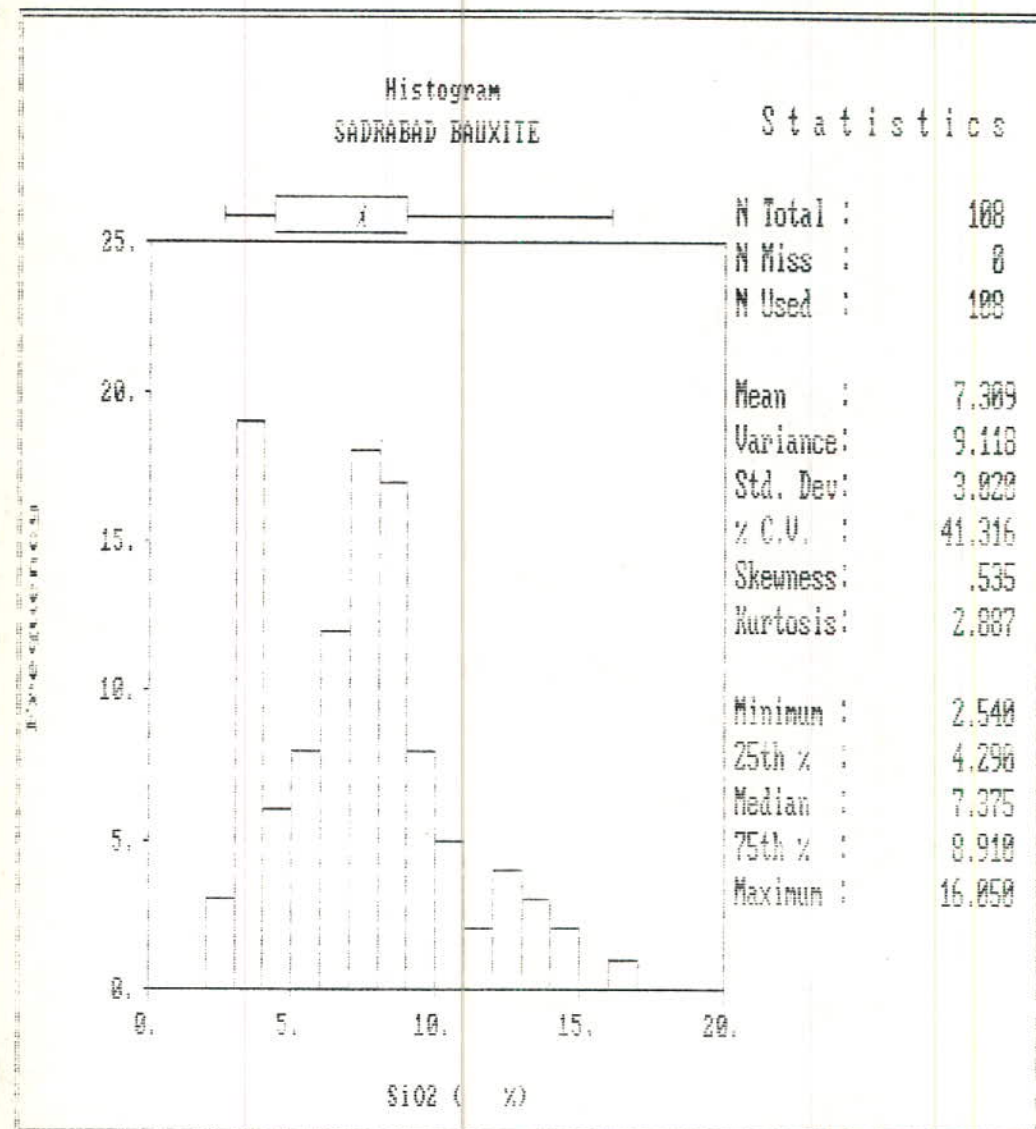
شکل شماره ۵-۳ هیستوگرام توزیع مقدار مدول را برای نمونه‌های صدرآباد نشان می‌دهد ضریب تغییرات ۴۹/۲۱ به علت بالا بودن تغییرات مقدار SiO<sub>2</sub> است. توزیع این پارامتر غیرنرمال بوده و ۲۵ درصد نمونه‌ها دارای مدول ۱۰/۵۸ و ۵۰ درصد از آنها دارای مدول بین ۵/۳۶ و ۱۰/۵۸ می‌باشند و فقط ۲۵ درصد از نمونه‌های با مدول کمتر از ۵/۳۶ هستند.

شکل شماره ۳-۳ : هیستوگرام فراوانی - درصد Al2O3 نمونه های بوکسیت  
منطقه صدر آباد.

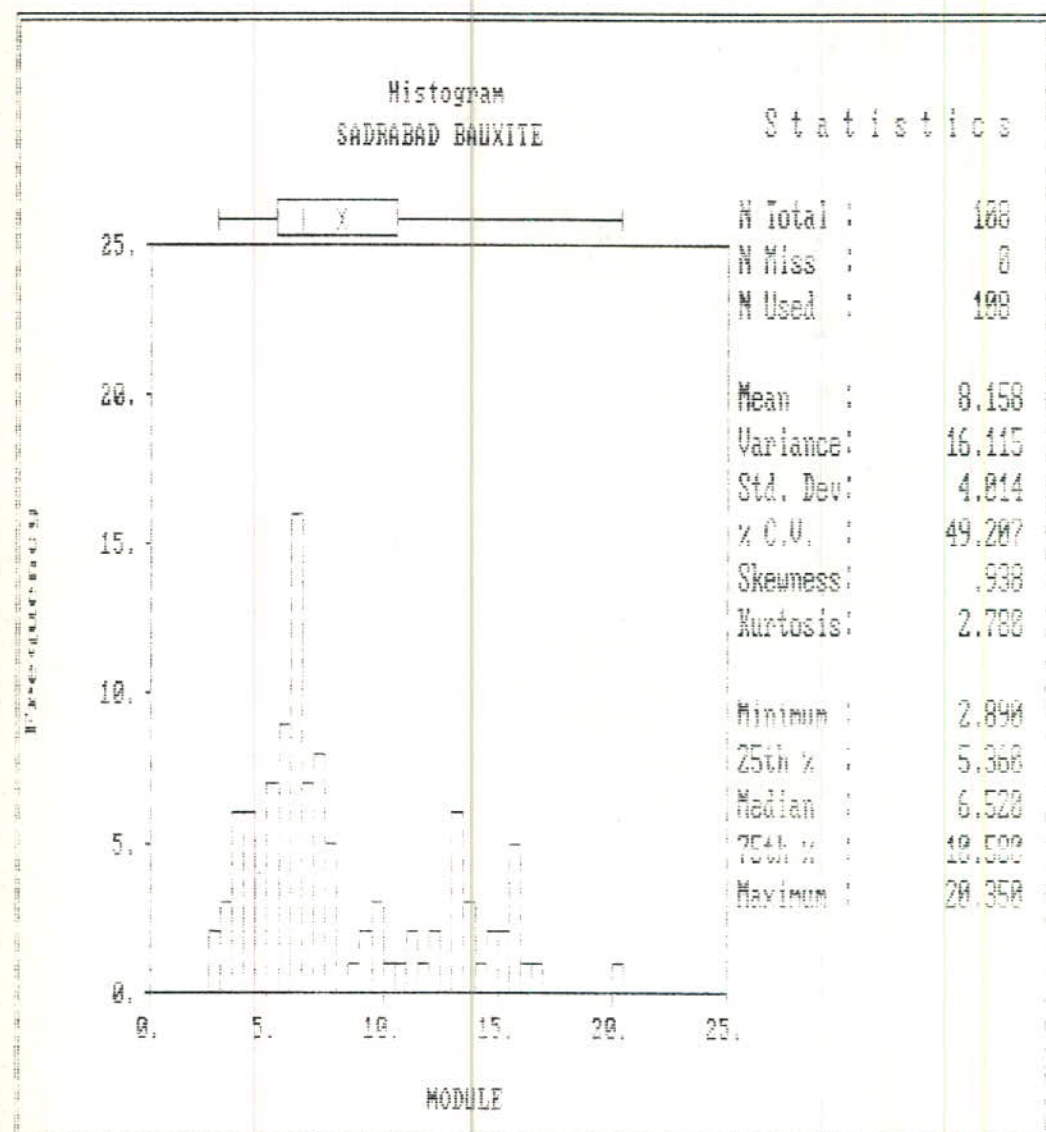




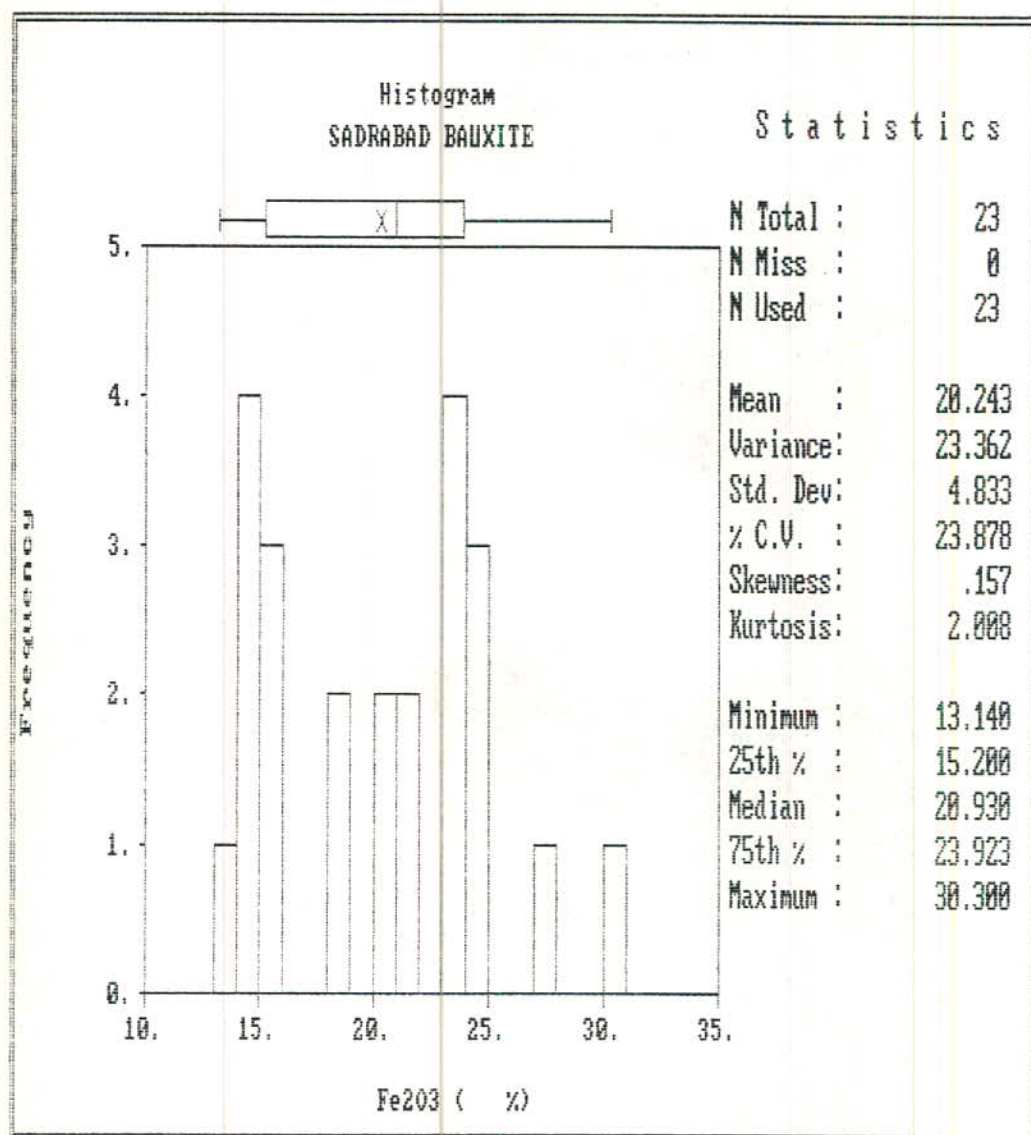
شکل شماره ۴-۳ : هیستوگرام فراوانی - درصد SiO<sub>2</sub> نمونه های بوکسیت منطقه صدر آباد.



شکل شماره ۵-۳ : هیستوگرام فراوانی - مقدار MODULE نمونه های بوكسیت منطقه صدر آباد.



شکل شماره ۳-۶ : هیستوگرام فراوانی - درصد Fe2O3 نمونه های بوکسیت  
منطقه صدر آباد.



### تغییرات میزان Fe203

شکل ۶-۳ توزیع فراوانی درصد آهن را برای ۲۲ نمونه بوکسیت صدرآباد نشان می‌دهد. میانگین مقدار آهن ۲۰/۱۴ درصد و دارای ضریب تغییرات ۲۲/۸ که تقریباً شدید نمی‌باشد. براساس این توزیع ۲۵ درصد از نمونه‌ها کمتر از ۱۵ درصد و ۲۵ درصد آنها بالای ۲۳/۹۲ درصد و ۵۰ درصد دیگر حاوی ۱۵ تا ۲۳/۹۲ درصد آهن هستند.

### همبستگی متغیرها:

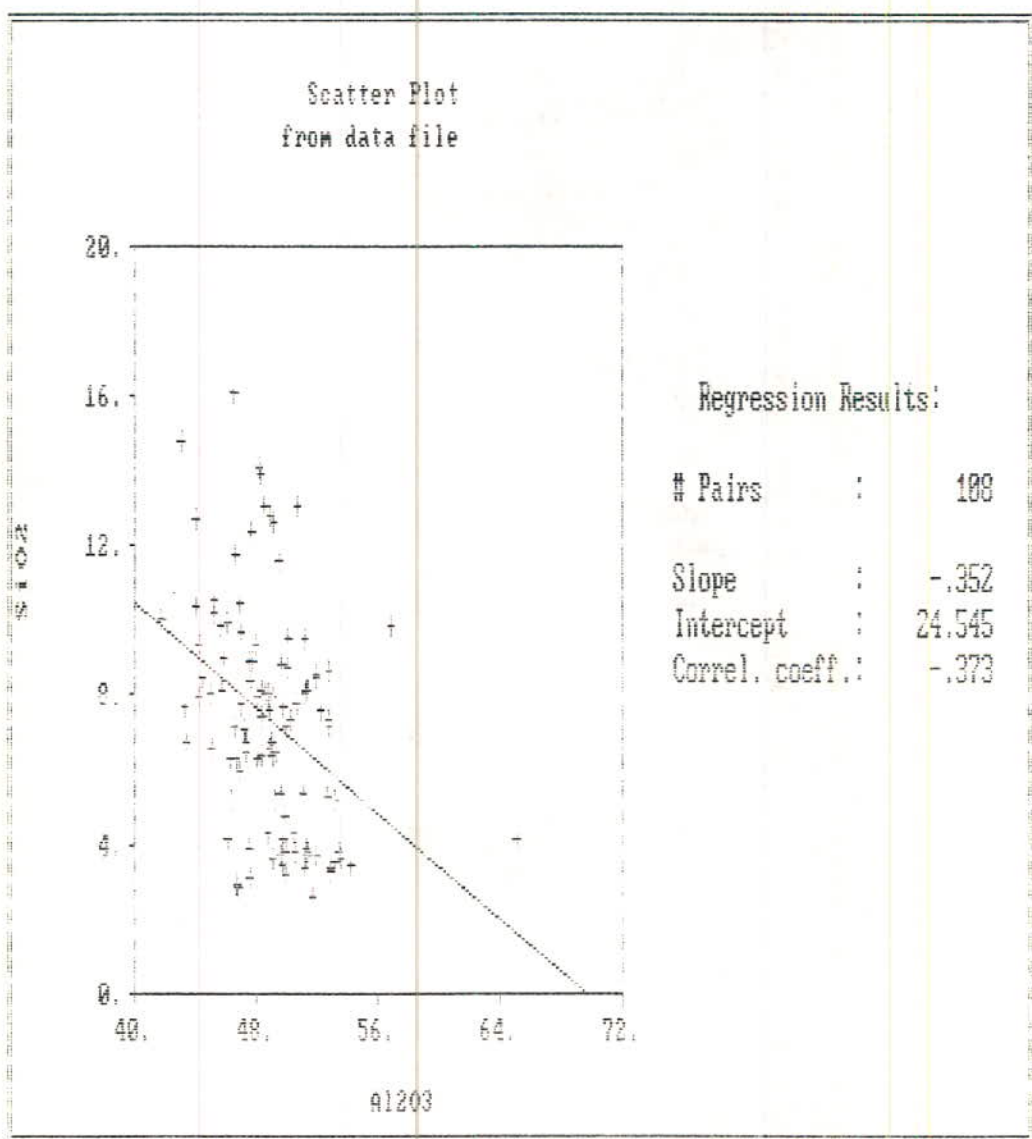
شکل‌های ۷-۳ تا ۹-۳ همبستگی بین متغیرهای مختلف را نشان می‌دهد. ماتریس همبستگی برای این پارامترها به شرح جدول ۵-۳ است.

جدول شماره ۵-۳

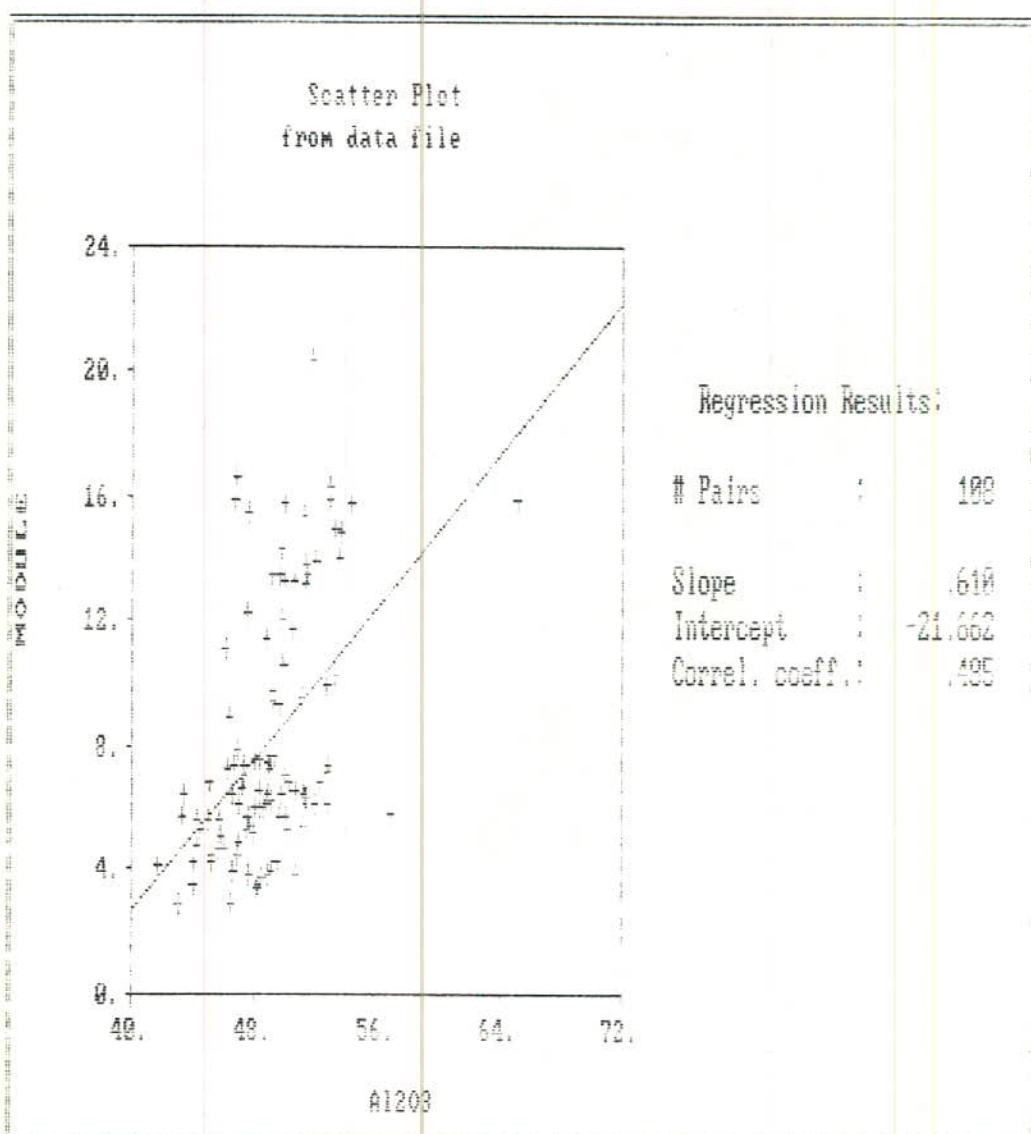
	SiO <sub>2</sub>	Al <sub>2</sub> O <sub>3</sub>	MODULE	Fe <sub>2</sub> O <sub>3</sub>
SiO <sub>2</sub>	1	-0.37	-0.89	
Al <sub>2</sub> O <sub>3</sub>		1	0.48	
SiO <sub>2</sub>			1	
Fe <sub>2</sub> O <sub>3</sub>				1

معمولًا در بوکسیت‌ها همبستگی منفی نسبتاً "خوبی بین Al<sub>2</sub>O<sub>3</sub> و SiO<sub>2</sub> وجود دارد. همچنین این همبستگی بصورت مثبت بین پارامترهای MODULE و Al<sub>2</sub>O<sub>3</sub> نیز قوی است ولی برخلاف این انتظار در این کانسارت همبستگی این پارامترها نسبتاً "ضعیف" می‌باشد.

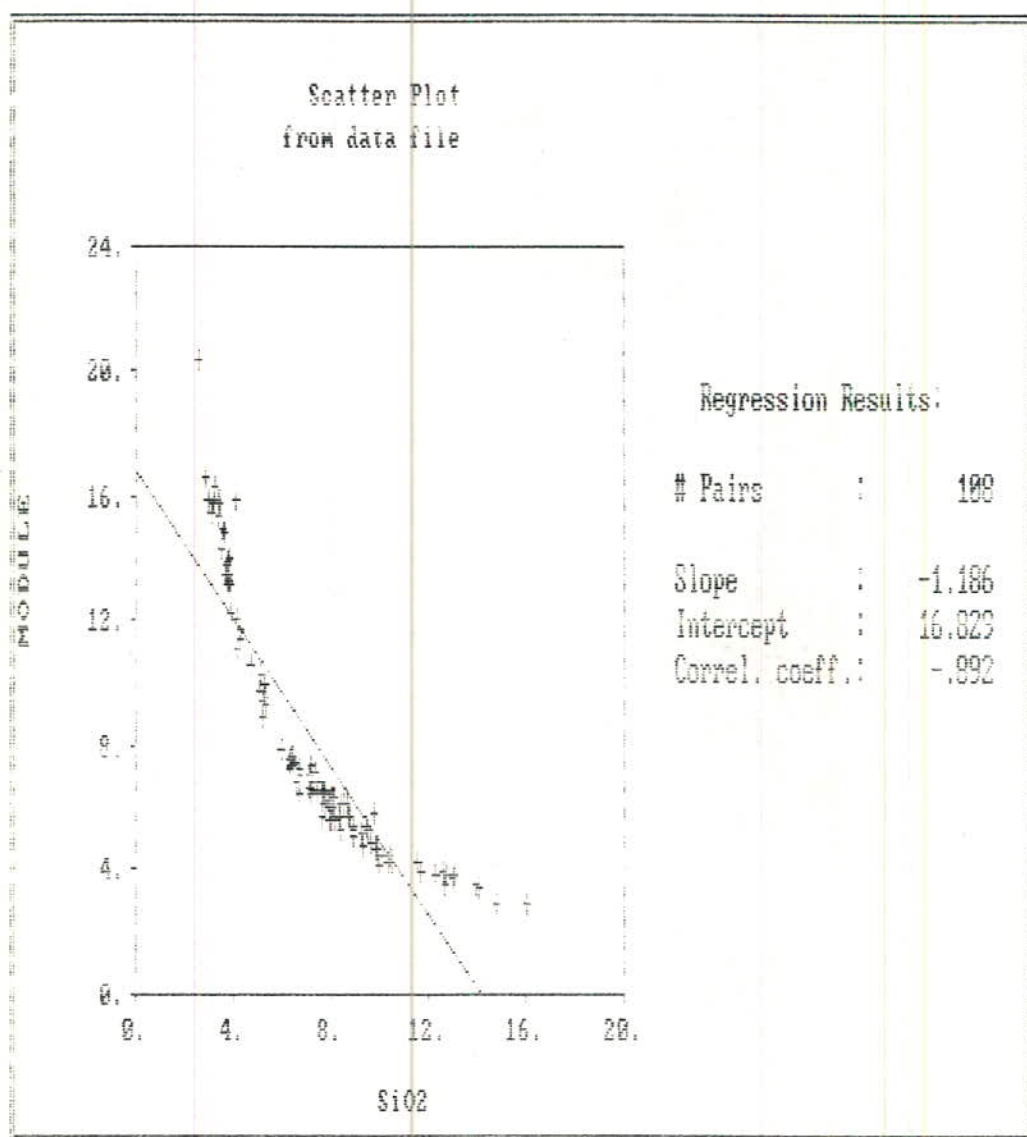
شکل شماره ۷-۳ : همبستگی درصد  $Al_2O_3$  و  $SiO_2$  نمونه های بوکسیت منطقه  
صدر آباد.



شکل شماره ۸-۳ : همبستگی درصد Al2O3 و MODULE نمونه های بوکسیت منطقه صدر آباد.



شکل شماره ۹-۳ : همبستگی درصد SiO<sub>2</sub> و MODULE نمونه های بوكسیت منطقه صدر آباد.



## نتایج تحلیل های مقدماتی

همانطوریکه از نتایج داده های مقدماتی مشخص گردید ، کلیه محل های نمونه برداری شده جهت ادامه کار اکتشاف از نظر کیفیت مناسب می باشند و نیازی به تفکیک و اولویت بندی آنها از این نظر نمی باشد . و از طرفی کانسار بوکسیت صدر آباد در میان کانسارهای بوکسیت یزد موقعیت ویژه ای دارد . کیفیت مناسب نمونه های مقدماتی ، راه دسترسی مناسب ، نزدیکی آن به راه آهن جهت حمل بوکسیت ، آب و هوای نسبتاً مناسب و امكان انجام کار در تمامی فصول سال ، شبکه ملائم لایه ها ، سهولت استخراج به روش روباز و ... از مزایای این کانسار بشمار می رود که ادامه کار اکتشاف را توجیه پذیرمی کند .

## ۲- منطقه گداورزه:

### موقعیت جغرافیایی و راههای ارتباطی

این منطقه بین نواحی صدرآباد و خمسیان واقع شده است. راههای دسترسی به آن از دو طریق می باشد یکی جاده تفت و دیگری جاده خضرآباد ، شکل شماره ۲-۲ موقعیت جغرافیایی این منطقه را نسبت به سایر کانسارها نشان می دهد . فاصله این کانسار از طریق جاده خضرآباد از شهرستان یزد ۸۵ کیلومتر است که تا روستای خمسیان ۶۴ کیلومتر آسفالت میباشد و بقیه آن ۱۶ کیلومتر خاکی درجه ۳ است . رخمنونهای بوکسیت در سمت شمال و جنوب جاده ای که بنه کوه را به صدرآباد وصل می کند دیده می شوند . برای دسترسی به بخش های مختلف این منطقه در دو مسیر دره آغل ( بخش شمالی گدارزرد ) و بخش جنوبی جاده نیز احداث شده است ولی اکثر بخش های این منطقه هنوز فاقد جاده دسترسی می باشد که نیاز به جاده سازی دارد .

### ژئومرفولوژی

این منطقه دارای یک آبراهه اصلی می باشد که جاده در آن واقع شده و آبراهه های کوچکتر از طرفین شمال و جنوبی به آن منتهی می شوند رخمنونهای بوکسیتی در طرفین این آبراهه اصلی واقع شده اند که بخشی از آنها نیز در دامنه ارتفاعات قرار دارند .

### ساختمان و تکتونیک منطقه

چین خوردگی و تکتونیک در این منطقه تقریباً " شدید می باشد و ماده معدنی که در حد فاصل سازندهای شتری به سن تریاس و نایبند به سن ژوراسیک

واقع شده است بر اثر عملکرد کسل های متعدد در نقاط مختلف منطقه رخنمون دارد . علاوه بر وجود کسل های متعدد توده های نفوذی در منطقه نیز زیاد می باشد . که انواع اسیدی با رنگ روشن و بازیک با رنگ تیره مشاهده می شود .

### کارهای اکتشافی انجام شده

---

کارهای اکتشافی انجام شده در این منطقه شامل تهیه نقشه های زمین شناسی در مقیاسهای ۱/۲۰۰۰۰ و ۱/۵۰۰۰ و برداشت نمونه از رخنمونهای سطحی و ترانشهای شامل ۴۴ مقطع و ترانشه ۲۴۷ نمونه میباشد که برای این نمونه ها درصد Al2O3 و SiO2 اندازه کیری شده است .

### تحلیل داده های مقدماتی

---

#### بررسی کیفیت ماده معدنی

جدول شماره ۳-۶ و شکل شماره ۱۰-۳ آنالیز متوسط پارامترهای مختلف این منطقه را نشان می دهد . در جدول شماره ۷-۳ و شکل شماره ۱۰-۳ همین اطلاعات بر حسب مدول مرتب شده اند . کیفیت کلیه محل ها مناسب می باشد و فقط از دید کمی و معدنکاری باید بررسی شوند .

تحلیل های آماری پارامترهای مختلف این منطقه در شکل های ۱۲-۳ تا ۱۴-۳ آمده است و پارامترهای آماری در این شکل ها درج شده است .

#### بررسی تغییرات Al2O3

شکل شماره ۱۲-۲ هیستوگرام فراوانی درصد Al2O3 را نشان میدهد . میانگین این پارامتر ۵۸/۵۰ درصد و انحراف معیار آن ۳/۱۷ است . ضریب تغییرات ۶/۲۶ برای این پارامتر نشان دهنده تغییرات کم این پارامتر است . براساس این توزیع ۲۵ درصد نمونه ها بین ۴۰/۱۹ تا ۴۹/۰۳ درصد

Table 3.6 : Average values of different parameters of sample<sup>5</sup> location for GODARZARD area

NAME	SAMPLE No	THICKNESS	Al2O3%	SiO2%	MODULE
GzL181	8	2.00	49.86	5.69	8.76
GzL261	7	2.80	51.20	5.39	9.50
GzL282	6	3.50	53.38	4.03	13.26
GzL2Tr1	8	3.50	59.07	5.50	10.73
GzL3S1	4	1.80	51.24	6.59	7.78
GzL4	1	1.00	47.87	5.91	8.10
GzL5S1	2	1.80	49.95	7.05	7.09
GzL6S1	8	3.20	47.11	8.80	5.35
GzL6S2	10	3.00	50.63	4.02	12.59
GzL6S3	6	3.60	52.16	6.65	7.85
GzL7S1	7	1.00	50.87	6.51	7.81
GzL7S2	24	2.00	51.44	4.46	11.54
GzL7S3	10	2.00	50.16	4.51	11.13
GzL7S4	4	1.20	47.15	5.81	8.12
GzL10S1	1	1.00	46.16	7.55	6.15
GzL11S1	6	1.00	51.46	7.08	7.27
GzL12S1		2.80	53.71	5.00	10.73
GzL13S1	6	1.70	52.07	3.45	15.00
GzL13S2	11	2.50	51.82	4.31	12.03
GzL13S3		1.00	50.58	6.63	7.63
GzL14S1	5	1.00	42.64	15.84	2.69
GzL15S1		1.00	48.26	9.13	5.29
GzL16Tr1		2.80	46.92	11.41	4.11
GzL17S1		2.70	50.27	7.64	6.58
GzL18S1		1.20	51.01	9.06	5.63
GzL20S1		1.00	54.25	5.68	9.56
GzL20Tr1		1.00	49.64	8.16	6.09
GzL220p1		1.00	45.63	11.80	3.87
GzL230p1		1.00	47.62	9.37	5.08
GzL240p1		1.00	50.60	6.25	8.10
SGzL8S1	1	0.60	50.55	8.61	5.87
SGzL7S1		0.40	52.66	6.41	8.22
SGzL9S1		1.00	51.00	6.49	7.86
SGzL10S1		2.20	49.09	5.90	8.32
SGzL10S2		1.40	54.81	5.56	9.86
SGzL130p1	1	1.00	50.61	7.99	6.33
SGzL140p1	1	1.00	46.60	6.76	6.89
SGzL150p1	1	1.00	46.97	8.71	5.39
SGzL160p1	1	1.00	49.70	7.02	7.08
SGzL20S1		0.70	43.05	9.15	4.71
SGzL20S2		1.80	44.32	10.05	4.41
SGzL21-1	1	0.60	47.41	13.69	3.46
SGzL22S2		0.60	48.39	8.07	6.00
SGzL22S3		1.20	46.56	10.34	4.50
TOTAL SAMPLES	247				
Avg		1.61	50.36	6.84	7.36
STD		0.59	3.11	2.53	2.71

Table 3.7 . Average values of different parameters of sample location for GODARZARD area which are sorted in terms of MODULE

NAME	SAMPLE No	THICKNESS	Al2O3 %	SiO2 %	MODULE
GzL13S1	6	1.70	52.07	3.45	15.09
GzL282	6	3.50	53.38	4.03	13.26
GzL032	10	3.00	50.03	4.02	12.58
GzL13S2	11	2.50	51.82	4.31	12.03
GzL7S2	24	2.00	51.44	4.48	11.54
GzL7S3	10	2.00	50.16	4.51	11.13
GzL2Tr1	8	3.50	50.07	5.50	10.73
GzL12S1		2.80	53.71	5.00	10.73
SGzL10S2		1.40	54.81	5.56	9.86
GzL20S1		1.00	54.25	5.68	9.56
GzL2S1	7	2.80	51.20	5.39	9.50
GzL1S1	8	2.00	49.86	5.69	8.76
SGzL10S1		2.20	49.09	5.90	8.32
SGzL7S1		0.40	52.66	6.41	8.22
GzL7S4	4	1.20	47.15	5.81	8.12
GzL4	1	1.00	47.87	5.91	8.10
GzL24Op1		1.00	50.60	6.25	8.10
SGzL9S1		1.00	51.00	6.49	7.86
GzL0S3	6	3.00	52.16	6.05	7.85
GzL7S1	7	1.00	50.87	6.51	7.81
GzL3S1	4	1.80	51.24	6.59	7.78
GzL13S3		1.00	50.58	6.63	7.63
GzL11S1	6	1.00	51.46	7.06	7.27
GzL5S1	2	1.80	49.95	7.05	7.09
SGzL16Op1	1	1.00	49.70	7.02	7.08
SGzL14Op1	1	1.00	46.60	6.76	6.89
GzL17S1		2.70	50.27	7.64	6.58
SGzL13Op1	1	1.00	50.61	7.99	6.33
GzL10S1	1	1.00	46.46	7.55	6.15
GzL20Tr1		1.00	49.64	8.16	6.09
GGzL22S2		0.60	48.39	8.07	6.00
SGzL6S1	4	0.60	50.55	8.61	5.87
GzL18S1		1.20	51.01	9.06	5.63
SGzL15Op1	1	1.00	46.97	8.71	5.39
GzL6S1	8	3.20	47.11	8.80	5.35
GzL15S1		1.00	48.26	9.13	5.29
GzL23Op1		1.00	47.62	9.37	5.06
SGzL20S1		0.70	43.05	9.15	4.71
GGzL22S3		1.20	46.56	10.34	4.50
SGzL20S2		1.80	44.32	10.05	4.41
GzL16Tr1		2.80	46.92	11.41	4.11
GzL22Op1		1.00	45.63	11.80	3.87
SGzL21-1	1	0.60	47.41	13.09	3.46
GzL14S1	5	1.00	42.64	15.84	2.69
TOTAL SAMPLES	247				
AVG		1.61	50.36	8.84	7.36
STD		0.89	3.11	2.53	2.74

Figure 3.10 : Variation of different parameters in term of sample location (GODARZARD)

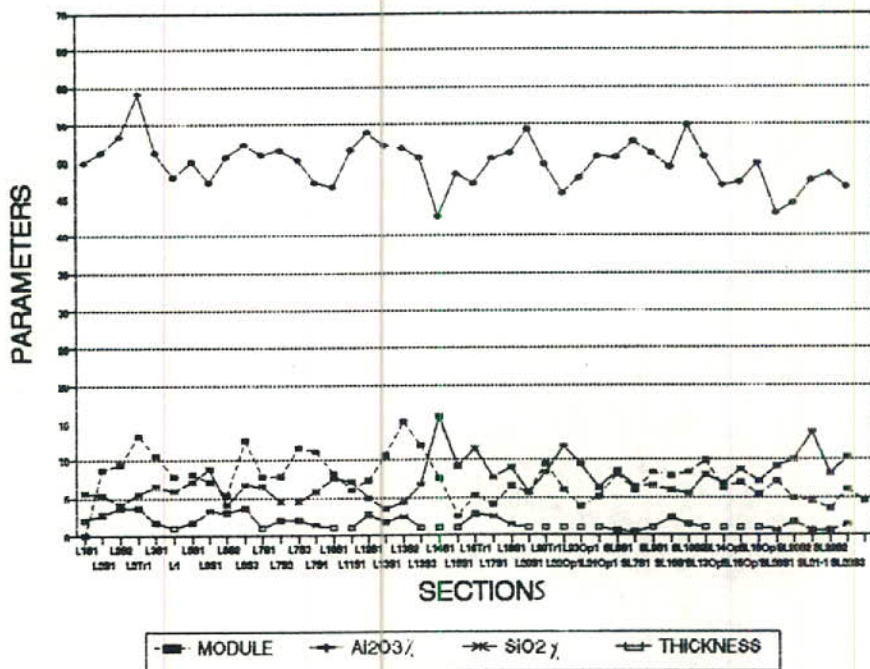
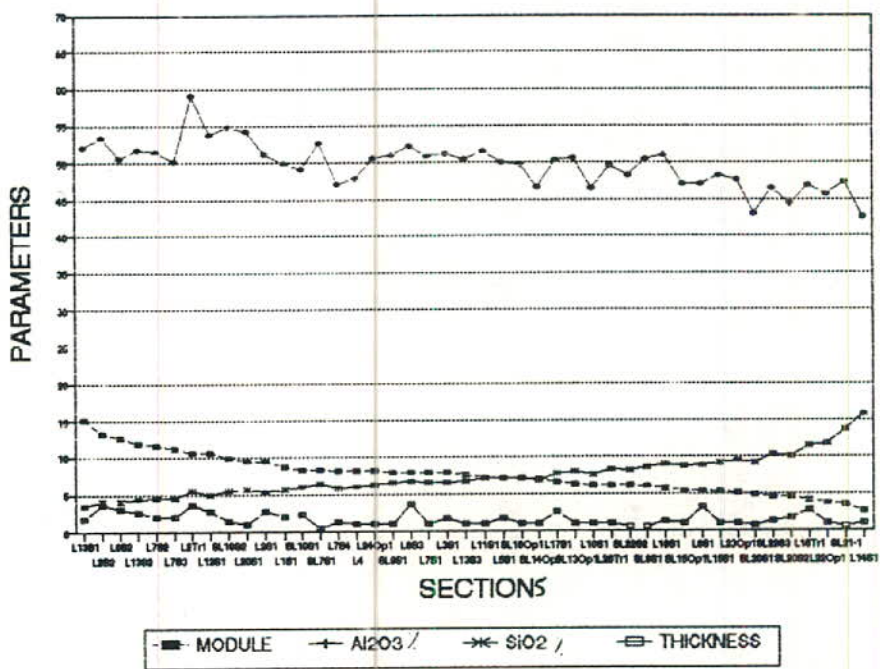


Figure 3.11 : Variation of different parameters in term of sample location that are sorted in term of MODULE (GODARZARD area)



A1203 دارند و ۲۵ درصد دیگر نمونه های بین ۴۰/۰۳ تا ۵۸ درصد A1203 دارند که نشان دهنده کیفیت مناسب این کانسار است.

#### بررسی تغییرات SiO<sub>2</sub>

هیستوگرام فراوانی درصد برای SiO<sub>2</sub> در شکل شماره ۱۴-۳ مشاهده می شود. میانگین این پارامتر ۶/۳۴ درصد و انحراف معیار آن ۳/۰۱ است. ضریب تغییرات ۴۷/۴۷ درصد نشان می دهد که تغییرات این پارامتر حول مقدار میانگین تقریباً شدید است. توزیع این پارامتر نشان می دهد که فقط ۲۵ درصد نمونه ها بالای ۷/۲۹ درصد SiO<sub>2</sub> دارند و ۲۵ درصد دیگر بین ۲/۲۱ تا ۷/۲۹ درصد SiO<sub>2</sub> دارند.

#### بررسی تغییرات مدول

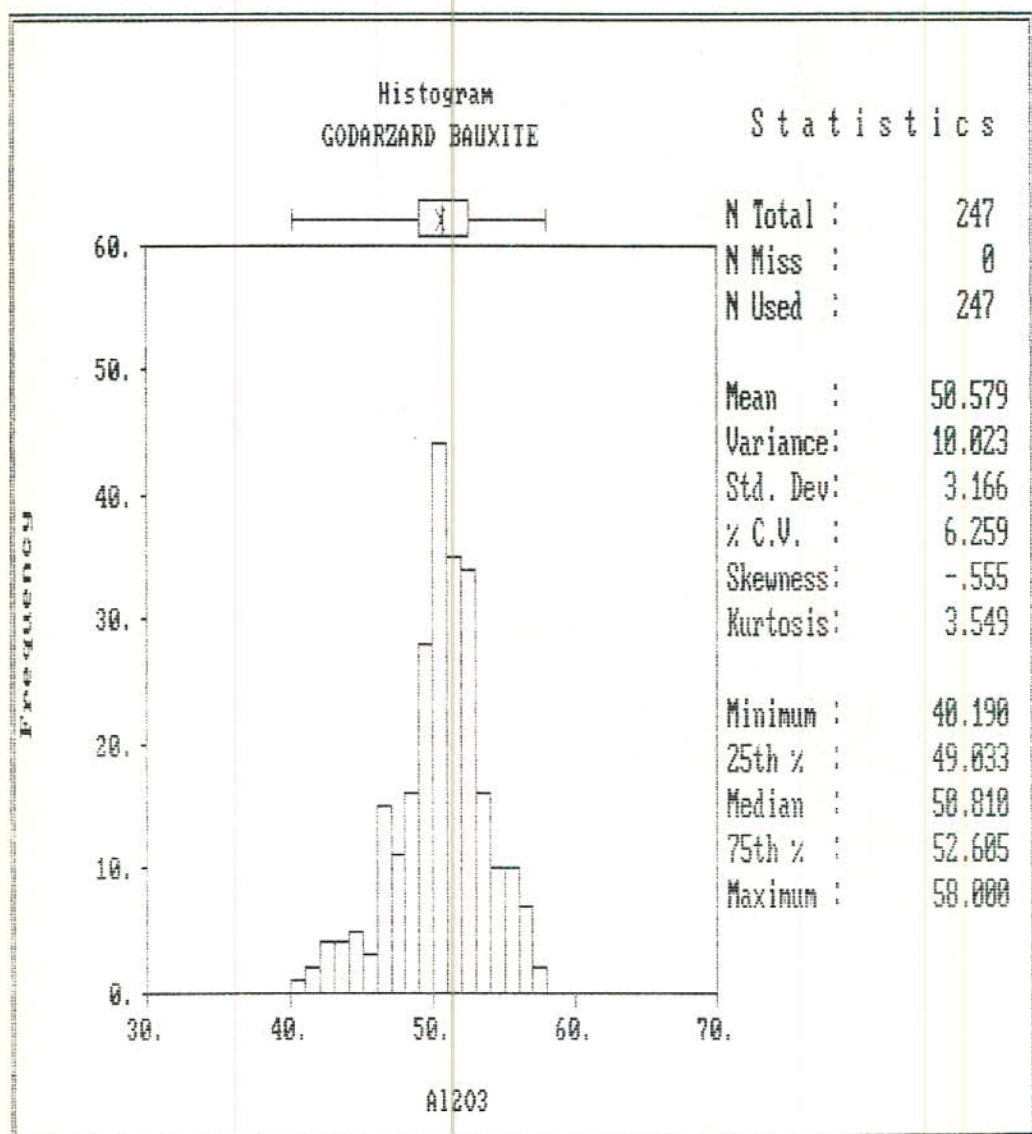
شکل شماره ۱۴-۳ توزیع فراوانی مقدار پارامتر مدول را برای کانسار بوکسیت گدار زرد نشان می دهد. پارامترهای آماری برای این متغیر در شکل درج شده است. ضریب تغییرات ۴۳/۷ نشان دهنده تغییرات نسبتاً زیاد این پارامتر حول مقدار میانگین است که متاثر از تغییرات میزان SiO<sub>2</sub> نمونه ها است.

#### همبستگی متغیرها

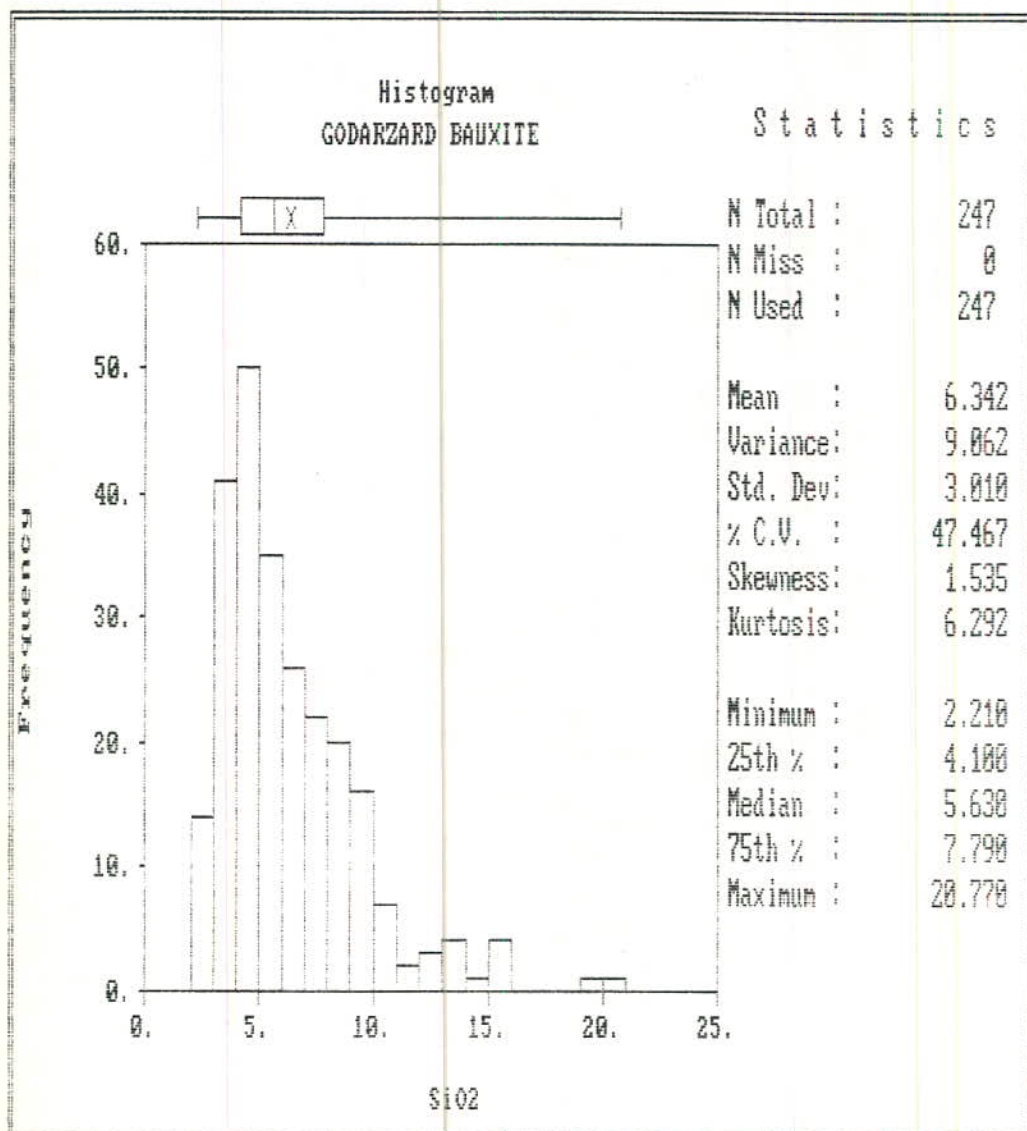
شکل های ۱۵-۳ تا ۱۷-۳ همبستگی پارامترهای مختلف را نشان می دهند. ماتریس همبستگی به شرح جدول زیر می باشد.

	A1203	SiO <sub>2</sub>	Module
A1203	1	-0.58	0.53
SiO <sub>2</sub>	.	1	-0.86
Module			1

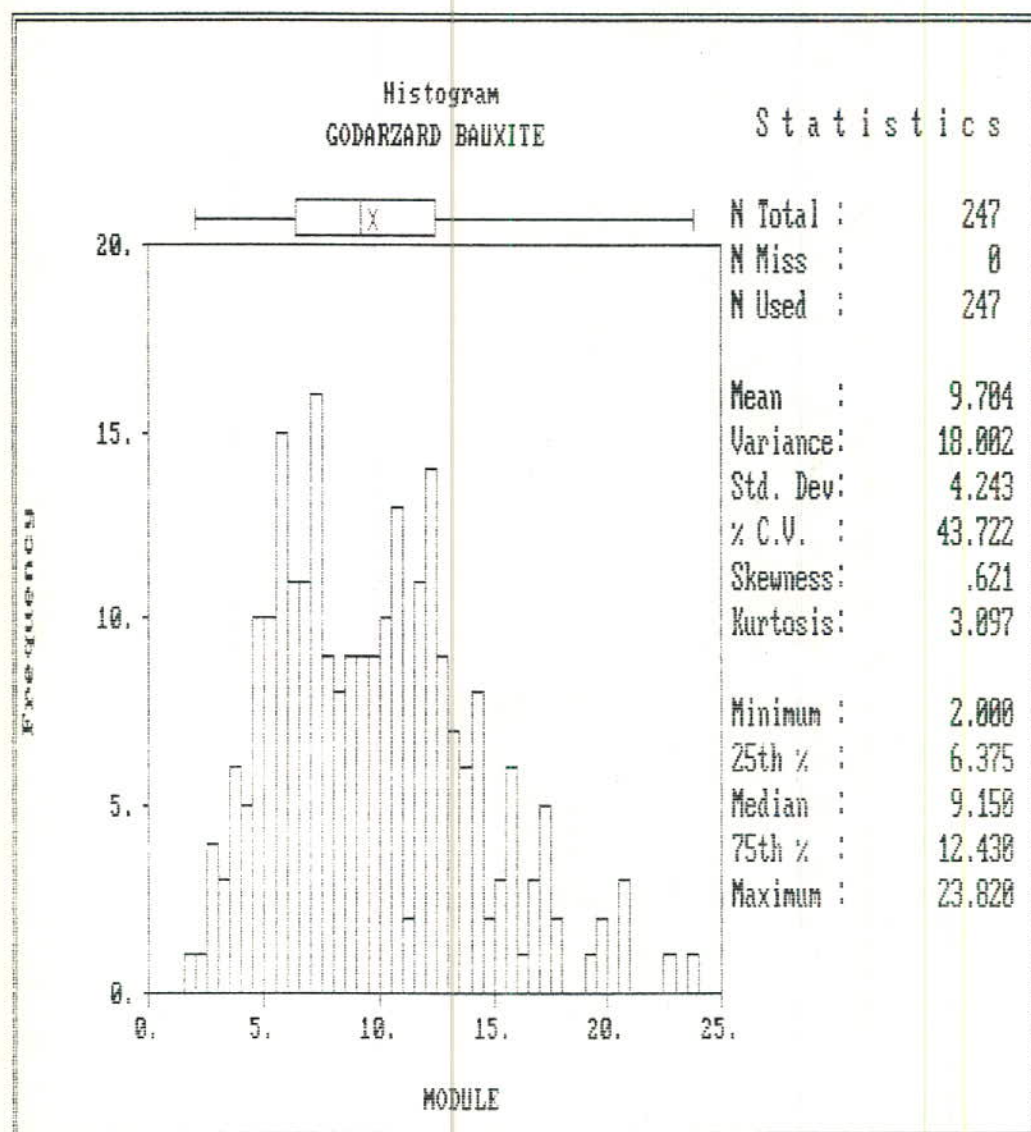
شکل شماره ۱۲-۳ : هیستوگرام فراوانی - درصد Al2O3 نمونه های بوکسیت منطقه گدارزد.



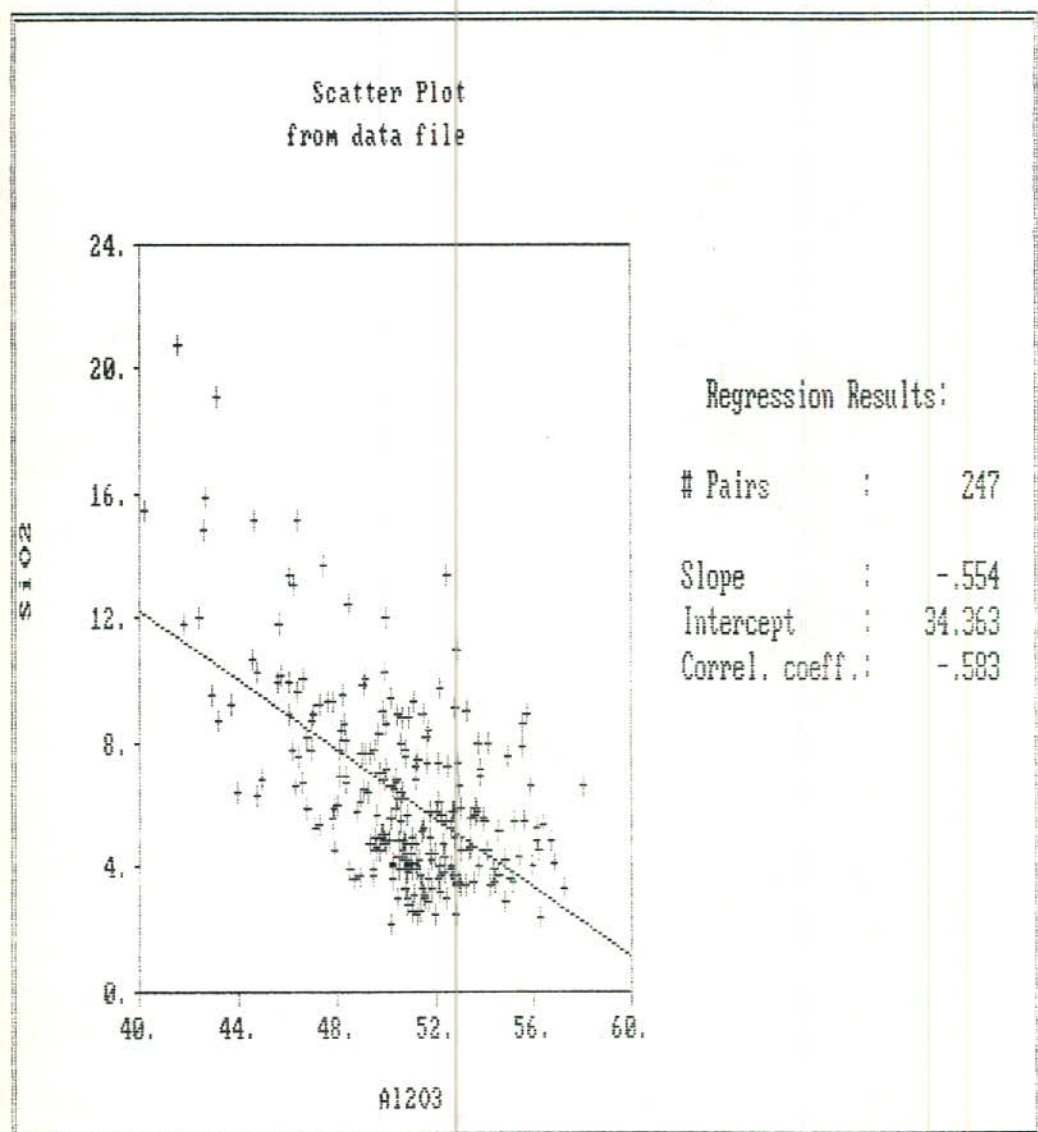
شکل شماره ۱۳-۳ : هیستوگرام فراوانی - درصد SiO<sub>2</sub> نمونه های بوکسیت  
منطقه گدارزد.



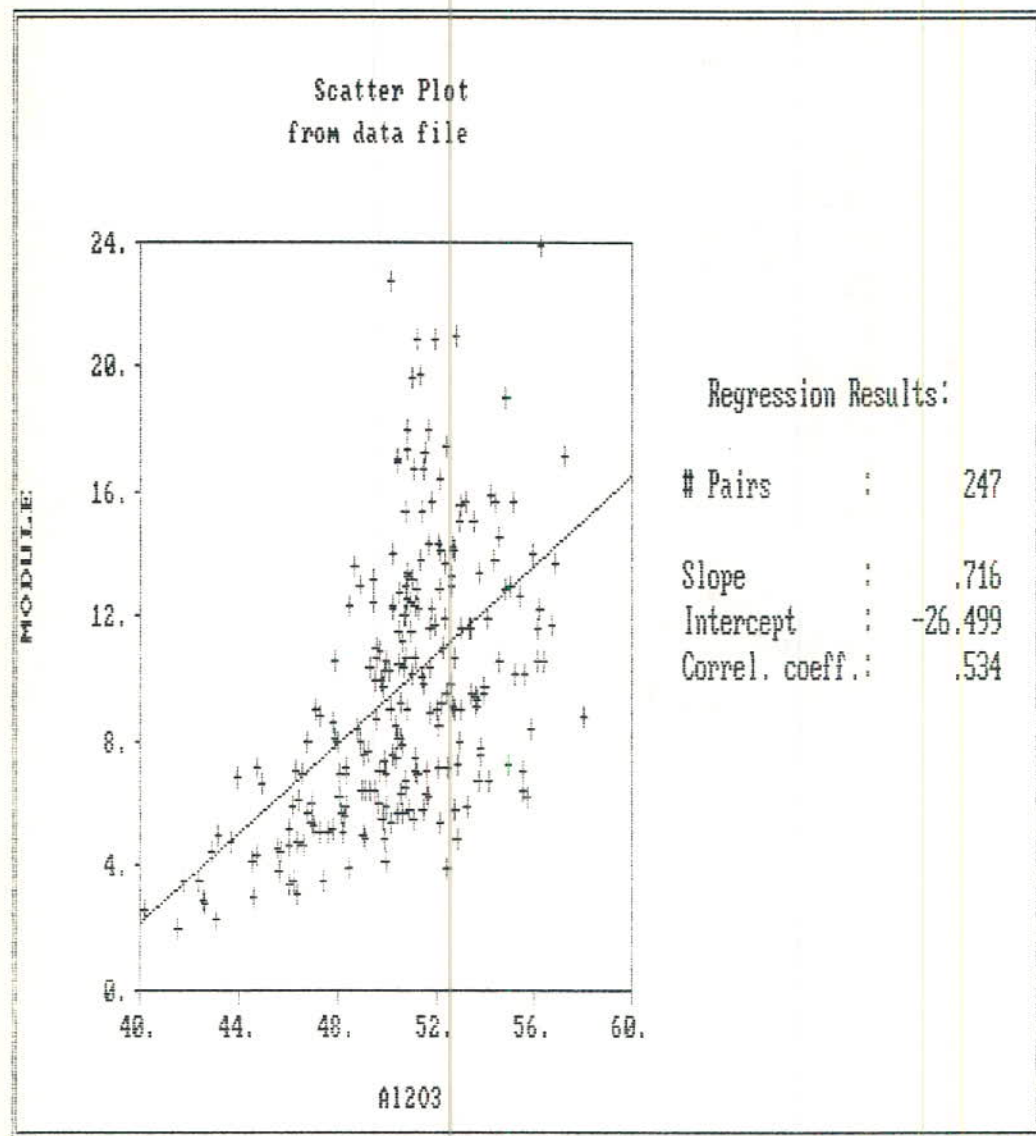
شکل شماره ۱۴-۳ : هیستوگرام فراوانی - مقدار MODULE نمونه های بوکسیت منطقه کدارزد.



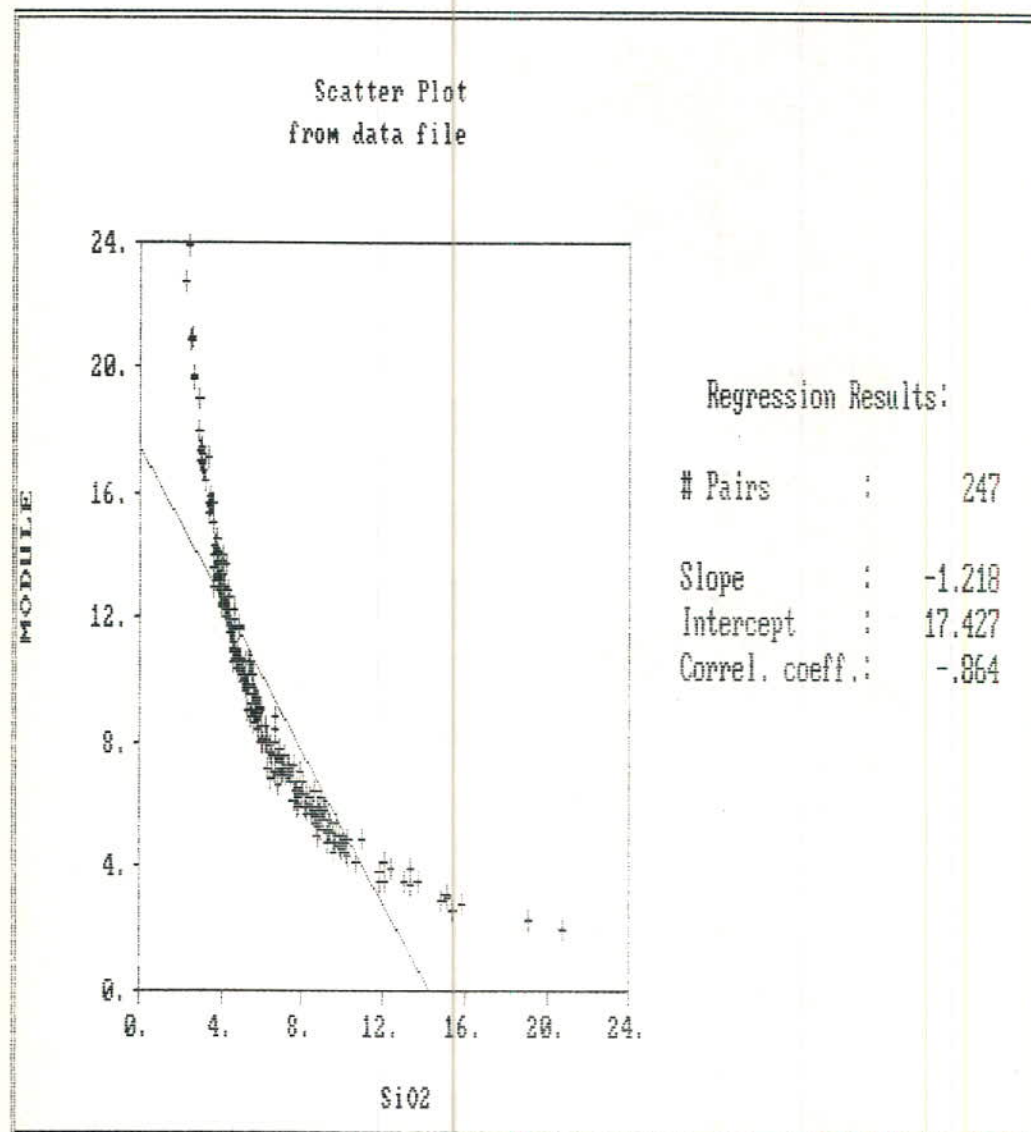
شکل شماره ۱۵-۳ : همبستگی درصد  $Al_2O_3$  و  $SiO_2$  نمونه های بوکسیت منطقه کدارزرد.



شکل شماره ۱۶-۳ : همبستگی درصد MODULE A1203 و نمونه های بوکسیت  
منطقه گدارزد.



شکل شماره ۱۷-۳ : همبستگی درصد SiO<sub>2</sub> و MODULE نمونه های بوكسیت منطقه گدارزد.



## ۱-۳ ناحیه خمیان :

### موقعیت جغرافیایی و راههای ارتباطی

بوکسیتهای این منطقه در جنوب شرق تا جنوب غرب روستای خمیان و در نزدیکی این روستا کشترش دارند . این روستا در مسیر جاده بیزد خضرآباد و بعد از روستای کذاب و در انتهای جاده آسفالته خضرآباد واقع شده است . فاصله این روستاتای بیزد ۶۰ کیلومتر می باشد و از مسیر جاده بنه کوه تا گدار زرد حدود ۲۳ کیلومتر تا این بوکسیتهای فاصله می باشد .

### سایر مشخصات منطقه

بوکسیتهای این محل در اطراف روستای خمیان در طرفین جنوب غربی تا جنوب شرقی آن کشترش دارند . ساختمان این منطقه برگشته بوده و لایه بوکسیت نیز با شیب حدود ۴۵ درجه برگشته کما بیش رخنمون دارد . ضخامت بوکسیت در این منطقه گاهی به ۱۰ متر نیز می رسد . دلومیتهای سازند شتری بر روی بوکسیت با شیب تقریباً " تند و ارتفاع حدود ۵۰۰ متر مشاهده می شوند .

### کارهای اکتشافی انجام شده

کارهای اکتشافی انجام شده در این منطقه شامل پی جویی و نمونه برداشی مقدماتی در سال ۶۲ و همچنین تکمیل نمونه برداشی سطحی و اکتشاف مقدماتی در سال ۶۲ می باشد . در این منطقه تعداد ۱۶ مقطع و ترانشه حفر و برداشت شده و ۷۳ نمونه از آن جهت تعیین میزان اکسیدهای Al2O3 و SiO2 برداشت شده است .

## تحلیل داده های مقدماتی

---

### بررسی کیفیت ماده معدنی

میانگین نمونه های برداشت شده از ۱۶ محل در جدول ۱۱-۳ آمده است . متوسط عیار این محل ها برای Al2O3 برابر ۴۵/۶۱ درصد و برای SiO<sub>2</sub> برابر ۹/۶۰ درصد می باشد که مدول متوسط برای آنها برابر ۴/۲۵ خواهد شد . همچنین شکل ۱۹-۳ تغییرات پارامترهای مختلف نسبت به محل ها را نشان می دهد . همین اطلاعات در جدول شماره ۱۲-۳ و شکل شماره ۲۰-۳ بر حسب مدول مرتب شده اند . کلیه محل ها غیراز محل L7S1 دارای ارزش اقتصادی می باشند ، هرچند میزان Al2O3 کمتر از میانگین مورد نظر است ولی با توجه به پایین بودن سیلیس مقدار مدول بالای عدد مورد نظر می باشد و در نتیجه دو پارامتر مدول و سیلیس بالای مقدار میانگین می باشند و می تواند از این لحاظ مورد توجه قرار گیرد .

### بررسی تغییرات پارامترهای مختلف

---

#### تغییرات Al2O3:

شکل شماره ۲۱-۳ هیستوگرام فراوانی درصد Al2O3 را نشان می دهد . میانگین این پارامتر ۴۴/۹۶ درصد و ضریب تغییرات آن ۱۱/۲۶ درصد است که تقریباً کم است . ضریب چولگی ۵/۲۱-۰ نشان دهنده غیرنرمال بودن این توزیع است . براساس این هیستوگرام ۲۵ درصد از نمونه ها بالای ۴۸/۰۲ درصد و ۵۰ درصد آنها بین ۴۱/۱۹ تا ۴۸/۰۲ درصد Al2O3 دارند و تنها ۲۵ درصد از آنها کمتر از ۴۱/۱۹ درصد Al2O3 دارند .

TABLE 3.11 : Average values of different parameters of sample location for KHAMSIAN area

NAME	THICKNESS	Al2O3 %	SiO2 %	MODULE
Khml1Tr1		44.87	9.90	4.53
Khml1OP1	1.50	53.50	2.77	19.31
Khml2Op1	1.00	47.87	5.91	8.10
Khml3S1	5.30	44.54	9.53	4.68
Khml3S2	7.70	43.30	11.76	3.68
Khml3Tr3	4.70	40.92	14.03	2.92
Khml3S4	8.70	45.83	7.42	7.04
Khml4S1	3.20	44.72	9.52	4.70
Khml4S1	1.00	48.38	7.54	6.42
Khml4S2	6.40	46.89	10.26	4.57
Khml5S1	2.10	41.93	13.62	3.08
Khml6S1	3.50	44.53	9.99	4.46
Khml7S1	4.50	40.58	16.43	2.47
Khml8Op1	1.00	45.82	10.00	4.58
Khml9S1	1.80	49.72	9.33	5.33
Khml3S1	1.70	46.43	5.58	8.32
Avg	3.61	44.76	10.31	4.24
STDs	2.53	3.42	3.52	4.09

FIGURE 3.19 : Variation of different parameters in term <sup>s</sup> of sample location(KHAMSIAN)

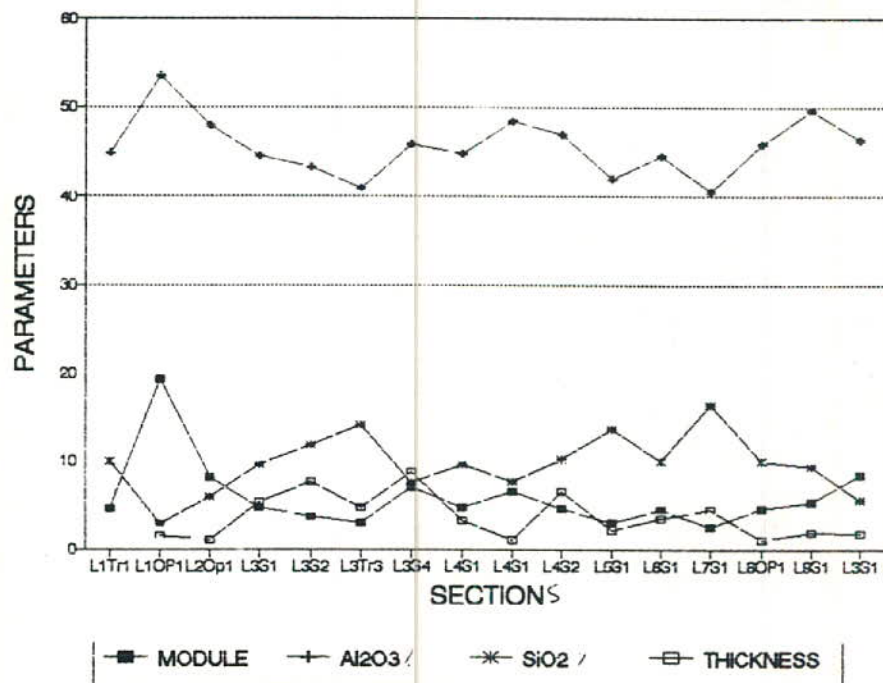
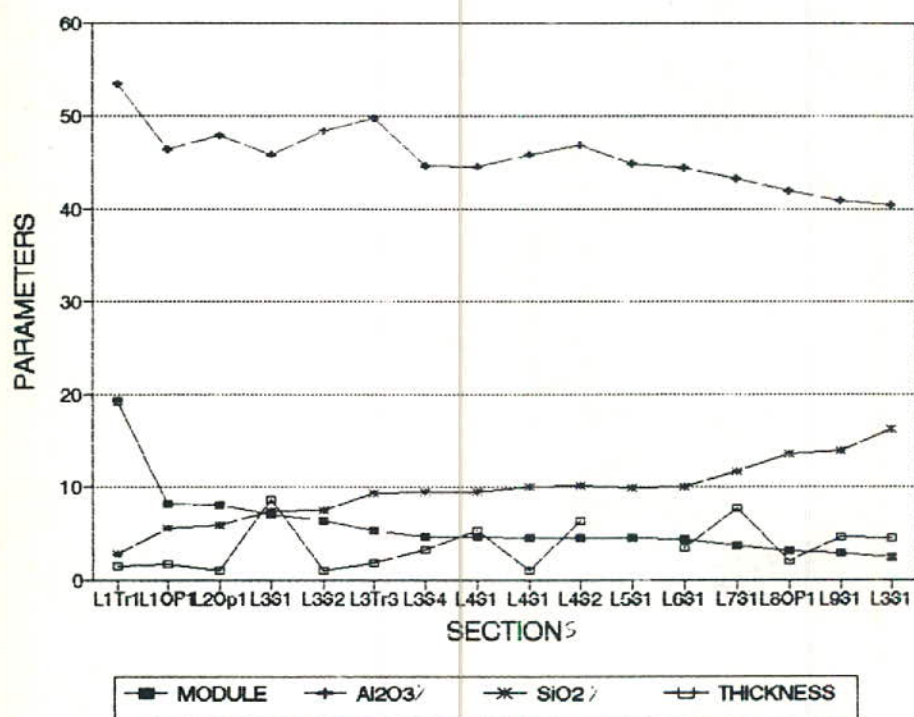


TABLE 3.12 : Average values of different parameters of sample location for KHAMSIAN area that sorted in term of MODULE

NAME	THICKNESS	Al2O3 /	SiO2 /	MODULE
KhmL1OP1	1.50	53.50	2.77	19.31
KhmL3S1	1.70	46.43	5.58	8.32
KhmL2Op1	1.00	47.07	5.91	8.10
KhmL3S4	8.70	45.83	7.42	7.04
KhmL4S1	1.00	48.38	7.54	6.42
KhmL8S1	1.80	49.72	9.33	5.33
KhmL4S1	3.20	44.72	9.52	4.70
KhmL3S1	5.30	44.54	9.53	4.68
KhmL8OP1	1.00	45.82	10.00	4.58
KhmL4S2	6.40	46.89	10.26	4.57
KhmL1Tr1		44.87	9.90	4.53
KhmL8S1	3.50	44.53	9.99	4.46
KhmL3S2	7.70	43.30	11.76	3.68
KhmL5S1	2.10	41.93	13.62	3.03
KhmL3Tr3	4.70	40.92	14.03	2.92
KhmL7S1	4.50	40.58	16.43	2.47
AVG	3.81	44.78	10.31	4.34
STDs	2.55	2.64	2.97	1.78

FIGURE 3.20 : Variation of different parameters in term. s of sample location that are sorted for MODULE(KHAMSIAN Area)



### تغییرات SiO<sub>2</sub> :

شکل شماره ۲۲-۵ هیستوگرام فراوانی درصد برای SiO<sub>2</sub> می باشد . میانگین این پارامتر براساس ۷۳ نمونه ۱۰/۲۶ درصد و ضریب تغییرات آن ۵۱/۵۳ درصد می باشد که نسبتاً " زیاد است . ضریب چولگی نشان دهنده غیرنرمال بودن توزیع و نزدیک بودن آن به توزیع I است که نشان می دهد تعداد داده ها با مقادیر کم دارای فراوانی بیشتری می باشند . براساس این توزیع سیلیس ۲۵ درصد نمونه ها کمتر از ۶/۳۹ درصد و ۲۵ درصد از آنها بیشتر از ۱۳ درصد و ۵۰ درصد دیگر بین این دو عدد می باشد .

### تغییرات میزان مدول :

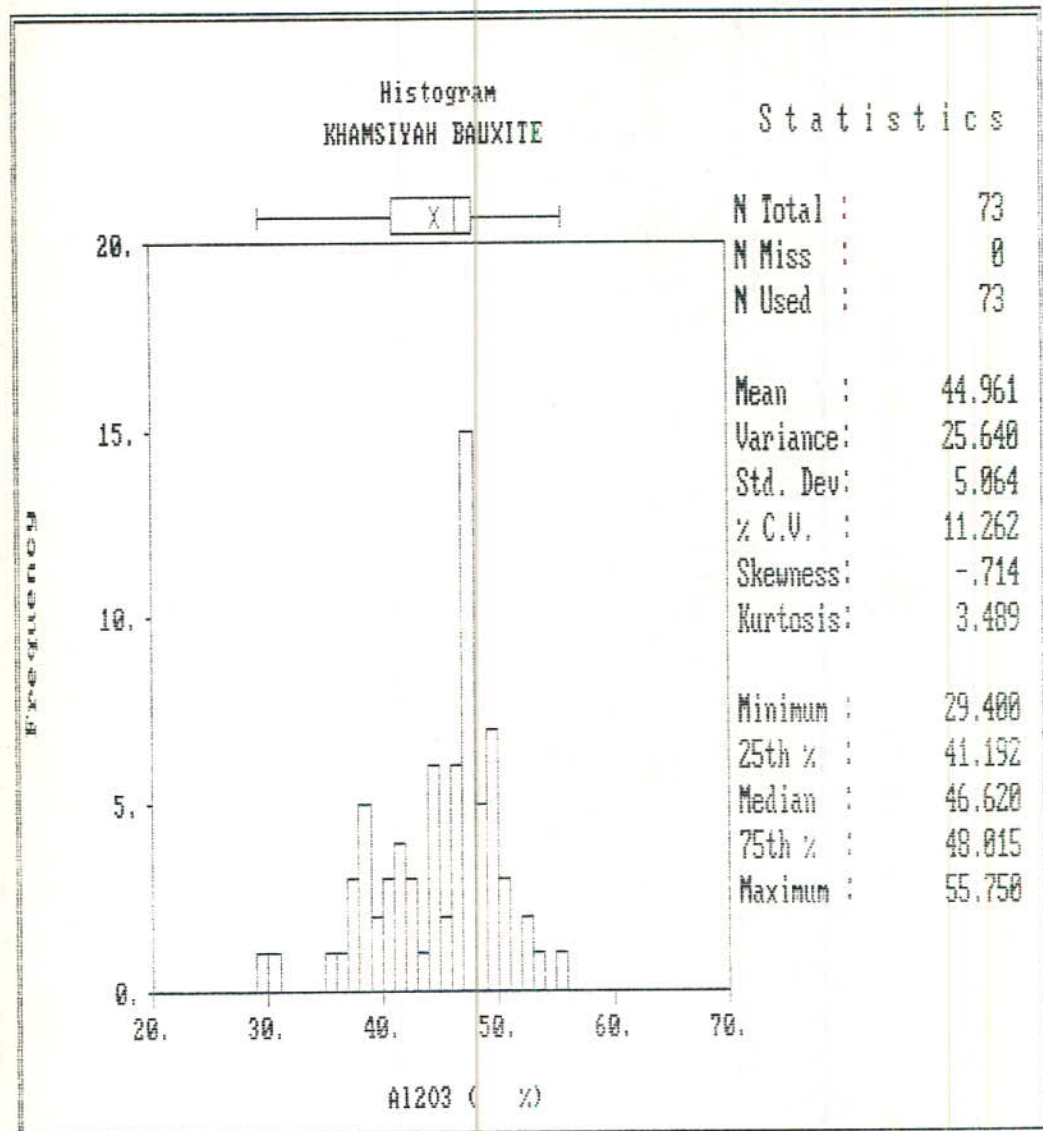
شکل شماره ۲۲-۳ هیستوگرام توزیع مدول را نشان می دهد . میانگین این پارامتر ۵/۲۶ است و ضریب تغییرات بالای آن بعلت شدت تغییرات میزان SiO<sub>2</sub> است . ضریب چولگی نشان دهنده غیرنرمال بودن توزیع این پارامتر است . براساس این توزیع ، مدول ۲۵ درصد از نمونه ها کمتر از ۳/۰۱ و ۲۵ درصد از آن بالای ۷/۶۹ و ۵۰ درصد دیگر بین ۳/۰۱ تا ۷/۶۹ می باشد .

### ۲-۴-۳ - همبستگی داده ها

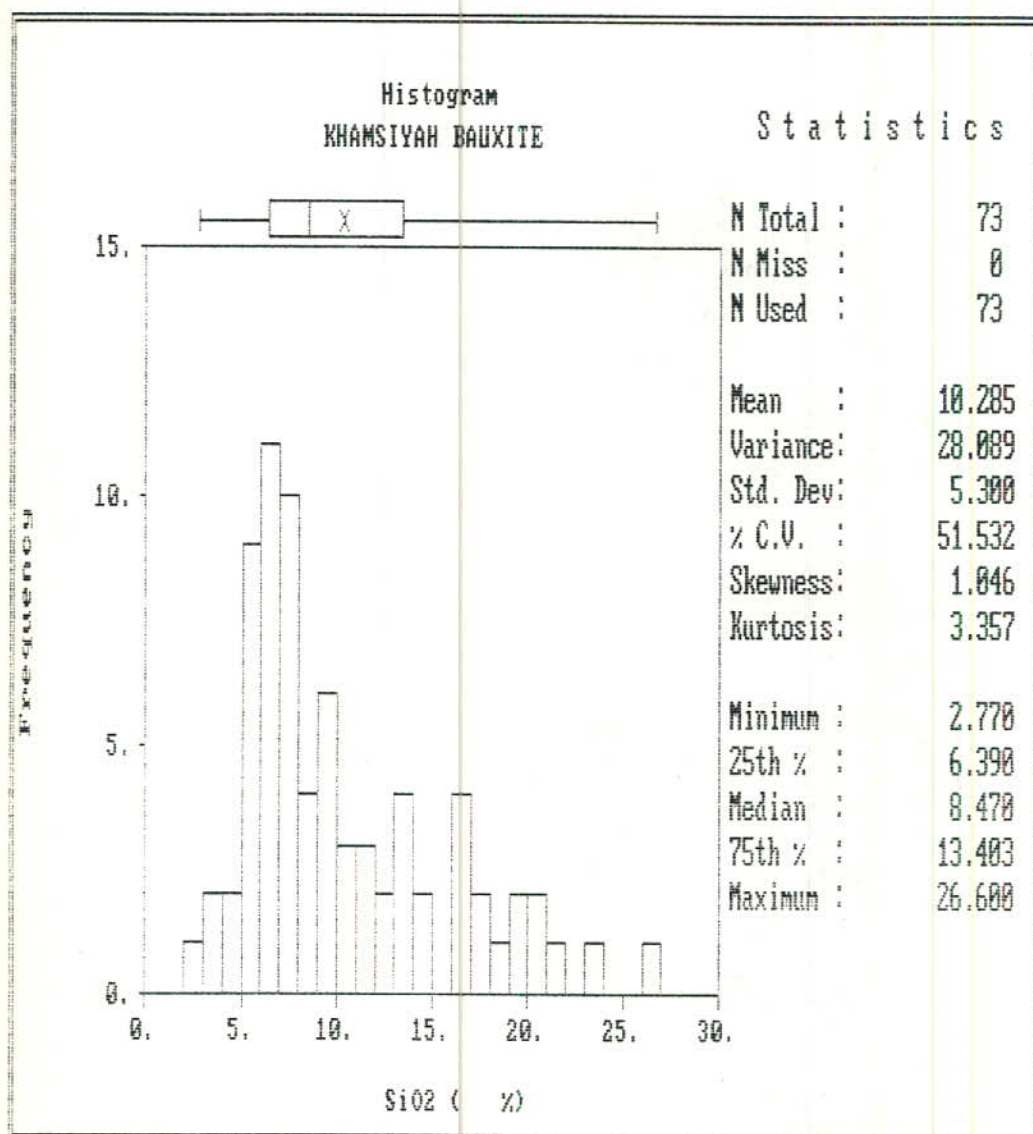
شکل های ۲۴-۳ تا ۲۶-۳ همبستگی پارامترهای مختلف این منطقه را نشان می دهد و ماتریس همبستگی برای آنها به شرح جدول ذیل است .

	SiO <sub>2</sub>	Al <sub>2</sub> O <sub>3</sub>	MODULE
SiO <sub>2</sub>	1	-0.9	-0.84
Al <sub>2</sub> O <sub>3</sub>		1	+0.8
MODULE			1

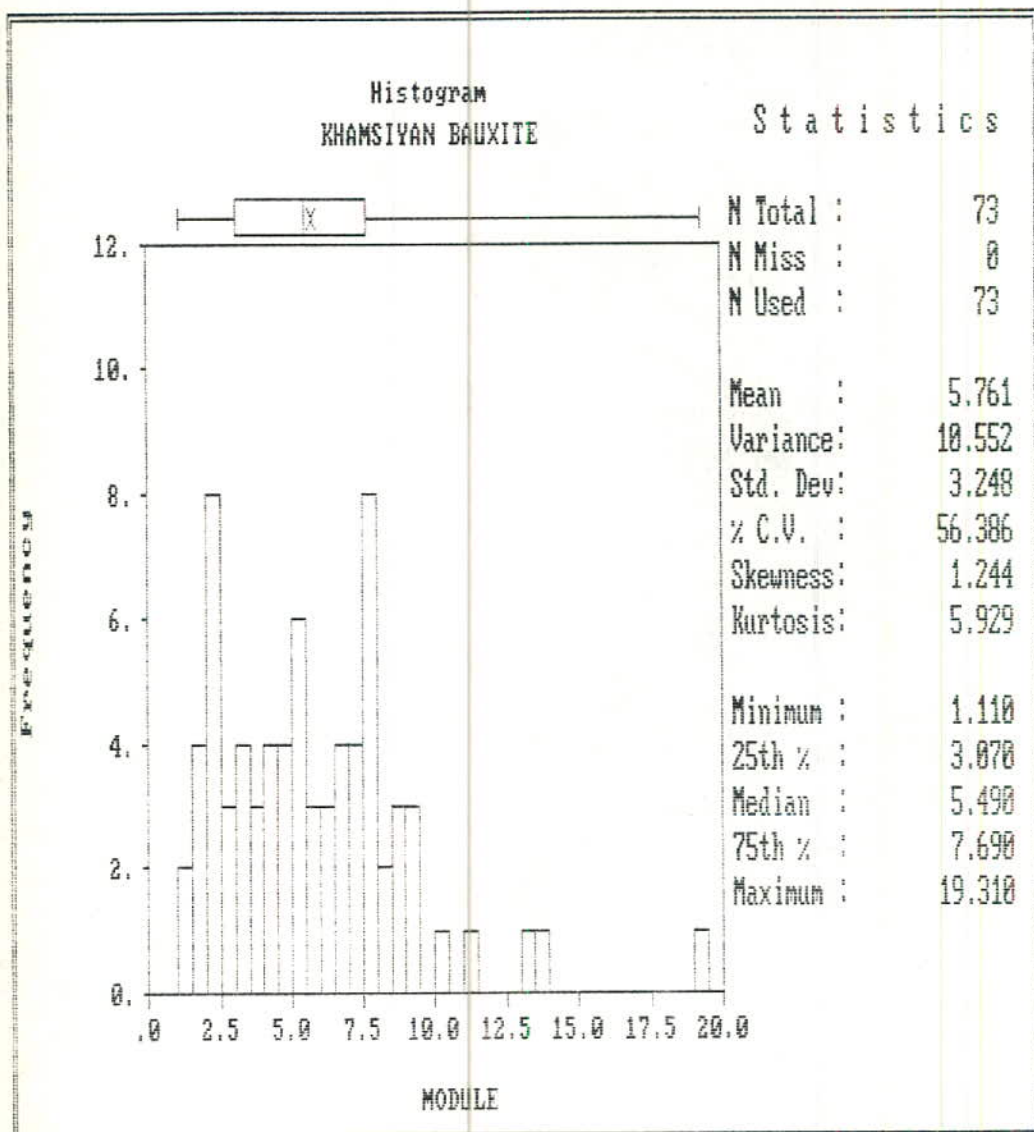
شکل شماره ۲۱-۳ : هیستوگرام فراوانی - درصد Al2O3 نمونه های بوکسیت منطقه خمیان .



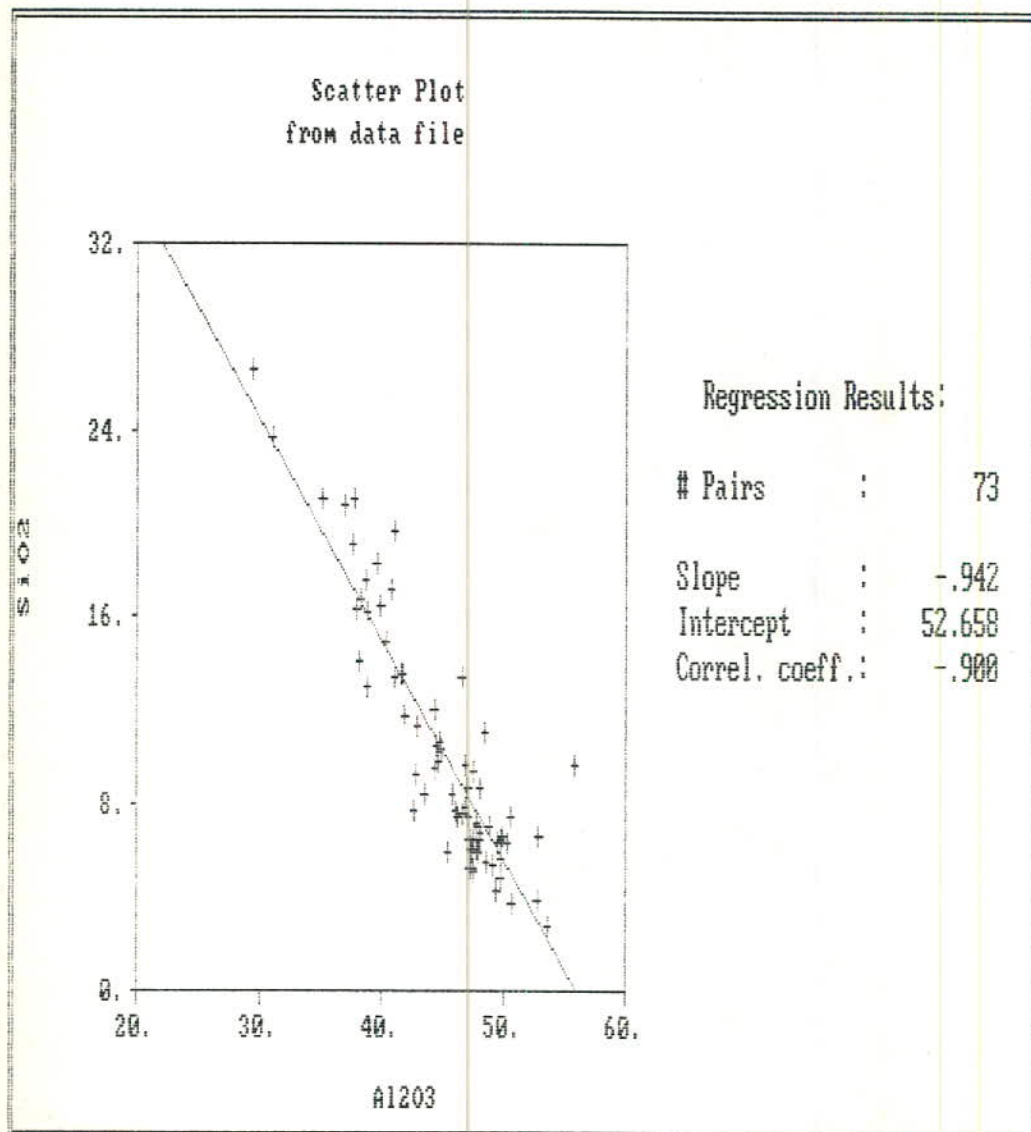
شکل شماره ۲۲-۳ : هیستوگرام فراوانی - درصد SiO<sub>2</sub> نمونه های بوكسیت  
منطقه خمسيان .



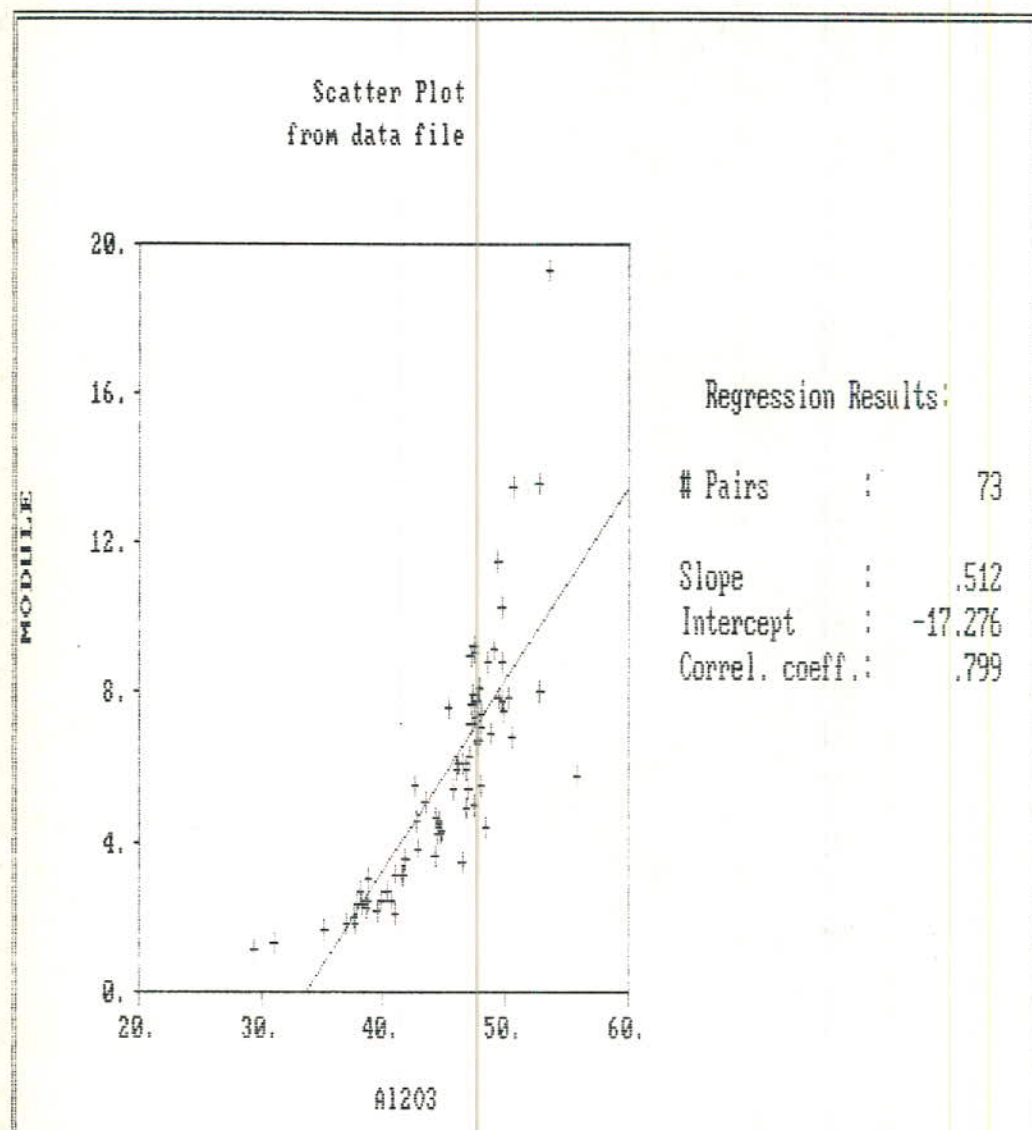
شکل شماره ۲۳-۳ : هیستوگرام فراوانی - مقدار MODULE نمونه های بوکسیت منطقه خمیان .



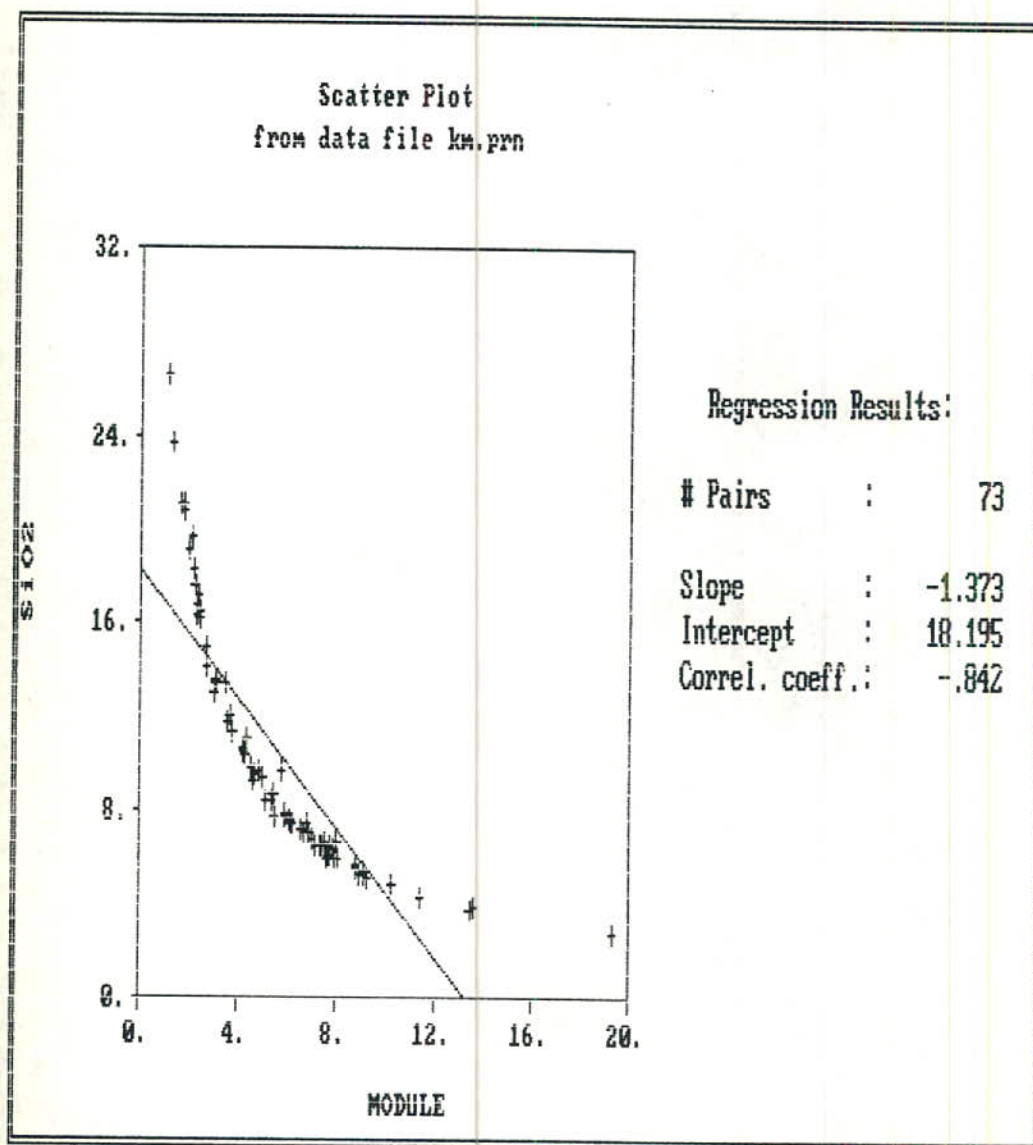
شکل شماره ۲۴-۳ : همبستگی درصد  $Al_2O_3$  و  $SiO_2$  نمونه های بوکسیت منطقه خمسیان .



شکل شماره ۲۵-۳ : همبستگی درصد Al2O3 و MODULE نمونه های بوکسیت منطقه خمیان .



شکل ۲۶-۳ همبستگی بین پارامترهای مدول و  $\text{SiO}_2$  برای نمونه های بوکسیت خمیان



## نتایج تحلیل داده ها

عيار نمونه های اين مرحله تقریباً "مورد قبول می باشند ولی سایر پارامترها از جمله برگشته بودن شیب لایه ها که امکان حفاری را مشکل ساخته ( باتوجه به صعب العبور بودن و ارتفاع زیاد روباره ) و عدم امکان استخراج روباز فعلاً" این منطقه در اولویت ادامه کار اکتشاف قرار نمی گیرد و در صورتی که با توجه به این پارامترها در آینده اقتصادی تشخیص داده شود ، روش اکتشاف عملی آن حفر تونل اکتشافی می باشد واستخراج آن نیز قطعاً "زیرزمینی خواهد بود .

### موقعیت جغرافیایی و راههای دسترسی

افق بوکسیتی منطقه در جنوب روستای دولاب واقع شده است . دسترسی به آن از دو طریق میسر است ، یکی از طریق جاده خضرآباد که تا روستای دولاب جاده آسفالت می باشد ولی برای رسیدن به محل کانسار حدود ۳ کیلومتر فاقد جاده و احداث آن نیز هزینه بر است و از طریق آبراهه ای که در جنوب روستای دولاب قرار دارد می توان به آن دسترسی پیدا کرد . راه دوم از طریق جاده تفت و روستای نصرآباد است که از طرف شمال روستای نصر آباد می توان به آن دسترسی پیدا کرد که البته این مسیر نیز تا روستای نصرآباد آسفالت و ۵ کیلومتر خاکی درجه ۳ و بقیه آن ۴ کیلومتر فاقد جاده است .

### سایر مشخصات کانسار

این منطقه دارای چند رخنمون پراکنده بوکسیتی است و دسترسی به لنزهای مختلف نیز قدری مشکل است و لنزها در دامنه ای تقریباً "کوهستانی" قرار گرفته اند . شبلایه ها حدود ۴۵ درجه و باطله برداری نیز زیاد است .

### کارهای اکتشافی انجام شده

این منطقه مورد پی جویی قرار گرفته و از رخنمونهای بوکسیت نمونه برداری سطحی انجام شده است . تعداد ۸ لنز بوکسیتی در آنجا شناسایی و از ۱۲ مقطع تعداد ۳۷ نمونه جهت آنالیز شیمیایی برداشت شده است . در گزارش پی جوئی و اکتشاف مقدماتی شرح این منطقه نیز آمده است .

## تحلیل داده های مقدماتی

### بررسی کیفیت ماده معدنی

جدول ۱۲-۳ و شکل ۲۷-۳ مشخصات ۱۲ محل نمونه برداری را نشان می دهد . عین اطلاعات در جدول شماره ۱۳-۳ و شکل شماره ۲۸-۳ بر حسب مدول مرتب شده اند . همانطور که در این جدول آمده است میانگین مقدار Al2O3 برابر ۴۲/۵۴ و میانگین مقدار SiO2 برابر ۹/۲۸ درصد است که مدول آنها برابر ۴/۶۴ می باشد .

جهت بررسی دقیق تر ، تغییرات پارامترهای مختلف هیستوگرامها و نمودارهای آماری برای ۳۷ نمونه این منطقه تهیه شده است .

### بررسی تغییرات پارامترهای مختلف

#### بررسی تغییرات مقدار Al2O3 :

شکل شماره ۲۹-۳ هیستوگرام فراوانی درصد برای Al2O3 می باشد . میانگین این پارامتر ۴۴/۱۵ درصد و ضریب میزان آن برابر ۸/۱۲ است که نشان دهنده تغییرات نسبتا " کم این پارامتر است . ضریب چولگی نشان دهنده غیرنرمال بودن این پارامتر است . این هیستوگرام نشان می دهد که ۲۵ درصد نمونه ها کمتر از ۴۱/۶۳ درصد و ۱۵۰ درصد آنها بین ۴۱/۶۳ تا ۴۶/۴۳ درصد و فقط ۲۵ درصد آنها بالای ۴۶/۴۳ درصد Al2O3 دارند .

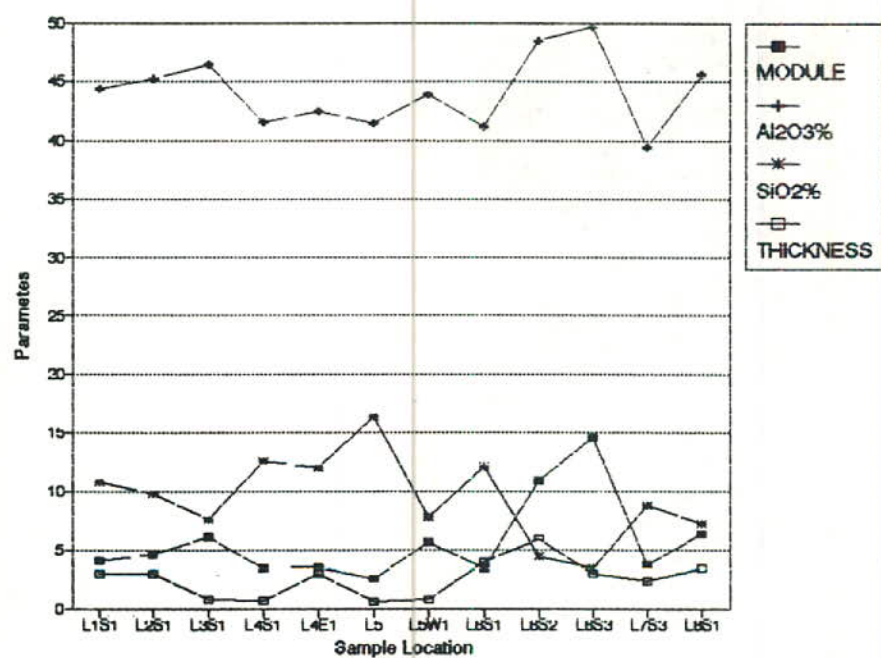
#### تغییرات SiO2 :

شکل شماره ۳۰-۳ هیستوگرام توزیع فراوانی درصد SiO2 را نشان می دهد . میانگین این پارامتر ۸/۹۵ درصد و ضریب تغییرات آن ۳۸/۰۰ درصد است که نشان دهنده تغییرات نسبتا " زیاد این پارامتر است . ضریب چولگی نیز نشان دهنده غیرنرمال بودن این پارامتر است . ۲۵ درصد نمونه ها

TABLE 3.13 : Average values of various parameters of sample location  
In DOLAB area .

LOCATION	THICKNESS	Al2O3%	SiO2%	MODULE
DOL1S1	3.00	44.39	10.73	4.14
DOL2S1	3.00	45.13	9.77	4.62
DOL3S1	0.80	46.40	7.56	6.14
DOL4S1	0.70	41.49	12.49	3.40
DOL4E1	3.00	42.40	11.93	3.55
DOL5	0.60	41.37	16.36	2.53
DOL5W1	0.80	43.85	7.83	5.60
DOL6S1	4.00	41.18	12.11	3.40
DOL6S2	6.00	48.43	4.43	10.93
DOL6S3	3.00	49.61	3.41	14.55
DOL7S1	2.40	39.37	8.79	3.72
DOL8S1	3.50	45.55	7.16	6.36
AVG	2.57	44.8	8.43	5.31
STDs	1.63	3.10	3.64	3.56

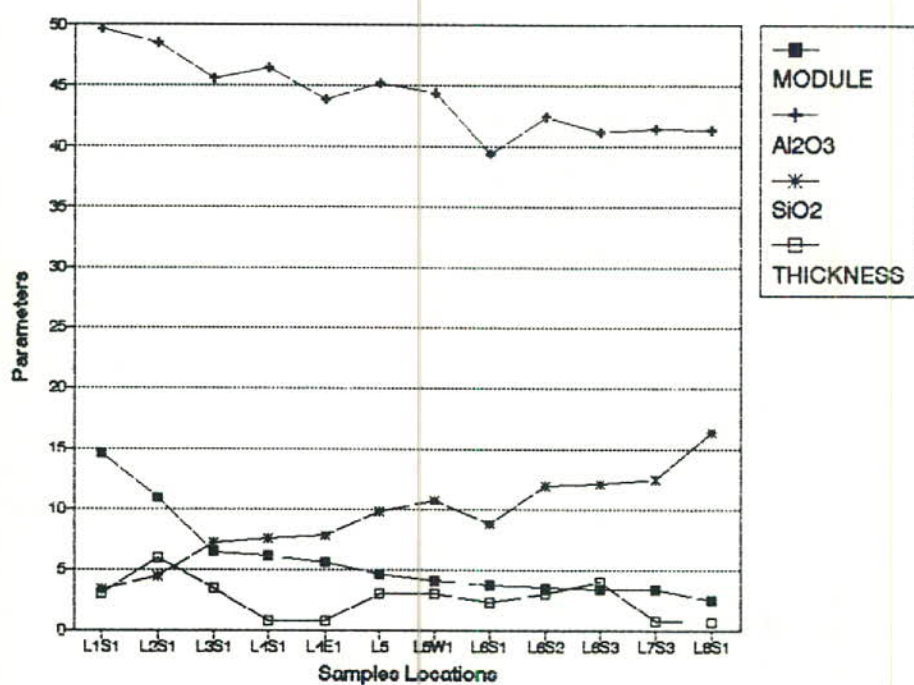
FIGURE 3.27 : Variation of various parameters of sample location  
In terms of sample location for DOLAB area.



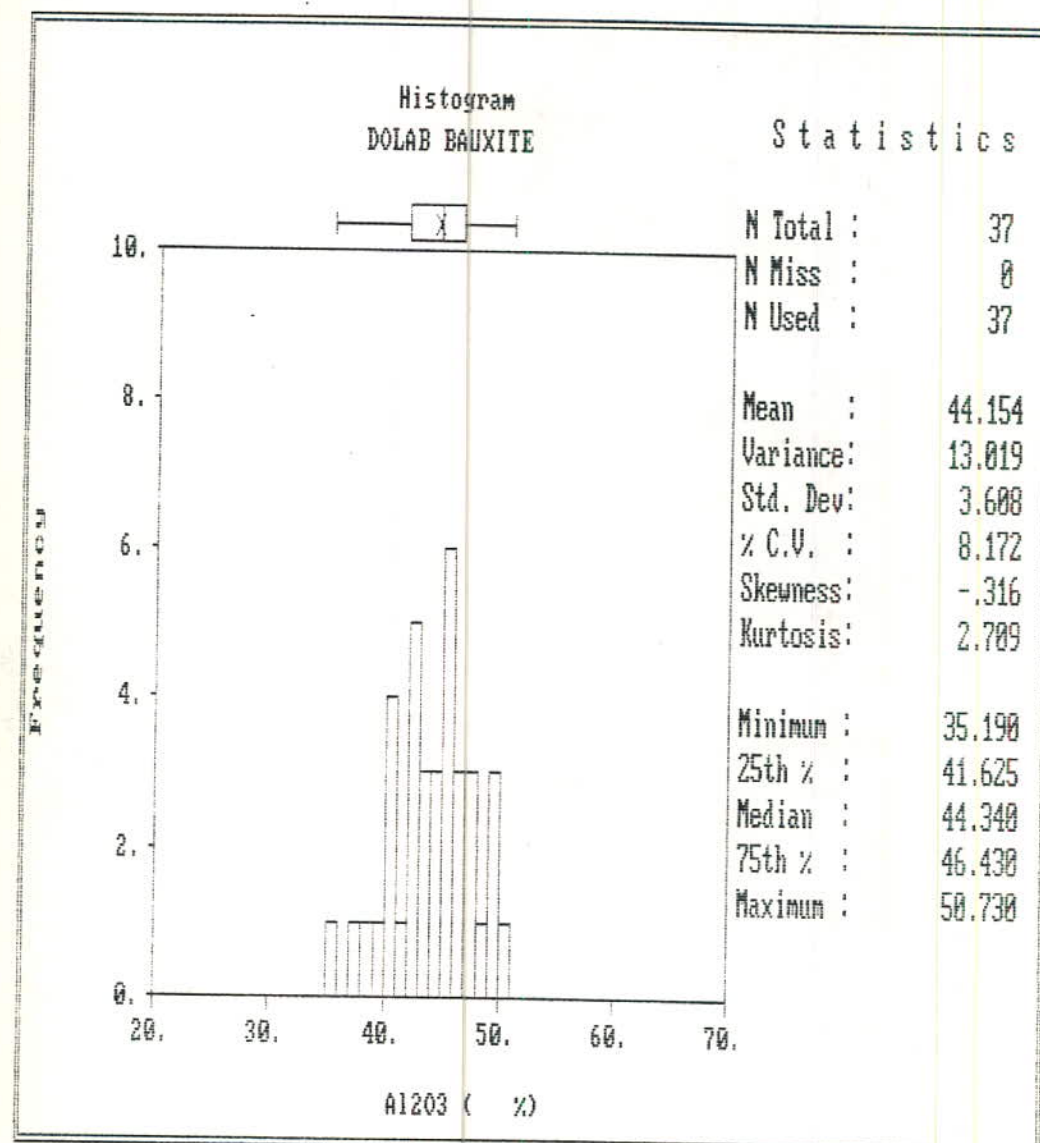
**TABLE 3.14:** Average values of various parameters of sample location for DOLAB area that are sorted in terms of MODULE.

LOCATION	THICKNESS	Al <sub>2</sub> O <sub>3</sub> %	SiO <sub>2</sub> %	MODULE
DOL6S3	3.00	49.81	3.41	14.55
DOL6S2	6.00	48.43	4.43	10.93
DOL8S1	3.50	45.55	7.16	6.36
DOL3S1	0.80	46.40	7.56	6.14
DOL5W1	0.80	43.85	7.83	5.60
DOL2S1	3.00	45.13	9.77	4.62
DOL1S1	3.00	44.39	10.73	4.14
DOL7S1	2.40	39.37	8.79	3.72
DOL4E1	3.00	42.40	11.93	3.55
DOL6S1	4.00	41.18	12.11	3.40
DOL4S1	0.70	41.49	12.49	3.40
DOL5	0.60	41.37	16.36	2.53
<b>AVG</b>	<b>2.57</b>	<b>44.8</b>	<b>8.43</b>	<b>5.31</b>
<b>STDs</b>	<b>1.63</b>	<b>3.10</b>	<b>3.64</b>	<b>3.56</b>

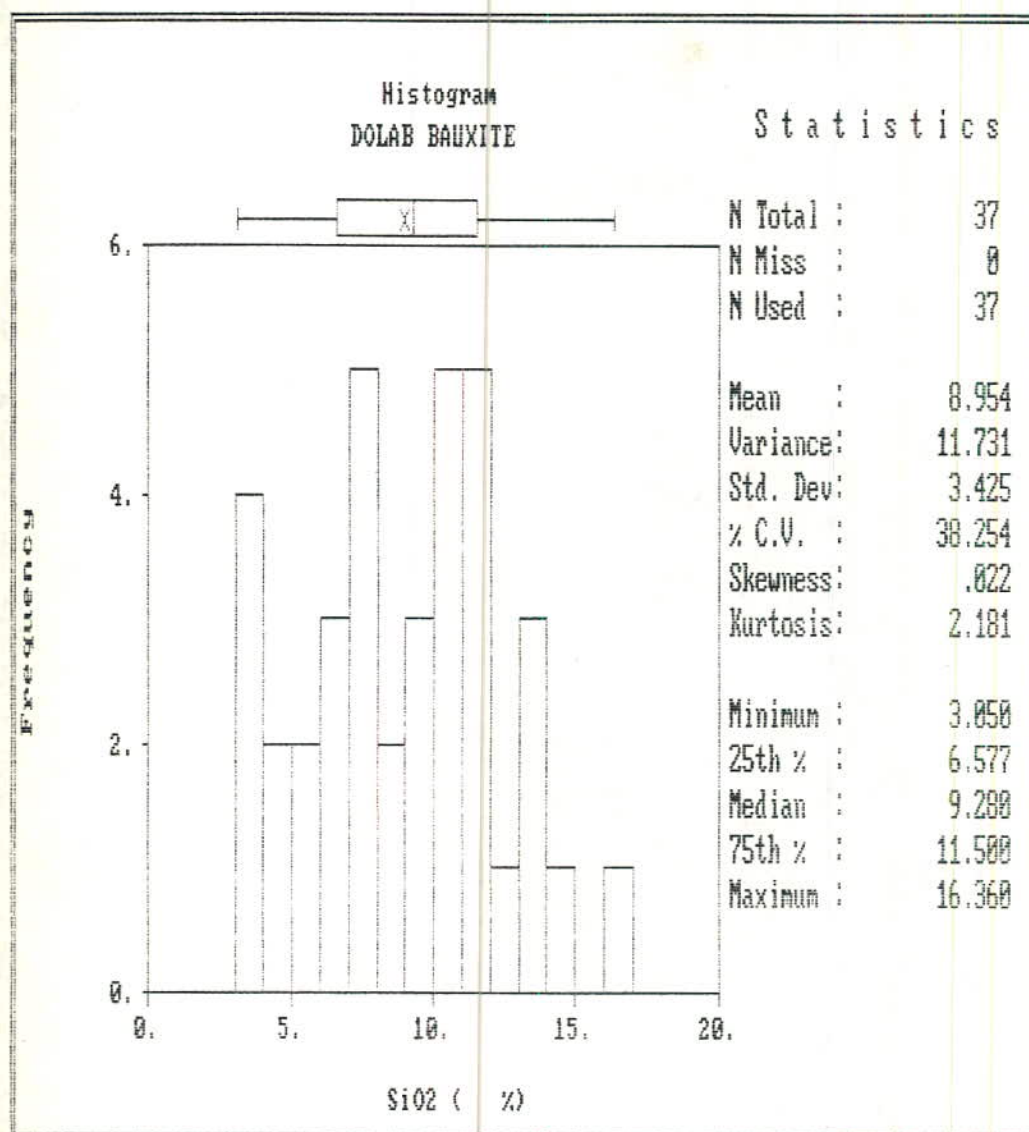
**FIGURE 3.29:** Variation of various parameters of sample location for DOLAB area that are sorted in terms of MODULE.



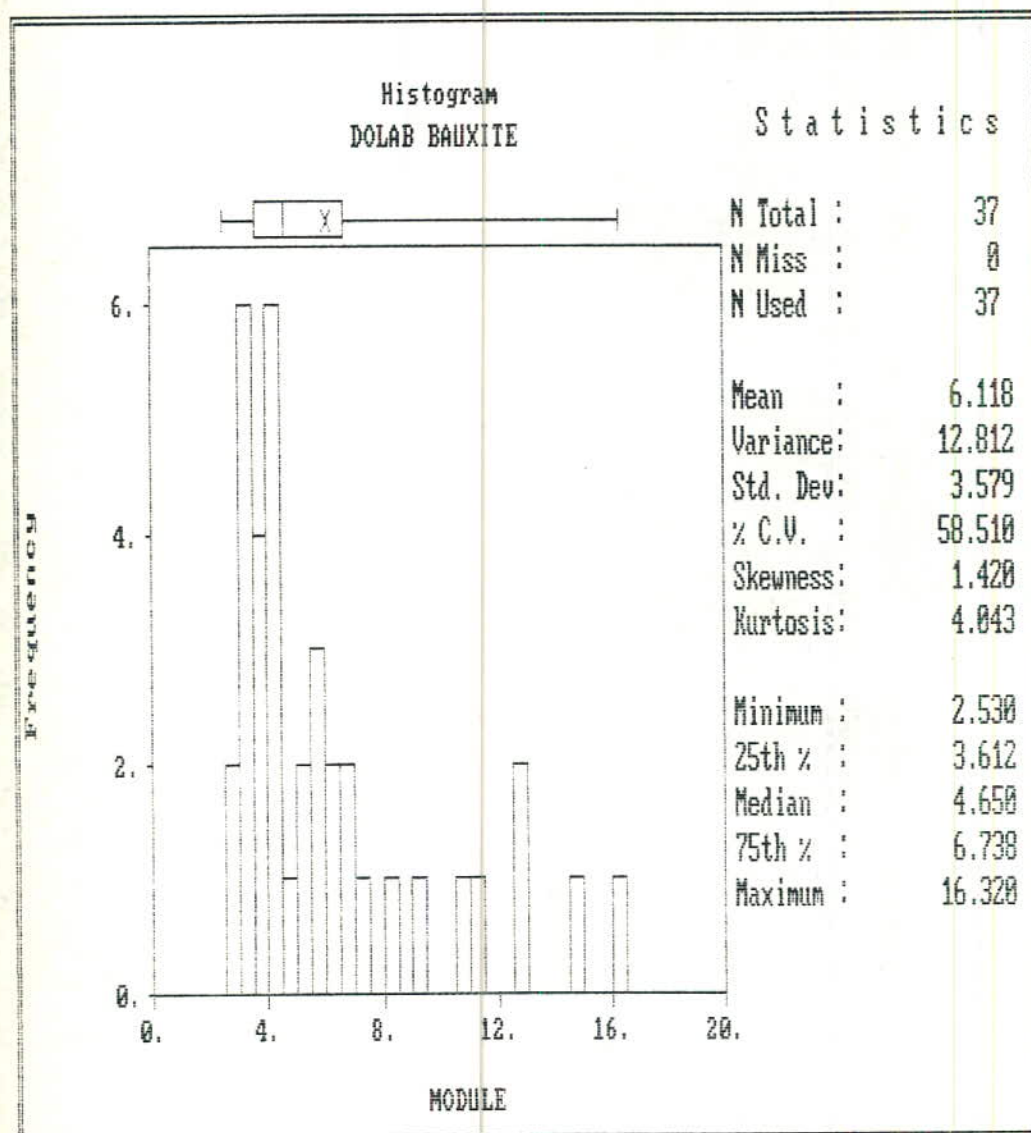
شکل شماره ۲۹-۳ : هیستوگرام فراوانی - درصد Al203 نمونه های بوکسیت منطقه دولاب .



شکل شماره ۳۰-۳ : هیستوگرام فراوانی - درصد SiO<sub>2</sub> نمونه های بوكسیت  
منطقه دولاب .



شکل شماره ۳۱-۳ : هیستوگرام فراوانی - مقدار MODULE نمونه های بوکسیت منطقه دولاب .



کمتر از ۶/۵۸ درصد و ۲۵ درصد آنها بیشتر از ۱۱/۵ درصد و ۵۰ درصد آنها دارای مدول بین ۶/۵۸ تا ۱۱/۵ درصد می باشند.

#### بررسی تغییرات مدول

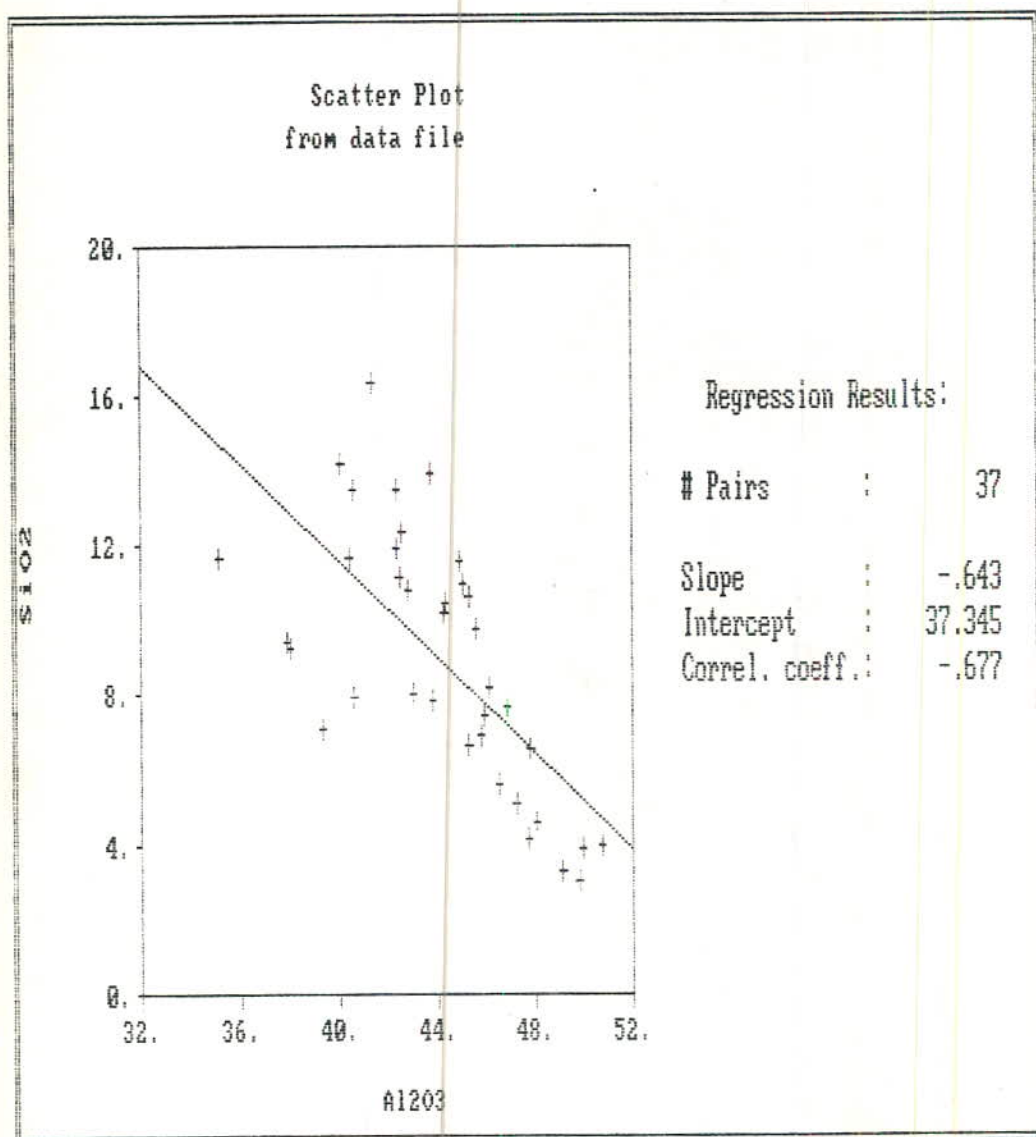
شکل شماره ۳۱-۳ هیستوگرام توزیع مقدار مدول را نشان می دهد. میانگین این پارامتر ۶/۱۲ و ضریب تغییرات بالای آن ناشی از تغییرات شدید مقداری سیلیس می باشد. ضریب چولگی ۱/۴۲ نشان دهنده غیرنرمал بودن این پارامتر است. براساس این هیستوگرام ۲۵ درصد نمونه ها دارای مدول کمتر از ۳/۶۱ و ۲۵ درصد آنها بیشتر از ۶/۷۴ و ۵۰ درصد آنها بین این دو رقم می باشند.

#### همبستگی متغیرها

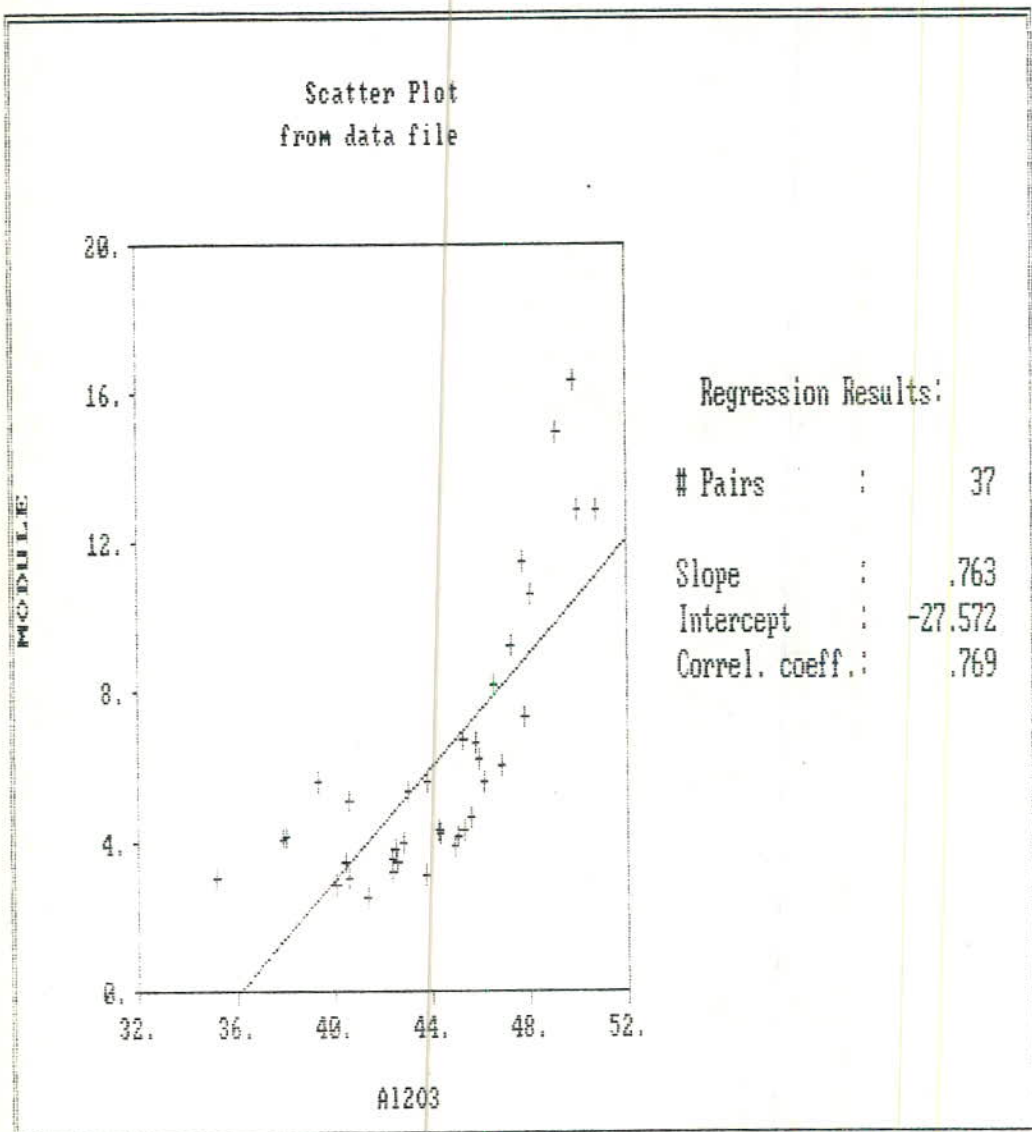
شکل های ۳۲-۳ تا ۳۴-۳ همبستگی بین متغیرهای مختلف را نشان می دهند. ماتریس همبستگی برای این متغیرها به شرح جدول ذیل می باشد

	SiO <sub>2</sub>	Al <sub>2</sub> O <sub>3</sub>	MODULE
SiO <sub>2</sub>	1	-0.68	-0.89
Al <sub>2</sub> O <sub>3</sub>		1	0.77
MODULE			1

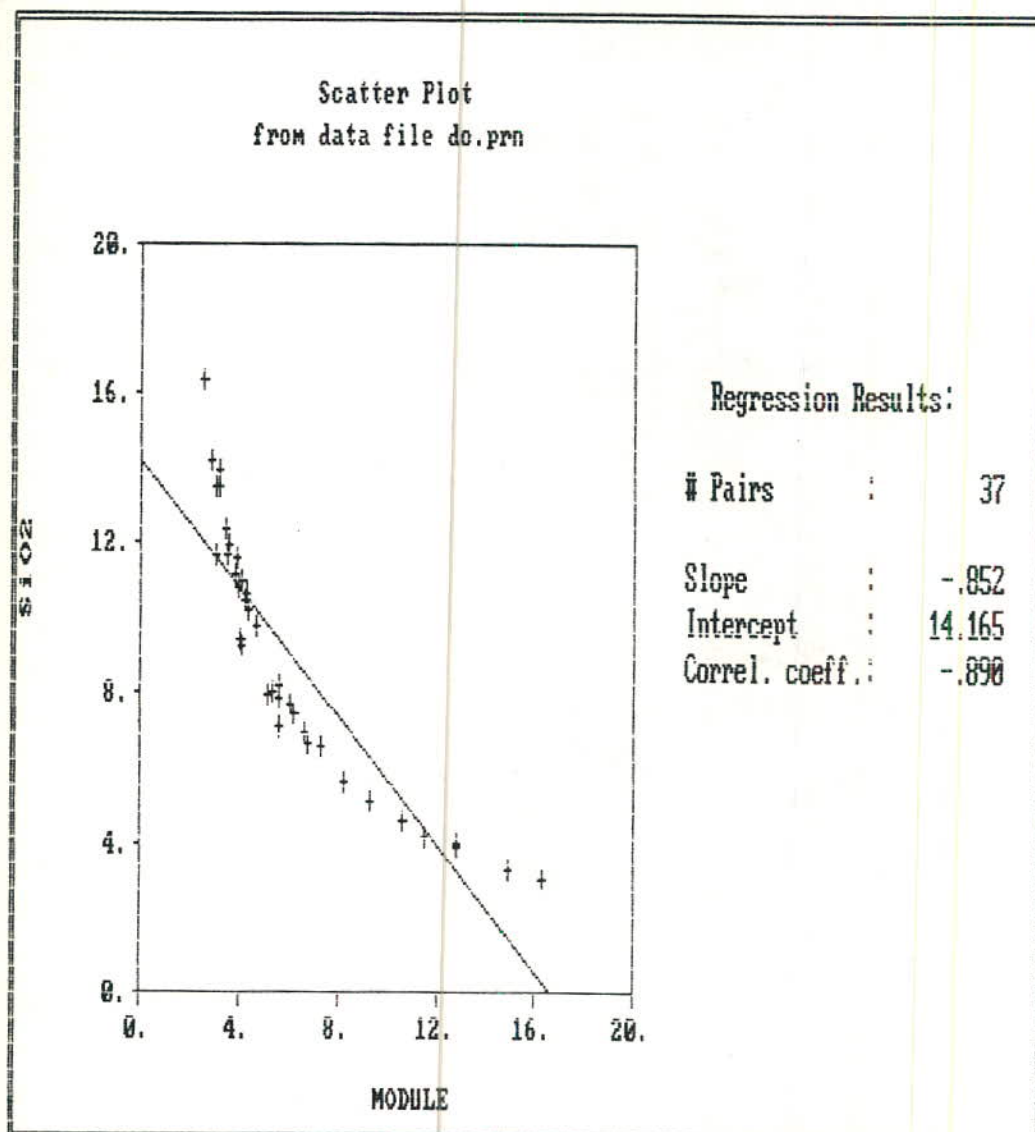
شکل شماره ۲۲-۳ : همبستگی درصد  $Al_{2O_3}$  و  $SiO_2$  نمونه های بوکسیت منطقه دولاب .



شکل شماره ۳۳-۲ : همبستگی درصد A1203 و MODULE نمونه های بوكسیت منطقه دولاب .



شکل ۳۴-۳ همبستگی بین پارامترهای مدول و SiO<sub>2</sub> برای نمونه های بوکسیت دولاب



## نتیجه گیری از تحلیل داده ها

---

منطقه دولاب بدلیل راه دسترسی نامناسب ، پراکندگی رخنمونها ، استخراج نامناسب جهت روباز ، پایین بودن میزان A1203 و چیز بودن میزان ذخیره با عیار بالا، ادامه کار اکتشاف فعلا" برای آن توصیه نمی شود و در همین مرحله متوقف می گردد .

### موقعیت جغرافیایی و راههای ارتباطی

---

بوکسیتهای ناحیه نصرآباد در شمال این روستا واقع شده است . راه دسترسی به آنها از طریق جاده تفت - نصرآباد است که تا روستای نصرآباد آسفالت بوده و بقیه آن خاکی درجه ۳ است . راه دوم آن از طریق جاده خضرآباد است و از روستای هامانه می‌توان به آنها دسترسی پیدا نمود و باید از روستای هامانه به سمت بیدارخانه جهت دسترسی به آنها اقدام نمود .

### سایر مشخصات منطقه

---

رخمنونهای بوکسیتی منطقه خیلی پراکنده و فاقد ذخیره قابل توجه می‌باشد و برخی از رخمنونهای در ارتفاعات واقع شده اند که دسترسی به آنها قدری مشکل است و حداکثر کسترش رخمنونها ۲۰ متر می‌باشد . ضخامت لنزها حداکثر به ۴ متر می‌رسد که مربوط به لنز شماره ۹ که شمالیترين لنز می باشد است .

### کارهای اکتشافی انجام شده

---

در این منطقه کارهای پی‌جويی و اکتشاف مقدماتی انجام شده است که عمدها " شامل نمونه برداری سطحی از مقاطع و رخمنونهای سطحی است و تعداد ۴۳ نمونه از ۱۲ مقطع برداشت و آنالیز شده است .

## تحلیل داده های مقدماتی

### بررسی کیفیت ماده معدنی

میانگین نمونه های برداشته شده از ۱۳ مقطع این منطقه در جدول ۱۵-۳ آمده است . میانگین A1203 برای این محل ها  $42/77$  و میانگین سیلیس و مدول بترتیب  $8/43$  و  $5/19$  میباشد . کلیه محل ها از نظر پارامتر عیار اقتصادی می باشند و با وجود پایین بودن مقداری A1203 میزان مدول بالای خوراک متوسط کارخانه تولید آلومینای جاجرم می باشد و تغییرات پارامترهای مختلف نسبت به محل ها در شکل ۴-۱ نشان داده شده است . همین اطلاعات در جدول شماره ۱۶-۲ و شکل شماره ۲۶-۳ بر حسب مدول مرتب شده اند .

### تغییرات پارامترهای مختلف

#### بررسی تغییرات مقدار A1203 :

شکل شماره ۳۷-۳ هیستوگرام فراوانی درصد برای A1203 می باشد . میانگین این پارامتر  $43/84$  درصد و ضریب تغییرات آن  $6/33$  است که نشان دهنده تغییرات بسیار کم این پارامتر حول مقدار میانگین است . ضریب چولگی نشان دهنده غیرنرمال بودن توزیع این پارامتر است .  $25$  درصد نمونه ها کمتر از  $41/42$  درصد ،  $25$  درصد بالای  $46/22$  درصد و  $50$  درصد دیگر بین  $41/43$  تا  $46/22$  می باشد .

#### بررسی تغییرات مقدار SiO<sub>2</sub> :

شکل شماره ۳۸-۳ هیستوگرام فراوانی درصد برای SiO<sub>2</sub> می باشد . میانگین این پارامتر  $8/49$  درصد و ضریب تغییرات آن  $24/52$  درصد می باشد که نشان دهنده " تغییرات نسبتاً " شدید این پارامتر حول مقدار میانگین است . ضریب چولگی نشان دهنده غیرنرمال بودن این توزیع است .  $25$  درصد نمونه ها

TABLE 3.15 : Average values of different parameters of sample location for NAGRABAD Area.

NAME	THICKNESS	Al2O3 /	SiO2 /	MODULE
NAL1Op1	1.60	45.19	5.12	8.83
NAL2S1	2.80	47.31	8.35	7.45
NAL3S1	1.40	41.03	14.15	2.80
NAL4S1	2.50	42.78	13.85	3.08
NAL4S2	3.20	46.01	10.31	4.37
NAL5S1	2.80	44.14	9.20	4.75
NAL5S2	2.20	46.75	8.24	5.67
NAL6S1	1.20	48.38	8.27	7.40
NAL7S1	4.40	42.48	8.1	8.33
NAL7S2	1.60	43.58	7.59	5.74
NAL8S1	2.00	41.89	5.06	7.17
NAL9S1	1.60	43.27	8.41	5.14
NAL9S2	4.80	39.08	7.47	5.23
TOTAL SAMPLES				
AVG	2.52	43.36	8.3	5.22
STD'S	1.12	2.37	2.85	1.74

FIGURE 3.35 : Variation of different parameters in term's of sample location for NASRABAD Area.

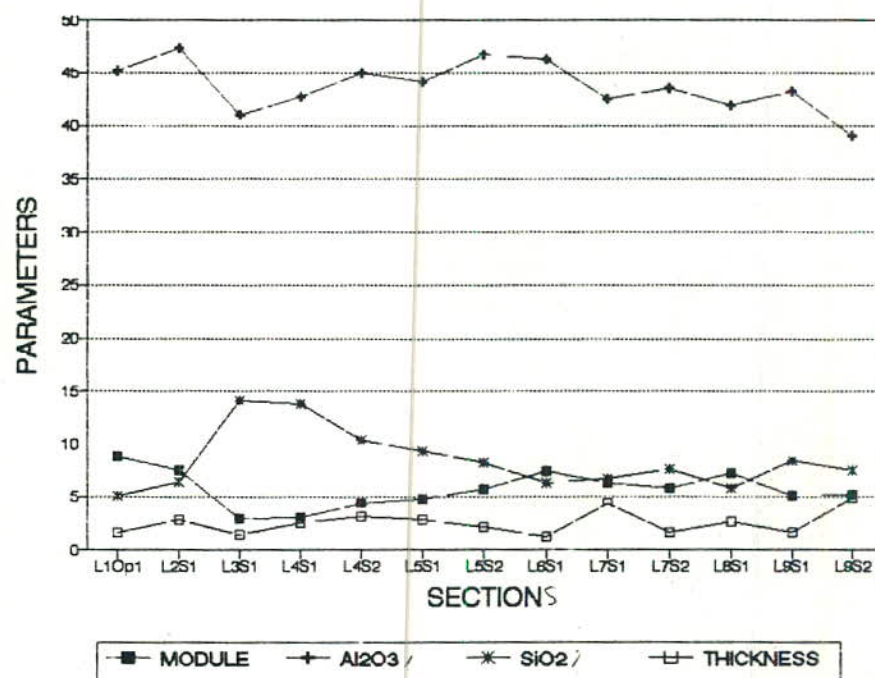
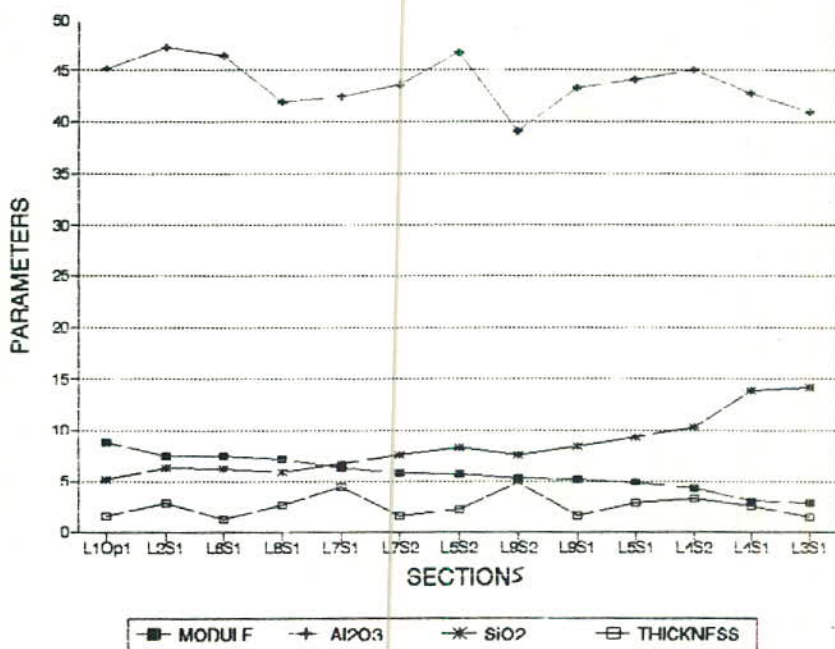


TABLE 3.16 : Average values of different parameters of sample location for NASHABAD Area that are sorted in terms of MODULE.

NAME	SAMPLE No	THICKNESS	Al2O3	SiO2	MODULI
NAL10p1		1.60	45.19	5.12	8.83
NAL2S1		2.80	47.30	6.35	7.45
NAL6S1		1.20	46.39	6.27	7.40
NAL8S1		2.60	41.99	5.86	7.17
NAL7S1		4.40	42.49	6.71	6.33
NAL7S2		1.60	43.50	7.59	5.74
NAL5S2		2.20	46.75	8.24	5.67
NAL9S2		4.80	39.09	7.47	5.23
NAL9S1		1.60	43.27	8.41	5.14
NAL5S1		2.80	44.14	9.29	4.75
NAL4S2		3.20	45.01	10.31	4.37
NAL4S1		2.50	42.76	13.05	3.09
NAL3S1		1.40	41.03	14.15	2.90
<b>TOTAL SAMPLES</b>					
AVG		2.52	43.36	8.3	5.22
STDs		1.12	2.37	2.85	1.74

FIGURE 3.18 : Variation of different parameters in terms of sample location for NASHABAD Area that are sorted in terms of MODULE.



کمتر از ۶/۲۹ درصد ، ۲۵ درصد بالای ۹/۴۱ درصد و ۵۰ درصد دیگر بین ۶/۲۹ تا ۹/۴۱ درصد سیلیس دارند.

#### بررسی تغییرات مقدار مدول :

شکل شماره ۳۹-۳ هیستوگرام فراوانی مقدار برای مدول می باشد . میانگین این پارامتر ۷۲/۵ و ضریب تغییرات بالای آن ناشی از شدت تغییرات میزان SiO<sub>2</sub> نمونه ها است . ضریب چولگی ۰/۲- نشان دهنده غیرنرمال بودن این پارامتر است . براساس این توزیع مدول ۲۵ درصد نمونه ها کمتر از ۴/۶۸ ، ۲۵ درصد بالای ۷/۰۱ و ۵۰ درصد دیگر بین ۴/۶۸ تا ۷/۰۱ می باشد .

#### همبستگی پارامترها

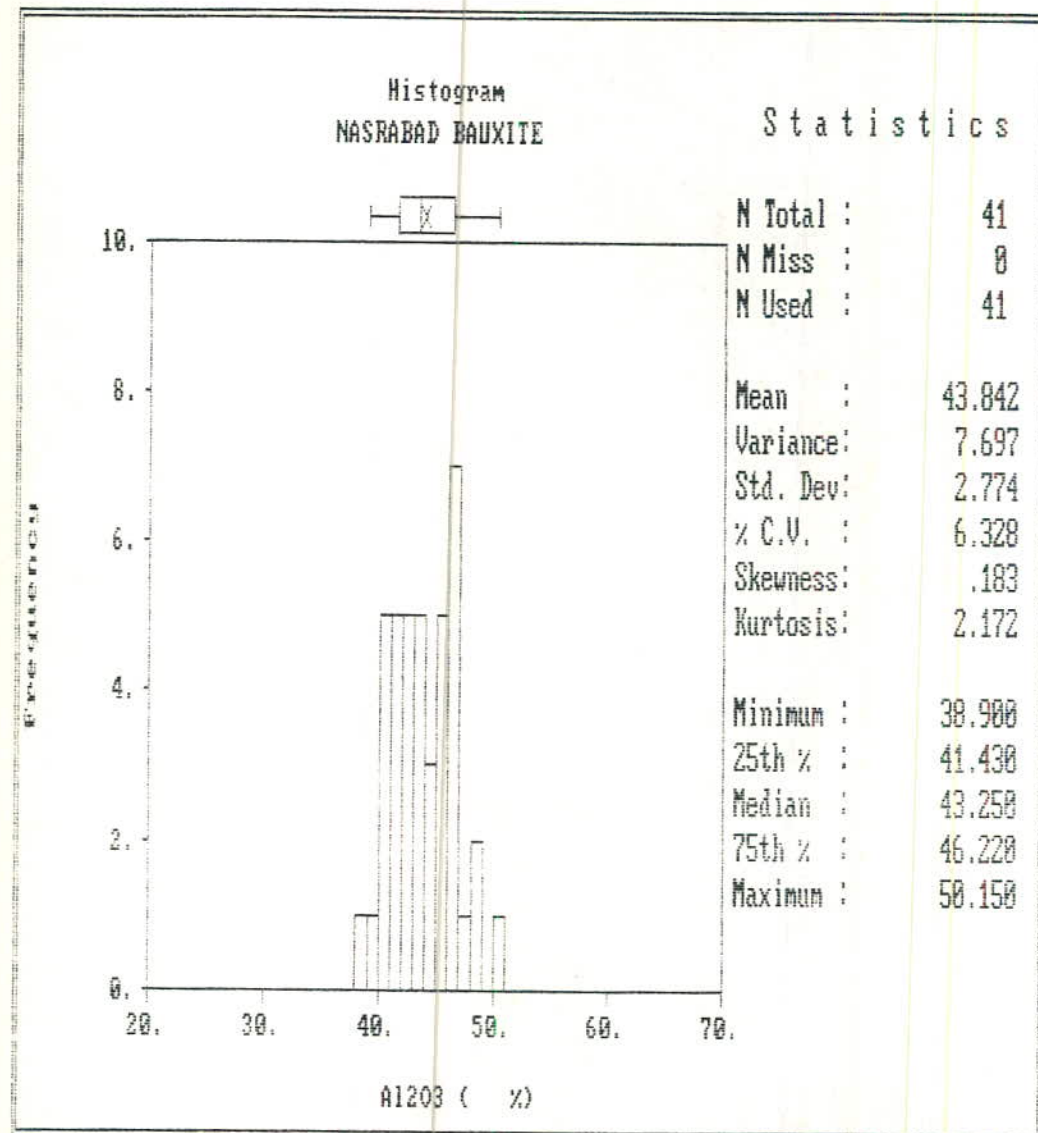
شکل های ۴۰-۳ تا ۴۲-۳ همبستگی پارامترهای مختلف این منطقه را نشان می دهد . ماتریس همبستگی برای این سه پارامتر به شرح جدول ذیل است .

	SiO <sub>2</sub>	A120 <sub>3</sub>	MODULE
SiO <sub>2</sub>	1	-0.38	-0.93
A120 <sub>3</sub>		1	0.56
MODULE			1

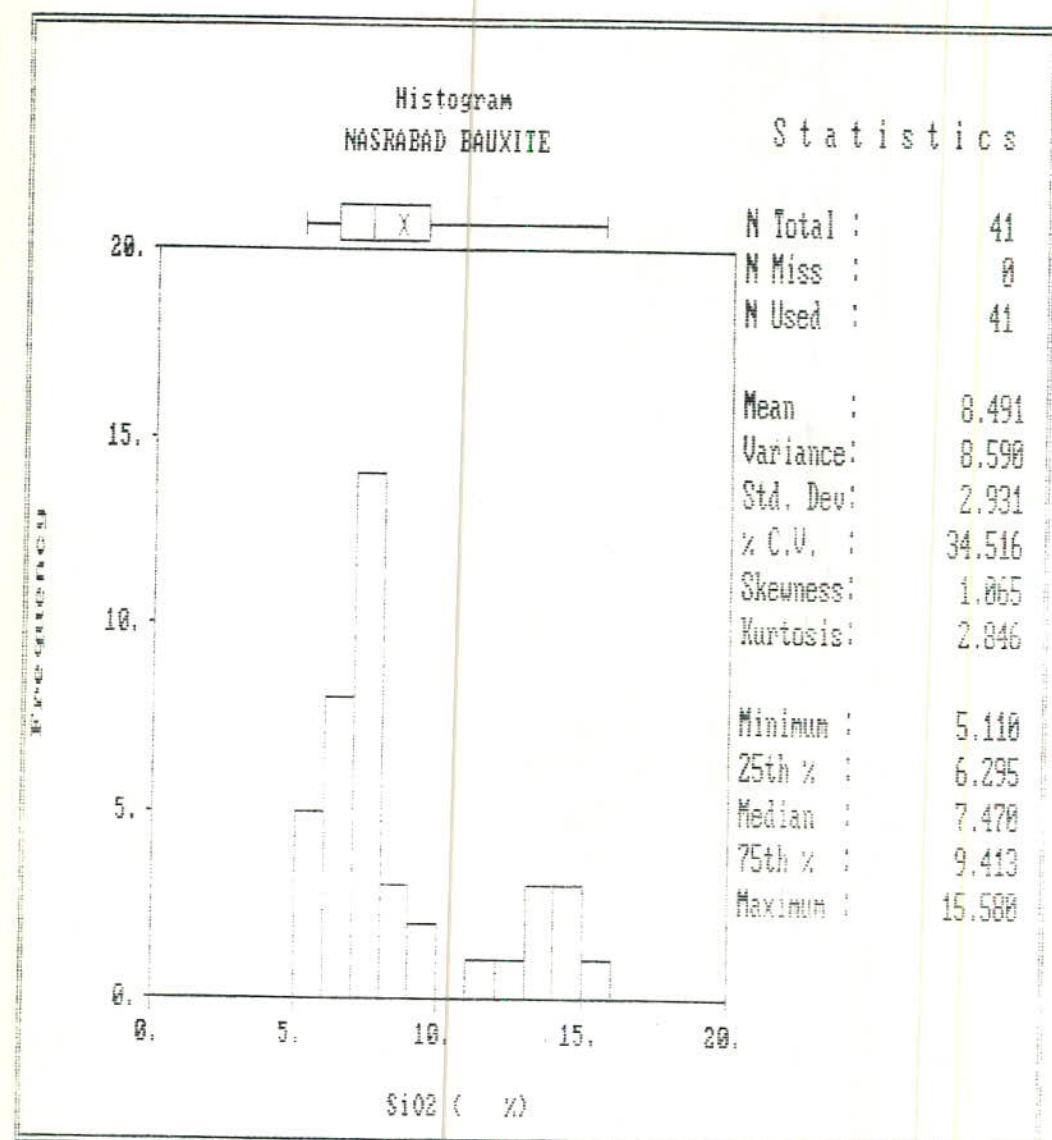
#### نتایج تحلیل داده ها

باتوجه به اینکه پارامتر عیار برای این منطقه تقریبا " اقتصادی است ولی سایر پارامترها از جمله کمی میزان ذخیره ، پراکندگی رخنمونهای بوکسیتی و ... باعث می شود که کار اکتشاف در این منطقه فعلا" در همین مرحله متوقف گردد و ادامه کار اکتشاف نیمه تفضیلی فعلا" توجیه پذیر نمی باشد .

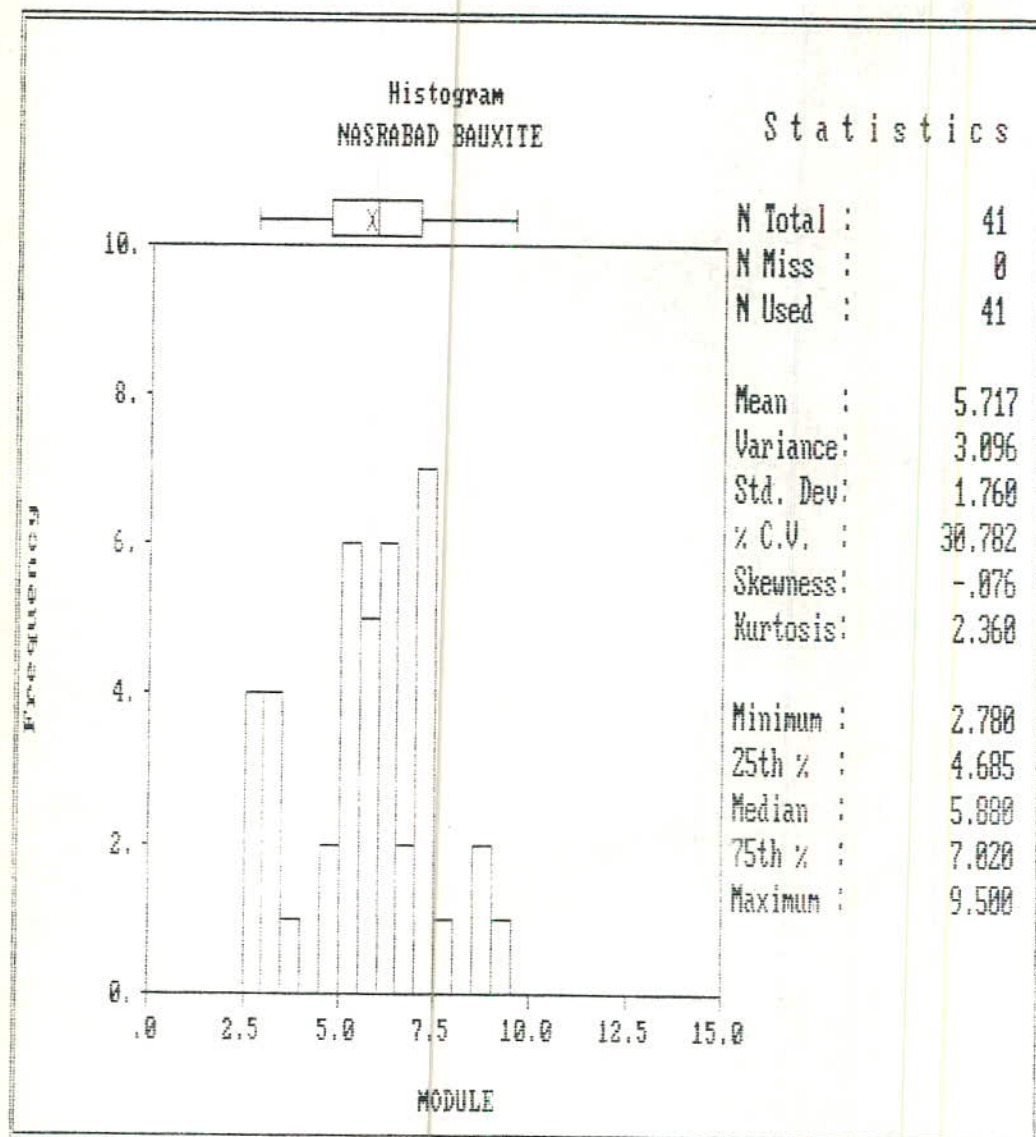
شکل شماره ۲۲-۳ : هیستوگرام فراوانی - درصد Al2O3 نمونه های بوکسیت  
منطقه نصر آباد .



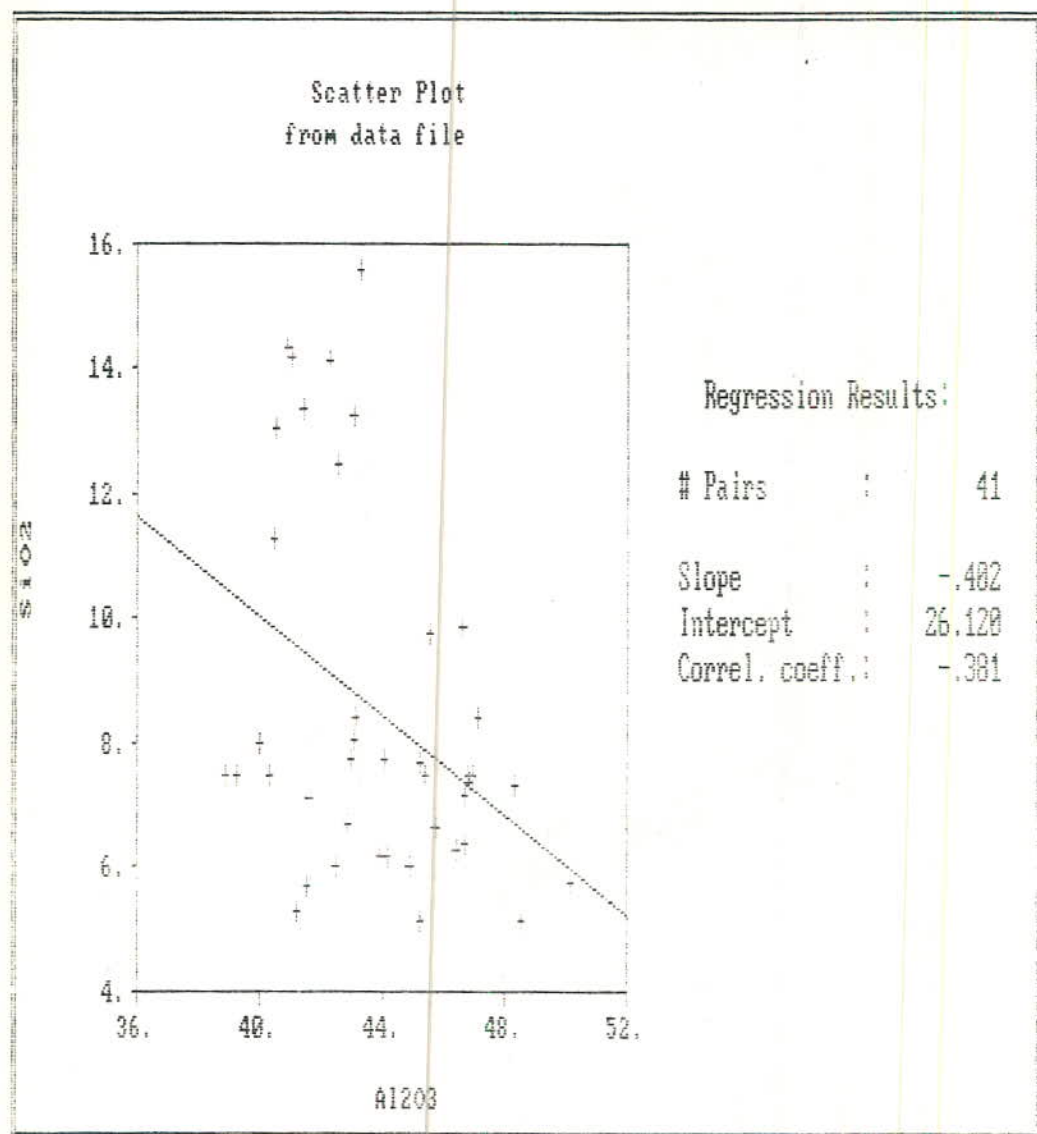
شکل شماره ۳۸-۳ : هیستوگرام فراوانی - درصد SiO<sub>2</sub> نمونه های بوکسیت  
منطقه نصرآباد .



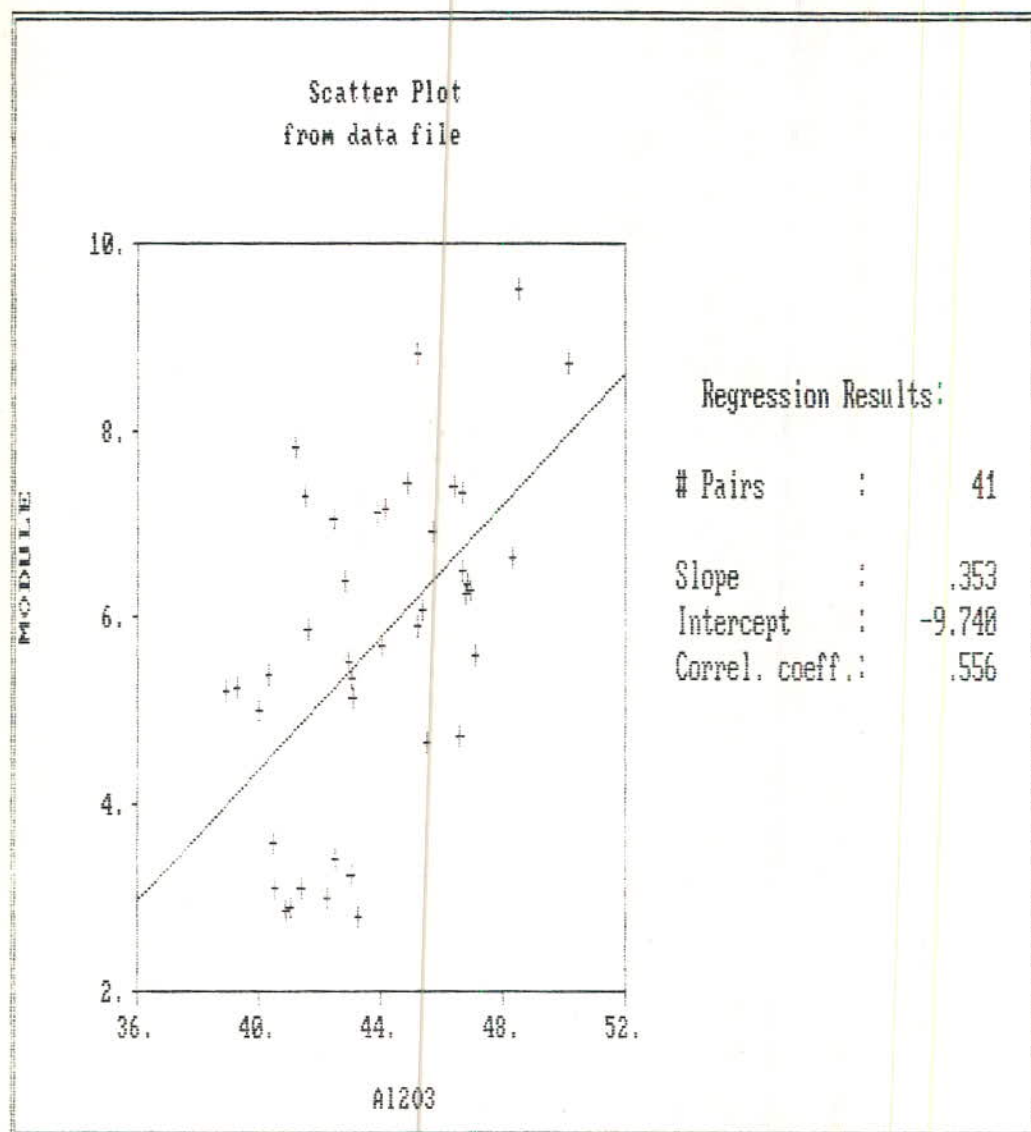
شکل شماره ۳۹-۳ : هیستوگرام فراوانی - مقدار MODULE نمونه های بوکسیت منطقه نصر آباد .



شکل شماره ۴۰-۳ : همبستگی درصد Al203 و SiO<sub>2</sub> نمونه های بوکسیت  
منطقه نصر آباد .

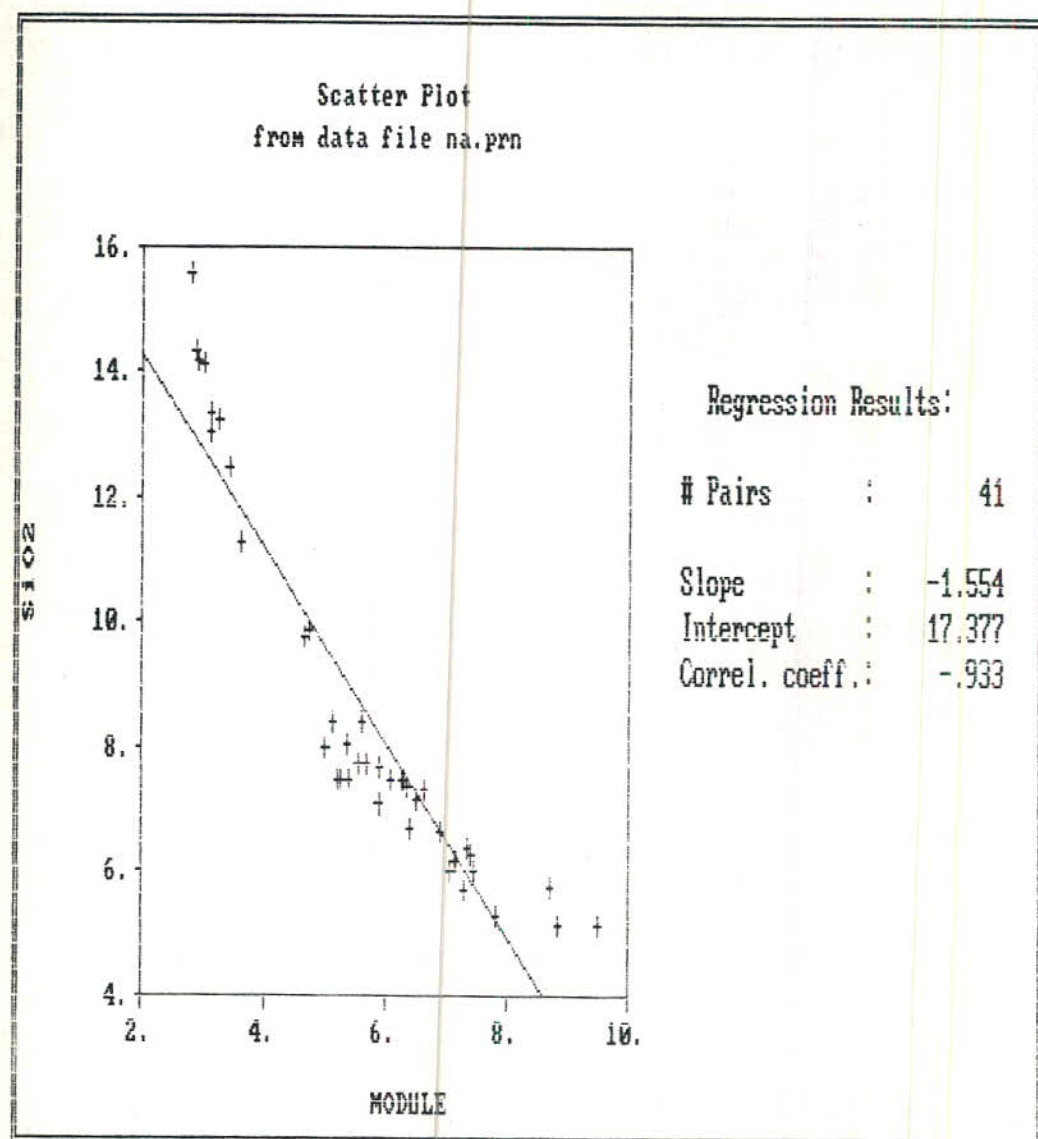


شکل شماره ۴۱-۳ : همبستگی درصد Al203 و MODULE نمونه های بوکسیت منطقه نصر آباد .



شکل ۴۲-۳ همبستگی بین پارامترهای مدول و SiO<sub>2</sub> برای نمونه‌های بوکسیت

نصرآباد



## ۲- کانسراهای بوكسيت شمال يزد

۱-۲ پلیت ۲

### موقعیت جغرافیایی و راه دسترسی

این پلیت در منتهی الیه سمت غربی سایر مناطق شمال يزد واقع شده است و به دو بخش تقسیم می شود که بخش غربی آن در مجاورت مزرعه کلمند واقع شده است . فاصله این بخش از يزد ۳۸ کیلومتر است .

### مشخصات رخنمونها

در این منطقه رخنمونهای پراکنده بوكسيت بر روی سطح فرسایش یافته کمر پایین مشاهده می شود . افزار ماده معدنی ناچیز بوده و کمر بالا را عمدتاً " آبرفت پوشیده است . ضخامت متوسط ماده معدنی در این بخش ۲/۷ متر است و از بوكسيت سخت تشکیل شده است .

### کارهای اکتشافی انجام شده

کارهای اکتشافی این پلیت شامل تهیه نقشه های زمین شناسی و برداشت ۱۱۵ نمونه از ۱۹ مقطع می باشد .

### تحلیل داده های اکتشاف مقدماتی

بررسی کیفی ماده معدنی مشخصات ۹ محل نمونه برداری که شامل آنالیز متوسط شیمیایی و ضخامت

بُوكسيت می باشد در جدول شماره ۱۷-۳ آمده است و شکل شماره ۴۲-۳ تغییرات پارامترهای مختلف را نسبت به محل ها نشان می دهد . همانطور که از این شکل پیداست تغییرات پارامترهای مختلف بسیار کم است و ماده معدنی از یکنواختی خوبی برخوردار است . در جدول شماره ۱۸-۳ و شکل شماره ۴۴-۳ همین اطلاعات بر حسب مدول مرتب شده اند .

بررسی تغییرات پارامترهای مختلف جهت بررسی تغییرات پارامترهای مختلف کانسال در این پلیت هیستوگرامها و نمودارهای آماری برای نتایج ۱۱۴ نمونه این محل تهییه شده است و پارامترهای آماری آنها نیز مشخص است .

بررسی تغییرات A1203  
شکل شماره ۴۵-۳ توزیع فراوانی درصد A1203 برای ۱۱۴ نمونه را نشان می دهد . میانگین این پارامتر  $43/7$  و انحراف معیار آن  $2/26$  است . ضریب تغییرات  $6/2$  نشان دهنده تغییرات کم این پارامتر حول مقدار میانگین است . با وجود تغییرات کم این پارامتر ولی مقدار میانگین کم می باشد و تنها ۲۵ درصد نمونه ها بالای  $45/5$  درصد A1203 دارند و ۷۵ درصد دیگر بین  $36/2$  تا  $45/6$  درصد A1203 دارند .

بررسی تغییرات SiO<sub>2</sub>  
پارامترهای آماری این متغیر در شکل شماره ۴۶-۴ درج شده است . میانگین آن  $10/6$  و انحراف معیار و ضریب تغییرات آن بترتیب  $2/44$  و  $22/45$  می باشد که نشان دهنده " تغییرات نسبتاً " شدید این پارامتر است ، ۲۵ درصد نمونه ها کمتر از  $7/86$  درصد و ۷۵ درصد دیگر بالای  $10/3$  درصد SiO<sub>2</sub> دارند .

بررسی مدول  
میانگین این پارامتر  $4/64$  و انحراف معیار آن  $1/2$  است و ضریب تغییرات ۳۷/۲۷ درصد نشان دهنده " تغییرات نسبتاً " زیاد این پارامتر است . تنها

TABLE 3.17 : Average values of different parameters of sample location (Pl4)

NAME	SAMPLES	THICKNESS	Al2O3%	SiO2%	MODULE
YPL4op1	2	0.20	43.00	12.47	3.45
YPL4S2	5	1.50	43.88	10.96	4.00
YPL4S3	4	1.60	43.72	9.77	4.47
YPL4S3-1	6	2.20	42.45	11.48	3.70
YPL4S4	9	2.50	43.09	9.33	4.62
YPL4S4-1	5	1.00	43.33	10.73	4.04
YPL4S4-2	6	2.40	45.79	7.78	5.88
PL4S5	5	1.50	45.10	8.34	5.40
YPL4S5-1	7	4.50	44.60	7.47	5.97
YPL4S6	8	2.00	45.07	9.45	4.77
YPL4OP7	1	1.00	43.67	13.91	3.14
YPL4S8	6	2.80	42.06	14.06	2.99
YPL4S9	5	3.00	43.11	10.61	4.06
YPL4S10	16	5.40	42.73	13.49	3.17
YPL4S11	9	5.40	43.44	11.33	3.83
YPL4S12	7	4.00	45.16	9.01	5.01
YPL4S13	6	4.00	46.14	8.32	5.54
YPL4S14	7	5.80	42.64	12.67	3.37
YPL4OP15	1	1.50	44.76	10.68	4.19
TOTAL SAMPLES	115				
AVG.		2.75	43.84	10.62	4.13
STDS		1.65	1.19	2.04	0.93

FIGURE 3.43 : Variation of different parameters in terms of sample location (Pl4)

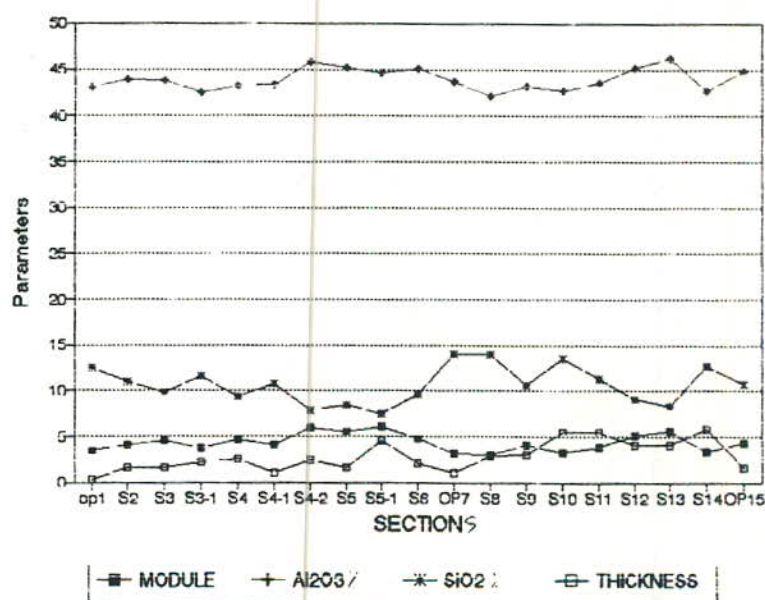
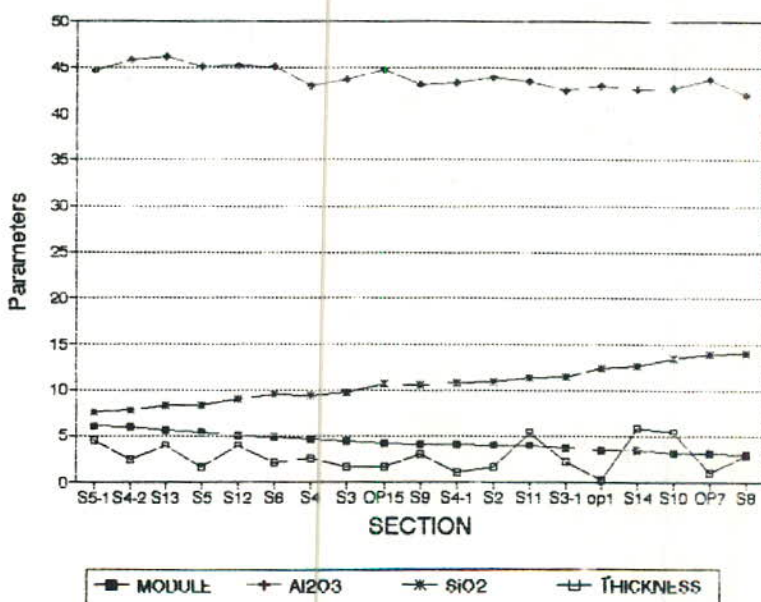


TABLE 3.18 : Average values of different parameters of sample location that are sorted in terms of MODULE

NAME	SAMPLES	THICKNESS	Al2O3%	SiO2%	MODULE
YPL4S5-1	7	4.50	44.60	7.47	5.97
YPL4S4-2	6	2.40	45.79	7.78	5.88
YPL4S13	6	4.00	46.14	8.32	5.54
PL4S5	5	1.50	45.10	8.34	5.40
YPL4S12	7	4.00	45.16	9.01	5.01
YPL4S6	8	2.00	45.07	9.45	4.77
YPL4S4	9	2.50	43.09	9.33	4.62
YPL4S3	4	1.60	43.72	9.77	4.47
YPL4OP15	1	1.50	44.76	10.68	4.19
YPL4S9	5	3.00	43.11	10.61	4.06
YPL4S4-1	5	1.00	43.33	10.73	4.04
YPL4S2	5	1.50	43.88	10.96	4.00
YPL4S11	9	5.40	43.44	11.33	3.83
YPL4S3-1	6	2.20	42.45	11.48	3.70
YPL4op1	2	0.20	43.00	12.47	3.45
YPL4S14	7	5.80	42.64	12.67	3.37
YPL4S10	16	5.40	42.73	13.49	3.17
YPL4OP7	1	1.00	43.67	13.91	3.14
YPL4S8	6	2.80	42.06	14.06	2.99
TOTAL SAMPLES	115				
AVG		2.75	43.84	10.62	4.13

TABLE 3.44 : Variation of different parameters in terms of sample location that are sorted in terms of MODULE



۲۵ درصد نمونه ها بالای ۵/۶۹ درصد مدول داشته و ۲۵ درصد نیزدارای مدول کمتر از ۳/۲۹ می باشند و ۵ درصد دیگر دارای مدول ۳/۲۹ تا ۵/۶۹ هستند . پارامترهای آماری این متغیر در شکل شماره ۴۷-۳ درج شده است .

#### همبستگی متغیرها

شكل های شماره ۴۸-۳ تا ۵۰-۳ همبستگی بین متغیرهای مختلف را نشان می دهد . ماتریس همبستگی مطابق جدول زیر می باشد .

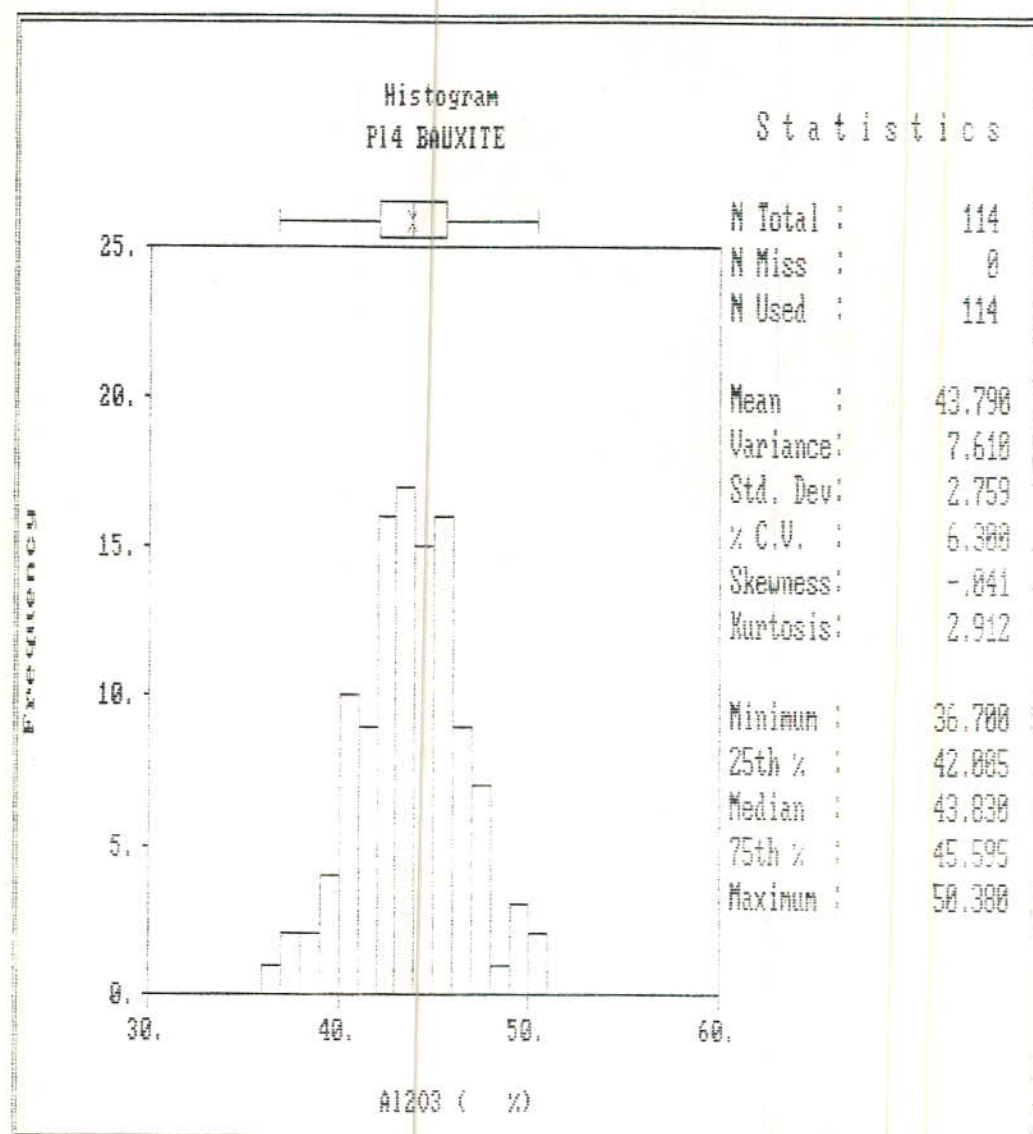
	A1203	SiO <sub>2</sub>	Module
A1203	1	-0.77	0.77
SiO <sub>2</sub>		1	-0.88
Module			1

#### نتایج تحلیل داده های اکتشافی قبلی

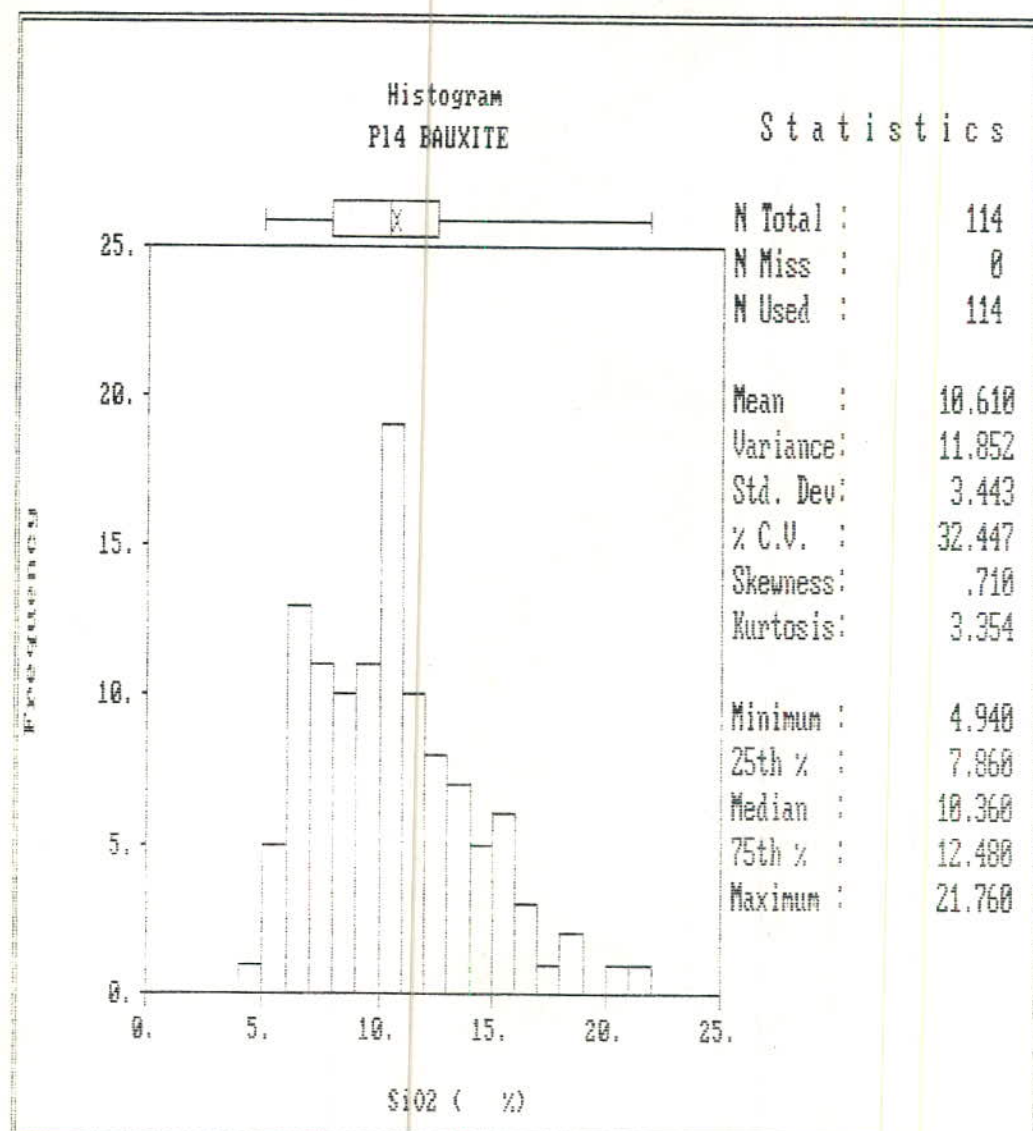
---

همانطور که در تجزیه و تحلیل داده ها ذکر شد میانگین پارامترهای A1203 ، SiO<sub>2</sub> ، مدول و ضخامت بترتیب ۴/۱۳ ، ۱۰/۶۲ ، ۴۴/۸۳ و ۲/۲۵ متر است . در این منطقه اکثر محل ها دارای میانگین قابل قبول و بالای عیار حدی می باشند ولی میانگین کلی پایین تراز میانگین خوراک کارخانه تولید آلومینا است که به همین جهت فعلاً "جهت بررسی دقیق تر توصیه نمی شود و انجام کار اکتشافی در آن توجیه پذیر نیست .

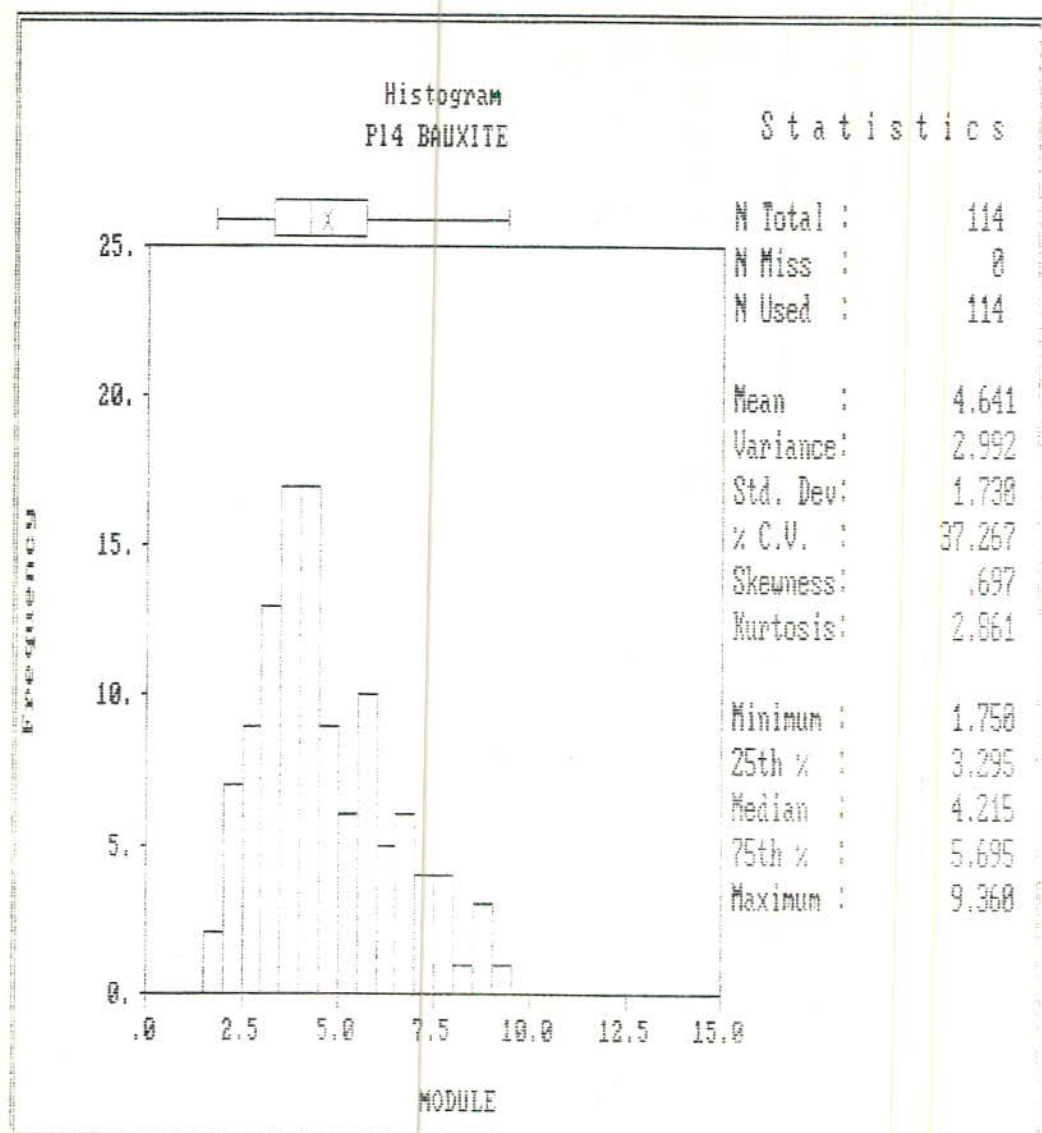
شکل شماره ۴۵-۳ : هیستوگرام فراوانی - درصد Al2O3 نمونه های بوکسیت  
پلیت ۴ شمال بیزد (P14) .



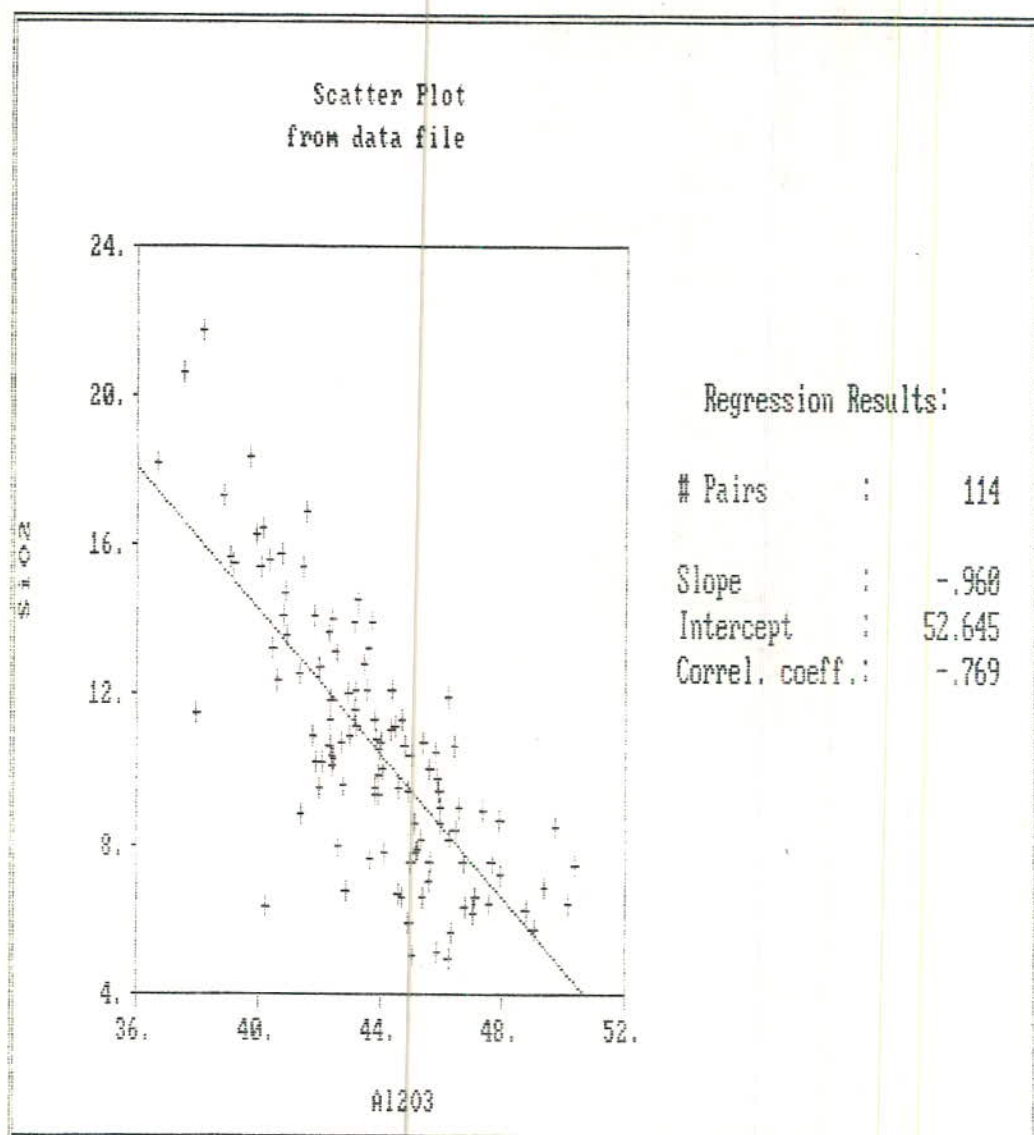
شکل شماره ۴۳-۲ : هیستوگرام فراوانی - درصد SiO<sub>2</sub> نمونه های بوکسیت  
پلیت ۴ شمال یزد (P14) .



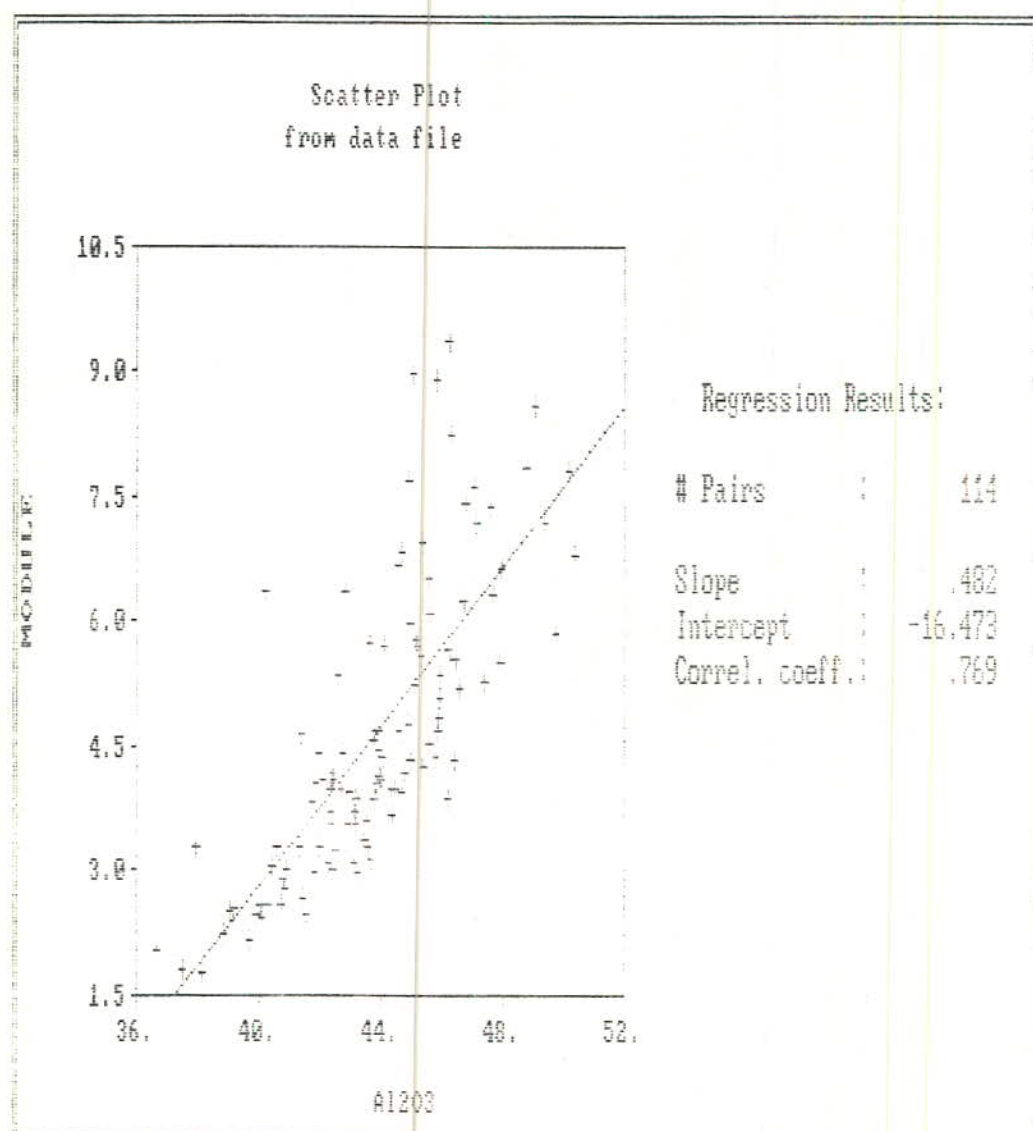
شکل شماره ۴۷-۳ : هیستوگرام فراوانی - مقدار MODULE نمونه های پلیت ۴ شمال بزد (P14) .



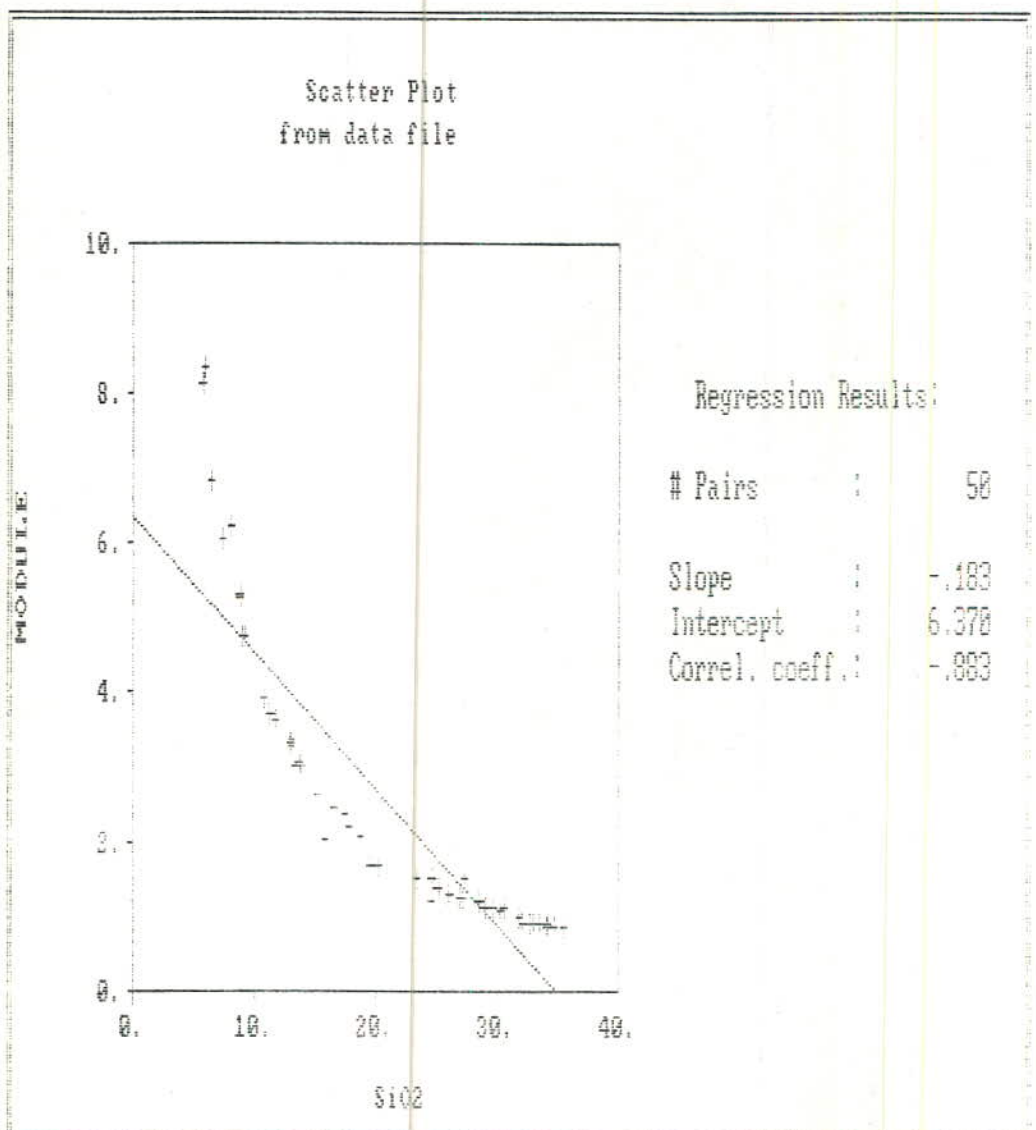
شکل شماره ۴۸-۳ : همبستگی درصد Al2O3 و SiO2 نمونه های بوکسیت  
پلیت ۴ شمال یزد (P14) .



شکل شماره ۴۹-۳ : همبستگی درصد Al203 و MODULE نمونه های بوكسیت  
پلیت ۴ شمال يزد (P14) .



شکل شماره ۳-۵۰ : همبستگی درصد SiO<sub>2</sub> و MODULE نمونه های بوكسیت  
پلیت ۴ شمال يزد (P14) .



### موقعیت جغرافیایی و راه ارتباطی

این پلیت در شمالی ترین بخش و در سمت شمال غرب پلیت ۱ واقع شده است و راه دسترسی به آن از طریق جاده دربید می باشد و یک انشعاب از این جاده به سمت شرق برای دسترسی به آن وجود دارد . فاصله آن ازیزد حدود ۳۶ کیلومتر می باشد .

### کارهای اکتشافی انجام شده

کارهای اکتشافی انجام شده در این بخش شامل تهیه نقشه های زمین شناسی در مقیاس های مختلف و برداشت نمونه از ۱۳ مقطع معدنی می باشد .

### تحلیل داده های مقدماتی

#### بررسی کیفیت ماده معدنی

تجزیه شیمیایی ۵۰ نمونه از ۱۳ محل این پلیت در جدول شماره ۲۰-۳ آمده است . تغییرات پارامترهای مختلف این پلیت شامل ، درصد A1203 ، درصد SiO<sub>2</sub> ، مدول و ضخامت نسبت به محل ها در شکل شماره ۵۱-۳ مشاهده می شود . همین اطلاعات که بر حسب مدول مرتب شده اند در جدول شماره ۲۱-۳ و شکل شماره ۵۲-۳ مشاهده می شوند . همانطور که ملاحظه می شود اکثر محل ها غیر از S8 و OP10 و OP9 فاقد ارزش اقتصادی می باشند . میانگین وزن دار ۳۷/۵۶ ، A1203 ، SiO<sub>2</sub> و مدول بترتیب ۲۰/۰۱ ، ۲۰/۸۸ و ۱/۸۸ می باشد که مقادیر بسیار نامناسبی هستند .

بررسی تغییرات پارامترهای مختلف جهت بررسی پارامترهای مختلف کانسال در این منطقه هیستوگرامها و

TABLE 3.20 : Average values of different parameters of sample location (Pi3)

NAME	SAMPLES	THICKNESS	Al <sub>2</sub> O <sub>3</sub> %	SiO <sub>2</sub> %	MODULE
YPI3S1	7	7.20	34.41	20.70	1.66
YPI3S2	4	2.60	44.62	13.25	3.37
YPI3S3	11	1.00	41.17	14.06	2.93
YPI3Op5	4	1.50	29.43	32.12	0.92
YPI3S6	9	4.00	30.58	32.55	0.94
YPI3S7	5	4.50	33.97	28.54	1.19
YPI3S8	4	3.50	43.53	9.62	4.53
YPI3Op9	1	1.00	44.00	9.22	4.77
YPI3Op10	1	1.50	46.61	5.74	8.12
YPI3Op11	1	1.00	41.81	11.23	3.71
YPI3Op12	1	1.50	41.57	17.37	2.39
YPI3Op13	1	1.00	43.65	12.99	3.36
AVG		2.53	37.56	20.01	1.88
STDs		1.94	5.87	9.20	2.05

FIGURE 3.51 : Variation of different parameters in terms of sample location (Pi3)

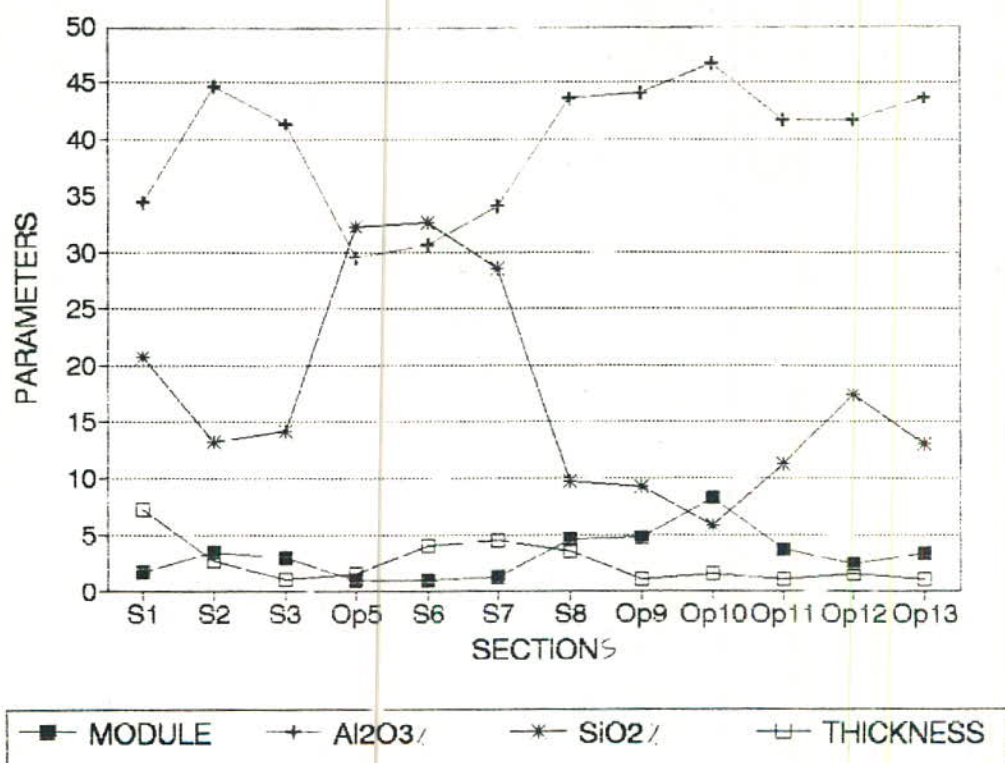
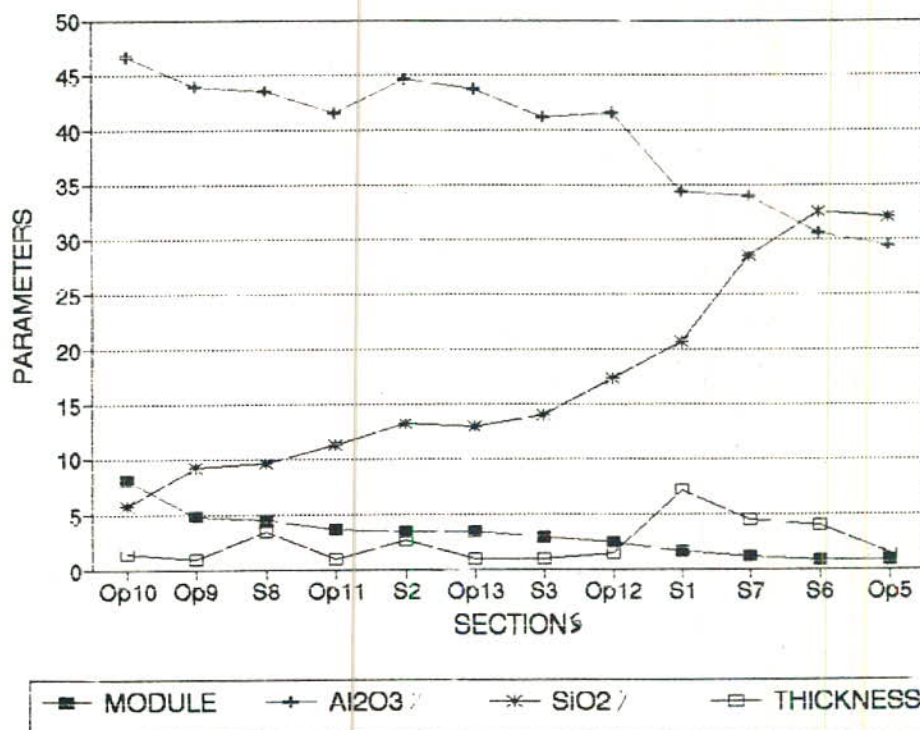


TABLE 3.21 : Average values of different parameters of sample location  
that are sorted in terms of MODULE(PI3)

NAME	SAMPLES	THICKNESS	Al2O3 %	SiO2 %	MODULE
YPI3Op10	1	1.50	46.61	5.74	8.12
YPI3Op9	1	1.00	44.00	9.22	4.77
YPI3S8	4	3.50	43.53	9.62	4.53
YPI3Op11	1	1.00	41.61	11.23	3.71
YPI3S2	4	2.60	44.62	13.25	3.37
YPI3Op13	1	1.00	43.65	12.99	3.36
YPI3S3	11	1.00	41.17	14.06	2.93
YPI3Op12	1	1.50	41.57	17.37	2.39
YPI3S1	7	7.20	34.41	20.70	1.66
YPI3S7	5	4.50	33.97	28.54	1.19
YPI3S6	9	4.00	30.58	32.55	0.94
YPI3Op5	4	1.50	29.43	32.12	0.92
AVG		2.53	37.56	20.01	1.88
STDS		1.94	5.87	9.20	2.05

TABLE 3.52 : Variation of different parameters in terms of sample location  
that are sorted in terms of MODULE(PI3)



نمودارهای آماری تهیه شده است و پارامترهای آماری آنها نیز در آن  
درج کردیده است.

#### تغییرات A1203 :

شکل شماره ۵۳-۳ هیستوگرام آماری فراوانی درصد A1203 را نشان می دهد  
میانگین این پارامتر  $37/68$  و انحراف معیار آن  $6/05$  است. ضریب  
تغییرات این پارامتر  $16/07$  بوده و نشانگر تغییرات کم این پارامتر  
است. براساس این توزیع ۷۵ درصد نمونه ها دارای کمتر از  $42/7$  درصد  
A1203 می باشند و تنها ۲۵ درصد آنها بین  $42/7$  تا  $49/7$  درصد  
دارند که نمایانگر پایین بودن عیار کانسار در این منطقه می باشد.

#### تغییرات SiO<sub>2</sub> :

هیستوگرام فراوانی درصد SiO<sub>2</sub> برای ۵۰ نمونه از پلیت ۳ در شکل شماره  
۵۴-۳ مشاهده می شود. میانگین این پارامتر  $20/4$  و ضریب تغییرات آن  
۴۶/۷ است که نسبتاً بالا است. ۷۵ درصد نمونه های این منطقه بالای  
 $12/3$  درصد SiO<sub>2</sub> دارند که نمایانگر بالا بودن میزان این متغیر و  
غیر اقتصادی بودن کانسارت و تنها ۲۵ درصد ، کمتر از  $12/3$  درصد SiO<sub>2</sub>  
دارند.

#### تغییرات مدول :

هیستوگرام فراوانی مقدار مدول در شکل شماره ۵۵-۳ مشاهده می شود.  
۷۵ درصد نمونه ها دارای مدول کمتر از  $3/35$  بوده و تنها ۲۵ درصد آنها با  
مدول بالای  $3/35$  می باشند ، که حداقل به  $8/32$  می رسد.

#### همبستگی پارامترها

شکل های ۵۶-۳ تا ۵۸-۳ همبستگی پارامترهای مختلف را نشان می دهد و

ماتریس همبستگی مطابق جدول شماره زیر است .

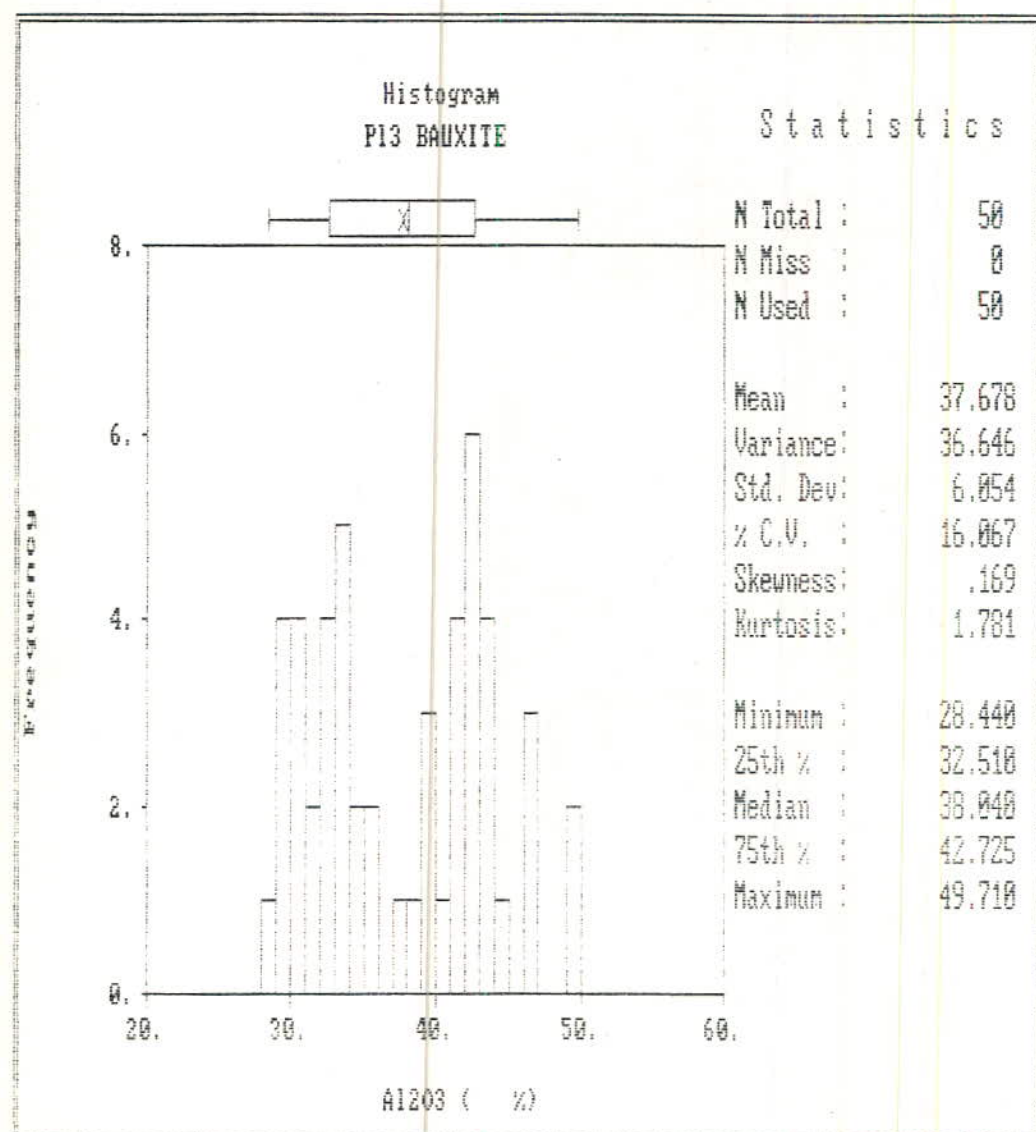
ماتریس همبستگی نمونه های پلیت ۳

	A1203	SiO <sub>2</sub>	Module
A1203	1	-0.92	0.88
SiO <sub>2</sub>		1	-0.088
Module			1

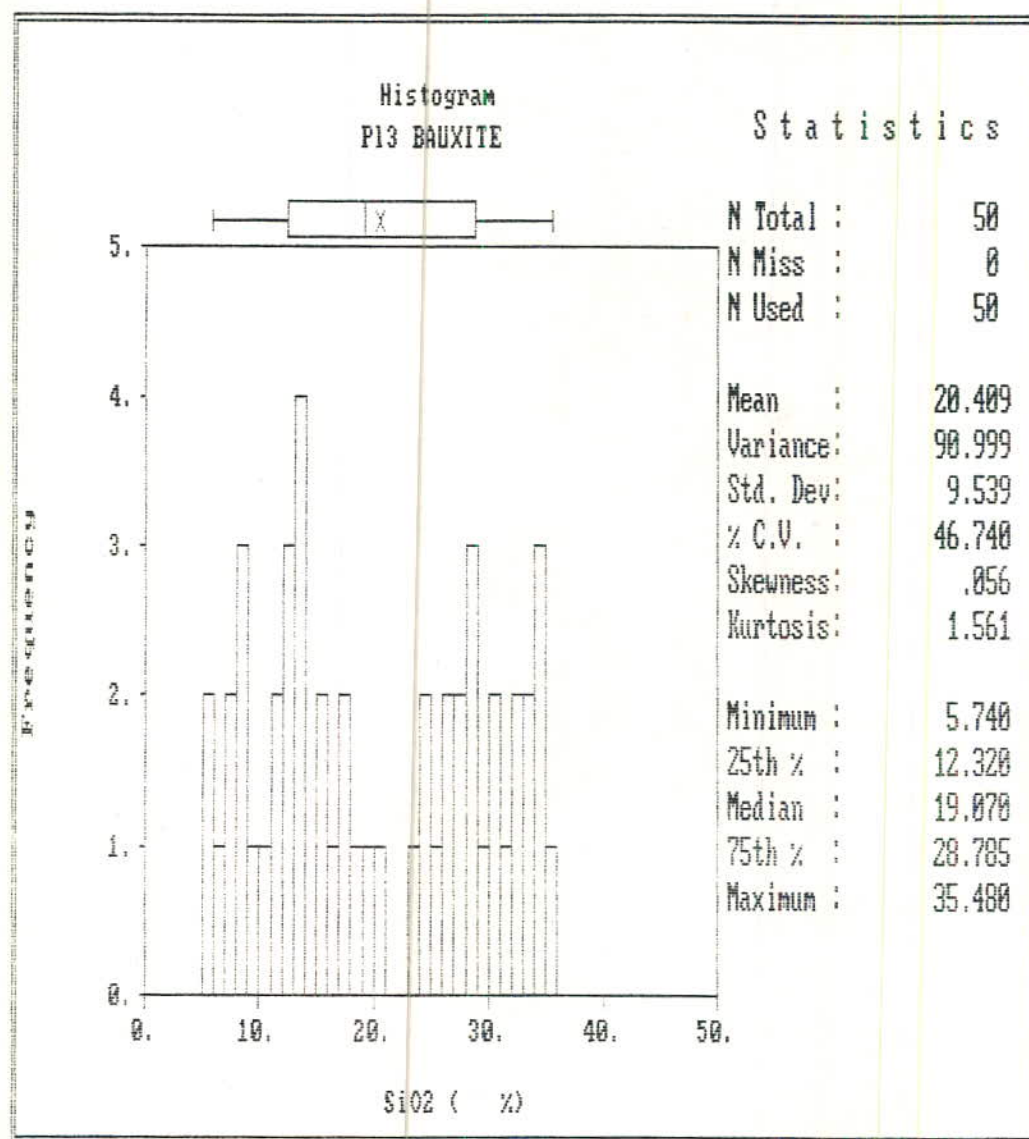
#### نتایج تحلیل داده ها

براساس اطلاعات موجود ، ماده معدنی در این ناحیه بعلت پایین بودن عیار فاقد ارزش اقتصادی است و فعلاً " به هیچ وجه انجام کار اکتشافی در آن توجیه پذیر نیست .

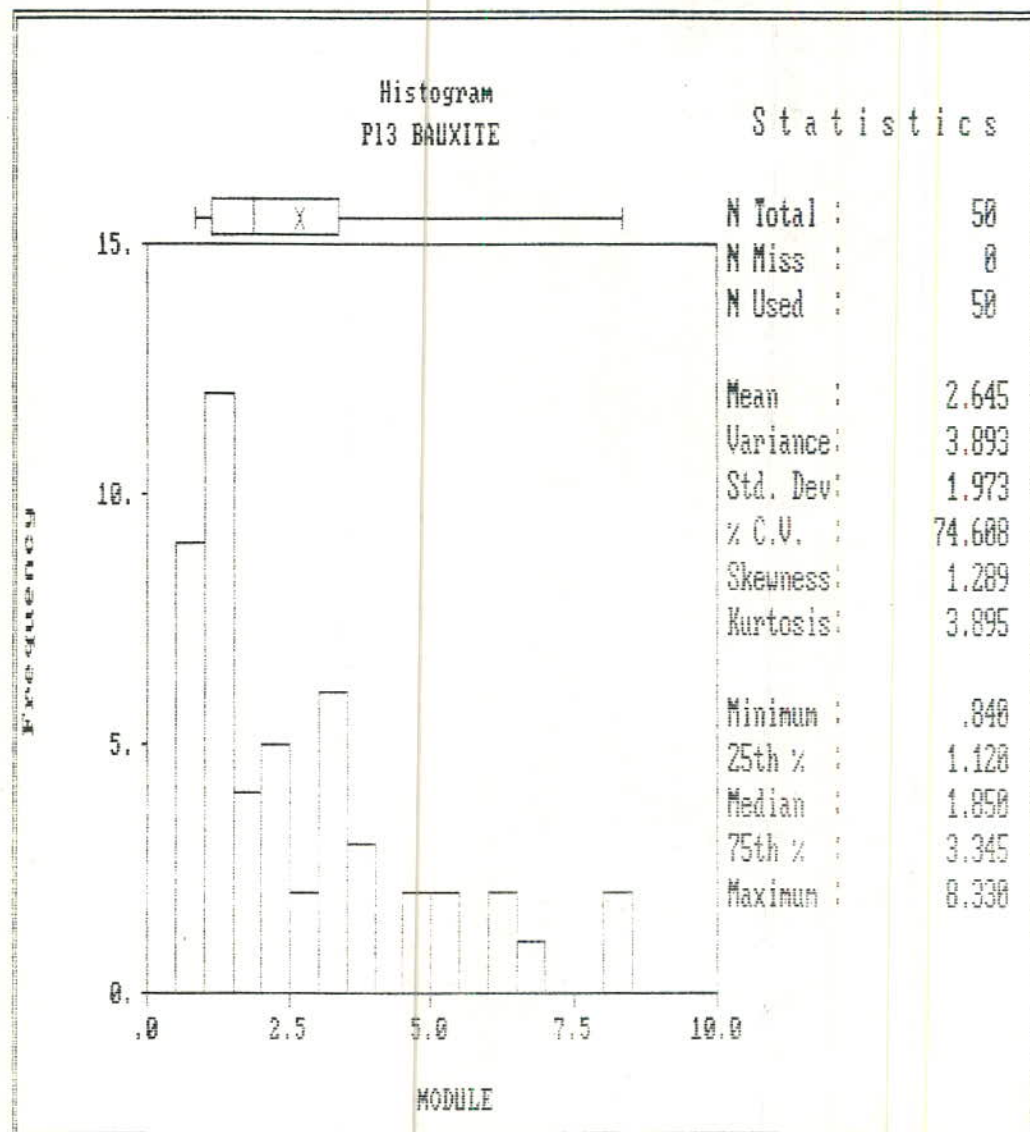
شکل شماره ۵۳-۲ : هیستوگرام فراوانی - درصد Al2O3 نمونه های بوکسیت  
پلیت ۳ شمال یزد (P13) .



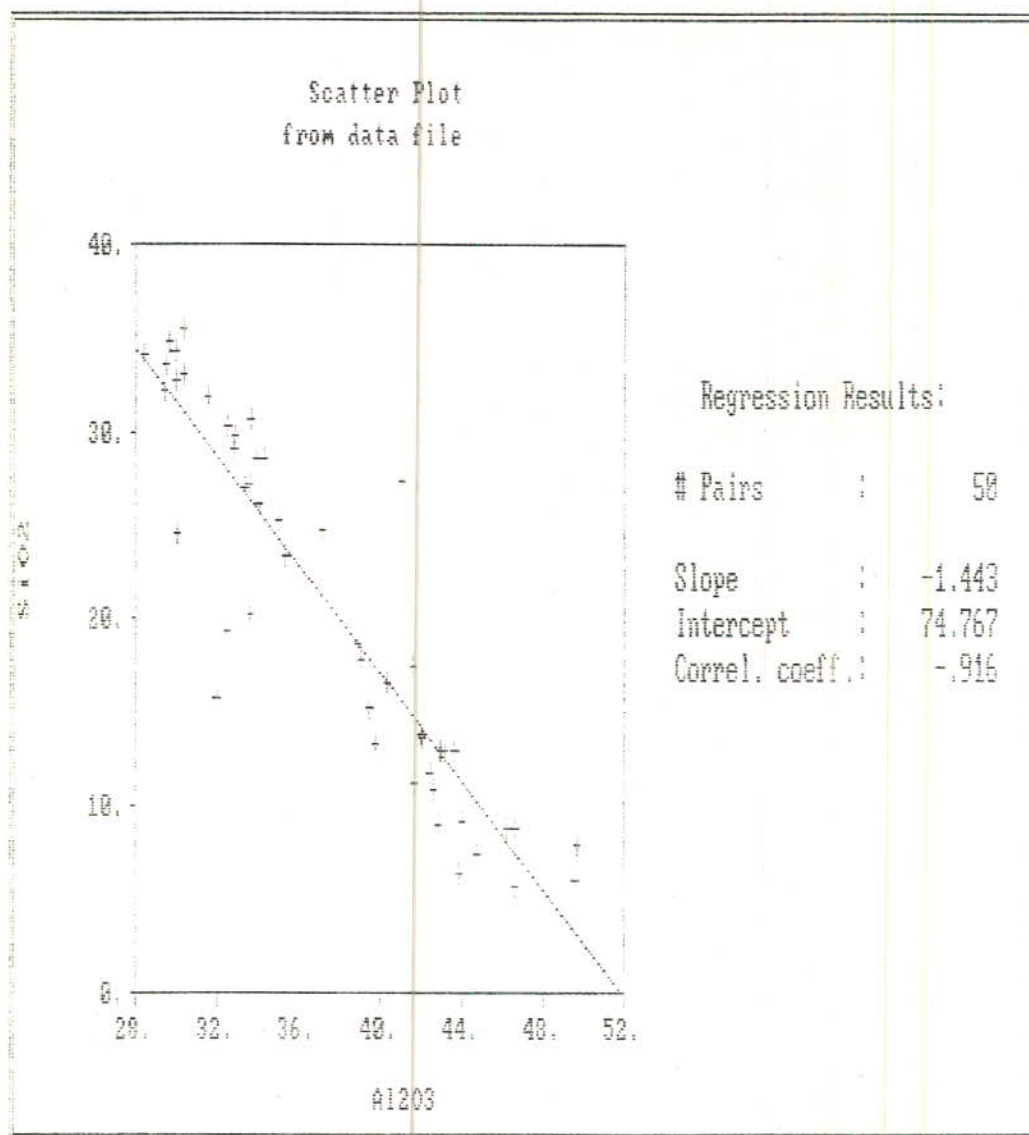
شکل شماره ۵۴-۳ : هیستوگرام فراوانی - درصد SiO<sub>2</sub> نمونه های بوکسیت  
پلیت ۳ شمال یزد (P13) .



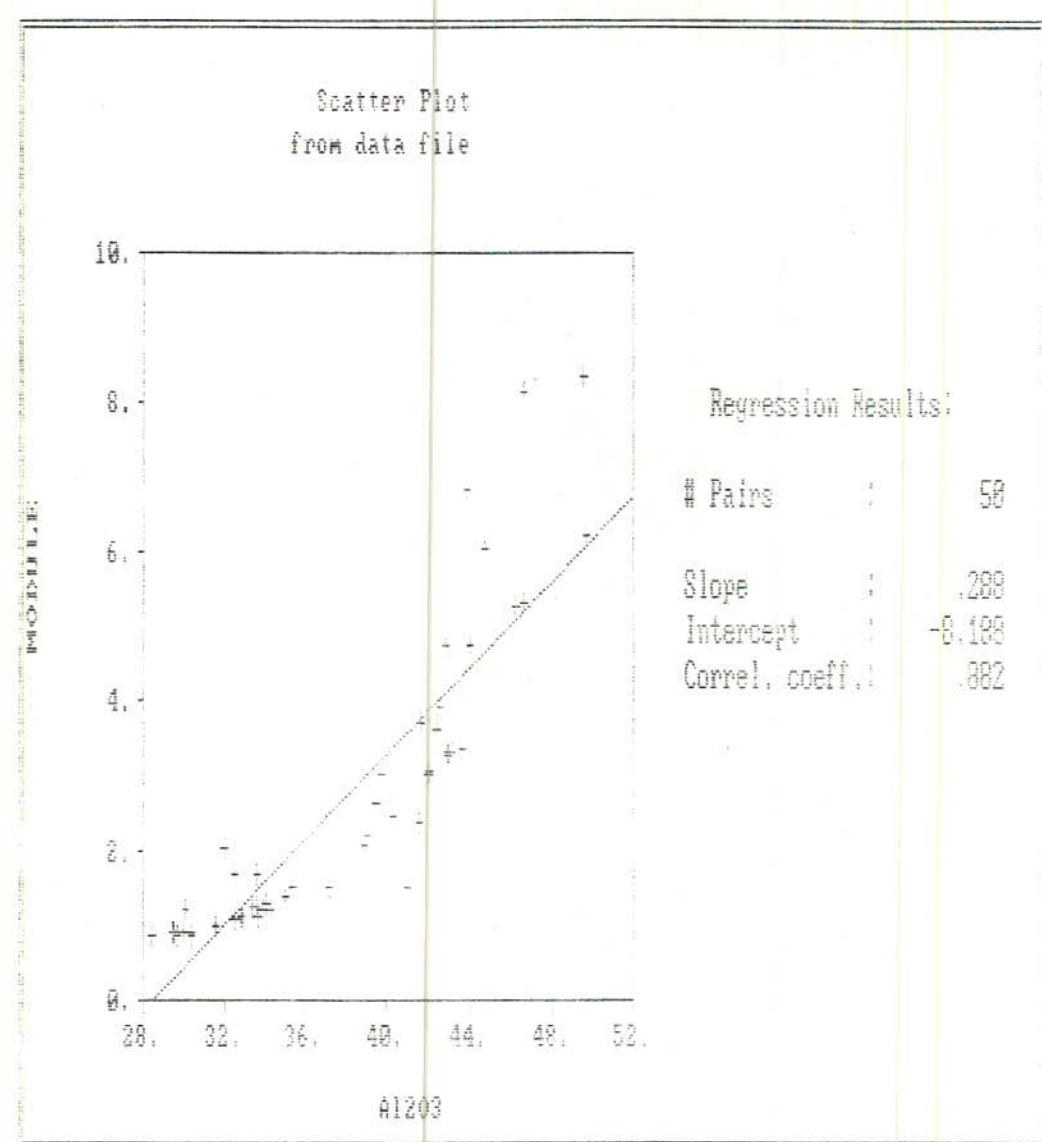
شکل شماره ۵۵-۳ : هیستوگرام فراوانی - مقدار MODULE نمونه های پلیت ۳ شمال یزد (P13) .



شکل شماره ۵۶-۳ : همبستگی درصد Al2O3 و SiO2 نمونه های بوکسیت  
پلیت ۳ شمال یزد (P13) .



شکل شماره ۳ - ۵۲ : همبستگی درصد Al203 و MODULE نمونه های بوکسیت  
پلیت ۳ شمال یزد (P13) .



### موقعیت جغرافیایی و راههای دسترسی

راه دسترسی به این پلیت از طریق جاده روستای دربید می باشد و از طریق انشعاب مزرعه لای تلخ می توان به این محل دسترسی پیدا کرد . این پلیت در سمت غرب پلیت 2A واقع شده است و تقریباً در بخش مرکزی ذخایر شمال یزد واقع می گردد و نزدیکترین محل نیز به جاده اصلی یزد می باشد . فاصله این پلیت از یزد ۳۵ کیلومتر است .

### وضعیت رخنمون بوکسیت

در این بخش ماده معدنی حدود ۸۶۰ متر گسترش دارد و ضخامت آن تا حدود ۵ متر می رسد افزایش آن در بخش شرقی نسبتاً خوب است و شیب لایه ها در این منطقه تقریباً ۶ درجه است .

در این منطقه علاوه بر فعالیتهای اکتشافی کار استخراج نیز در بخشی از آن انجام شده و مقداری بوکسیت توسط سازمان زمین شناسی استخراج و دپو شده است .

زون بوکسیت در این منطقه از دو بخش **شیلی** با عیار کم و **سخت باعیار** متوسط تا خوب تشکیل شده است که بخش شیلی در مجاورت کمر پایین و بخش سخت بر روی آن واقع شده است .

### کارهای اکتشافی انجام شده

کارهای اکتشافی این منطقه عبارتند از نمونه برداری سطحی و حفر ترانشه در چند مرحله، حفر یک تونل اکتشافی عمود بر لایه ، استخراج آزمایشی ، تهیه نقشه های زمین شناسی در مقیاس های ۱:۲۰۰۰۰ ، ۱:۵۰۰۰ و همچنین تهیه نقشه رخنمون ماده معدنی در مقیاس ۱:۲۰۰۰

## تحلیل داده های مقدماتی

### بررسی کیفیت ماده معدنی

تجزیه شیمیایی ۸۴ نمونه این پلیت که از ۱۴ مقطع ترانشه و تونل برداشت شده است در جدول شماره ۲۳-۳ مشاهده می شود . عیار متوسط Al2O3 و SiO2 در این محل ها بترتیب ۴۲/۶ و ۱۴/۴۶ می باشند . این میانگین وزن دار می باشد و متاثر از مقدار ضخامت ترانشه ها و مقاطع است . تغییرات پارامترهای مختلف این منطقه نسبت به محل ها که بترتیب از شرق به غرب می باشد در شکل شماره ۵۹-۳ مشاهده می شود . همین اطلاعات در جدول شماره ۲۴-۳ و شکل شماره ۶۰-۳ بترتیب مدول مرتب شده اند .

### بررسی تغییرات پارامترهای مختلف

بمنظور بررسی دقیق تر تغییرات پارامترهای مختلف کانسال این منطقه هیستوگرامها و نمودارهای آماری برای ۸۴ نمونه این منطقه تهییه شده است تا بهتر بتوان مشخصات هر متغیر را بررسی نمود .

### تغییرات مقدار Al2O3 :

شکل شماره ۶۱-۳ هیستوگرام فراوانی درصد Al2O3 را در ۸۳ نمونه بوکسیت این منطقه نشان می دهد . براساس این توزیع میانگین Al2O3 برابر ۱۲/۷۵ درصد و انحراف معیار آن برابر ۵/۹۸ است . ضریب تغییرات ۴۳/۴۶ نشان دهنده تغییرات نسبتاً کم این پارامتر می باشد ، مقدار حداقل و حداکثر این پارامتر بترتیب ۲۹/۵۲ و ۵۶/۷۳ درصد است . ۲۵ درصد نمونه ها بالای ۴۸/۱۵ درصد و ۲۵ درصد آنها کمتر از ۳۹/۳ درصد Al2O3 دارند ، ۵۰ درصد دیگر حاوی ۳۹/۳۲ تا ۴۸/۱۵ درصد Al2O3 می باشند .

در جدول شماره ۲۳-۳ نیز انحراف معیار و واریانس Al2O3 محل های

TABLE 3.23 : Average values of different parameters of sample location (PI1)

NAME	SAMPLES	THICKNESS	Al <sub>2</sub> O <sub>3</sub> %	SiO <sub>2</sub> %	MODULE
YPI1S1	6	5.00	37.92	20.07	1.89
YPI1S2	5	4.00	42.73	15.13	2.82
YPI1S3	10	6.50	43.94	15.10	2.91
YPI1S4	7	4.20	43.79	11.63	3.76
YPI1S5	5	4.50	37.47	23.39	1.60
YPI1S6	12	12.00	39.18	19.96	1.96
YPI1Tr7	5	3.40	44.10	10.72	4.11
YPI1S8	6	6.60	42.14	5.69	7.41
YPI1S9	4	3.00	49.73	5.87	8.48
YPI1S10	5	3.80	50.98	7.28	7.00
YPI1Tr11	5	3.80	44.53	18.35	2.43
YPI1Tr12	4	3.00	44.53	12.61	3.53
YPI1Tr13	3	2.20	37.73	23.03	1.64
YPI1STun	7	4.00	46.57	6.04	7.71
TOTAL SAMPLES	84				
TOTAL AVG		4.71	42.6	14.46	2.95
STDs		2.43	4.19	6.36	2.47

FIGURE 3.59 : Variation of different parameters in terms of sample location (PI1)

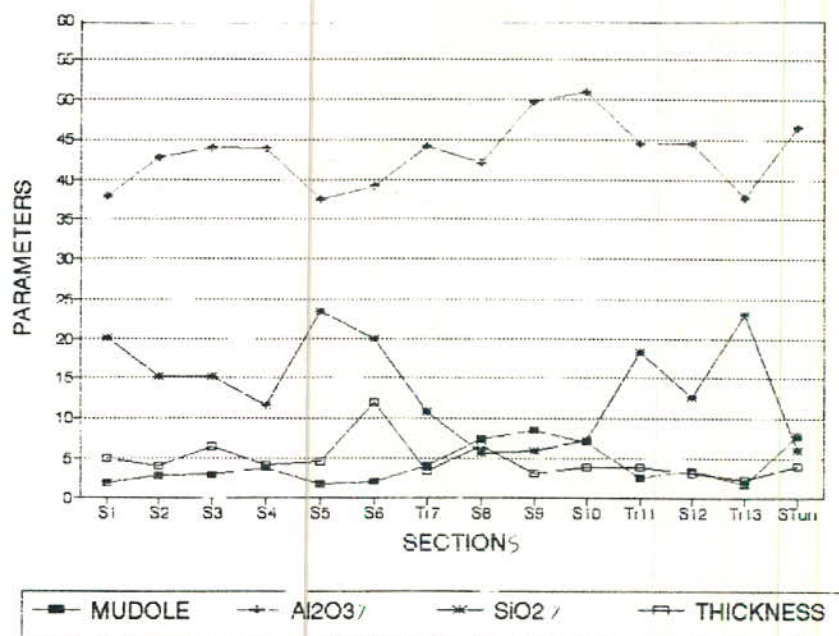
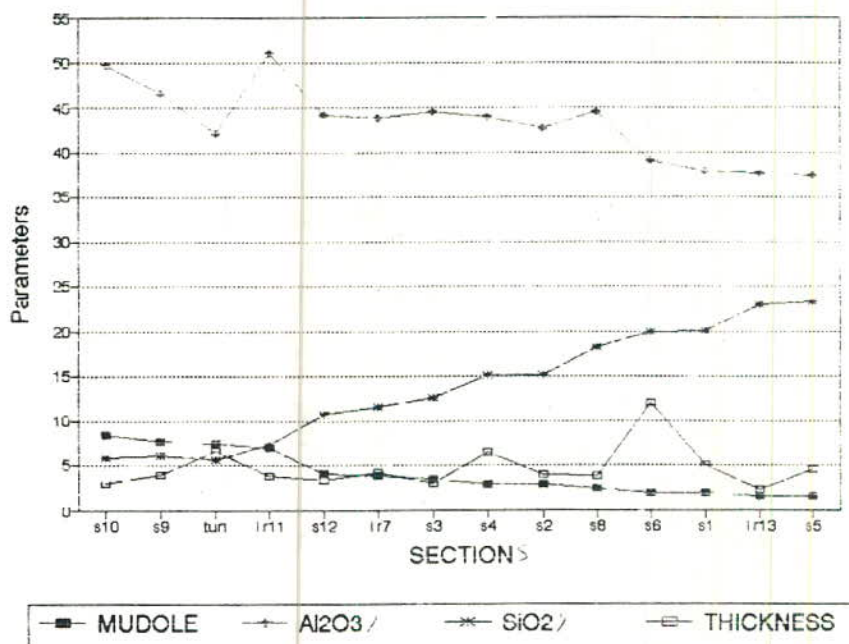


TABLE 3.24 : Average values of different parameters of sample location that are sorted in terms of MODULE (PI1)

LOCATION	SAMPLES	THICKNESS	Al <sub>2</sub> O <sub>3</sub> %	SiO <sub>2</sub> %	MODULE
YPI1S9	4	3.00	49.73	5.87	8.48
YPI1S10	7	4.00	41.57	6.01	7.71
YPI1S8	6	6.60	42.14	5.69	7.41
YPI1S10	5	3.80	50.98	7.28	7.00
YPI1Tr7	5	3.40	44.10	10.72	4.11
YPI1S4	7	4.20	43.79	11.63	3.76
YPI1S12	4	3.00	44.53	12.61	3.53
YPI1S3	10	6.50	43.94	15.10	2.91
YPI1S2	5	4.00	42.73	15.13	2.82
YPI1Tr11	5	3.80	44.53	18.35	2.43
YPI1S6	12	12.00	39.18	19.96	1.96
YPI1S1	6	5.00	37.92	20.07	1.89
YPI1Tr13	3	2.20	37.73	23.03	1.64
YPI1S5	5	4.50	37.47	23.39	1.60
TOTAL SAMPLES	84				
TOTAL AVG		4.71	42.6	14.46	2.95

FIGURE 3.60 : Variation of different parameters in terms of sample location that are sorted in terms of MODULE (PI1)



نمونه برداری آمده است که بترتیب ۴۱٪ و ۴۲٪ می باشند که طبیعتاً با توجه به اینکه این محل ها هر کدام میانگین چند نمونه هستند در نتیجه واریانس کمتری نسبت به خود نمونه ها خواهند داشت.

#### تغییرات مقدار SiO<sub>2</sub>:

هیستوگرام فراوانی درصد SiO<sub>2</sub>، ۸۳ نمونه بوکسیت پلیت ۱ در شکل ۶۲-۳ مشاهده می شود. میانگین این پارامتر ۱۴/۱۸ درصد و انحراف معیار آن ۸/۶۵ است، ضریب تغییرات ۶۱ درصد نشان دهنده تغییرات نسبتاً زیاد این پارامتر است. مقدار حداقل این پارامتر ۳/۶ و مقدار حداکثر آن ۳۵/۶۸ است. براساس این توزیع ۲۵ درصد از نمونه ها بالای ۱۹/۷۴ درصد سیلیس دارند و فقط ۲۵ درصد آنها حاوی کمتر از ۴۴/۶ درصد سیلیس می باشند. ۱۵ درصد دیگر نیز بین ۶/۶۲ تا ۱۹/۷۴ درصد SiO<sub>2</sub> دارند.

#### تغییرات مدول:

میانگین این پارامتر ۴/۹۸ و ضریب تغییرات ۷۶ آن نشان دهنده تغییرات شدید این پارامتر حول مقدار میانگین است. انحراف معیار ۳/۷۹ نیز نشان دهنده تغییرات شدید آن است. حداقل و حداکثر این پارامتر ۸۴/۰ و ۱۵/۷۶ است که ۲۵ درصد نمونه ها کمتر از ۱/۹ و ۲۵ درصد آنها بالای ۷/۰۲ مدول دارند و ۵۰ درصد دیگر دارای مدول ۱/۹ تا ۷/۰۲ می باشند. توزیع این پارامتر در شکل شماره ۶۳-۳ آمده است.

#### همبستگی متغیرها

شکل های ۶۴-۳ تا ۶۶-۳ همبستگی بین پارامترهای مختلف را نشان می دهد.

ماتریس همبستگی در جدول زیر آمده است.

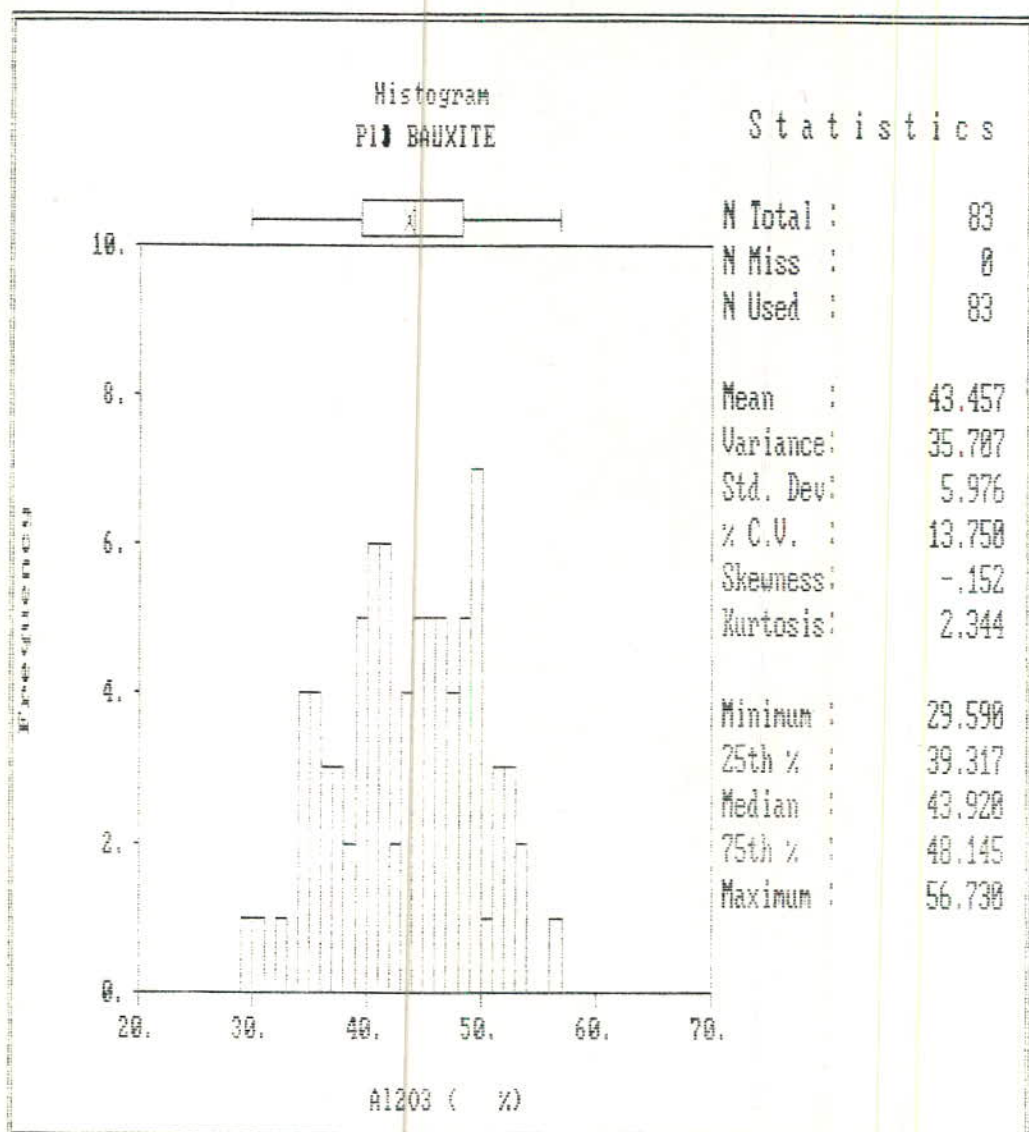
	SiO <sub>2</sub>	Al <sub>2</sub> O <sub>3</sub>	Module
SiO <sub>2</sub>	1	-0.91	-0.84
Al <sub>2</sub> O <sub>3</sub>		1	0.79
Module			1

همانطور که در شکل ها و ماتریس همبستگی مشاهده می شود ، همبستگی بین پارامترهای مختلف قوی می باشد .

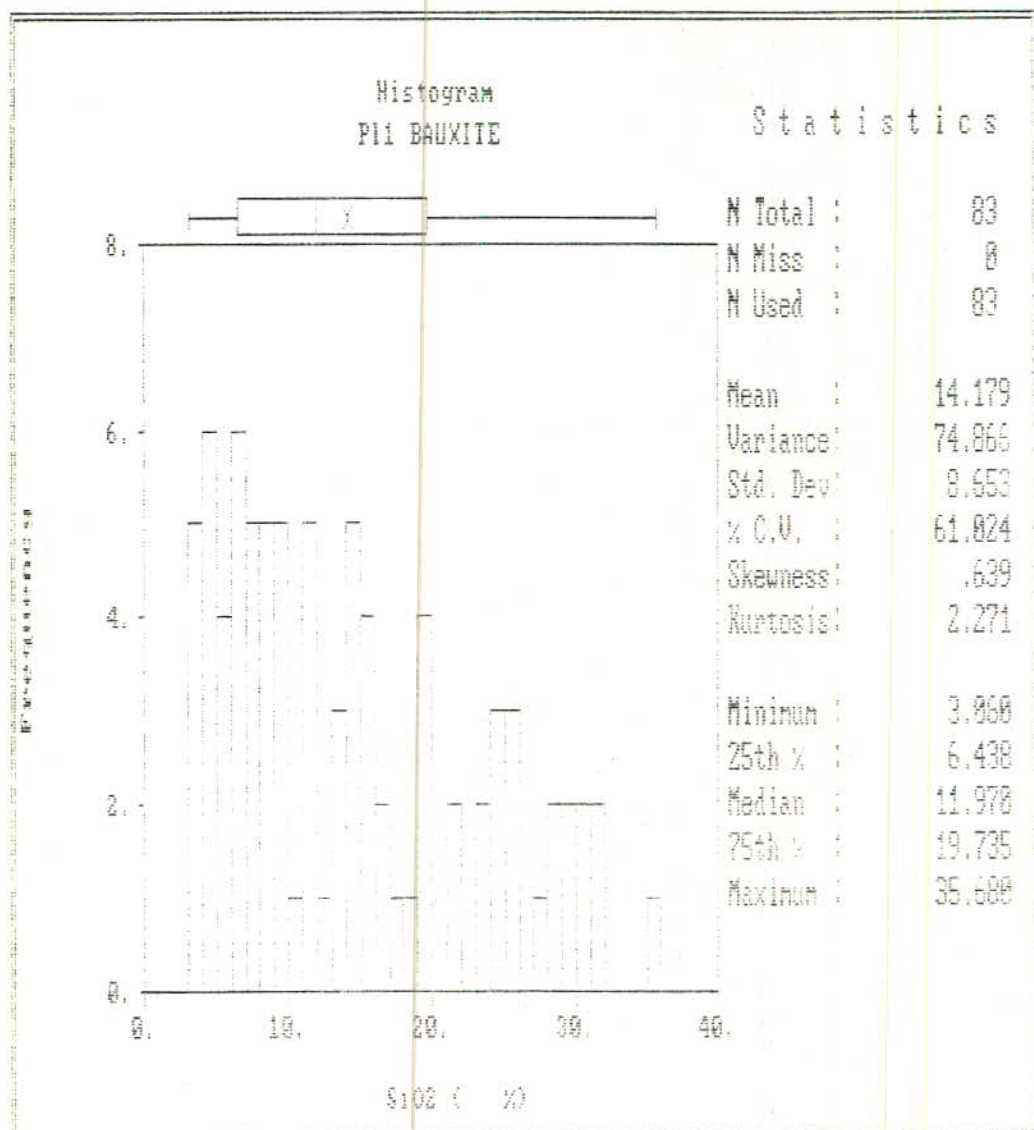
### نتایج تحلیل داده ها

بررسی کیفیت نمونه های مقدماتی نشان می دهد که میانگین کلی کانسار از کیفیت خوبی برخوردار نیست و برای استخراج آن باید به صورت انتخابی عمل شود . مثلاً "مقاطع S8 ، S9 ، S10 و نیز تونل اکتشافی دارای کیفیت خوبی می باشند و یا اگر ضخامت لایه بصورت انتخابی قابل استخراج باشد ، یعنی بخش پرعیار آن استخراج شود، مفید خواهد بود. البته محل های ذکر شده با وجود کیفیت خوب افزای مطلوبی ندارند و استخراج آنها چندان مناسب و اقتصادی نخواهد بود . در عین حال پلیت ۱ برای استخراج روباز مناسبترین پلیت شمال یزد محسوب میگردد زیرا بخش شرقی آن دارای افزای و شب مناسب جهت استخراج روباز است ولی متاسفانه کیفیت این بخش چندان رضایت بخش نیست و بدین جهت کار اکتشاف تفضیلی نیز برای آن توصیه نمی شود و با وجود اینکه قبله " چند نقطه جهت حفاری برای این منطقه در نظر گرفته شده و جاده و سکوهای آن نیز احداث شده است ، حفر این کمانه ها با توجه به کیفیت نامناسب نمونه های سطحی کانسار توجیه پذیر نمی باشد و فعلاً در همین مرحله از اکتشاف متوقف می گردد .

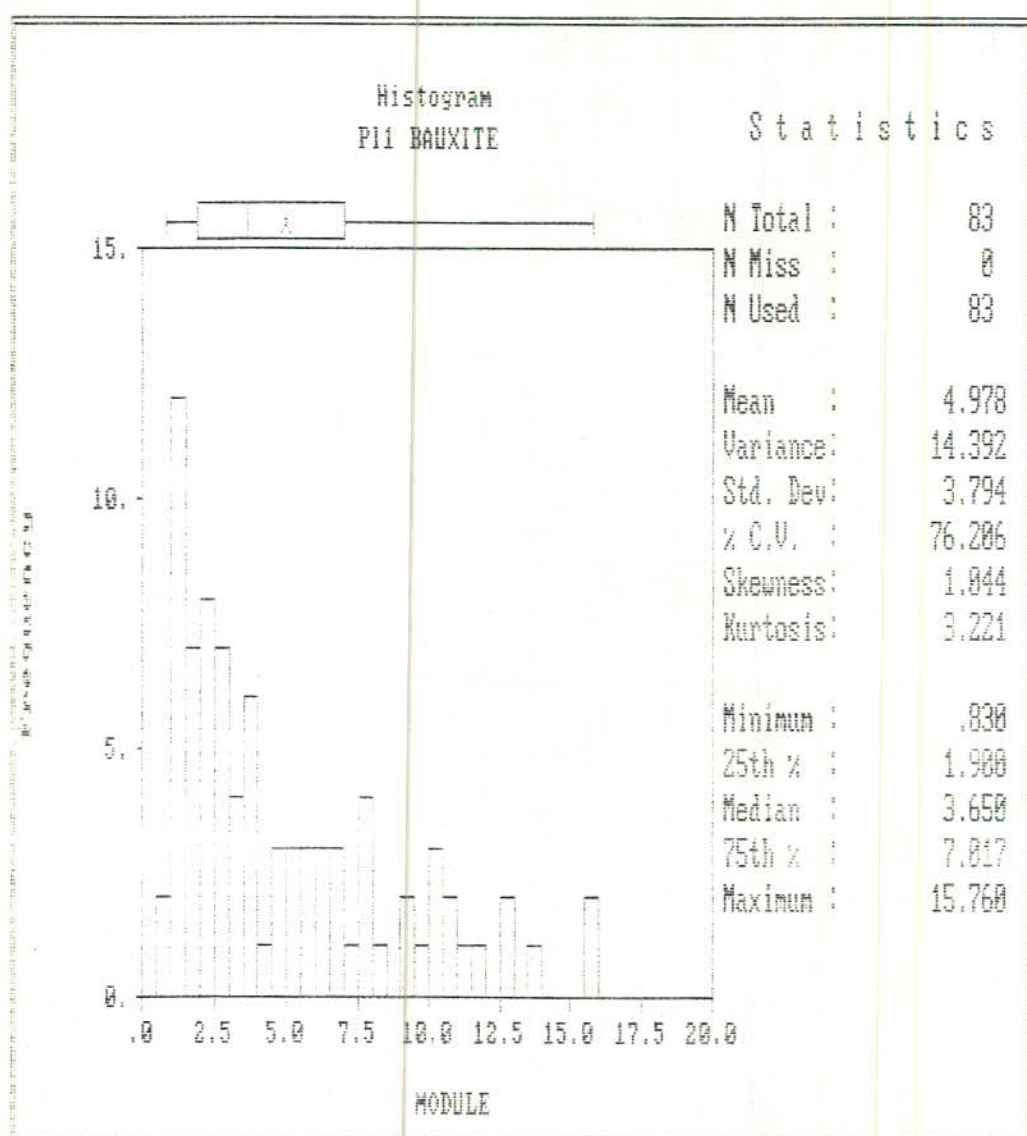
شکل شماره ۶۱-۳ : هیستوگرام فراوانی - درصد Al2O3 نمونه های بوکسیت  
پلیت ۱ شمال یزد (P11).



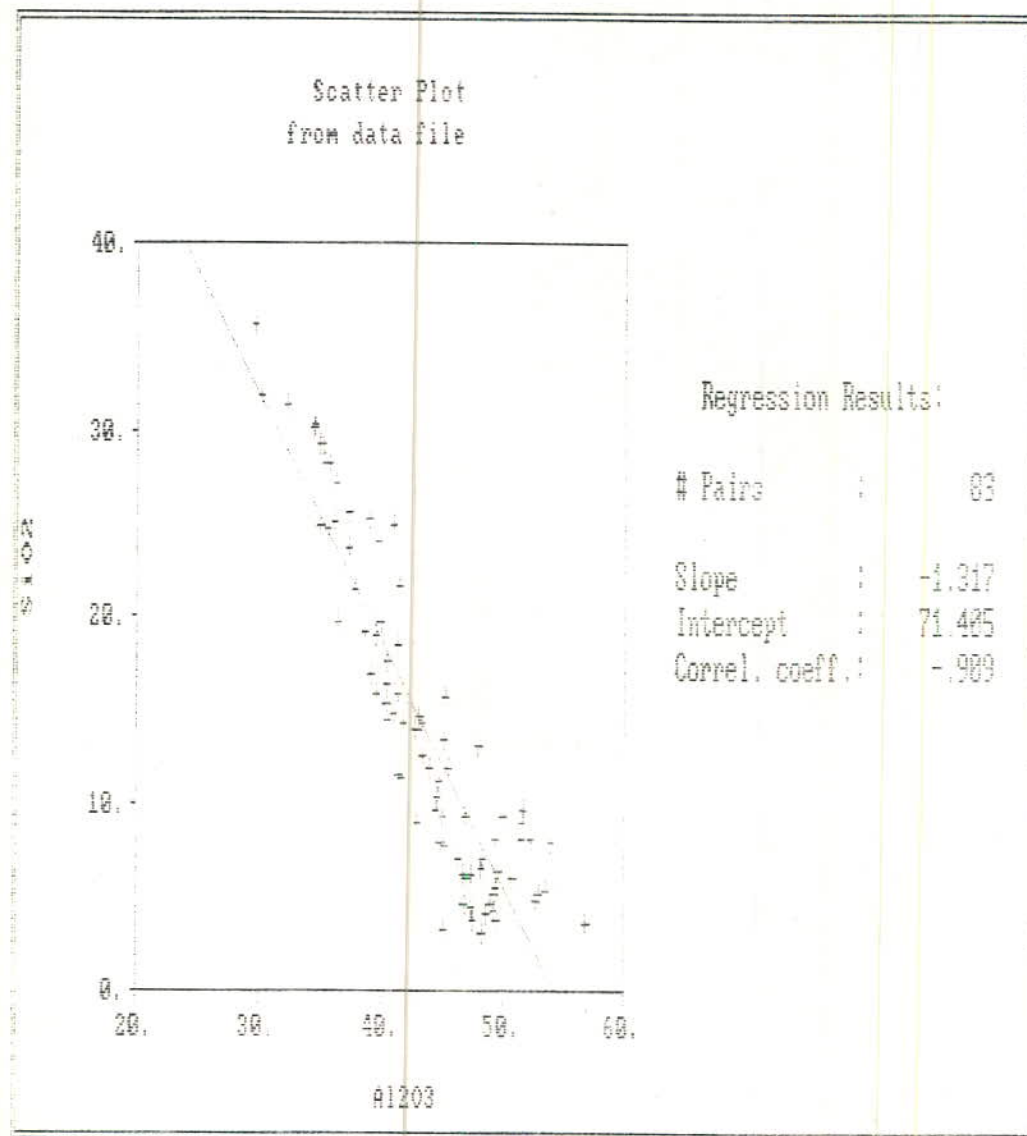
شکل شماره ۶۲-۳ : هیستوگرام فراوانی - درصد SiO<sub>2</sub> نمونه های بوکسیت  
پلیت ۱ شمال یزد (P11) .



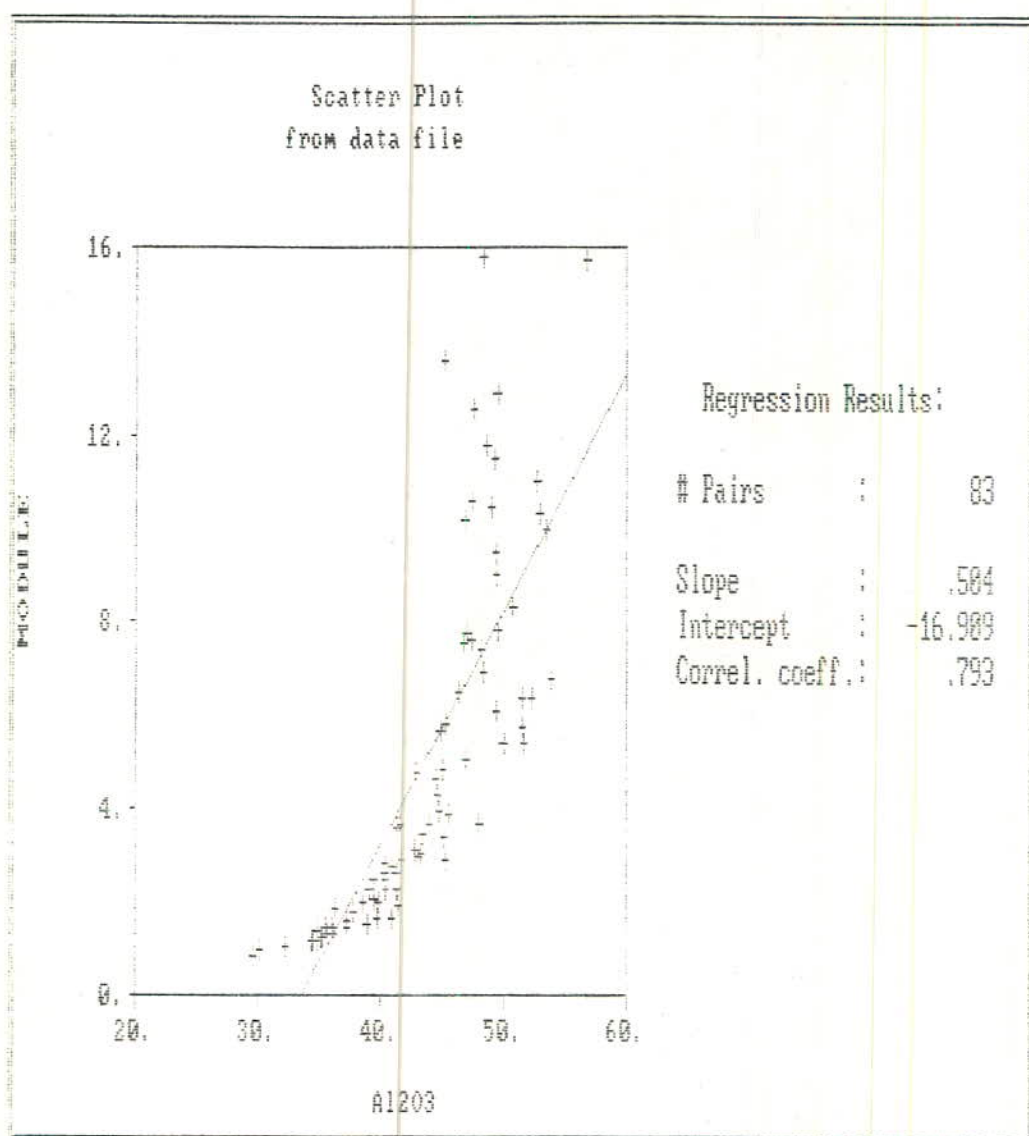
شکل شماره ۶۳-۳ : هیستوگرام فراوانی - مقدار MODULE نمونه های پلیت ۱ شمال یزد (P11).



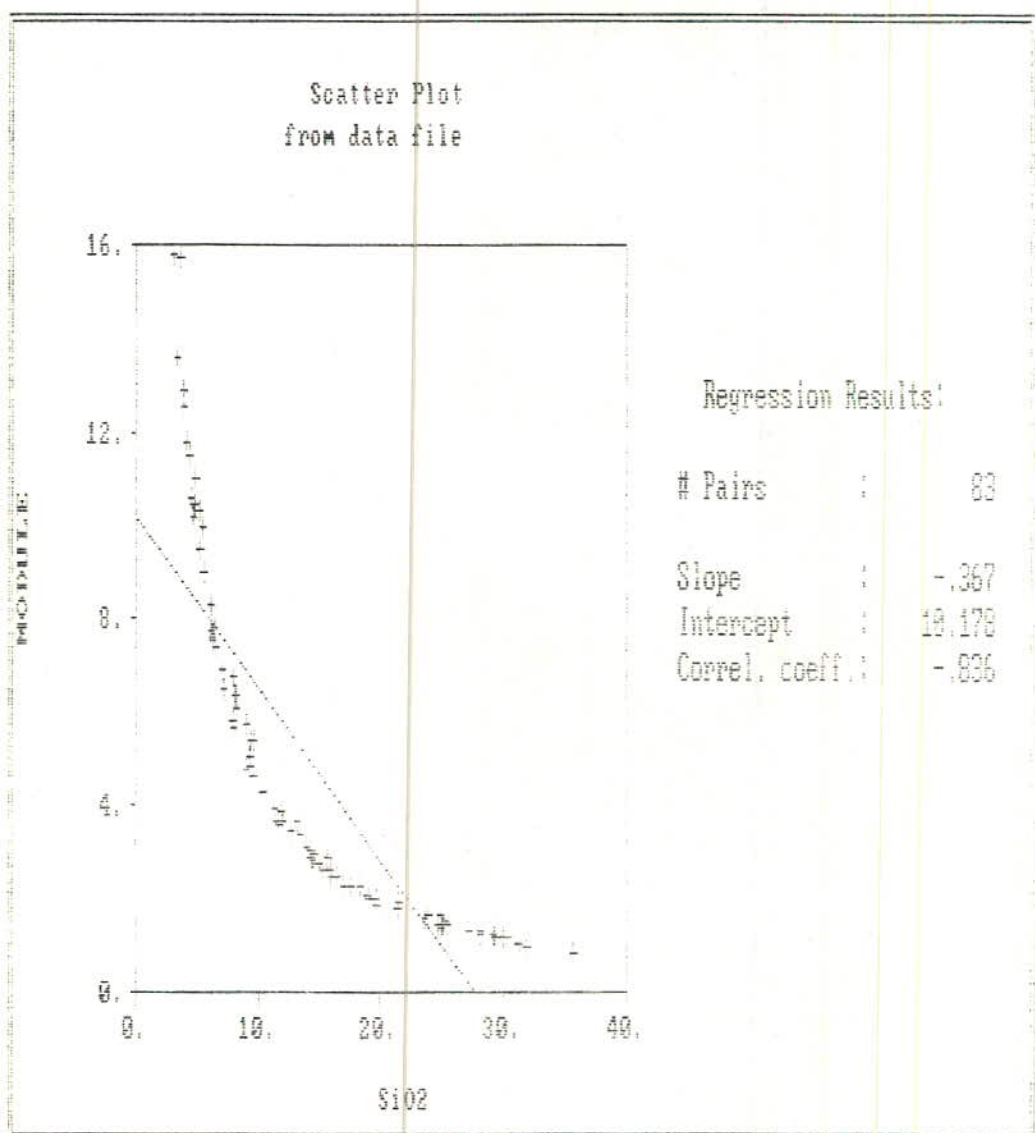
شکل شماره ۶۴-۳ : همبستگی درصد Al2O3 و SiO2 نمونه های بوکسیت  
پلیت ۱ شمال یزد (P11) .



شکل شماره ۶۵-۳ : همبستگی درصد A1203 و MODULE نمونه های بوکسیت  
پلیت ۱ شمال یزد (P11).



شکل شماره ۳-۶۶ : همبستگی درصد SiO<sub>2</sub> و MODULE نمونه های بوکسیت  
پلیت ۱ شمال یزد (P11)



### موقعیت جغرافیایی و راههای دسترسی

راه دسترسی به این بخش از طریق جاده یزد - دشت ده می باشد و این پلیت در سمت شرق پلیت ۱ واقع شده است و در سمت غربی این پلیت تاسیسات شرکت باریت دشت ده و تونل های معدنی آنها وجود دارد .

### مشخصات ماده معدنی

ماده معدنی در این بخش به طول تقریبی یک کیلومتر گسترش داشته و ضخامت آن حدود ۴ متر است که از دو بخش شیلی و سخت تشکیل شده است .

### کارهای اکتشافی انجام شده

کارهای اکتشافی این منطقه نیز شامل تهییه نقشه های زمین شناسی و برداشت نمونه از مقاطع و ترانشه ها است که جمعاً ۱۱۸ نمونه از ۲۳ محل برداشت و آنالیز شده است .

### بررسی کیفی ماده معدنی

نتایج نمونه برداری از مقاطع و ترانشه های این پلیت در جدول شماره ۲۶-۳ آمده است . میانگین عیار A1203 و Si02 به ترتیب ۴۴/۲۸ و ۱۴/۶۶ است که انحراف معیار همین پارامترها بترتیب ۶/۶۲ و ۱۰/۵۴ است که تغییرات آنها نسبتاً "شید" است . مقدار میانگین مدول و ضخامت بترتیب ۳/۰۲ و ۳/۸۳ متر است در شکل شماره ۶۷-۳ تغییرات همین پارامترها نسبت به محل ها دیده می شود که تغییرات نسبتاً "زیادی" در آنها به چشم می خورد .

در جدول شماره ۲۷-۳ و شکل شماره ۶۸-۳ همین اطلاعات بر حسب مدول مرتب شده‌اند که محل‌های Tr21, Tr7, Tr12, Tr19, S20, Tr11, Tr18, Tr1 سیز محل‌ها قادر است خراج آن باشد. در این پلیت با توجه به پایین بودن میانگین کلی، استخراج آن باید به صورت انتخابی صورت‌گیرد، البته سایر پارامترها از جمله افزار و شب لایه‌ها نیز مسئله دار بوده و کار استخراج را مشکل نموده‌اند. شب زیاد و یا برگشته بودن آن در بخشی از منطقه و کم بودن افزار از معایب این بخش است.

#### نتیجه گیری از بررسیهای انجام شده

---

باتوجه به پایین بودن عیار کانسار و نیز زیاد بودن و یا برگشته بودن شب لایه‌ها و نیز کم بودن افزار ماده معدنی فعلاً "کاراکتشافی در آن توجیه پذیر نیست و در همین مرحله متوقف می‌شود.

TABLE 3.26 : Average values of different parameters of sample location (PI2A)

LOCATION	THICKNESS	Al2O3%	SiO2%	MODULE
Tr2	12.00	43.35	29.70	1.46
Tr3	6.60	43.07	15.17	2.84
Tr4	5.20	40.95	18.16	2.25
Tr5	3.20	36.80	26.70	1.38
Tr6	0.40	30.12	35.38	0.85
Tr7	0.20	28.56	38.21	0.75
Tr8	1.80	43.41	12.16	3.57
Tr10	2.00	53.69	4.42	12.15
Tr11	3.20	50.46	6.03	8.37
Tr12	4.00	46.90	8.82	5.32
Tr14	3.20	43.54	12.36	3.52
Tr17	3.10	47.19	9.18	5.14
Tr18	4.90	47.11	5.48	8.60
Tr19	2.00	48.49	7.84	6.18
S20	3.20	35.61	12.63	2.82
S21	4.00	39.42	8.26	4.77
S22	5.00	48.61	6.15	7.90
S23	4.90	47.97	10.37	4.63
Avg	3.83	44.28	14.66	3.02
STDs	2.63	6.82	10.54	3.11

FIGURE 3.67 : Variation of different parameters in terms of sample location (PI2A)

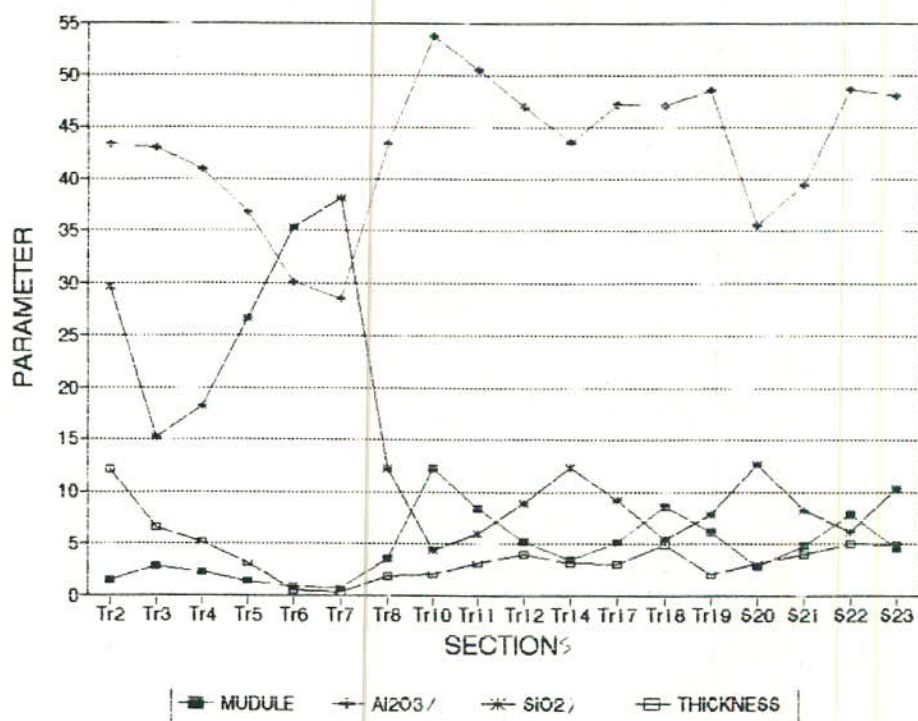
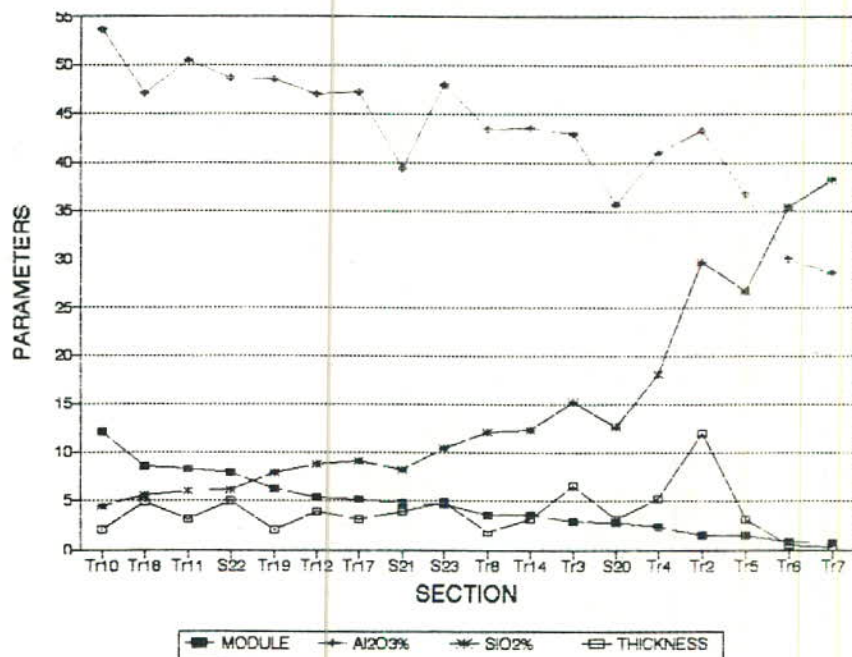


TABLE 3.27 : Average values of different parameters of sample location that are sorted in terms of MODULE (Pi2A)

LOCATION	THICKNESS	Al2O3%	SiO2%	MODULE
Tr10	2.00	53.69	4.42	12.15
Tr18	4.90	47.11	5.48	8.60
Tr11	3.20	50.46	6.03	8.37
S22	5.00	48.61	6.15	7.90
Tr19	2.00	48.49	7.84	6.18
Tr12	4.00	46.90	8.82	5.32
Tr17	3.10	47.19	9.18	5.14
S21	4.00	39.42	8.26	4.77
S23	4.90	47.97	10.37	4.63
Tr8	1.80	43.41	12.16	3.57
Tr14	3.20	43.54	12.36	3.52
Tr3	6.60	43.07	15.17	2.84
S20	3.20	35.61	12.63	2.82
Tr4	5.20	40.95	18.16	2.25
Tr2	12.00	43.35	29.70	1.46
Tr5	3.20	36.80	26.70	1.38
Tr6	0.40	30.12	35.38	0.85
Tr7	0.20	28.56	38.21	0.75
Avg	3.83	44.28	14.66	3.02
STDS	2.63	6.82	10.54	3.11

FIGURE 3.68 : Variation of different parameters in terms of samples location that are sorted in terms of MODULE (Pi2A)



### موقعیت جغرافیایی

این ناحیه شرقی ترین بخش کانسارهای بوكسیت شمال یزد می باشد و بیشترین گسترش طولی نیز متعلق به این ناحیه است و در منطقه ای به طول ۴/۵ کیلومتر رخنمون دارد . راه دسترسی به آن از طریق جاده یزد - دشتده است و در شرق پلیت ۲A واقع شده است .

### وضعیت رخنمون ماده معدنی

ماده معدنی در این پلیت در طول ۴/۵ کیلومتر رخنمون دارد . بخشی از زون ماده معدنی را بوكسیت سخت و بخشی از آن را بوكسیت شیلی و کم عیار تشکیل می دهد ولی بخش سخت آن از سایر مناطق شمال یزد بهتر است . در این ناحیه بخشی از ماده معدنی بصورت ساختمان با شب برگشته می باشد و در سایر بخش ها نیز شب لایه کانسار عمدتاً " زیاد است و افزار کانسار نیز کم بوده و کانسار عمدتاً " در کف و یا کنار آبراهه رخنمون داشته و طرفین مرتفع هستند ، بخش غربی آن که ادامه پلیت ۲A می باشد دارای ساختمان با شب برگشته بوده و رخنمون بوكسیت در ارتفاع واقع شده است . بعد از آن بخشی از کانسار دارای شب عادی ولی زیاد بوده و افزار آن کم می باشد . در بخش بعدی مجدداً " ساختمان با شب برگشته می باشد و در قسمت شرقی شب لایه ها عادی می گردد .

### کارهای اکتشافی انجام شده

در این ناحیه علاوه بر تهییه نقشه های زمین شناسی در مقیاس های مختلف ، از بخش های با شب عادی از ۶۷ مقطع و ترانشه تعداد ۲۰۹ نمونه برداشت و درصد Al2O3 و SiO2 آنها اندازه گیری شده است .

## بررسی کیفی ماده معدنی

---

نتایج آنالیز نمونه برداری از مقاطع و ترانشه های این ناحیه در جدول شماره ۲۸-۳ آمده است . در این جدول مقادیر مدول ، ضخامت و میانگین درصد Al2O3 و SiO2 هر ترانشه آمده است . در جدول شماره ۲۹-۳ اطلاعات فوق بر حسب مدول بصورت نزولی مرتب شده اند . همانطور که مشاهده می شود تعداد ۳۴ مقطع و ترانشه دارای مدول بالاتر از میانگین خوارک کارخانه تولید آلومینا بوده که حدود ۵۰ درصد نمونه ها را تشکیل می دهند . کیفیت ۱۷ محل دیگر بین خوارک کارخانه و عیار حدی می باشند که ۲۵ درصد نمونه ها را تشکیل می دهند . میانگین ۱۶ محل دیگر کمتر از عیار حدی بوده و فاقد ارزش اقتصادی می باشند . بطور کلی میانگین عیار Al2O3 ، ۴۴/۷۵ درصد و انحراف معیار آن ۴/۶۱ بوده و میانگین عیار SiO2 ، ۱۱/۷۴ با انحراف معیار ۵/۵۴ است . میانگین مدول ۴/۸۶ با انحراف معیار ۲/۵۹ بوده و ضخامت متوسط کانسار ۳/۵ متر با انحراف معیار ۲/۱۷ است .

## نتیجه گیری از بررسی داده های مقدماتی

---

همانطور که گفته شد کانسار دارای شبکه زیاد بوده و یالایه ها برگشته می باشند و افزایش نیز مناسب نبوده و کانسار از نظر روباز فاقد ارزش کمی می باشد و کارهای اکتشاف سطحی در آن کافی بنظر می رسد و کار اکتشاف عمیقی ، باتوجه به شرایط فوق الذکر توجیه پذیر نیست ، ولی با عنایت به کیفیت مناسب بوکسیت در بخشی از منطقه رخنمونهای سطحی می توانند تا عمق چند متر به صورت روباز استخراج شوند .

TABLE 3.28 Average values of different parameters of sample location (Pl2B)

LOCATION	THICKNESS	Al2O3%	SiO2%	MODULE
Tr1	8.00	37.77	23.34	1.62
Se2	11.60	47.77	7.57	6.31
Tr3	4.80	39.70	16.79	2.36
Tr4	3.00	38.43	16.30	2.36
Tr4-1	3.00	45.89	10.55	4.35
Tr4-2	3.00	47.48	9.72	4.88
Se5	3.50	48.29	8.47	5.70
Tr6	5.00	49.14	10.08	4.88
Se7	3.80	49.24	8.93	5.51
Se8	6.20	47.86	8.55	5.60
Se9	5.50	41.83	10.37	4.03
Tr10	5.60	45.80	9.00	5.09
Tr11	4.60	47.34	8.70	5.44
Tr12	3.00	42.19	17.13	2.46
Tr13	2.00	43.11	18.40	2.34
Se14	5.00	45.27	9.69	4.67
Tr15	4.75	50.91	5.10	9.96
Se16	3.50	44.53	11.63	3.83
Se17	2.60	44.24	12.06	3.67
Tr18	2.50	49.52	7.33	6.76
Se19	1.20	54.87	5.21	10.53
Se20	1.40	48.21	7.11	6.78
Se21	11.60	44.69	12.52	3.57
Tr22	2.70	36.47	25.31	1.44
Se23	6.00	37.95	23.78	1.60
Se24	3.00	37.47	23.85	1.57
Se25	3.80	36.41	24.69	1.47
Se26	1.80	42.17	16.36	2.58
Se27	4.00	37.85	18.66	2.03
Se27-1	7.40	53.39	8.55	6.24
Se28	2.00	45.50	13.35	3.41
Se29	1.80	47.59	7.06	6.74
Se30	3.80	50.14	4.88	10.27
SE31	4.60	48.76	7.37	6.62
Tr32	0.90	35.92	25.28	1.42
Se33	2.80	46.13	7.88	5.85
Se34	4.00	46.66	7.20	6.48
Se35	2.00	42.95	12.74	3.37
Tr36	4.60	37.01	17.45	2.12
Se37	3.80	44.28	9.65	4.59
Se38	2.80	46.09	9.44	4.88
Tr39	3.60	35.91	22.35	1.61
Se40	2.00	44.81	11.26	3.98
S41	8.00	43.96	10.65	4.13
S42	4.20	42.04	12.01	3.50
S43	3.40	41.66	12.30	3.39
S44	1.80	50.51	4.27	11.83
Tr4	4.40	49.30	6.42	7.68
S46	2.40	50.53	6.53	7.74
OP47	1.50	51.06	6.30	8.10
OP48	1.50	44.06	12.01	3.67
OP49	2.00	50.41	6.81	7.40
OP50	1.50	53.17	4.16	12.78
OP51	2.00	46.34	9.55	4.85
OP52	2.80	48.56	7.62	6.37
Tr53	2.50	43.98	9.41	4.67
Se54	4.00	49.91	8.28	6.03
Se55	4.40	44.56	7.70	5.79
Se56	1.20	43.99	10.16	4.33
Se57	0.50	46.42	8.95	5.19
Se58	2.40	43.45	4.43	9.81
Se59	0.80	39.81	12.50	3.18
Se60	3.40	40.69	16.98	2.40
Se61	2.00	40.20	14.35	2.80
Se62	2.50	41.34	13.18	3.14
Se63	1.20	41.07	16.71	2.46
Se64	1.80	43.93	13.60	3.23
AVG	3.50	44.75	11.74	4.86
STD	2.17	4.61	5.54	2.59

TABLE 3.29 : Average values of different parameters of sample location  
that are sorted in terms of *module* (PI2B)

LOCATION	THICKNESS	Al2O3%	SiO2%	MODULE
OP50	1.50	53.17	4.16	12.78
S44	1.80	50.51	4.27	11.83
Se19	1.20	54.87	5.21	10.53
Se30	3.80	50.14	4.88	10.27
Tr15	4.75	50.91	5.10	9.98
Se58	2.40	43.45	4.43	9.81
OP47	1.50	51.06	6.30	8.10
S46	2.40	50.53	6.53	7.74
Tr4	4.40	49.30	6.42	7.68
OP40	2.00	50.41	6.81	7.40
Se20	1.10	48.21	7.11	6.78
Tr18	2.50	49.52	7.33	6.76
Se29	1.80	47.59	7.06	6.74
SF31	4.80	48.76	7.37	6.62
Se34	4.00	48.08	7.20	6.48
OP52	2.80	48.56	7.62	6.37
Se2	11.60	47.77	7.57	6.31
Se27-1	7.40	53.39	8.55	6.24
Se54	4.00	49.91	8.28	6.03
Se33	2.00	46.13	7.80	5.85
Se55	4.40	44.56	7.70	5.79
Sc5	3.50	48.20	8.47	5.70
Sc8	6.20	47.86	8.55	5.60
Se7	3.80	49.21	8.93	5.51
Tr11	4.60	47.34	8.70	5.44
Se57	0.50	46.42	8.95	5.19
Tr10	5.60	45.80	9.00	5.09
Ir4-2	3.00	47.48	9.72	4.88
Se38	2.80	48.09	9.44	4.88
Tr6	5.00	49.14	10.08	4.86
OP51	2.00	46.34	9.55	4.85
Tr53	2.50	43.98	9.41	4.67
Se14	5.00	45.27	9.69	4.67
Se37	3.80	44.28	9.05	4.59
Tr4-1	3.00	45.09	10.55	4.35
Se56	1.20	43.99	10.16	4.33
S41	8.00	43.96	10.65	4.13
Se9	5.50	41.83	10.37	4.03
Se40	2.00	44.81	11.26	3.98
Se16	3.50	44.53	11.63	3.83
OP48	1.50	44.06	12.01	3.67
Se17	2.60	44.24	12.06	3.67
Se21	11.60	44.69	12.52	3.57
S42	4.20	42.04	12.01	3.50
Se28	2.00	45.50	13.35	3.41
S43	3.40	41.06	12.30	3.39
Se35	2.00	42.95	12.74	3.37
Se64	1.80	43.93	13.80	3.23
Sc50	0.80	30.81	12.50	3.18
Sc62	2.50	41.34	13.18	3.14
Se61	2.00	40.20	14.35	2.80
Se26	1.80	42.17	16.36	2.58
Tr12	3.00	42.19	17.13	2.46
Se63	1.20	41.07	16.71	2.46
Se60	3.40	40.69	16.98	2.40
Tr3	4.80	39.70	16.79	2.36
Tr4	3.00	38.43	16.30	2.36
Tr13	2.00	43.11	18.40	2.34
Tr36	4.60	37.01	17.45	2.12
Se27	4.00	37.85	18.66	2.03
Tr1	8.00	37.77	23.34	1.02
Tr39	3.60	35.91	22.35	1.81
Se23	6.00	37.95	23.78	1.60
Sc24	3.00	37.47	23.85	1.57
Se25	3.80	36.11	24.69	1.47
Tr22	2.70	36.47	25.31	1.44
Ir32	0.90	35.92	25.28	1.42
AVG	3.50	44.75	11.74	4.86
STD	2.17	4.61	5.54	2.59

FIGURE 3.69 : Variation of different parameters in terms of sample location (PI2B)

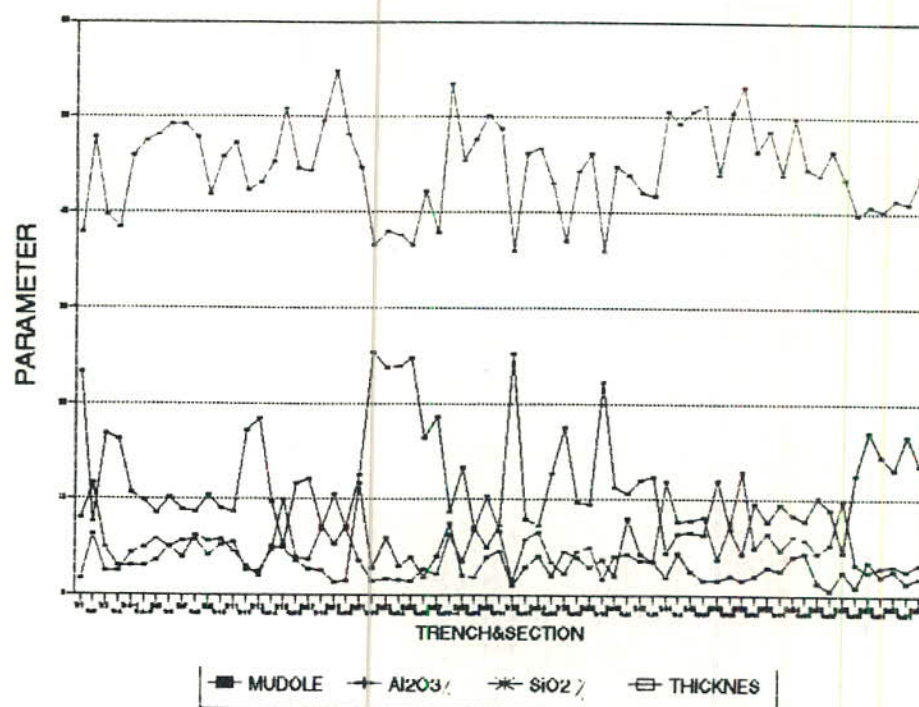
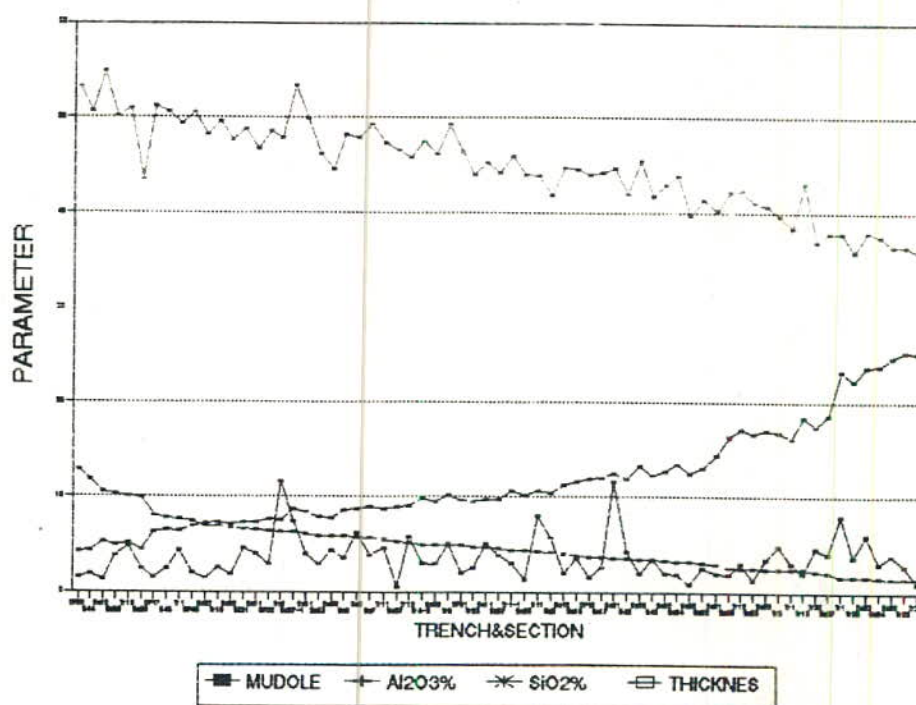


FIGURE 3.70 : Variation of different parameters of sample location that are sorted in terms of MODULE (PI2B)



### موقعیت جغرافیایی و راه دسترسی

راه دسترسی به این منطقه از طریق جاده یزد - خرانق می باشد که آسفالته بوده و در این جاده از دو طریق می توان به رخنمونهای ماده معنی این محل دسترسی پیدا نمود. یکی از طریق یک جاده خاکی به سمت زیارتگاه چک چک است که در فاصله ۲۵ کیلومتری خرانق منشعب می شود که در نزدیکی ماده معنی جاده وجود ندارد و از طریق آبراهه ها می توان به نزدیکی رخنمون رسید و راه دیگر آن در حدود ۱۵ کیلومتری خرانق یک جاده خاکی به سمت بخش شمالی رخنمونها منشعب می شود.

### بررسی رخنمونهای ماده معنی

ماده معنی در این منطقه در راس رسوبات کربناته دوره پرمین قرار داشته و رسوبات کمر بالای ماده معنی را رسوبات آواری دوره ژوراسیک تشکیل می دهند. ضخامت ماده معنی از ۱ تا ۱۱ متر متغیر است و در بخش تحتانی آن بوکسیت شیلی قرار دارد. ماده معنی در قسمت جنوبی فاقد افراز بوده و در کف آبراهه رخنمون دارد و در بخش شمالی قدری افراز پیدا نموده و حداقل به ۸۰ متر می رسد.

### کارهای اکتشافی انجام شده

کارهای اکتشافی این ناحیه شامل تهیه نقشه های زمین شناسی و برداشت و آنالیز ۲۴۴ نمونه از ۳۱ مقطع و ترانشه می باشد. فاصله مقاطع و ترانشه ها حدود ۲۰ تا ۳۰ متر است.

## بررسی کیفی ماده معدنی

در جدول شماره ۳۰-۳ میانگین درصد Al203 و SiO<sub>2</sub> برای ۳۱ محل همراه با مدول و ضخامت بوكسیت برای این محل ها آورده شده است. میانگین Al203 برای کل این منطقه ۴۰/۹۲ و میانگین سیلیس ۹/۹۱ درصد است. مدول متوسط این ناحیه ۴/۶۳ و ضخامت متوسط ۳ متر است. در شکل شماره ۷۱-۳ میانگین پارامترهای مختلف نسبت به محل ها آورده شده است. در جدول شماره ۳۱-۳ و شکل شماره ۷۲-۳ اطلاعات فوق بر حسب مدل مرتب شده اند.

همانطور که مشاهده می شود ۲۳ محل دارای عیار بالاتر از عیار خوراک کارخانه آلمینیا جا جرم می باشد که ۲۴ درصد نمونه ها را تشکیل می دهند. ۲ محل دیگر با وجود پایین تر بودن عیارشان از میانگین خوراک کارخانه ولی از عیار حدی بالاتر هستند که ۲۳ درصد نمونه ها را شامل می شوند.

یک مقطع نیز عیار کمتر از عیار حدی داشته و غیر اقتصادی است. میانگین کلی کانسار نیز برای مدول و سیلیس قابل قبول بوده و بالای میانگین خوراک کارخانه است ولی عیار Al203 قدری پایین تر است.

## نتیجه گیری

بررسیهای انجام شده نشان می دهد که این کانسار از نظر کیفیت مشکلی ندارد و با حذف تعدادی از محل ها سایر بخشها قابل قبول و مطلوب است ولی مشکلی که وجود دارد استخراج کانسار است که به علت نداشتن افزای برای استخراج رو باز مناسب نیست و این از معایب کانسار است و استخراج آن عمدها "باید زیرزمینی بوده و هزینه برخواهد بود به همین علت فعلاً" این کانسار جهت ادامه اکتشاف در نظر گرفته نمی شود و در همین مرحله متوقف می گردد.

TABLE 3.30 : Average values of various parameters of sample location (CHAK CHAK)

LOCATION	THICKNESS	Al2O3%	SiO2%	MODULE
S1	2.30	47.06	7.17	6.56
S2	2.20	52.03	9.17	5.67
S3	2.00	46.06	7.12	6.47
S4	4.40	45.55	8.53	5.46
S5	1.50	46.58	8.86	5.26
S6	2.80	46.76	7.66	6.10
S7	3.00	47.35	6.60	7.17
S8	3.40	49.15	9.23	5.32
S9	1.80	46.01	8.90	5.17
S10	5.00	45.30	9.77	4.64
Tr11	8.80	46.06	7.05	6.53
S12	4.00	40.31	18.07	2.23
S13	5.00	43.44	9.79	4.44
S14	5.00	44.94	11.77	3.82
S15	2.00	44.53	6.68	6.67
S16	2.00	43.19	9.13	4.73
S17	1.60	58.24	5.13	11.35
Tr18	1.00	57.40	6.93	8.28
OP19	1.50	59.04	4.84	12.20
S20	2.00	50.15	6.69	7.49
S21	1.60	48.52	4.78	10.15
S22	1.40	53.22	7.24	7.35
S23	2.00	48.85	10.65	4.59
S24	4.00	41.59	11.28	3.69
S25	2.40	61.62	9.50	6.49
S26	2.40	55.81	6.47	8.63
S27	5.00	54.07	7.19	7.52
S28	11.00	43.55	16.15	2.70
S29	1.00	42.92	15.90	2.70
S30	1.00	45.69	16.09	2.72
S31	1.20	45.09	14.43	3.12
AVG	3.04	45.92	9.91	4.63
STD	2.22	5.41	3.46	2.42
VAR	4.91	29.32	11.97	5.83

TABLE 3.31 : Average values of various parameters of sample location  
that are sorted in terms of MODULE (CHAK CHAK)

LOCATION	THICKNESS	Al2O3%	SiO2%	MODULE
OP19	1.50	59.04	4.84	12.20
S17	1.60	58.24	5.13	11.35
S21	1.60	48.52	4.78	10.15
S26	2.40	55.81	6.47	8.63
Tr18	1.00	57.40	6.93	8.28
S27	5.00	54.07	7.19	7.52
S20	2.00	50.13	6.69	7.19
S22	1.40	53.22	7.24	7.35
S7	3.00	47.35	6.60	7.17
S15	2.00	44.53	6.68	6.67
S1	2.30	47.06	7.17	6.56
Tr11	8.80	46.06	7.05	6.53
S25	2.40	61.62	9.50	5.49
S3	2.00	46.06	7.12	6.47
S6	2.80	46.76	7.66	6.10
S2	2.20	52.03	9.17	5.67
S4	4.40	46.55	8.53	5.45
S8	3.40	49.15	9.23	5.32
S5	1.50	46.58	8.86	5.26
S9	1.80	46.01	8.90	5.17
S16	2.00	43.19	9.13	4.73
S10	5.00	45.30	9.77	4.64
S23	2.00	48.85	10.65	4.59
S13	5.00	43.44	9.79	4.44
S14	5.00	44.94	11.77	3.82
S24	4.00	41.59	11.28	3.69
S31	1.20	45.09	14.45	3.12
S30	1.00	43.69	16.09	2.72
S29	1.00	42.92	15.90	2.70
S28	11.00	43.55	16.15	2.70
S12	4.00	40.31	18.07	2.23
AVG	3.04	45.92	9.91	4.63
STD	2.22	5.41	3.46	2.42

FIGURE 3.70 : Variation of various parameters of sample location in terms of sample location (CHAK CHAK AREA)

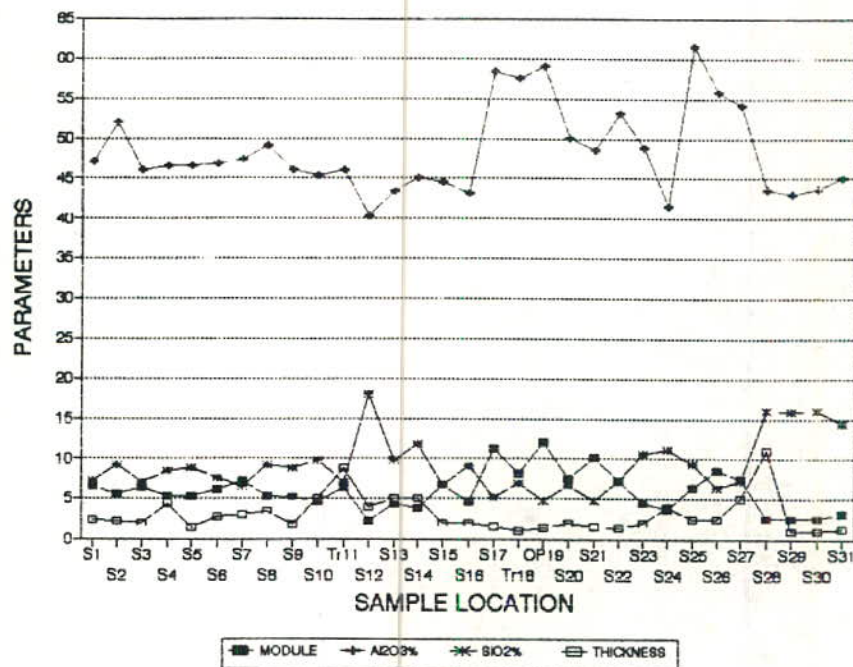
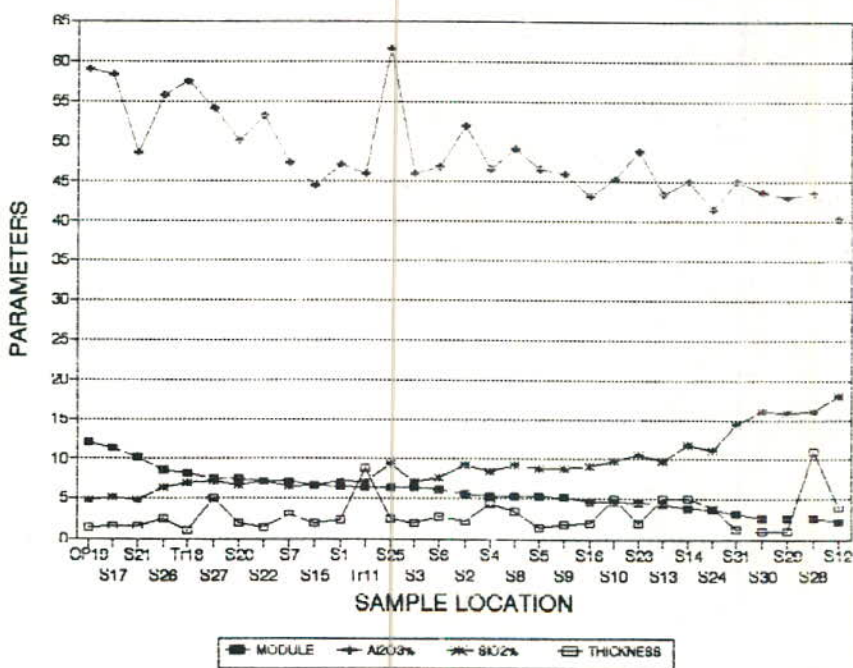


FIGURE 3.71 : Variation of various parameters of sample location in terms of sample location that are sorted in terms of MODULE (CHAK CHAK AREA)



### ۳- نتایج تجزیه و تحلیل های مناطق مختلف

بررسی کمی ، کیفی ، معدنکاری و موقعیت کانسارهای بوکسیت شمال و غرب یزد نشان داد که کانسارهای منطقه شمال یزد بدلیل نامناسب بودن کیفیت و یا سایر عوامل از جمله مشکلات استخراج ، بدلیل نداشتن افزای کافی و شبیه زیاد لایه ها جهت ادامه کار اکتشاف مناسب نیستند و اکتشاف نیمه تفصیلی آنها فعلاً "توجیهی پذیر نمی باشد .

بررسی کانسارهای غرب یزد نیز نشان داد که از این کانسارها مناطق صدرآباد و گدارزرد جهت ادامه کار اکتشاف مناسب می باشند و در این دو منطقه عملیات اکتشاف نیمه تفصیلی توجیهی پذیر می باشد .

در جدول شماره ۲۲-۳ و شکل شماره ۲۲-۳ خلاصه مشخصات کانسارهای شمال یزد مشاهده می شود . همچنین در شکل شماره ۳۳-۳ و جدول شماره ۷۳-۳ خلاصه مشخصات کانسارهای غرب یزد دیده می شود .

TABLE 3.32 : Average values of various parameters in North of YAZD Bauxite deposit s

AREA	Al2O3%	SiO2%	MODULE	THICKNESS	SAMPLE LOCATION
PI.4	43.79	10.62	4.12	2.75	19
PI.3	37.56	20.01	1.88	2.53	12
PI.1	42.6	14.46	2.95	4.71	14
PI.2A	44.28	14.66	3.02	3.84	18
PI.2B	44.75	11.74	3.81	3.5	65
CH.CH	45.92	9.91	4.63	3.05	31
AVERAGE	43.15	13.57	3.40	3.40	

FIGURE 3.72 : Variation of various parameter in NORTH of YAZD Bauxite deposit s

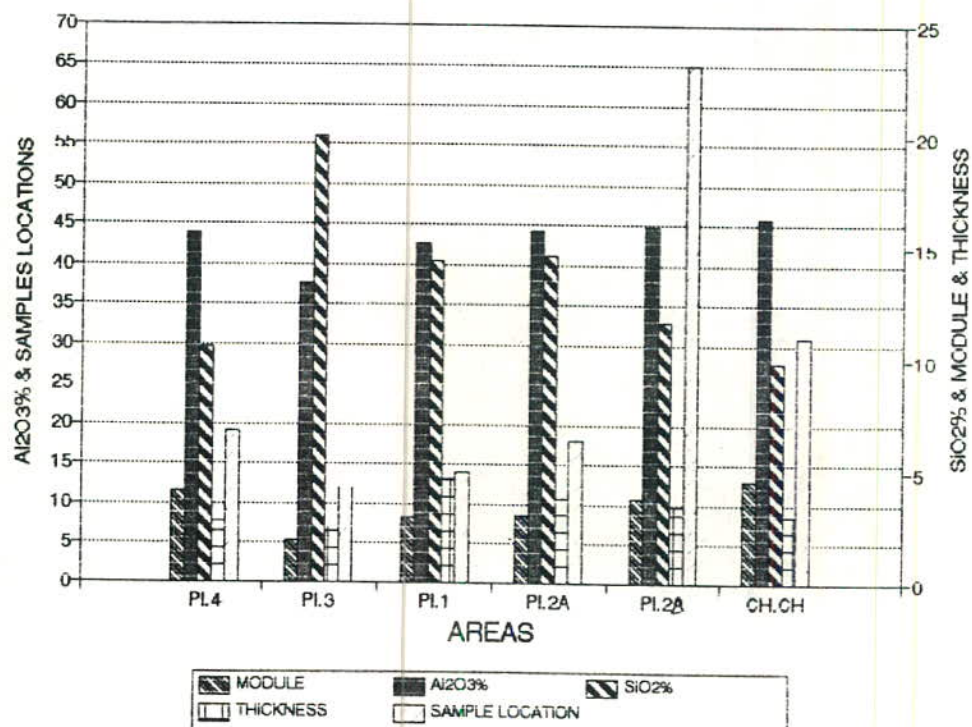
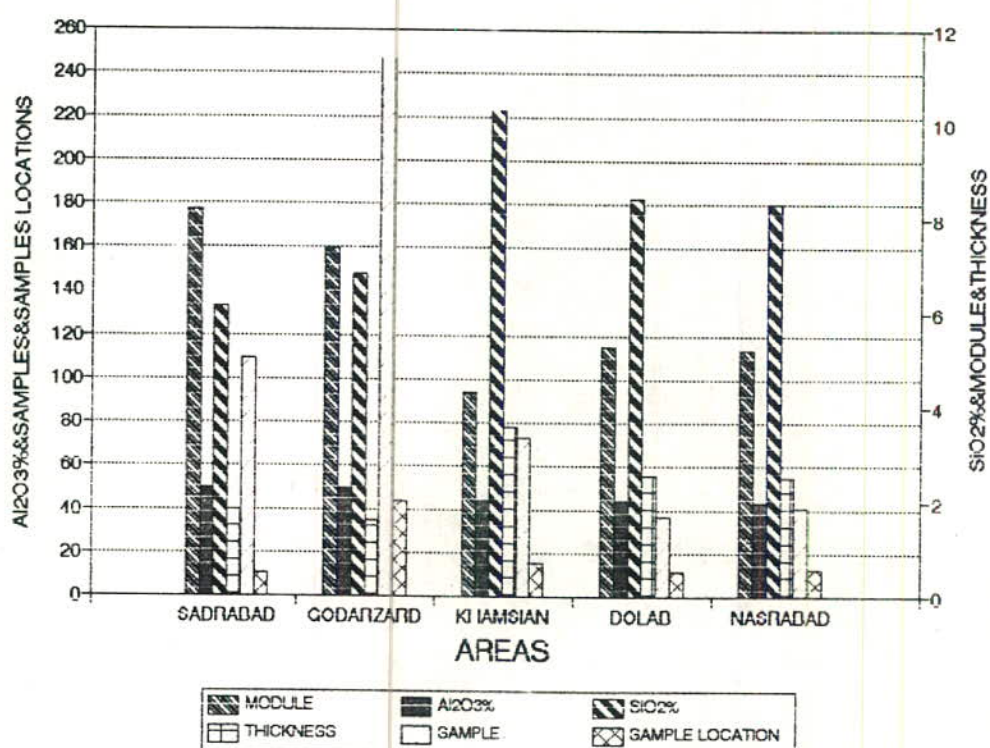


TABLE 3.33 : Average values of various parameters in WEST of YAZD Bauxite deposit s

AREA	Al2O3%	SiO2%	MODULE	THICKNESS	SAMPLES	SAMPLE LOCATION
SADRABAD	50.07	6.13	8.17	1.85	109	11
GODARZARD	50.36	6.84	7.36	1.61	247	44
KHAMSIAN	44.78	10.31	4.34	3.61	73	16
DOLAB	44.8	8.43	5.31	2.57	37	12
NASRABAD	43.36	8.3	5.22	2.52	41	13
AVERAGE	46.67	8.00	6.08	2.43	101.40	19.20

FIGURE 3.72 : Variation of various parameters in NORTH of YAZD Bauxite deposit .s



فصل چهارم :

کاربرد نتایج در طراحی اکتشاف نیمه تفصیلی

## ۱- مقدمه

نتایج تجزیه و تحلیل داده های اکتشافی قبلی که در فصل سوم بررسی شد نشان داد که از کانسارهای شمال و غرب یزد، فعلا در مناطق صدرآباد و گدار زرد عملیات اکتشاف نیمه تفصیلی قابل توجیه است. منطقه صدرآباد بعلت کیفیت مناسب ماده معدنی و سایر مزايا که در فصل سوم بر شمرده شد. جهت کار اکتشاف نیمه تفضیلی مناسبترین منطقه در یزد شناخته شد.

چیزی که در این منطقه مبهم و ناشناخته بود کمیت ماده معدنی در این محل و نیز پیوستگی و یا عدم پیوستگی آن در زیرزمین است. رخنمونهای کانسار بطور پراکنده و ناپیوسته بوده و این شک وجود داشت که ممکن است کانسار در عمق نیز بصورت لنزهای پراکنده و جدا از هم باشد. از طرفی بعلت محدود بودن رخنمونهای بوکسیت امکان بررسی بیشتر با نمونه برداری سطحی جهت تبیین پارامترهای مختلف کانسار نظریه کیفیت و کمیت آن وجود نداشت و تنها راه رسیدن به این هدف حفاری بود.

## ۲- منطقه صدرآباد

۱-۲ برآورد تعداد نقاط لازم جهت نمونه گیری ( حفاری )

جهت طراحی شبکه نمونه برداری خواه نمونه برداری سطحی از رخنمونها و ترانشه ها خواه توسط حفاری با چاهک یا حفاری با دستگاه حفاری که همگی وسیله نمونه برداری می باشند، بررسی و تحلیل نمونه برداری قبلی در صورت وجود امری ضروری می باشد. اگریک مرحله نمونه برداری از یک کانسار انجام شده باشد خواه صحیح یا غلط در طراحی شبکه بعدی مفید می باشد و با استفاده از نتایج آنها می توان تعداد نمونه های لازم را برای یک کانسار با دقت ها و سطح اعتمادهای مختلف برآورد نمود.

در کانسار بوكسيت صدر آباد همانطور که در بخش های گذشته آمده است تعداد ۱۰۹ نمونه از ۱۵ محل ( مقطع یا تراشه ) برداشت و آنالیز شده است و برای آنها اکسیدهای آلومینیم و سیلیس اندازه کیری شده ، همچنین اکسیدهای آهن نیز در ۲۰ نمونه اندازه کیری شده است . پارامتر مدول نیز با داشتن آلومینا و سیلیس برای هر نمونه معلوم خواهد بود ضخامت کانسار نیز برای ۱۰ نقطه معلوم می باشد . با استفاده از این اطلاعات که در فصل گذشته نیز تجزیه و تحلیل شدند می توانیم تعداد نمونه های لازم را برآورد کنیم .

می دانیم که مهمترین پارامتر تعیین کننده و تعداد نمونه لازم برای هر کانسار یا محموله معدنی و کلا " هر جامعه آماری واریانس آن پارامتر است یعنی هر چه واریانس یک جامعه بیشتر باشد تعداد اندازه کیریهای لازم برای یک سطح اعتماد معین بیشتر خواهد بود و با کاهش واریانس تعداد نمونه لازم نیز کاهش می یابد بطوریکه اگر واریانس یک جامعه صفر باشد یک نمونه جهت اندازه کیری کافی می باشد و سایر پارامترها انحراف معیار ، حدود اطمینان و ضریب تغییرات می باشند که همگی به نحوی با واریانس جامعه در ارتباط می باشند .

ملک های تخمین تعداد نمونه لازم عبارتند از :

۱- رسیدن به انحراف معیار مجاز معین ;

۲- رسیدن به حدود اطمینان ( دقت ) مجاز معین ;

۳- رسیدن به ضریب تغییرات مجاز معین .

در حالت اول انحراف معیار معمولاً " مطابق با خطاهای نمونه برداری بطور دلخواه انتخاب می شود و تعداد نمونه از رابطه زیر بدست می آید .

$$N = \frac{S^2(x)}{S^2(x)} = \frac{\text{Var}(x)}{\text{Var}(x)}$$

حالت دوم : دقت (CI) نیز بر حسب شرایط به طور دلخواه انتخاب می شود و می تواند متناسب با خطای نمونه برداری باشد . پارامترهایی که در این

حالت باید مشخص باشند عبارتند از :

۱- میانگین  $\bar{X}$  (که می تواند میانگین بدست آمده در مرحله نمونه برداری مقدماتی باشد ) .

۲- انحراف معیار  $S$  که برای آن یک مرحله نمونه برداری مقدماتی لازم است .

۳-  $N$  فضای نمونه برداری یا تعداد عضوهای جامعه نمونه برداری .

۴- سطح اعتماد محاسبات که مقدار عددی  $Z$  معرف آن است و برای سطح اعتمادهای مختلف مشخص است .

در جدول زیر  $Z$  های معادل چند سطح اعتماد آمده است .

۱/۲۸	۱/۶۴	۱/۹۶	۲/۵۸	۳/۲۹	$Z$
%۸۰	%۹۰	%۹۵	%۹۹	%۹۹/۹	سطح اعتماد

در کارهای مهندسی معمولاً "سطح اعتماد %۹۵ بکار می رود .

۵- خطای مجاز  $E$  که بسته به شرایط و حساسیت مرحله عملیات نمونه بردار بطور دلخواه تعیین می شود .

با تعاریف فوق تعداد نمونه های لازم برای رسیدن به حدود اطمینان

معین (CI) از رابطه زیر بدست می آید .

$$n = \frac{Z^2 \left( \frac{S^2}{X^2} \right)}{E^2 + \frac{Z^2}{N} * \frac{S^2}{X^2}}$$

در مواردی که جامعه نمونه برداری بزرگ باشد ( $N$ ) رابطه فوق بمورت زیر خلاصه می شود :

$$n = \frac{Z^2 \left( \frac{S^2}{X^2} \right)}{E^2}$$

برای محاسبه  $S$  علاوه بر فرمولهای انحراف معيار در صورتی که تعداد نمونه های مرحله مقدماتی که بصورت حدسی برداشت می شود کم باشد از رابط زیر نیز می توان استفاده کرد :

$$S = \frac{R}{4}$$

که در آن :

$$R = \text{دامنه تغییرات} = \text{حداقل} - \text{حداکثر}$$

$$S = \text{انحراف معيار}$$

حالت سوم :  $CV$  معین

مزیت این پارامتر آن است که می توان تغییر پذیری جوامع آماری مختلف را با هم مقایسه کرد . اگر بخواهیم میانگین اندازه گیریهای یک کمیت دارای ضریب تغییرات دلخواه معین باشد باید  $N$  نمونه از آن برداشت شود بطوری که داشته باشیم :

$$CV(x) = \frac{\frac{Sx}{n}}{\bar{x}} = \frac{Sx}{\bar{x}} = \frac{Sx}{Mx^2}$$

و برای جوامع آماری بزرگ داریم :

$$N = \frac{S^2(x)}{CV^2(x) \cdot \bar{x}^2}$$

برای طراحی و تخمین تعداد نمونه های لازم کانسال برآورد صدرآباد روش دوم یعنی رسیدن به دقت معین (CI) انتخاب و برآسas آن تعداد نمونه ها به شرح جداول ۱-۴ تا ۸-۴ برآورد گردید .

همانطور که قبلاً گفته شد از این کانسال از ۱۰ محل تعداد ۱۰۹ نمونه برداشت و آنالیز شد . و در اینجا هم برای تعداد محل ها و هم برای کل نمونه ها میانگین و انحراف معيار هر پارامتر اندازه گیری شد و

سپس از رابطه  $\frac{Z^2 \times S^2}{E^2} = N$  تعداد نمونه برای دقت های مختلف برآورد شد .

Table 4.1 : (E=5%AVG)

	Al <sub>2</sub> O <sub>3</sub> %	SiO <sub>2</sub> %	MODULE	THICKNESS
AVG	50.07	6.13	8.17	1.85
STD <sub>S</sub>	4.19	2.3	3.85	1.26
S.N	11	11	11	11
S.N.N	11	216	341	713
CI FOR N=11	2.48	1.36	2.28	0.74
CI FOR N=216	0.56	0.31	0.51	0.17
CI FOR N=341	0.44	0.24	0.41	0.13
CI FOR N=713	0.31	0.17	0.28	0.09

Table 4.2 : (E=10%AVG)

	Al <sub>2</sub> O <sub>3</sub> %	SiO <sub>2</sub> %	MODULE	THICKNESS
AVG	50.07	6.13	8.17	1.85
STD <sub>S</sub>	4.19	2.3	3.85	1.26
S.N	11	11	11	11
S.N.N	3	54	85	178
CI FOR N=3	4.71	2.60	4.36	1.43
CI FOR N=54	1.12	0.61	1.03	0.34
CI FOR N=85	0.89	0.49	0.82	0.27
CI FOR N=178	0.62	0.34	0.57	0.19

Table 4.3 : (E=15%AVG)

	Al <sub>2</sub> O <sub>3</sub> %	SiO <sub>2</sub> %	MODULE	THICKNESS
AVG	50.07	6.13	8.17	1.85
STD <sub>S</sub>	4.19	2.3	3.85	1.26
S.N	11	11	11	11
S.N.N	1	24	38	79
CI FOR N=1	8.21	4.51	7.55	2.47
CI FOR N=24	1.68	0.92	1.54	0.50
CI FOR N=38	1.33	0.73	1.22	0.40
CI FOR N=79	0.92	0.51	0.85	0.28

Table 4.4 : (E=20%AVG)

	Al <sub>2</sub> O <sub>3</sub> %	SiO <sub>2</sub> %	MODULE	THICKNESS
AVG	50.07	6.13	8.17	1.85
STD <sub>S</sub>	4.19	2.3	3.85	1.26
S.N	11	11	11	11
S.N.N	1	14	21	45
CI FOR N=1	8.21	4.51	7.55	2.47
CI FOR N=14	2.19	1.20	2.02	0.66
CI FOR N=21	1.79	0.98	1.65	0.54
CI FOR N=45	1.22	0.67	1.12	0.37

Table 4.5 : (E=5%AVG)

	Al <sub>2</sub> O <sub>3</sub> %	SiO <sub>2</sub> %	Fe <sub>2</sub> O <sub>3</sub> %	MODULE
AVG	48.91	7.31	20.24	6.69
STD	3.18	3.01	4.73	4.00
S.N	109	109	20	109
S.N.N	6	260	64	548
CI FOR N=6	2.54	2.41	3.78	3.20
CI FOR N=260	0.39	0.37	0.57	0.49
CI FOR N=84	0.68	0.64	1.01	0.85
CI FOR N=548	0.27	0.25	0.40	0.33

Table 4.6 : (E=10%AVG)

	Al <sub>2</sub> O <sub>3</sub> %	SiO <sub>2</sub> %	Fe <sub>2</sub> O <sub>3</sub> %	MODULE
AVG	48.91	7.31	20.24	6.69
STD	3.18	3.01	4.73	4.00
S.N	109	109	20	109
S.N.N	2	85	21	137
CI FOR N=2	4.41	4.17	6.55	5.54
CI FOR N=65	0.77	0.73	1.15	0.97
CI FOR N=21	1.36	1.29	2.02	1.71
CI FOR N=137	0.53	0.50	0.79	0.67

Table 4.7 : (E=15%AVG)

	Al <sub>2</sub> O <sub>3</sub> %	SiO <sub>2</sub> %	Fe <sub>2</sub> O <sub>3</sub> %	MODULE
AVG	48.91	7.31	20.24	6.69
STD	3.18	3.01	4.73	4.00
S.N	109	109	20	109
S.N.N	1	29	9	61
CI FOR N=1	6.23	5.89	9.27	7.83
CI FOR N=29	1.16	1.09	1.72	1.45
CI FOR N=9	2.08	1.96	3.09	2.61
CI FOR N=61	0.80	0.75	1.19	1.00

Table 4.8 : (E=20%AVG)

	Al <sub>2</sub> O <sub>3</sub> %	SiO <sub>2</sub> %	Fe <sub>2</sub> O <sub>3</sub> %	MODULE
AVG	48.91	7.31	20.24	6.69
STD	3.18	3.01	4.73	4.00
S.N	109	109	20	109
S.N.N	1	10	5	34
CI FOR N=1	6.23	5.89	9.27	7.83
CI FOR N=16	1.56	1.47	2.32	1.96
CI FOR N=5	2.79	2.63	4.14	3.50
CI FOR N=38	1.07	1.01	1.59	1.34

در این محاسبات سطح اعتماد ۹۵٪ در نظر گرفته شد که متعادل آن برابر ۱/۹۶ می‌باشد . دقت نیز حداقل ۲۰ درصد و حداکثر ۵ درصد مقدار میانگین در نظر گرفته شد و برای دقت‌های ۱۵٪ ، ۱۰٪ و ۲۰٪ و برای دو حالت محل‌ها و نمونه‌ها محاسبه گردید .

۱- برآورد براساس میانگین محل‌ها (ترانشه‌ها و مقاطع) میانگین و انحراف معیار پارامترهای مختلف کانسار صدرآباد در جدول شماره ۳-۳ آمده است که می‌توان از این اطلاعات برای متغیرهای آلومینا، سیلیس، مدول و ضخامت تعداد نمونه‌های لازم را برآورد نمود . با استفاده از این اطلاعات جداول ۱-۴ تا ۴-۴ با عوض کردن دقت مقدار میانگین تهیه و محاسبه شده‌اند .

در این جداول در ردیف ۱- AVG میانگین هر پارامتر ردیف ۲- STDS انحراف معیار نمونه ردیف ۳- S.N تعداد نمونه‌های موجود ردیف ۴- S.N.N تعداد نمونه‌های لازم بادقت معین در بالای جدول

ردیف‌های ۵ تا ۸- (CI=A) دقت متغیرها براساس نمونه‌های بدست آمده از هر متغیر

۲- برآورد براساس میانگین نمونه‌ها همانطور که قبلاً ذکر شد از منطقه صدرآباد ۱۰۹ نمونه از ۱۰ مقطع و ترانشه برداشت و آنالیز شده که برای همه آنها مقادیر آلومینا، سیلیس و مدول معلوم می‌باشند و اکسید آهن نیز برای ۲۰ نمونه معلوم می‌باشد . در فصل سوم تحلیل‌های آماری از این متغیرها انجام شد و هیستوگرامهای آنها نیز تهیه گردید . (شکل‌های شماره ۳-۳ تا ۶-۳) در نتیجه میانگین و انحراف معیار هر یک از پارامترهای فوق معلوم می‌باشد . براساس این نتایج (میانگین و انحراف معیار متغیرهای مختلف) در دقت‌های ۵٪ تا ۲۰٪ مقدار

میانگین تعداد نمونه های لازم برای هر پارامتر در جداول ۵-۴ تا ۸ آورده شده است.

علاوه سطرهای این جداول بشرح ذیل می باشد :

ردیف ۱ - AVG میانگین هر متغیر

ردیف ۲ - STD انحراف معیار هر متغیر

ردیف ۳ - S.N تعداد نمونه موجود

ردیف ۴ - S.N.N تعداد نمونه های لازم برآورد شده براساس

دقیق معین ( بالای جدول )

ردیف ۵ تا ۸ (CI=A) دقت و یا خطای میانگین متغیرها براساس تعداد نمونه های بدست آمده از هر متغیر است.

نتیجه برآورد تعداد نمونه های لازم :

براساس مطالب گفته شده و تخمین های انجام شده ، شدیدترین تغییرات به پارامتر ضخامت تعلق دارد که این پارامتر نیز به نوبه خود جهت برآورد میزان ذخیره کانسار اهمیت ویژه ای دارد و کمترین تغییرات نیز به متغیر A1203 متعلق است . در صورتی که ما خطای ۵ درصد را برای شدیدترین پارامتر که ضخامت می باشد انتخاب کنیم ، تعداد نمونه های لازم ۲۱۳ خواهد بود که با این تعداد نمونه دقت سایر پارامترها عبارتند از :

$$A1203 = AVG \pm 0.31$$

$$SiO_2 = AVG \pm 0.17$$

$$MODULE = AVG \pm 0.28$$

و خطای محاسبه ذخیره کانسار نیز ۵ % خواهد بود . این دقت در این مرحله مناسب می باشد ولی تعداد نمونه ها زیاد بوده و از آنجا که برای اکثر آنها باید حفاری انجام شود هزینه اکتشاف حفاری بالا خواهد

رفت در صورتی که خطای ادرصد را برای شدید ترین پارامتر که ضخامت می باشد انتخاب کنیم تعداد نمونه های لازم برابر ۱۷۸ خواهد بود و با این تعداد نمونه دقت سایر پارامترها عباراًند از :

$$Al_{203} = AVG \pm 0.62$$

$$SiO_2 = AVG \pm 0.34$$

$$MODULE = AVG \pm 0.57$$

و خطای محاسبه ذخیره در این حالت ۱۰٪ خواهد بود که عدد زیاد نامعقولی نیز در این مرحله نمی باشد . با این نتایج ما تعداد ۱۷۸ نقطه جهت نمونه برداری نیاز داریم که فقط در حال حاضر ۱۰ نقطه آنها معلوم می باشد و سایر نقاط باید نمونه برداری شوند .

#### ۲-۲ تعیین محل ها و شبکه نمونه برداری ( حفاری )

همانطور که قبلاً نیز ذکر شد محدوده نمونه برداری ( حفاری ) باتوجه به شواهد سطحی کانسار و نیز شواهد زمین شناسی و توپوگرافی انتخاب گردید که به مساحت حدود ۵ هکتار می باشد با این مساحت و مشخص بودن تعداد نمونه خواهیم داشت .

$$\text{مساحت مربع} = \frac{500000}{178} = 2800 \text{ متر مربع}$$

$$L_2 \times L_1 = 2800 \quad \text{يعنى خواهیم داشت}$$

چیزی که باقی می ماند تعیین نوع شبکه نمونه برداری می باشد . می دانیم که در جهت عمود بر روندها پراش هر متغیر افزایش می یابد و در جهت عاری از روند پراش کاهش می یابد . پس در جهت روند باید شبکه نمونه برداری تندگتر و بر عکس در جهت عاری از روند شبکه نمونه برداری بازتر شود و داریم :

$$\frac{L_2}{L_1} = \frac{V_2}{V_1}$$

L۲ فاصله نمونه ها در جهت روند و L۱ فاصله نمونه ها در جهت عاری از روند می باشد .

۷۲ واریانس یا پراش متغیر در جهت روند و ۷۱ پراش متغیر در جهت عاری از روند می باشد .

برای یک کانسار مفحه‌ای ( لایه ای ) معمولاً " در جهات طول و عرض کانسار بندرت روند وجود دارد و معمولاً " کانسار در این جهات همگن است .

ولی در جهت قائم ممکن است واریانس زیاد شود و در صورتی که ما بخواهیم از رخنمون یک کانسار لایه ای نمونه برداری کنیم مسلماً " در جهت عمود بر لایه فوائل نمونه های ما کم خواهد بود در صورتی که در جهت لایه این فوائل به چند برابر افزایش می یابد .

ولی بهرحال برای پیدا کردن جهت روند در یک کانسار باید واریوگرافی انجام شود و در جهات مختلف واریوگرام کانسار ترسیم و پس از آن در مورد وجود یا عدم وجود روند قضاوت شود . برای این کانسار نیز جهت انجام این بررسی ابتدا پس از حفر چند حلقه گمانه در امید بخش ترین محل با شبکه ۵۰\*۵۰ متر در جهات مختلف واریانس ضخامت و سایر متغیرها محاسبه گردید که هیچگونه روند قوی در جهت خاصی مشاهده نگردید ، درنتیجه شبکه مربعی برای حفاری ادامه داده شد و این شبکه مطابق نقشه شماره ۱ تهییه گردید . (ضمیمه)

$$L_2 * L_1 = ۲۸۰۰ \quad \text{متر} \quad ۵۲ = \frac{L_2}{L_1} = 1 \rightarrow L_2 = L_1$$

### ۳-۲ نتایج انجام عملیات اکتشاف نیمه تفصیلی

#### انتخاب محدوده و ابزار کار

شواهد زمین شناسی و شیب‌لایه ها نشان می دهند که کانسار به وسعت

نسبت " زیادی در عمق کم قابل شناسایی باشد ، در نتیجه باتوجه به شبکه کم لایه ها و شناسایی کانسار تا فواصل نسبت " زیاد در عمق کم در این منطقه به وسعت حدود ۵۰ هکتار که احتمال شناسایی کانسار با حفاری کم عمق وجود داشت جهت حفاری انتخاب گردید تا بتوان توسط حفاری با دستگاه واکن دریل کانسار را تا عمق حدود ۳۰ متر اکتشاف نمود و وجود و عدم وجود بوکسیت را بررسی کرد .

انتخاب دستگاه واکن دریل در این منطقه صرفا " به علت سرعت زیاد این دستگاه و هزینه کم آن بود .

### نتایج انجام عملیات حفاری با دستگاه واکن دریل

عملیات حفاری جهت نمونه برداشی و اندازه کیری پارامترهای مختلف کانسار از آمید بخش ترین محل یعنی تقریبا " وسط محدوده تعیین شده ( محل گمانه ۵۰ ) شروع گردید و در پروفیل های شمال شرقی جنوب غربی نقاط حفر گردید . نقاط طبق نقشه شماره ۱ مشخص شد و به شرح ذیل انجام گردید .

تعداد نقاط انتخابی	۲۳۰ نقطه
تعداد نقاط حفاری شده	۱۵۲ نقطه
تعداد نقاط حاوی بوکسیت	۹۳ نقطه
تعداد نقاط فاقد بوکسیت	۳۶ نقطه
تعداد نقاط ناتمام	۲۳ نقطه
تعداد نقاط حفاری نشده	۷۸ نقطه
متراژ کل حفاری	۳۶۵۲ متر

ضخامت بوکسیت در این گمانه ها حداقل صفر و حداکثر به  $8/30$  متر می رسد . علت ناتمام ماندن حفر برخی از محل ها وجود آب زیرزمینی ، آبرفتی بودن محل و یا زیاد بودن عمق نقطه مورد حفر از توان دستگاه می باشد .

گمانه های حفاری نشده نیز به علت های فوق و یا احتمال نبودن بوکسیت در آن محل ها بوده است.

کانسار در این مرحله به دو بخش شمالی و جنوبی تقسیم بندی شده که مرز آن نیز محل گمانه ۲۸۱ می باشد. مشخصات گمانه های حفاری شده در جدول شماره ۹-۴ آمده است.

بخش جنوبی :

نتایج گمانه های حفر شده در این بخش عبارتند از :

تعداد محل تعیین شده ۱۷۸ نقطه.

تعداد گمانه های حاوی بوکسیت ۶۹ "

تعداد گمانه های فاقد بوکسیت ۳۴ "

تعداد گمانه های ناتمام ۲۰ "

تعداد محل های حفاری نشده ۵۵ "

مساحت کل محدوده ۴۴ هکتار

مساحت محدوده کانسار ۲۲ هکتار ( اکتشاف شده در این مرحله )

ضخامت متوسط بوکسیت در محدوده کانسار ۲/۸۲ متر

حجم بوکسیت ۶۱۳۰۰۰ مترمکعب

وزن بوکسیت ۱۸۴۰۰۰۰ تن

ضخامت متوسط باطله ( کمربالا ) ۱۵/۳۲ متر

حجم باطله ۳۴۹۰۰۴۷ مترمکعب

وزن باطله ۸۷۲۵۱۸۷ تن

W/O حجمی ۵/۴۳

W/O وزنی ۴/۵۳

( وزن مخصوص بوکسیت برابر ۳ و باطله برابر ۵/۲ تن در مترمکعب در نظر گرفته شده است )

نقشه شماره ۲ پیوست کمانه های حفر شده و محدوده اکتشاف شده را نشان می دهد . همانطور که در این نقشه مشاهده می شود کانسار در بخش جنوبی از طفین شمال ، شرق و جنوب شرقی تحدید شده است و فقط بخش غربی و جنوب غربی است که به علت عمق زیاد (بیشتر از ۳۰ متر ) کار حفاری ادامه پیدا نکرده و مرزهای کانسار در این بخش ها هنوز بسته نشده است .

#### بخش شمالی :

در این محدوده نیز با توجه به اینکه اکثر کنتاکتهای کمربالا و کمر پایین گسلی می باشند و بوکسیت بندرت رخمنون دارد و فقط در بخش مرکزی که کمربالا و لایه بوکسیت به صورت پنجره هایی بیرون آمده است رخمنون بوکسیت به چشم می خورد ولی با این حال در محل هایی که احتمال وجود کانسار بود نقاطی برای حفاری تعیین شد که نتایج آنها به شرح ذیل می باشد .

تعداد محل های تعیین شده	۶۰ نقطه
تعداد کمانه های حاوی بوکسیت	۲۴ نقطه
تعداد کمانه های فاقد بوکسیت	۶ نقطه
تعداد کمانه های ناتمام	۵ نقطه
تعداد کمانه های حفاری نشده	۲۸ نقطه
مساحت کل محدوده	۱۳/۵ هکتار
مساحت محدوده کانسار	۱۱ هکتار
ضخامت متوسط بوکسیت	۲/۵۷ متر
حجم بوکسیت	۲۸۰۰۰۰ متر مکعب
ذخیره بوکسیت	۸۴۰۰۰۰ تن
ضخامت باطله (کمربالا)	۱۵/۳۴ متر
حجم باطله	۱۹۸۰۰۰۰ متر مکعب

وزن باطله	٤٩٥٠٠٠٠ تن
W/O حجمی	٥/٩
W/O وزنی	٢/١

( وزن مخصوص بوكسيت برابر ۳ و باطله برابر ۵/۲تن در متريکعب در نظر گرفته شده است ).

در نقشه شماره ۱ پيوست شبکه حفاری تعیین شده و در نقشه شماره ۲ پيوست محل گمانه های حفر شده و محدوده کانسار آمده است . در اين بخش کانسار از کلیه جهات تحدید شده و فقط از سمت غربی باز می باشد که به علت افزایش ناگهانی میزان کمر بالا بدليل تغييرات شيب توپوگرافی ادامه اكتشاف کانسار در اين بخش مقرون به صرفه نخواهد بود .

#### حفاری شبکه میکرو

---

جهت انجام دقیق مطالعات زمین آماری در محدوده های به ابعاد ۵۰ در ۵۰ متر شبکه حفاری به ابعاد ۱۲ در ۱۲ متر انجام گردید که شماره های اين گمانه ها با ۵A تا ۵U مشخص گردیده است چهار گوش اين شبکه را گمانه های شماره ۲۰, ۵, ۴ و ۲۱ تشکيل ميدهد .

#### نمونه گيري از حفاری ( دريل و اگن )

---

از گرد حاصل از حفر چالها از زون بوكسيت، متر به متر نمونه برداری انجام شد و برای اين کار گرد و تراشه های حاصل از حفاری در محل گردگير دستگاه (Dustcollector) جمع آوري و هريک متر يكبار تخلیه می شود و با کوارتر کردن نمونه های حدود ۲ کيلوگرمی تهیه شد . ولی بعلت اختلاط گرد چال عمق مورد حفر با قسمت های فوقانی نمونه ها معرف عمق مورد نظر نبوده و نمی توانستند برای تعیین کيفيت بوكسيت

در آن محل بکار روند، برای اطمینان چند نمونه نیز به آزمایشگاه ارسال گردید و نتایج نیز این اختلاط را نشان داد. همچنین چند نمونه نیز برای آزمایش کانی شناسی با روش XRD تجزیه شدند که در آنها کانیهای غیر از کانیهای بوکسیت مشاهده گردید.

بدین ترتیب حفر این گمانه‌ها فقط می‌توانست وجود و مقدار ضخامت بوکسیت در هر گمانه را تعیین کند. ولی از آنجایی که خود این مسئله نیز قابل اطمینان نبود، و باشکل ظاهری مواد نمیتوان جهت تصمیم گیری در مورد بود یا نبود ماده معدنی قضاوت نمود، تراشهای حاصل از حفر در ماده معدنی توسط دریل واگن کانه آرایی شدند و جهت اندازه گیری اکسیدهای  $Al_2O_3$  و  $SiO_2$  به آزمایشگاه ارسال گردید که نتایج آن در جدول ۹-۴ آمده است. بدین ترتیب نمونه‌ها با اطمینان بیشتری میتوانستند نمونه معرف هر گمانه باشند.

#### حفر چاهک دستی

جهت بررسی کیفیت بوکسیت در عمق و نیز چک کردن اطلاعات گمانه‌های حفر شده با واگن دریل، تعداد پنج نقطه کم عمق که قبله "با دستگاه واگن دریل حفر شده بود، جهت حفر چاهک انتخاب گردیدند. بخش کمر بالای این چاهک‌ها توسط مقنی به طریق دستی و زون بوکسیت بعلت سخت بودن بیش از حد با آتشباری و پیکر حفر گردید.

مشخصات این چاهک‌ها به شرح جدول ۱۰-۴ می‌باشد.

TABLE 4.9 : SADRABAD BORE HOLE INFORMATIONS

No	B.H.No.	FROM	TO	LITH.	SAM.N	Al2O3%	SiO2%	MODULE
1	3	0	22.2	S				
		22.2	23.2	B	1	49.11	8.35	5.88
		23.2	24.1	B				
		24.1	26	D				
2	4	0	14.8	S				
		14.8	15.8	B	1			
		15.8	16.3	B	2			
		16.3	16.8	B	3	45.74	6.54	6.99
		16.8	17.8	B	4			
		17.8	18.8	B	5			
		18.8	19.5	B	6			
		19.5	20	D				
3	5	0	2.7	S				
		2.7	3.7	B				
		3.7	4.7	B		47.1	8.95	5.26
		4.7	5.7	B				
		5.7	6.15	B				
		6.15	7	D				
4	5	A	0	S				
			6.35					
			6.35	11.3	B	51.26	5.16	9.93
			11.3	12.3	D			
5	6	B	0	S				
			9.2					
			9.2	14.85	B	51.52	6.37	8.09
6	5	C	0	S				
			13.1					
			13.1	15.1	B	50.14	5.75	8.72
7	5	D	0	S				
			4.6					
			4.6	9.1	B	51.85	7.32	7.08
8	5	E	0	S				
			7					
			7	12.1	B	48.41	6.23	7.77
9	5	F	0	S				
			11.15					
			11.15	14.6	B	48.92	5.66	8.64
10	5	G	0	S				
			13.8					
			13.8	16.45	B	46.88	8.7	5.39
11	5	H	0	S				
			15.1					

CONT. TABLE 4.9 : SADRABAD BORE HOLE INFORMATIONS

No	B.H.No.		FROM	TO	LITH.	SAM.N	AI2O3%	SiO2%	MODULE
			15.1	17.45	B		51.2	8.74	5.86
			17.45	18	D				
12	5	I	0	9.45					
			9.45	13.8	B				
			13.8	14.6	D,B,S		51.83	5.09	10.18
			14.6	15.2	B				
			15.2	16.5	D				
13	5	J	0	6.2	S				
			6.2	9.6	B		44.37	9.66	4.59
			9.6	10.5	D				
14	5	K							
15	5	L	0	11.5	S				
			11.5	15.4	B		50.64	5.36	9.45
			15.4	16.5	D				
16	5	M	0	14.15	S				
			14.15	17.75	B		46.38	12.91	3.59
			17.75	18	D				
17	5	N	0	7.5	S				
				10.7	B		42.73	12.4	3.45
18	5	O	0	7.8	S				
			7.8	11.4	B		48.03	12.3	3.90
			11.4	12.2	B,D				
			12.2	14.5	K,B				
			14.5	15	D				
19	5	P	0	6.3	S				
			6.3	9.5	B		51.03	11.57	4.41
20	5	Q	0	7.1	S				
			7.1	12.85	B		47.43	12.76	3.72
21	5	R	0	1.75	S				
			1.75	12.85	B				
			12.85	13.5	D				
22	5	S	0	4.5	S				
			4.5	10	B		50.88	11.63	4.37
			10	12	D				
23	5	T	0	6.55	S				
			6.55	8.1	B				
			8.1	9.2	B,D				
			9.2	10.4	B		49.94	10.73	4.65
			10.4	12	B,D				
			12	12.5	D				
24	5	U	0	8	S				

**CONT. TABLE 4.9 : SADRABAD BORE HOLE INFORMATIONS**

No	B.H.No.	FROM	TO	LITH.	SAM.N	Al2O3%	SiO2%	MODULE
		8	11	B		55.26	9.33	5.92
		11	12	D				
25	7	0	10.85	S				
		10.85	11.45	K				
		11.45	12.45	B	1			
		12.45	13.45	B	2			
		13.45	14.45	B	3	48.71	8.34	5.84
		14.45	14.95	B	4			
		14.95	15.45	B	5			
		15.45	16	D				
26	8	0	12.55	S				
		12.55	12.85	K				
		12.85	13.85	B	1			
		13.85	14.85	B	2	43.89	9.13	4.81
		14.85	15.85	B	3			
		15.85	16.5	B	4			
		16.5	18	D				
27	9	0	21.7	S				
		21.7	24	B,K	1			
		24	26.5	K	2			
		26.5	28.5	D				
28	10	0	30.55	S				
		30.55	31	D				
29	11	A	0	32.05	S			
			32.05	32.5	D			
30	13	0	24.25	S				
		24.25	26	D				
31	14	0	28	S				
		28	29	B	1			
		29	30	B	2*	49.1	11.03	4.45
		30	30.5	B	3			
		30.5	31.1	K				
		31.1	32	D				
32	15	0	33	S				
33	16							
34	19	0	5.35	S				
		5.35	6.35	B	1			
		6.35	7.35	B	2	51.03	4.94	10.32
		7.35	8.4	B	3			
		8.4	12	D				

CONT. TABLE 4.9 : SADRABAD BORE HOLE INFORMATIONS

No	B.H.No.	FROM	TO	LITH.	SAM.N	Al2O3%	SiO2%	MODULE
35	20	0	19.9	S				
		19.9	21	B				
36	21	0	10.3	S				
		10.3	12	D				
37	22	0	2	S				
		2	3.75	K				
		3.75	4.45	B	1			
		4.45	5.25	B,D				
		5.25	6.25	B	2			
		6.25	7.25	B	3	41.53	9.75	4.26
		7.25	7.75	B	4			
		7.75	8.85	B,D	5			
		8.85	12	D				
38	23	0	18.35	S				
		18.35	19.25	B,K				
		19.25	20.25	B,S				
		20.25	23	D				
39	24	0	9.3	S				
		9.3	10.55	B,K				
		10.55	11.55	B	1			
		11.55	12.55	B	2			
		12.55	13.55	B	3			
		13.55	14.55	B,D	4	51.69	8.39	6.16
		14.55	15.1	D				
		15.1	15.7	B,D	4A			
		15.7	16.2	B	5			
		16.2	17.2	B	6			
		17.2	17.9	B,D				
		17.9	18.2	D				
40	25	0	33	S				
41	27	0	28.7	S				
		28.7	29.7	B	1			
		29.7	30	B				
		30	30.2	D				
42	28	0	21.2	S				
		21.2	22.2	B	1	50.27	11.03	4.56
		22.2	23.2	B	2	27.21	14.61	1.86
		23.2	24	B	3	36.14	9.16	3.95
		24	25	D				
43	29	0	17.35	S				

CONT. TABLE 4.9 : SADRABAD BORE HOLE INFORMATIONS

No	B.H.No.	FROM	TO	LITH.	SAM.N	Al2O3%	SiO2%	MODULE
		17.35	20	D				
44	30	0	13.15	S				
		13.15	13.65	B,K				
		13.65	15	D				
45	31	0	19.9	S				
		19.9	20.4	B	1			
		20.4	20.9	B				
		20.9	21.4	B				
		21.4	22.3	D				
		22.3	23	S				
		23	24.2	B	2			
		24.2	24.9	B				
		24.9	26.3	B,D				
		26.3	27.3	B	3			
		27.3	28.3	B	4			
		28.3	28.8	B,D				
		28.8	30	D				
46	32	0	24.9	S				
		24.9	25.9	B	1			
		25.9	26.9	B	2	49.23	10.96	4.49
		26.9	27.9	B	3			
		27.9	28.75	B	4			
		28.75	30	D				
47	33	0	30.85	S				
		30.85	31.05	K				
		31.05	32.05	B	1			
		32.05	33.05	B	2			
		33.05	34.05	B	3	47.49	7.82	6.07
		34.05	35.05	B	4			
		35.05	36.05	B	5			
		36.05	36.55	D				
48	34	0	23.25	S				
		23.25	23.3	B				
		23.3	26	D				
49	35	0	11	S				
		11	11.5	B	1			
		11.5	12.5	B	2			
		12.5	13.5	B	3	65.57	7.96	8.24
		13.5	14	B	4			
		14	14.5	B				
		14.5	15	D				
50	36	0	2	S				

CONT. TABLE 4.9 : SADRABAD BORE HOLE INFORMATIONS

No	B.H.No.	FROM	TO	LITH.	SAM.N	AI203%	SiO2%	MODULE
		2	3	B	1	48.78	5.29	9.22
		3	4	B	2	52.34	8.15	6.42
		4	4.8	B	3	49.27	7.73	6.37
		4.8	6	D				
51	37	0	2.3					
		2.3	2.7					
52	38	0	10.65	S				
		10.65	11	B	1			
53	39	0	21.4	S				
		21.4	24.2	B,D	1			
		24.2	25.3	B,K	4			
		25.3	27	D				
54	41	0	33					
55	44	0	15	S				
		15	16	B	1	49.62	11.87	4.18
		16	17.2	B	2	49.81	11.81	4.22
		17.2	18	B	3	52	11.47	4.53
		18	19	B	4	50.35	10.18	4.95
		19	20	B	5	50.93	10.02	5.08
		20	20.9	B	6	47.12	13.76	3.42
		20.9	21.9	B	7	45.66	14.61	3.13
		21.9	22.5	B,D	8			
		22.5	23	D				
56	45	0	13.2	S				
		13.2	15	B				
		15	15.5	D				
57	46	0	27.5	S				
		27.5	28.9	B				
		28.9	30	B				
		30	31.5	D				
58	47	0	22.7	S				
		22.7	23.3	B				
		23.3	24	D				
59	48	0	17.3	S				
		17.3	17.5	B				
		17.5	21	D				
60	49	0	12.8	S				
		12.8	13.8	B	1			
		13.8	14.8	B	2	50.87	8.38	6.07
		14.8	15	B,D				
		15	15.8	D				
61	50	0	23.7	S				

CONT. TABLE 4.9 : SADRABAD BORE HOLE INFORMATIONS

No	B.H.No.	FROM	TO	LITH.	SAM.N	Al2O3%	SiO2%	MODULE
		23.7	24.7	B	1			
		24.7	27.2	B	2			
		27.2	29	D				
62	51	0	19	S	*	50.63	10.67	4.75
		19	20	B	1	49.8	6.51	7.65
		20	21	B	2	52.3	10.76	4.86
		21	22	B	3			
		22	23	B	4			
		23	24	B	5	52.6	6.66	7.90
		24	25	B	6	51.73	7.62	6.79
		25	26	B				
		26	27.1	D				
63	52	0	16.2	S				
		16.2	17.2	B	1			
		17.2	18.2	B	2	48.84	10.38	4.71
		18.2	18.8	B				
		18.8	21	D				
64	53	0	7.1	S				
		7.1	8.1	B	1	44.65	14.51	3.08
		8.1	9.1	B	2			
		9.1	9.6	B,K				
		9.6	10.5	B				
		10.5	12	D				
65	54	0	10.5	S				
		10.5	11.5	B				
		11.5	14.5	D				
66	53	S						
67	55	0	12.9	S				
		12.9	13.6	B		52.35	9.68	5.41
		13.6	15	D				
68	56	0	25	S				
		25	25.6	S,B				
		25.6	26.2	B	1			
		26.2	26.7	B	2			
		26.7	27.4	D	3			
69	57	0	32.3	S				
		32.3	33.3	B	1	52.76	6.48	8.14
		33.3	33.7	B,D	2			
		33.7	34.4	D				
70	58	0	6.2	S				
		6.2	9.7	B	1	53.69	6.39	8.40
		9.7	10.2	B,D				

CONT. TABLE 4.9 : SADRABAD BORE HOLE INFORMATIONS

No	B.H.No.	FROM	TO	LITH.	SAM.N	Al2O3%	SiO2%	MODULE
		10.2	10.7	D				
71	59	0	8.4	S				
		8.4	9.4	B	1	52	6.62	7.85
		9.4	10.4	B	2	48.1	6.88	6.99
		10.4	11.1	B	3			
		11.1	12.2	D				
72	60	0	5.3	S				
		5.3	6.3	B	1	52.37	11.77	4.45
		6.3	7.3	B	2	48.9	4.87	10.04
		7.3	8.3	B	3			
		8.3	8.8	B	4	52.35	9.18	5.70
		8.8	9.3	D	5			
73	61							
74	62							
75	63							
76	64							
77	65	0	28.2	S				
		28.2	28.7	B	1			
		28.7	29.7	B	2			
		29.7	30	B	2			
		30	31.4	D				
78	66	0	31.7	S				
		31.7	32.7	B	1			
		32.7	33.2	B	2	47.03	12.95	3.63
		33.2	33.35	B				
		33.35	33.7	D				
79	67	0	33	S				
		33	34	B	1	38.47	7.1	5.42
		34	34.2	B				
		34.2	34.7	D				
80	68	0	2.5	S				
81	69	0	2.5	S				
82	71	0	4.2	S				
		4.2	5.2	B	1	36.37	14.86	2.45
		5.2	6.2	B				
		6.2	6.7	D				
83	71	A	0	8.25	S			
			8.25	11.5	D			
84	72	A	0	3.4	S			
			3.4	4.4	B	1		
			4.4	5.5	B	2		
			5.5	6.5	B	3		

CONT. TABLE 4.9 : SADRABAD BORE HOLE INFORMATIONS

No	B.H.No.	FROM	TO	LITH.	SAM.N	Al2O3%	SiO2%	MODULE
		6.5	6.7	B,D				
		6.7	9	D				
85	73	0	11.8	S				
		11.8	12.8	B	1			
		12.8	13.8	B	2			
		13.8	14.8	B	3	48.59	7.08	6.86
		14.8	15.8	B	4			
		15.8	16.3	B,D	5			
		16.3	20	D				
86	74	A	0	24.45	S			
		24.45	25.45	B	1			
		25.45	26.45	B	2	19.08	9.38	2.03
		26.45	27.45	D,B				
		27.45	28.7	D				
87	74	0	26.8	S				
			27.6	B	1	54.73	6.59	8.31
			27.9	B	2			
88	75	0	11.25	S				
		11.25	12.25	B	1			
		12.25	13.25	B	2			
		13.25	14.25	B	3	43.9	9.33	4.71
		14.25	15.3	B	4			
		15.3	16.3	B	5			
		16.3	17	B	6			
		17	20	D				
89	76	0	9.5	S				
		9.5	9.65	B				
		9.65	10	D				
90	77	A	0	11.5	S			
		11.5	15	D				
91	78	0	4	S				
		4	4.3	B				
		4.3	6	D				
92	79	0	3.5	S				
		3.5	6	D				
93	80	0	22.6	S				
		22.6	24	D				
94	81	0	26.5	S				
		26.5	28	D				
95	82	0	34.5	S				
		34.5	34.7	D				
96	83	0	2.5	S				

CONT. TABLE 4.9 : SADRABAD BORE HOLE INFORMATIONS

No	B.H.No.	FROM	TO	LITH.	SAM.N	Al2O3%	SiO2%	MODULE
97	84	0	2.5	S				
98	91	A	0	0.95	B	1	53.17	6.24
			0.95	2.7	D			
99	92	A	0	5.65	S			
			5.65	6.65	B	1		
			6.65	9	D			
100	93		0	12.1	S			
			12.1	15	D			
101	94		0	9.5	S			
			9.5	11.7	D			
			11.7	11.8	B			
			11.8	15	D			
102	95	A	0	15.7	S			
			15.7	16.7	B	1	35.69	30
			16.7	18	D			
			18	18.2	S			
			18.2	19	D			
103	96		0	16.4	S			
			16.4	17.4	D			
			17.4	17.5	S			
			17.5	19	D			
104	97	A	0	19.5	S			
			19.5	20	D			
105	98		0	19	S			
106	99		0	22.5	S			
			22.5	23.2	B	1		
			23.2	27.3	B	2	50.49	9.13
			27.3	28.25	B	3		5.53
			28.25	30	D			
107	100		0	13.8	S			
			13.8	14.8	B	1		
			14.8	15.8	B	2	49.95	9.69
			15.8	16	B	3		
			16	20	D			
108	101		0	16.9	S			
			16.9	21	D			
109	102		0	2	S			
110	111		0	18.55	S			
			18.55	21	D			
111	112		0	22.5	S			
			22.5	23	B	1	28.92	26.79
			23	27	D			1.08

CONT. TABLE 4.9 : SADRABAD BORE HOLE INFORMATIONS

No	B.H.No.	FROM	TO	LITH.	SAM.N	AI203%	SiO2%	MODULE
112	113	0	19.5	S				
		19.5	19.6	B				
		19.6	21	D				
113	114	0	15.3	S				
		15.3	15.4	B				
		15.4	19.5	D				
114	115	0	26.5	S				
		26.5	28	D				
		0	32.25	S				
115	116	32.25	33	D				
		0	16.4	S				
		16.4	18	D				
117	118	0	26.9	S				
		26.9	27.5	D				
		0	16.1	S				
118	119	16.1	20	D				
		0	9.5	S				
		9.5	15	D				
119	120	0	4	S				
		4	9.5	S				
		9.5	15	D				
120	121	0	2	S				
		2	11	S				
		11	13	D				
121	122	0	15.7	S				
		15.7	16.7	B	1			
		16.7	17.7	B	2			
122	131	17.7	18.7	B	3	49.11	8.35	5.88
		18.7	18.7	B	4			
		18.7	19.7	B	5			
		19.7	20.7	B	5			
		20.7	21	B				
		21	23	D				
123	132							
124	133	0	16.6	S				
		16.6	16.8	B				
		16.8	18	D				
125	134	0	11	S				
		11	13	D				
126	135							
127	136	0	6.8	S				
		6.8	9	D				
128	137	0	3	S				
129	138	0	4	S				
130	139	0	2	S				
131	140	0	19.3	S				

CONT. TABLE 4.9 : SADRABAD BORE HOLE INFORMATIONS

No	B.H.No.	FROM	TO	LITH.	SAM.N	Al2O3%	SiO2%	MODULE
		19.3	21	D				
132	141	0	2.8	S				
		2.8	5.8	D				
133	142							
134	152	A	0	4.5	S			
			4.5	9	D			
135	153	0	25.5	S				
136	154	0	8.1	S				
		8.1	9	B	1			
		9	9.25	B				
		9.25	10.7	D				
137	155	0	7	S				
		7	9	D				
138	161							
139	162	0	32	S				
140	163	0	18.5	S				
		18.5	21	D				
141	164	0	6.8	S				
		6.8	7.8	B	1	18.45	25.65	0.72
		7.8	8.8	B	2			
		8.8	9	B				
		9	11	D				
142	165	0	14	S				
		14	15.3	D				
143	166	0	11.3	S				
		11.25	15.3	D				
144	168							
145	169	0	22.8	S				
		22.75	23.8	B	1	37.67	18.17	2.07
		23.75	14.9	B	2			
		14.9	25.5	D				
146	170	0	23.4	S				
		23.4	23.6	K				
		23.6	24.6	B	1	52.99	10.71	4.95
		24.6	25.6	B	2			
		25.6	25.7	B				
		25.7	27	D				
147	171							
148	173							
149	174	0	24	S				

CONT. TABLE 4.9 : SADRABAD BORE HOLE INFORMATIONS

No	B.H.No.	FROM	TO	LITH.	SAM.N	Al2O3%	SiO2%	MODULE
		24	26	D				
150	175	0	18.4	S				
		18.4	21	D				
151	178	0	9.9	S				
		9.9	10.9	B	1			
		10.9	11.4	B	2	8.19	4.02	2.04
		11.4	12	D				
152	178	0	16.8	S				
		16.8	18.4	D				
153	179	0	11	S				
		11	11.5	B	1			
		11.5	13	D				
		13	14	B	2			
		14	15	B	3			
		15	16	B	4			
		16	18	D				
154	180	0	11.8	S				
		11.8	12.3	K				
		12.3	13.2	B	1			
		13.2	13.8	K,D				
		13.8	15	D,K				
		15	16	B	2	55.22	7.07	7.81
		16	16.5	B	3			
		16.5	18.2	D				
155	182	0	6	S				
156	183	0	3	S				
157	188	A	0	12.9	S			
			12.9	13.2	K			
			13.2	13.25	B			
			13.25	15	D			
158	189	0	9.3	S				
			9.3	9.6	K			
			9.6	10.5	B,D	1	49.5	7.05
			10.5	15	D			
159	192	0	10.4	S				
			10.4	10.5	B			
			10.5	12	D			
160	194	A	0	29.75	S			
			29.75	30	K			
			30	31	B	1	48.52	14.24
			31	31.5	B	2	48.43	12.05
			31.5	32	B,K			4.02

CONT. TABLE 4.9 : SADRABAD BORE HOLE INFORMATIONS

No	B.H.No.	FROM	TO	LITH.	SAM.N	Al2O3%	SiO2%	MODULE
		32	32.7	D				
161	195	A	0	20.2	S			
			20.2	20.4	K			
			20.4	21.4	B			
			21.4	22.4	B	48.14	11.73	4.10
			22.4	23.4	B			
162	198	A	0	13.95	S			
			13.95	14.95	B	1	50.92	9.38
			14.95	15.95	B	2	47.56	6.3
			15.95	19.95	B,Ca			
			19.95	18.75	B,Ca,K			
163	199		0	5	S			
			5	6	D			
164	202		0	18.4	S			
			18.4	19.4	B	1	49.66	6.39
			19.4	19.9	B,K,D			
			19.9	21.2	B,K,D			
			21.2	23	D			
165	204		0	9	S			
			9	10	B	1	44.56	9.87
			10	11	B	2	51.51	6.18
			11	12	B	2*	47.84	5.11
			12	12.75	B	4	54.39	4.35
			12.75	15	B,S			
			15	16.5	D			
166	206		0	33.1	S			
			33.1	33.3	K,S			
167	207		0	16	S			
			16	16.4	K			
			16.4	17.4	B	1		
			17.4	18.4	B	2	45.83	8.69
			18.4	19.2	B	3		
			19.2	22	D			
168	210		0	2.8	D			
169	211		0	23.5	S			
			23.5	24.45	K			
			24.45	25.45	B	1		
			25.45	26.45	B	2	52.41	3.7
			26.45	27.3	B	3		
			27.3	29	D			
170	212		0	20.3	S			
			20.3	20.7	B	1		

CONT. TABLE 4.9 : SADRABAD BORE HOLE INFORMATIONS

No	B.H.No.	FROM	TO	LITH.	SAM.N	Al2O3%	SiO2%	MODULE
		20.7	21.7	B	2			
		21.7	22.7	B	3			
		22.7	23.7	B	4			
		23.7	24.7	B	5			
		24.7	25.7	B	6			
		25.7	26.7	B	7			
		26.7	28.2	D				
171	213	0	10.2	S				
		10.2	10.6	K				
		10.6	11.6	B	1	52.49	4.74	11.07
		11.6	12.6	B	2			
		12.6	13.6	B	3			
		13.6	14.2	K,B				
		14.2	15	D				
172	214	0	3.1	S	4*	55.13	5.75	9.59
		3.1	6	D				
173	216	0	1.5	S				
		1.5	3.85	B	2*	49.7	11.15	4.46
		3.85	4.35	B,K,D				
		4.35	6	D				
174	218	0	11.45	S				
		11.45	15.85					
		15.85	18	D				
175	219	0	9.2	S				
		9.2	9.9	K				
		9.9	10.9	B	1	46.6	9.82	4.75
		10.9	11.9	B				
		11.9	12.1	B				
		12.1	15	D				
176	220				1	51.51	6.23	8.27
					2	48.92	10.74	4.55
177	221	0	14.1	S				
		14.1	15.3	K				
		15.3	16.3	B	1			
		16.3	17.3	B	2			
		17.3	18.3	B	3			
		18.3	19.3	B	4			
		19.3	20.3	B	5			
		20.3	20.8	B	6			
		20.8	21	B,K				
178	225	A	0	6	S			
		6	6.55	B				

CONT. TABLE 4.9 : SADRABAD BORE HOLE INFORMATIONS

No	B.H.No.	FROM	TO	LITH.	SAM.N	Al2O3%	SiO2%	MODULE
		6.55	7.55	B	1	59.64	10.31	5.78
		7.55	8.05	B		46.35	13.5	3.43
		8.05	9.2	D				
		9.2	9.7	K,B				
		9.7	11	D				
179	226	A	0	11.15	S			
			11.15	11.35	K			
			11.35	12.35	B	1		
			12.35	12.85	B	2		
			12.85	15	D			
180	227		0	7.4	S			
				7.4	7.9	K		
				7.9	8.9	B	1	51.57
				8.9	9.9	B	2	46.23
				9.9	10.5	B	3	49.71
				10.5	14	D		6.5
181	230		0	28	S			
				28	29.5	D		
182	232		0	33	S			
183	233		0	36.5	S			
184	234		0	24	S			
				24	25	B	1	
				25	26	B	2	
				26	27	B	3	49.19
				27	28	B	4	
				28	29.05	B,Ca	5	
				29.05	30	D		
185	235		0	9.2	S			
				9.2	9.35	B,D	1	
				9.35	12	D		
186	239		0	14.7	S			
				14.7	15.7	B	1	
				15.7	16.7	B	2	
				16.7	17.7	B	3	50.77
				17.7	18.7	B	4	
				18.7	19.8	B	5	
				19.8	21	D		
187	240		0	19.8	S			
				19.8	21.3	K		
				21.3	22.4			
				22.4	23.4	B,K,D	1	

CONT. TABLE 4.9 : SADRABAD BORE HOLE INFORMATIONS

No	B.H.No.	FROM	TO	LITH.	SAM.N	AI203%	SiO2%	MODULE
		23.4	24.4	B,K	2			
		24.4	24.9	B,D	3			
		24.9	26.5	D				
188	241	0	28.1	S				
			28.1	D				
189	242	0	14.1	S				
			14.1	D				
		14.1	15.2	D				
		15.2	16.15	B,D	1	30.48	28.64	1.06
		16.15	20	D				
190	243	0	6.1	S				
			6.1	B	1			
			7.1	B	2			
			8.2	B	3	53.78	6.78	7.93
			9.1	B,D	4			
			9.55	D				
191	244	0	24	S				
192	245	0	28.75	S				
			28.75	B	1			
			29.75	B	2	50.4	16.4	3.07
			30.75	B	3			
			31.75	D				
193	246	0	11.45					
			11.45	D				
194	252	0	33.2	S				
195	254	0	33.3	S				
196	255	0	29	S				
			29	D				
197	255							
198	258	0	12.3	S				
199	261	0	25	S				
200	264	0	33.2	S				
201	269	0	12.2	S				
			12.2	B,K				
			12.35	D				
202	270	0	25.25	S				
			25.25	K				
			26.5	D				
203	271	0	33.3	S				
204	275	0	33	S				
205	276	0	33	S				
206	277	0	27.5	S				
		27.5	28	B	1	58.07	11.85	4.90

CONT. TABLE 4.9 : SADRABAD BORE HOLE INFORMATIONS

No	B.H.No.	FROM	TO	LITH.	SAM.N	Al2O3%	SiO2%	MODULE
		28	29	D				
207	278	0	15.15	S				
		15.15	15.2	B				
		15.2	17.5	D				
208	279	0	16	S				
209	280	0	14	S				
		14	15.9	K				
		15.9	16.05	B				
		16.05	18	D				
210	281	0	27.75	S				
		27.75	28.4	K				
		28.4	30.75	S				
		30.75	31.75	B,K	1			
		31.75	32.75	B	2	49.41	4.63	10.67
		32.75	33.45	B,Ca	3			
		33.45	34	D				
211	283							
212	287	0	18.3	S				
213	289	0	15	S				
214	294	0	33.3	S				
215	309	0	33	S				
216	310	0	23	S				
217	312	0	30.5	S				
TOTALL								
AVERAGE						47.89	9.72	4.93
STD						7.73	4.58	2.52

B.H.N = Bore hole number

LITH = Lithology

SAM = Sample number

K = Kaolinite

S = Sandstone shale and siltstone

B = Bauxite

D = Dolomite

Ca = Calcite

جدول شماره ۱۰-۴

عمق نهایی	ضخامت بوکسیت	ضخامت کمر بالا	ضخامت کمر بالا	مختصات			شماره چاهک
				Z	Y	X	
۶/۱۵ متر	۲/۱	۲/۶	۲/۶	۲۳۷۵	۱۳۴۵	۱۸۴۰	۵
" ۴/۲۵	" ۳/۵	" ۴/۵	" ۴/۵		۱۳۶۷	۱۳۸۰	۱۹
" ۷/۹	" ۴/۱	" ۳/۸	" ۳/۸		۱۴۴۷	۱۳۰۵	۲۲
" ۸/۲۵	" ۳	" ۵/۶	" ۵/۶		۱۵۵۲	۱۴۲۴	۳۶
" ۸/۸۵	" ۳	" ۵/۸۵	" ۵/۸۵	۲۳۳۸	۱۷۱۸	۱۶۳۵	۶۰

نمونه برداری از چاهک‌های دستی :

روش نمونه برداری از چاهک‌های دستی به صورت کانالی و از دیواره چاهک‌ها بود و فوائل نمونه‌ها نیم متر انتخاب شد تا بتوان تغییرات زون ماده معدنی را بررسی کرد زیرا ضخامت بوکسیت در این منطقه کم است و برای افزایش تعداد نمونه‌ها ناچار به کاهش فاصله نمونه‌ها هستیم.

در موقع حفر چاهک‌ها زون بوکسیت هر نیم متر بصورت یک‌کپه جداگانه و در اطراف چاهک شماره گزاری شد ولی چون برای حفر این مواد از آتشباری استفاده شده و در موقع انفجار برآثر برخورد مواد کنده شده با بخش‌های فوقانی چاهک اندکی اختلاط بین مواد کمر بالا و بوکسیت بوجود آمد و از طرفی ابعاد مواد کنده شده ناهمگن واز حد میلی‌متر تا دسی متر متغیر بوده و کوارتر کردن آنها مشکل و با یک کوارتر کوچک غیرممکن بود، در نتیجه از این کپه‌ها نمونه برداری انجام نشد و روش کانالی از دیواره چاهک مناسب‌تر بینظر رسید، برای این کار زون بوکسیت در چاهک به فوائل نیم متر علامت گزاری شده واز دو طرف چاهک به صورت کانالی نمونه برداری انجام گرفت.

جداول شماره ۱۱-۴ آنالیز متوسط هر چاهک را نشان می‌دهد ریز این آنالیز‌ها در جداول شماره ۱۲-۴ تا ۱۲-۶ آمده است.

TABLE 4.1.1 : Average values of various parameters of sadrabad holes

H.No	A1203	SiO2	MODULE	SAMPLES	THICKNESS
5	47.10	8.95	5.26	6.00	3.10
19	49.51	7.95	6.23	6.00	3.00
22	41.63	13.07	3.19	8.00	4.10
36	48.47	7.25	6.69	6.00	3.00
60	52.40	7.21	7.27	6.00	3.00
AVG	47.82	8.89	5.58		3.24
STDs	3.97	2.44	1.60		0.46

TABLE 4.1.2 : Information of hole No. 5

SAMPLENO	A1203	SiO2	MODULE	FROM	TO	THICKNESS
Sah5-1	48.74	10.56	4.62	2.60	3.10	0.50
Sah5-2	49.26	9.14	5.39	3.10	3.60	0.50
Sah5-3	45.86	6.60	6.95	3.60	4.10	0.50
Sah5-4	44.01	7.78	5.66	4.10	4.60	0.50
Sah5-5	47.25	7.49	6.31	4.60	5.10	0.50
Sah5-6	47.50	12.15	3.91	5.10	5.70	0.60
AVG	47.10	8.95	5.26			
TOTAL THICKNESS						3.10

TABLE 4.1.3 : Information of hole No. 19

SAMPLENO	A1203	SiO2	MODULE	FROM	TO	THICKNESS
Sah19-1	49.70	8.94	5.56	4.50	5.00	0.50
Sah19-2	48.00	7.29	6.58	5.00	5.50	0.50
Sah19-3	49.43	9.42	5.25	5.50	6.00	0.50
Sah19-4	43.87	8.48	5.15	6.00	6.50	0.50
Sah19-5	53.89	7.56	7.10	6.50	7.00	0.50
Sah19-6	52.58	5.98	8.79	7.00	7.50	0.50
AVG	49.51	7.95	6.23			
TOTAL THICKNESS						3

TABLE 4.1.4 : Information of hole No. 22

SAMPLENO	A1203	SiO2	MODULE	FROM	TO	THICKNESS
Sah22-1	47.36	6.43	7.37	3.50	4.00	0.50
Sah22-2	39.47	18.11	2.18	4.00	4.50	0.50
Sah22-3	49.51	18.33	2.70	4.50	5.00	0.50
Sah22-4	37.60	16.54	2.27	5.00	5.50	0.50
Sah22-5	38.72	12.50	3.10	5.50	6.00	0.50
Sah22-6	37.79	12.74	3.09	6.00	6.50	0.50
Sah22-7	38.44	16.24	2.37	6.50	7.00	0.50
Sah22-8	44.12	9.00	4.90	7.00	7.60	0.60
AVG	41.63	13.87	3.04			
TOTAL THICKNESS						4.10

TABLE 4.1.5 : Information of hole No. 36

SAMPLENO	A1203	SiO2	MODULE	FROM	TO	THICKNESS
Sah36-1	50.75	8.69	5.84	1.50	2.00	0.50
Sah36-2	40.52	9.53	4.25	2.00	2.50	0.50
Sah36-3	49.67	6.19	8.02	2.50	3.00	0.50
Sah36-4	49.55	5.80	8.54	3.00	3.50	0.50
Sah36-5	48.94	6.17	7.93	3.50	4.00	0.50
Sah36-6	51.41	7.13	7.21	4.00	4.50	0.50
AVG	48.47	7.25	6.58			
TOTAL THICKNESS						3

TABLE 4.1.6 : Information of hole No. 60

SAMPLENO	A1203	SiO2	MODULE	FROM	TO	THICKNESS
Sah60-1	60.07	9.54	6.30	5.60	6.10	0.50
Sah60-2	53.73	8.35	6.43	6.1	6.6	0.50
Sah60-3	48.77	3.95	12.35	6.6	7.1	0.50
Sah60-4	47.46	5.53	8.58	7.1	7.6	0.50
Sah60-5	55.39	8.87	6.24	7.6	8.1	0.50
Sah60-6	48.95	7	6.99	8.1	8.6	0.50
AVG	52.40	7.21	7.27			
TOTAL THICKNESS						3

## اجرای حفاری کرگیری :

اجرای حفاری کرگیری با دو دستگاه حفاری وايرلاين DB 455 و DB 456 در منطقه آغاز شد . اولین گمانه ها شماره های 420 و 368 بودند که گمانه 420 در عمق ۸۸ متری زون بوکسیت را به ضخامت ۳ متر قطع کرد و گمانه 968 در عمق ۶۳ متری پس از کمر بالا مستقیماً وارد دلومیت شد و فاقد بوکسیت بود . باتوجه به اینکه فاصله این دو گمانه ۴۰۰ متر می باشد و نسبتاً " زیاد است ، جهت روشن شدن وضعیت ادامه بوکسیت بین این دو محل وسط آنها گمانه شماره 394 حفاری شد که در عمق ۴۹ متری فقط نیم شد . بوکسیت کاندس را قطع کرد و وارد دلومیت شد با حفر این سه گمانه مشخص گردید که امیدی به دپو و بوکسیت در سمت جنوب کانسار نمی باشد و از طرفی باتوجه به اینکه گمانه شماره 470 حاوی ماده معدنی بود و در گوشه جنوب غربی کانسار قرار داشت حفر گمانه شماره 416 نیز ضروری بنظر می رسید و این گمانه نیز حفر گردید و در عمق ۱۰۰ متری ماده معدنی را به ضخامت ۲۰٪ متر قطع کرد . مشخصات این گمانه ها در جدول ۱۹-۴ آمده است و موقعیت آنها در نقشه شماره ۲ مشاهده می شود .

باتوجه به نتایج گمانه های فوق مشخص شد که در بخش جنوب کانسار امیدواری به وجود ماده معدنی نیست و در بخش جنوب غربی نیز ماده معدنی به ضخامت کم وجود دارد ولی در عمق زیاد بوده و استخراج آن با روش روباز مقرن به صرفه نبوده و علت زیاد شدن ناکهانی عمق کانسار نیز وجود یک گسل با روند شمال غرب جنوب شرق است و در نتیجه با حفر این چهار حلقه گمانه حفاری کرگیری متوقف گردیده .

جدول ۱۹-۴ مشخصات گمانه های کرگیری

شماره گمانه	X	Y	Z	ضخامت کمر بالا	ضخامت بوکسیت	ضخامت کمر پایین	عمق نهایی
368	۱۳۰۰	۱۱۱۵		63	0	5.15	68.15
394	۱۲۲۰	۱۲۰۵		50.1	0.5	5.1	56.5
416	۱۱۲۵	۱۱۵۰		100	0.2	2.5	102.7
420	۹۳۵	۱۳۰۰		88.2	2	7.8	98

### ۳- منطقه گدار زرد

۱-۳- بررسی رخمنوئهای بوکسیت جهت نمونه برداری  
باتوجه به کیفیت مطلوب نمونه های سطحی این منطقه لنزها و رخمنوئهای  
بوکسیتی این کانسار از نزدیک بررسی شد که ذیلاً خلاصه ای از مشخصات  
آنها ذکر می شود .

منطقه گدار زرد دارای دو شیت نقشه ۱:۵۰۰۰ می باشد که یک بخش آن به  
نام دره آغل یا گدار زرد با کد GZ و بخش دیگر به نام بخش جنوب شرق  
گدار زرد با کد SGZ معروف می باشد . بخش دره آغل دارای چند لنز  
بوکسیتی محدود است و تعدادی از آنها نیز دارای ذخیره ناچیز بوده و در  
ارتفاعات قرار دارند . ولی در بخش جنوب شرقی بوکسیت به صورت لایه  
ای و ضخامت تقریباً یکنواخت می باشد ، البته شیب لایه ها در بخش  
جنوب شرقی تقریباً زیاد می باشد و بخش رو باز آنها جهت استخراج ناچیز  
خواهد بود ولی در عین حال به علت وجود کیفیت خوب در این منطقه کلیه  
لنزا بررسی شدند تعدادی از لنزهای بخش جنوب شرقی حتی نمونه برداری  
سطحی از آنها انجام نشده است و به علت مشابهت آنها به توده های آذرین  
اطراف از جمله بازالت به آنها توجیهی نشده است که لازم است در این  
مرحله از اکتشاف نمونه برداری سطحی از آنها انجام شود که ذیلاً با بررسی  
لنزا مختلف پیشنهاد نوع عملیات اکتشافی برای آنها ذکر شده است .

نمونه های برداشت شده نشان می دهد که کیفیت کلیه مقاطع و ترانشه های  
نمونه برداری شده مطلوب است ولی مسئله ای که باید بررسی شود میزان  
ذخیره قابل استحصال اقتصادی آنها است .

- بخشی که از قبل جهت حفاری و ادامه کار مدنظر بوده است محدوده  
لنزا ۷، ۱۲ و ۱۳ در دره آغل و محدوده لنزها ۱۹، ۲۰، ۲۱ و ۲۲ در  
بخش غربی جنوب شرقی گدار زرد است که جاده نیز برای دسترسی به این  
دو محل احداث شده است . پیش بینی ذخیره برای دره آغل حدود ۱۰۰ هزار  
تن و برای محدوده لنزها ۱۹ تا ۲۲ حدود ۵۰ هزار تن میباشد . این دو

محدوده حدود یک پنجم رخمونهای بوكسيتی گدارزد را تشکیل می دهند .  
ساير لنزها نيز بررسی شد که خلاصه اين امر به شرح ذيل ميباشد . ( در جدول  
شماره ۲۰-۴ بطور خلاصه تر اين مطالب آورده شده )

#### - لنزهای شماره ۶ تا ۱۱ :

از اين لنزها فقط لنز شماره ۱۰ وضعیت نسبتاً " مطلوبی دارد . گسترش آن حدود ۵۰ متر ، افراز ۵۰ متر و ضخامت آن حدود ۳ متر ميباشد . ذخیره آن تقریباً ۲۰ هزار تن است . احداث جاده جهت این لنز پرهزینه خواهد بود و نیاز به حدود ۲۰۰ متر ترانشه زنی بوسیله بلدوزر است . برای اكتشاف اين لنز دو حلقه گمانه با عمق حدود ۳۰ متر نیاز است ، ساير لنزها دارای گسترش ، افراز و ضخامت ناچیزند و همه آنها در بخش غربی جنوب شرقی گدارزد و در شمال جاده واقع شده اند .

#### لنزهای بخش شرقی جنوب شرقی گدارزد :

##### - لنزهای ۱ و ۲ :

اين دو لنز در سمت شمال جاده واقعند و ضخامت حدود ۴ متر و گسترش حدود ۱۰۰ متر دارند ، بعلت برگشته بودن شیب آنها فقط تاعمق حدود ۲۰ متر قابل استخراج هستند . ذخیره اين دو لنز حدود ۲۵ هزارتن ميباشد . امكان حفاری وجود ندارد و پس از نمونه برداری سطحی می توانند تا عمق گفته شده استخراج شوند .

##### - لنزهای ۳ و ۴ :

اين دو لنز در ادامه لنز شماره ۲ به سمت شمال حدود ۲۰۰ متر گسترش دارند . ضخامت آنها حدود ۴ متر است و با وجود شیب زیاد لایه ها در آنجا تا عمق ۵ متر قابل استخراج هستند . ذخیره اين محدوده حدود ۱۲۰ هزارتن برآورد می شود ، جهت دسترسی به آنها نیاز به احداث جاده ای به طول ۶۰۰ متر است که حدود ۳۰۰ متر آن در کنار آبراهه و بقیه اش

نیاز به ترانشه ذنی با بلدوژ راست . جهت اکتشاف آنها ابتدا باید نمونه برداری سطحی انجام شود و سپس ۳ حلقه گمانه زاویه دار در فاصله ۵۰۰ متری از رخنمون و هر یک به عمق حدود ۵۰ متر حفر گردد .

#### - لنز شماره ۲۹ :

این لنز در امتداد لنز شماره ۱ به سمت جنوب قرار دارد . گسترش آن حدود ۴۰ متر و دارای ۳۰ متر افزای است ، ضخامت بوکسیت در آنجا حدود ۱ متر است و ذخیره آن حدود ۵ هزار تن می باشد . برای اکتشاف آن پس از نمونه برداری سطحی و احداث یک جاده به طول ۵۰ متر در کف آبراهه نیاز به حفر یک گمانه زاویه دار به عمق حدود ۳۰ متر و در فاصله ۲۰ متری از رخنمون است .

#### - لنهای ۲۲ و ۲۸ :

این لنهای در قسمت جنوب لنز ۲۹ حدود ۲۰۰ متر گسترش دارند و شیب لایه ها در آنجا زیاد می باشد ( حدود ۷۵ درجه ) ، حدود ۸۰ متر افزای دارند ولی بعلت شیب زیاد لایه ها احتمالاً نسبت ۷/۰ زیاد خواهد بود . برای اکتشاف آنها پس از نمونه برداری سطحی می توان سه حلقه گمانه در کف آبراهه غربی بصورت زاویه دار حفر نمود ولی فعلاً اکتشاف آن توصیه نمی شود .

#### - بخش جنوبی لنز شماره ۲۷ :

این بخش حدود حدود ۵۰۰ متر گسترش دارد و به شکل یک ناودیس می باشد و بنظر میرسد در قسمت های جنوبی باطله آن کم باشد . شکل زیر یک مقطع از آن را نشان می دهد .

در این بخش بوکسیت بصورت پیوسته و با ضخامت حدود ۳ متر و افزای ۱۰۰ متر وجود دارد . ذخیره این محدود حدود ۴۵۰ هزار تن برآور می شود . جهت دسترسی به آنها نیاز به یک جاده به طول ۸۰۰ متر است که ۳۰۰

متر آن در کف آبراهه و ۵۰۰ متر دیگر نیاز به ترانشه زنی است .  
جهت اکتشاف آن نیاز به نمونه برداری سطحی و حفر حدود ۱۰ حلقه گمانه  
۵۰ متری است .

#### - لنزهای ۲۴ و ۲۵ :

این دو لنز در کنار آبراهه اصلی قرار دارند و افزار ناچیزی داشته و  
باطله روی آنها نیز زیاد است و فقط قسمت رخنمون آنها را می‌توان  
براحتی استخراج کرد و برای بقیه آنها بنظر میرسد نسبت  $w/0$   
غیراقتصادی شود ، چون پیوستگی چندانی ندارند و بصورت دو لنز جدا از  
هم می‌باشند . گسترش کلی آنها حدود ۸۰ متر ولی ضخامت در یک جا به  
۱۰ متر هم می‌رسد . ذخیره این دو لنز حدود ۱۰ هزار تن برآورد می‌شود .

#### - لنز شماره ۲۶ :

این لنز دارای حدود ۷۰ متر افزار می‌باشد که در قسمت اعظم آن نیز باطله  
وجود ندارد . ضخامت آن به ۵ متر میرسد و گسترش حدود ۱۵۰ متر دارد .  
آنالیز آن فعلاً موجود نیست و برای اکتشاف آن پساز نمونه برداری  
سطحی می‌توان حدود ۵ حلقه گمانه کم عمق ۲۰ تا ۳۰ متری در قسمت کمر  
بالا حفاری نمود . شکل زیر یک مقطع از این لنز را نشان می‌دهد .  
ذخیره این لنز حدود ۱۲۰ هزار تن برآورد می‌شود .

#### - بخش جنوبی لنز :

در این قسمت نیز یک لنز با گسترش حدود ۱۰۰ متر و ضخامت ۲ تا ۴ متر و  
افزار حدود ۳۰ متر وجود دارد . شبلایه‌ها نیز در آنجا کم است و ذخیره  
آن حدود ۳۰ هزار تن برآورد می‌شود . در این لنز باید نمونه برداری  
سطحی انجام شود و سپس ۳ حلقه گمانه ۳۰ متری در فاصله حدود ۳۰ متر  
از رخنمون حفر گردد . برای دسترسی به لنز شماره ۲۶ و بخش جنوبی آن  
نیاز به احداث یک جاده به طول ۷۰۰ متر است که ۵۰۰ متر آن کفی و

۲۰۰ متر ترانشه زنی نیاز است.

بدین ترتیب در منطقه گدارزد پیش‌بینی می‌شود حدود یک میلیون تن ذخیره بوکسیت با کیفیت خوب و ۵/۷ کمتر از ۵ وجود داشته باشد و برای اکتشاف آنها پس از نمونه برداری سطحی در برخی از نقاط می‌توان بخشی از حفاری را با واگن دریل انجام داد، ولی در بخش دیگر نیاز به حفاری کرگیری می‌باشد. لنت‌هایی که نمونه برداری نشده‌اند و یا "احتمالاً" نمونه برداری شده ولی فعلاً آنالیز آنها موجود نیست ظاهراً دارای کیفیت عالی می‌باشند و یکپارچه درکل زون بوکسیت سخت مشاهده می‌شود، ولی قطعاً نمونه برداری سطحی ادامه کار را مشخص می‌کند زیرا ممکن است توده‌های نفوذی منطقه باعث آلودگی بوکسیت شده باشد.

جدول شماره ۴-۵۰۲ : خلاصه مشخصات لیزرهای جنوب شرقی که ارزید

عملیات اکتشافی لازم	اولویت اکتشافی	دزیره احتمالی درباره هزارتن	فنا مست بهم متر	کسترسن بهم متر	افراز بهم متر	شماره لیزرهای بهم متر
—	۳	—	۱	۳	—	۱۱۶۷۸۸۹،۹۱۱
حفر ۳ حلقه کمانه ۳۰ متری احداث ۷۰۰ متر جاده	۲	۲۰	۲	۵۰	۵۰	۱۰
نمونه برداری سطحی و ۳ حلقه کمانه نمونه برداری سطحی و ۳ حلقه کمانه نمونه برداری سطحی و ۳ حلقه کمانه	۲	۲۵	۴	۱۰۰	۲۰	۲۰
نمونه برداری سطحی و ۳ حلقه کمانه نمونه برداری سطحی و ۳ حلقه کمانه نمونه برداری سطحی و ۳ حلقه کمانه	۲	۱۲۰	۴	۲۰۰	۵۰	۴۰
نمونه برداری سطحی و ۳ حلقه کمانه نمونه برداری سطحی و ۳ حلقه کمانه نمونه برداری سطحی و ۳ حلقه کمانه	۲	۴	۱/۴	۴۰	۳۰	۲۹
نمونه برداری سطحی و ۳ حلقه کمانه نمونه برداری سطحی و ۳ حلقه کمانه نمونه برداری سطحی و ۳ حلقه کمانه	۲	۲۰۰	۲	۲۰۰	۸۰	۲۷ و ۲۸
نمونه برداری سطحی و ۳ حلقه کمانه نمونه برداری سطحی و ۳ حلقه کمانه نمونه برداری سطحی و ۳ حلقه کمانه	۱	۴۵۰	۲	۵۰۰	۱۰۰	۲۷
نمونه برداری سطحی و ۳ حلقه کمانه نمونه برداری سطحی و ۳ حلقه کمانه نمونه برداری سطحی و ۳ حلقه کمانه	۲	۱۰	۵	۸۰	۳	۲۵ و ۲۶
نمونه برداری سطحی و ۳ حلقه کمانه نمونه برداری سطحی و ۳ حلقه کمانه	۱	۱۲۰	۴	۱۵۰	۷۰	۲۶
نمونه برداری سطحی و ۳ حلقه کمانه	۱	۳۰	۲	۱۰۰	۳۰	۲۶

۲-۳- برآورد تعداد نمونه و تعیین محل های نمونه برداری  
جهت انجام اکتشاف نیمه تفصیلی کلیه محل ها از نظر کیفیت مناسبند و از  
نظر کمی نیز بررسی شدند که تعدادی از آنها مناسب به نظر می رساند که  
در بخش قبل ذکر شدند و نوع عملیات اکتشافی نیز بسته به وضعیت  
رخنمون کانسار و توپوگرافی محل در بخش گذشته پیشنهاد گردید.

۱- برآورد تعداد نمونه لازم برای اکتشاف نیمه تفصیلی  
برای منطقه گدار زرد نیز اصول کلی نمونه برداری مانند آنچه در بخش  
طراحی نمونه برداری صدر آباد ذکر شد رعایت گردید و با توجه به  
واریانس پارامترهای مختلف تعداد نمونه لازم برای تعیین آنها مشخص  
گردید. همانطور که قبلاً در فصل سوم ذکر گردید در منطقه گدار زرد  
تعداد ۴۴ نمونه از ۴۴ مقطع و ترانشه برداشت و پارامترهای A1203 ،  
SiO<sub>2</sub> و مدول برای آنها اندازه گیری شده است. ضخامت بوکسیت نیز  
برای ۴۴ محل اندازه گیری گردیده.

در اینجا نیز برای دو حالت طراحی انجام گرفت، یکی با درنظر گرفتن  
۴۴ نمونه که در آن A1203 ، SiO<sub>2</sub> و مدول مشخص است و دیگری برای  
۴۴ مقطع و ترانشه که در آن علاوه بر میانگین پارامترهای A1203 ، SiO<sub>2</sub> و  
مدول ضخامت بوکسیت نیز مشخص است. بدینهی است حالت اول برای  
تعیین عیار کانسار کافی است و حالت دوم برای تعیین دقیق ذخیره  
کانسار می باشد. طراحی با توجه به حالت اول در جداول ۲۲-۴ تا ۲۵-۴  
آمده است. در این جداول با توجه به پذیرفتن خطای نمونه برداری از  
۵ تا ۲۰ درصد تعداد نمونه لازم از فرمول  $N=S2 * Z2/E2$  بدست آمده  
است. با پذیرفتن خطای ۱۰ درصد که در این مرحله از اکتشاف مناسب  
است تعداد نمونه برای پارامترهای A1203 ، SiO<sub>2</sub> و مدول بترتیب ۲ ،  
۸۶ ، ۱۱۲ نمونه خواهد بود که اکثر ما ۱۱۲ نمونه که مربوط به متغیر  
مدول با بیشترین واریانس است را نیز در نظر بگیریم، تعداد نمونه  
برداشت شده نه تنها کافی است بلکه خطای کمتری از مورد انتظار ما

را نیز خواهد داشت برای حالت دوم تعداد نمونه لازم با پذیرفتن خطا از ۵ تا ۲۰ درصد در جداول ۲۶-۲ تا ۲۹-۲ آمده است در اینجا بیشترین واریانس مربوط به ضخامت بوکسیت است که اگر ما خطای ۱۰ درصد را برای محاسبه ذخیره بپذیریم تعداد نمونه لازم ۱۱۸ خواهد شد که بدین معنی است که در ۱۱۸ محل باید پارامتر ضخامت اندازه گیری شود که ۴۴ محل آن در مرحله اکتشاف مقدماتی تعیین شده و نیاز به ۷۶ محل دیگر می باشد که باید توسط حفر گمانه یا ترانشه مشخص شوند .

#### -۲- تعیین محل های نمونه برداری

باتوجه به آنچه در بخش بررسی رخنمونها گفته شد ترانشه ها و مقاطع نمونه برداری در این منطقه توزیع همگنی نداشته و تنها در بخش های خاصی متراکم شده است و در برخی جاهای نیز به فواصل زیاد در طول رخنمون کانسار نمونه برداری انجام نگردیده است که در این مرحله باتوجه به نتایج بررسی رخنمونها، در محل های مناسب اقدام به حفر ترانشه و گمانه جهت نمونه برداری خواهد شد . قبله گفته شد که تعداد نمونه برای پارامترهای عیار کانسار کافی است ولی از آنجایی که این نمونه ها توزیع یکسانی در کانسار ندارند ، از ترانشه ها و گمانه های مرحله نیمه تفصیلی نیز نمونه برداری برای تعیین پارامترهای عیاری کانسار انجام خواهد شد .

محل هایی که در این مرحله از اکتشاف نمونه برداری خواهند شد عبارتند از : لنزهای شماره ۱، ۲، ۳، ۴، ۲۶، ۲۷، ۲۸ و ۲۹ که با حفر ترانشه و گمانه نمونه برداری می شوند و در بخش جنوب شرقی دره آغل قرار دارند . در محدوده لنزهای ۱۹ تا ۲۳ نیز تعدادی گمانه حفر خواهد شد . برای لنزهای شماره ۷، ۱۱، ۱۲ و ۱۳ نمونه برداری سطحی کافی است و باید تعدادی گمانه حفر شود .

Table 4.22 : (E=5%AVG)

	Al <sub>2</sub> O <sub>3</sub> %	SiO <sub>2</sub> %	MODULE
AVG	50.7	6.34	7.99
STD	3.83	3.00	4.32
S.N	247	247	247
S.N.N	9	345	450
CI (N=9)	2.50	1.96	2.82
CI (N=345)	0.40	0.32	0.46
CI (N=450)	0.40	0.32	0.46

Table 4.23 : (E=10%AVG)

	Al <sub>2</sub> O <sub>3</sub> %	SiO <sub>2</sub> %	MODULE
AVG	50.7	6.34	7.99
STD	3.83	3.00	4.32
S.N	247	247	247
S.N.N	2	86	112
CI (N=2)	5.31	4.16	5.99
CI (N=86)	0.81	0.63	0.91
CI (N=112)	0.71	0.56	0.80

Table 4.24 : (E=15%AVG)

	Al <sub>2</sub> O <sub>3</sub> %	SiO <sub>2</sub> %	MODULE
AVG	50.7	6.34	7.99
STD	3.83	3.00	4.32
S.N	247	247	247
S.N.N	1	38	50
CI (N=1)	7.51	5.89	8.47
CI (N=38)	1.22	0.96	1.37
CI (N=50)	1.06	0.83	1.20

Table 4.25 : (E=20%AVG)

	Al <sub>2</sub> O <sub>3</sub> %	SiO <sub>2</sub> %	MODULE
AVG	50.7	6.34	7.99
STD	3.83	3.00	4.32
S.N	247	247	247
S.N.N	1	22	28
CI (N=1)	7.51	5.89	8.47
CI (N=22)	1.60	1.26	1.81
CI (N=28)	1.42	1.11	1.60

Table 4.26 : (E=5%AVG)

	Al <sub>2</sub> O <sub>3</sub> %	SiO <sub>2</sub> %	MODULE	THICKNESS
AVG	50.36	6.84	7.36	1.61
STD	3.11	2.53	2.74	0.89
S.N	44	44	44	44
S.N.N	6	211	213	471
CI (N=6)	2.48	2.03	2.19	0.71
CI (N=211)	0.42	0.34	0.37	0.12
CI (N=213)	0.42	0.34	0.37	0.12
CI (N=471)	0.28	0.23	0.25	0.08

Table 4.27 : (E=10%AVG)

	Al <sub>2</sub> O <sub>3</sub> %	SiO <sub>2</sub> %	MODULE	THICKNESS
AVG	50.36	6.84	7.36	1.61
STD	3.11	2.53	2.74	0.89
S.N	44	44	44	44
S.N.N	1	53	53	118
CI (N=1)	6.09	4.96	5.37	1.75
CI (N=53)	0.84	0.68	0.74	0.24
CI (N=53)	0.84	0.68	0.74	0.24
CI (N=118)	0.56	0.46	0.49	0.16

Table 4.27 : (E=15%AVG)

	Al <sub>2</sub> O <sub>3</sub> %	SiO <sub>2</sub> %	MODULE	THICKNESS
AVG	50.36	6.84	7.36	1.61
STD	3.11	2.53	2.74	0.89
S.N	44	44	44	44
S.N.N	1	23	24	52
CI (N=1)	6.09	4.96	5.37	1.75
CI (N=23)	1.27	1.04	1.12	0.36
CI (N=24)	1.24	1.01	1.10	0.36
CI (N=52)	0.84	0.69	0.75	0.24

Table 4.28 : (E=20%AVG)

	Al <sub>2</sub> O <sub>3</sub> %	SiO <sub>2</sub> %	MODULE	THICKNESS
AVG	50.36	6.84	7.36	1.61
STD	3.11	2.53	2.74	0.89
S.N	44	44	44	44
S.N.N	1	13	13	29
CI (N=1)	6.09	4.96	5.37	1.75
CI (N=13)	1.69	1.38	1.49	0.48
CI (N=13)	1.69	1.38	1.49	0.48
CI (N=26)	1.13	0.92	1.00	0.32

۳-۳- نتایج انجام عملیات اکتشاف نیمه تفصیلی

تعداد ۲۳ مقطع و ترانشه در لنزهای ۱، ۲، ۳، ۴، ۲۶، ۲۷، ۲۸ و ۲۹ برداشت و نمونه برداری شد که نتایج آنها به شرح جدول ۳۰-۴ می باشد.

در بخش گدارزرد تعداد ۲۵ نقطه جهت حفاری پیش‌بینی شد که ۱۶ نقطه آن حفاری کردید، اطلاعات این گمانه‌ها در جدول ۳۱-۴ آمده است.

از بخش جنوب شرقی گدارزرد تعداد ۲۷ نقطه جهت حفاری پیش‌بینی شد که ۲۶ نقطه آن حفاری کردید که نتایج آنها بشرح جدول ۳۲-۴ است.

TABLE 4.30 : Information of sections and trenches sampled in this phase of exploration.

LOCATION	Al2O3%	SiO2%	MODUL	LOCATION	Al2O3	SiO2%	MODULE
SGZL26S1-2	48.51	7.29	6.65	SGZL27S5-6	49.11	6.2	7.92
SGZL26S2-9	45.64	11.25	4.06	SGZL27S6-6	44.5	10.1	4.41
SGZL26S3-2	5.38	27.87	0.19	SGZL28TR2-6	45.17	12.06	3.75
SGZL26S4-2	41.43	11.61	3.57	SGZL28TR3-3	47.39	13.17	3.60
SGZL26S5-2	48.06	10.61	4.53	SGZL28TR4-3	44.81	10.8	4.15
SGZL26S6-2	47.42	7.71	6.15	SGZL28TR5-4	45.31	10.82	4.19
SGZL27S1-4	44.42	12.4	3.58	SGZL28TR6-2	49.17	7.55	6.51
SGZL27S2-3	49.81	7.08	7.04	SGZL28TR7-7	42.58	14.16	3.01
SGZL27S3-2	43.01	11.57	3.72	AVG	43.90	11.37	3.86
SGZL27S4-2	48.49	12.32	3.94	STDs	9.92	4.72	1.80

TABLE 4.31 : Information of GODARZAZARD bore holes.

No	B.H.No	H.W	Ore	F.W	F.D	INC	Al2O3%	SiO2%	AREA
1	Gz.B.H.1	9.5	0.1	1.4	11				L2
2	Gz.B.H.2	10.7	0.1	3.2	14				L2
3	Gz.B.H.3	26.2	1		27.2		46.52	8.44	L3
4	Gz.B.H.5	33			33	35			L7
5	Gz.B.H.16	15.5	1.5	13	30	35			
6	Gz.B.H.20	2	6.8	21.2	30		48.45	7.27	L7
7	Gz.B.H.25	13.55	4.45	3	21		44.42	12.71	L7
8	Gz.B.H.27	10.3	0	1.7	12				L7
9	Gz.B.H.28	13	0	5	18				
10	Gz.B.H.35	26.5			26.5				L12
11	Gz.B.H.37	14.55	1.1	2.35	18		14.21	9.7	
12	Gz.B.H.38	12.9	2.3	0.8	16		33.68	10.51	
13	Gz.B.H.40	13.35	0.1	1.55	15				
14	Gz.B.H.42	8.25	6.6	2.15	17		34.35	9.36	
15	Gz.B.H.44	29.5	0	1	30.5				
16	Gz.B.H.45	30			30				
	AVG	16.8	1.85	4.7	21.83		36.94	9.67	
	TOTAL				349.2				

H.W = hanging wall thickness

F.W = foot wall thickness

O = Ore thickness

F.D = Final depth

TABLE 4.32 : South GODARZARD bore holes information.

No	B.H.No	H.W	O	F.W	F.D	Al2O3%	SiO2%	ANC.
1	SGZBH-1	11.1	0	0.9	12			
2	SGZBH-2	18	1.8	1.2	21	48.55	16.76	
3	SGZBH-3	9	0	2.5	11.5			
4	SGZBH-4	4.8	0	1.2	6			
5	SGZBH-5	23.3	2.6	1.1	27	45.3	9.72	
6	SGZBH-6	17.3	0	6.7	24			
7	SGZBH-7	18			18			
8	SGZBH-11	12.5	0	2.5	15			40
9	SGZBH-15	0.6	0	8.4	9			35
10	SGZBH-16	2.8	0	3.2	6			
11	SGZBH-17	6.4	0	1.6	8			
12	SGZBH-18	9.25	0	1.75	11			
13	SGZBH-19	14	0	1	15			
14	SGZBH-2	8			8			
15	SGZBH-23	1.5	0	3	4.5			
16	SGZBH-24	13.5	0	3	16.5			
17	SGZBH-25	22.5	0	1.5	24			
18	SGZBH-26	0	3	2.5	5.5			
19	SGZBH-30	5	0.7	0.3	6	25.79	18.32	22
20	SGZBH-31	17			17			25
21	SGZBH-32	19.4	3.9	0.7	24	35.72	30.55	18
22	SGZBH-33	22.45	0	1.05	23.5			20
23	SGZBH-34	18	4.5	1.5	24	43.14	14.5	12
24	SGZBH-35	0	3.4	0.6	4	40.33	16.24	23
25	SGZBH-36	0	4	1.5	5.5	44.04	11.89	51
26	SGZBH-38	10.5	5.35	2.15	18	42.55	16.76	40
27	SGZBH-39	30			30			32
	AVG	11.66	1.27	2.17	14.59	40.68	16.84	
	TOTAL				394			

H.W. = Hanging wall thickness.

F.W. = Footwall thickness.

O = Ore thickness.

F.D. = Final depth.

ANC. = Angle of bore hole.

فصل پنجم :

تحلیل نتایج اکتشاف نیمه تفصیلی

## ۱- منطقه صدر آباد

### ۱-۱- زمین شناسی و تکتونیک

در این بخش هدف شناسایی زمین شناسی مهندسی جهت برنامه ریزی و طراحی استخراج کانسار و نیز تکتونیک محدوده کانسار و شناسایی گسل های این محدوده است .

کمر بالای ماده معدنی :

کمر بالای ماده معدنی با توجه به اطلاعات بدست آمده از حفاریها از مجاورت بوکسیت به بالا تا ارتفاع ۳۵ متری به شرح زیر می باشد .

۱- ۴ متر شیل تیره رنگ

۲- ۲ متر ماسه سنگ

۳- ۸ متر شیل و سیلت

۴- ۲/۵ متر ماسه سنگ

۵- ۴/۵ متر شیل

۶- ۱/۵ متر ماسه آهکی

۷- ۱۳/۵ متر شیل

زون بوکسیت :

ضخامت بوکسیت در این محدوده از صفر تا ۸/۳ متر متغیر است و عمدتاً "از بوکسیت بسیار سخت تشکیل شده ولی ندرتاً" در کمر بالای آن لایه کائولنی نیز مشاهده می شود . تجربه حفر ۵ حلقه چاهک نشان داد که جهت استخراج این لایه حتماً "به آتشباری نیاز می باشد . سختی این لایه نیز زیاد بوده و جهت استخراج آن مسلماً "استهلاک ماشین آلات نیز بمراتب بیشتر از استخراج و برداشت باطله خواهد بود .

## ۲-۱- شکل و محدوده کانسار

نقشه شماره ۲ ضمیمه محدوده بدست آمده برای کانسار را نشان می دهد . این محدوده با اکتشافات عمقی توسط حفاری با واکن دریل و حفاری کرگیری بدست آمده است . مقاطع کانسار نیز در نقشه های ضمیمه ۹ تا ۱۱ آمده است همانطور که مشاهده می شود کانسار بصورت لایه ای بوده و با شیب ملایم در عمق صفرتا حدود ۳۵ متری در زیر رسوبات کمر بالا کسترده می باشد . نقشه های شماره ۴ و ۵ به ترتیب نقشه های هم ضخامت کمر بالا (روباره) و بوکسیت می باشند . نقشه های شماره ۶ و ۷ نقشه های هم عمق برای کمر بالا و کمر پایین ماده معدنی است .

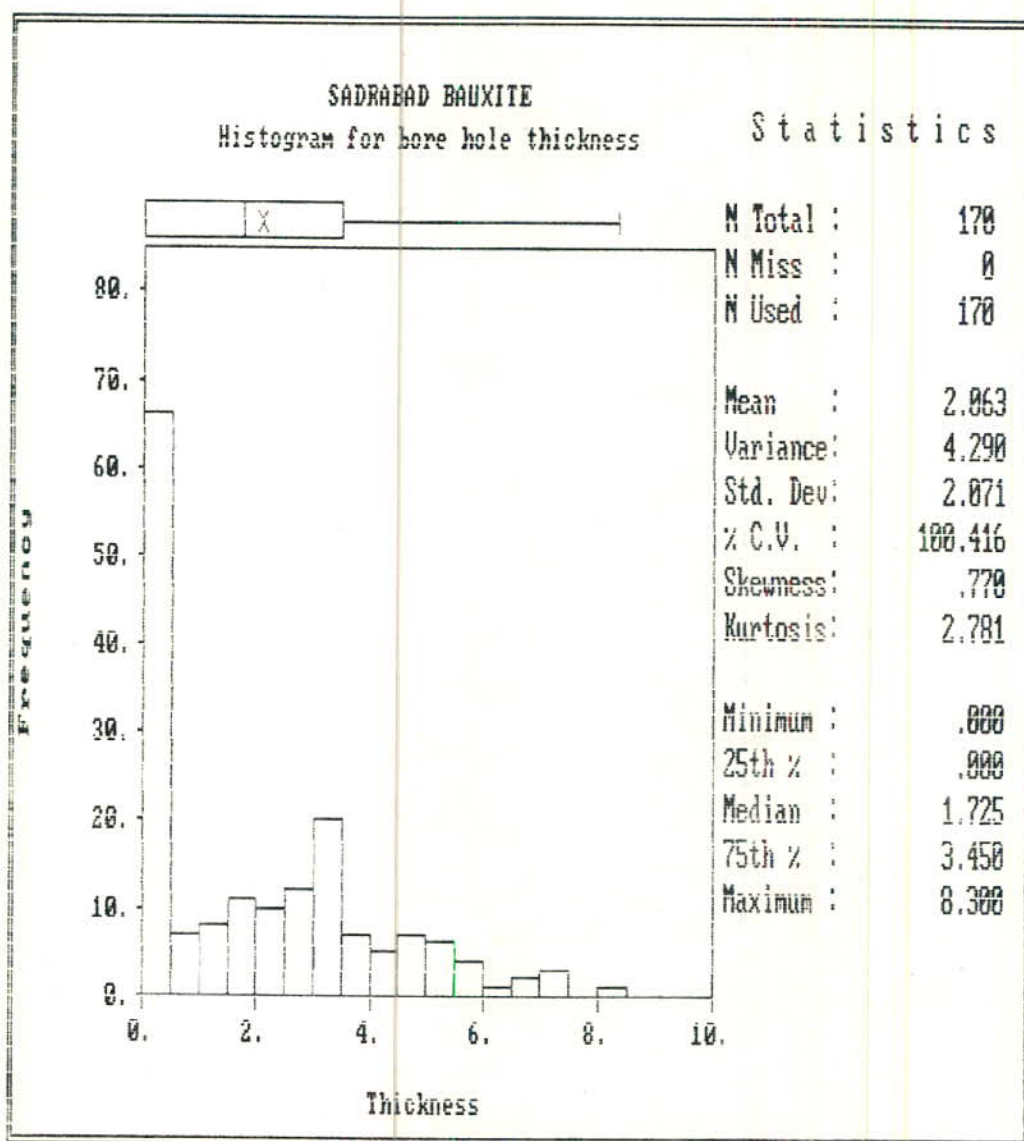
## ۳-۱- بررسی زمین آماری اطلاعات بدست آمده از کانسار

بررسی زمین آماری برای این کانسار می تواند برای تخمین عیار و ذخیره انجام گیرد . البته باید ببینیم که در این کانسار ساختاری وجود دارد یا خیر ؟ سپس در صورت وجود ساختار مجازیم با روش کریجینگ تخمین های لازم را انجام دهیم . متغیرهای ما در این کانسار عبارت خواهند بود از A1203-۱ SiO<sub>2</sub>-۲ A1203-۳ مدول ۴- ضخامت ۵- حاصلضرب ضخامت در A1203-۶- حاصلضرب ضخامت در SiO<sub>2</sub>-۷ حاصلضرب ضخامت در مدول . از آنجایی که مدول تابع SiO<sub>2</sub> و A1203 است بامشخص شدن این دو پارامتر مدول نیز مشخص خواهد شد ، در نتیجه متغیرهای ما به پنج پارامتر تقلیل می یابد .

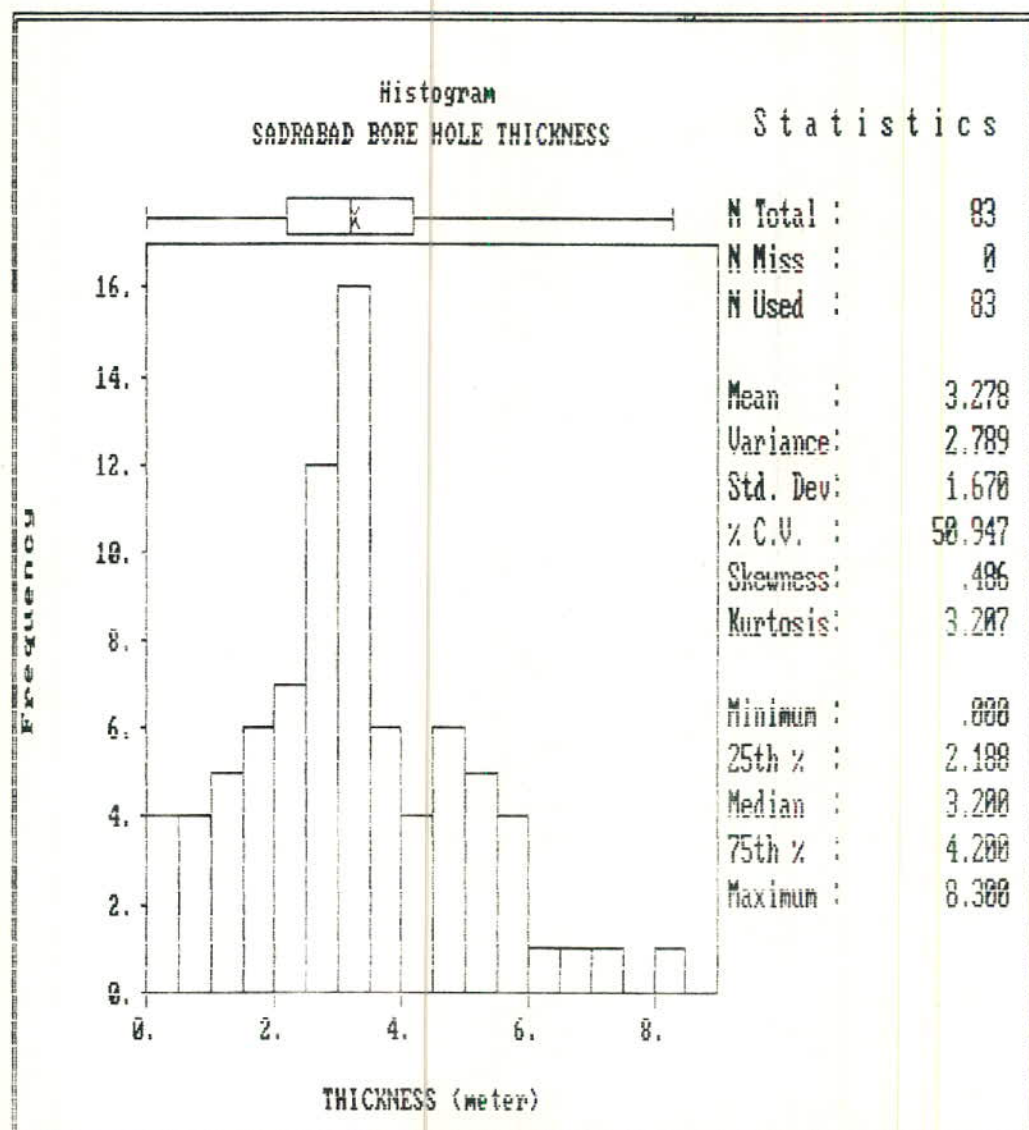
شکل های ۱-۵ تا ۵-۵ توزیع فراوانی مقدار پارامترهای فوق را نشان می دهد . مطالعات واریوگرافی نشان داد که برای پارامترهای فوق ساختار وجود دارد .

شکل های ۵-۶ تا ۱۲-۵ واریوگرامهای غیرجهتی این پارامترها را

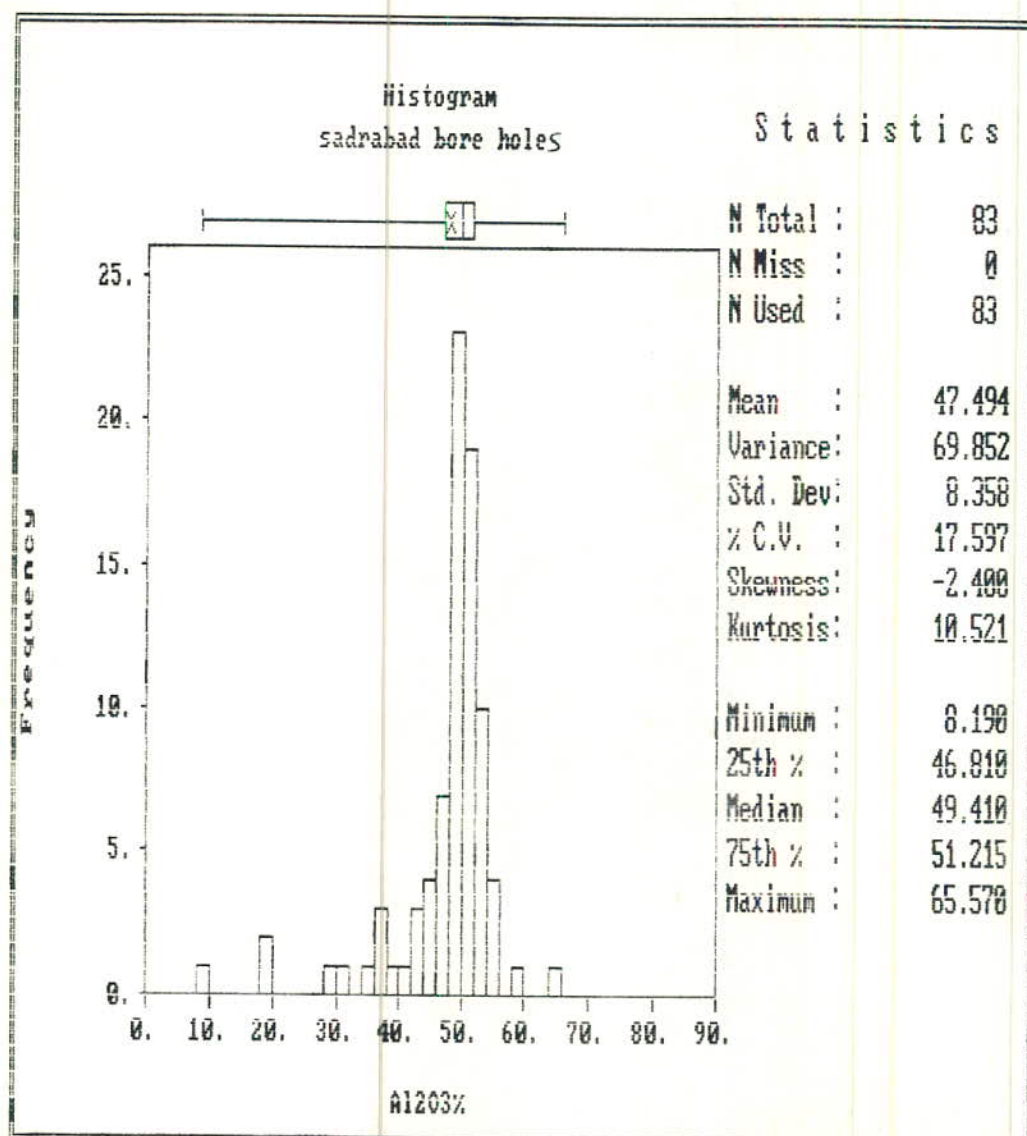
شکل شماره ۵-۱ : هیستوگرام فراوانی - ضخامت گمانه های اکتشافی  
کانسار بوكسیت صدر آباد .



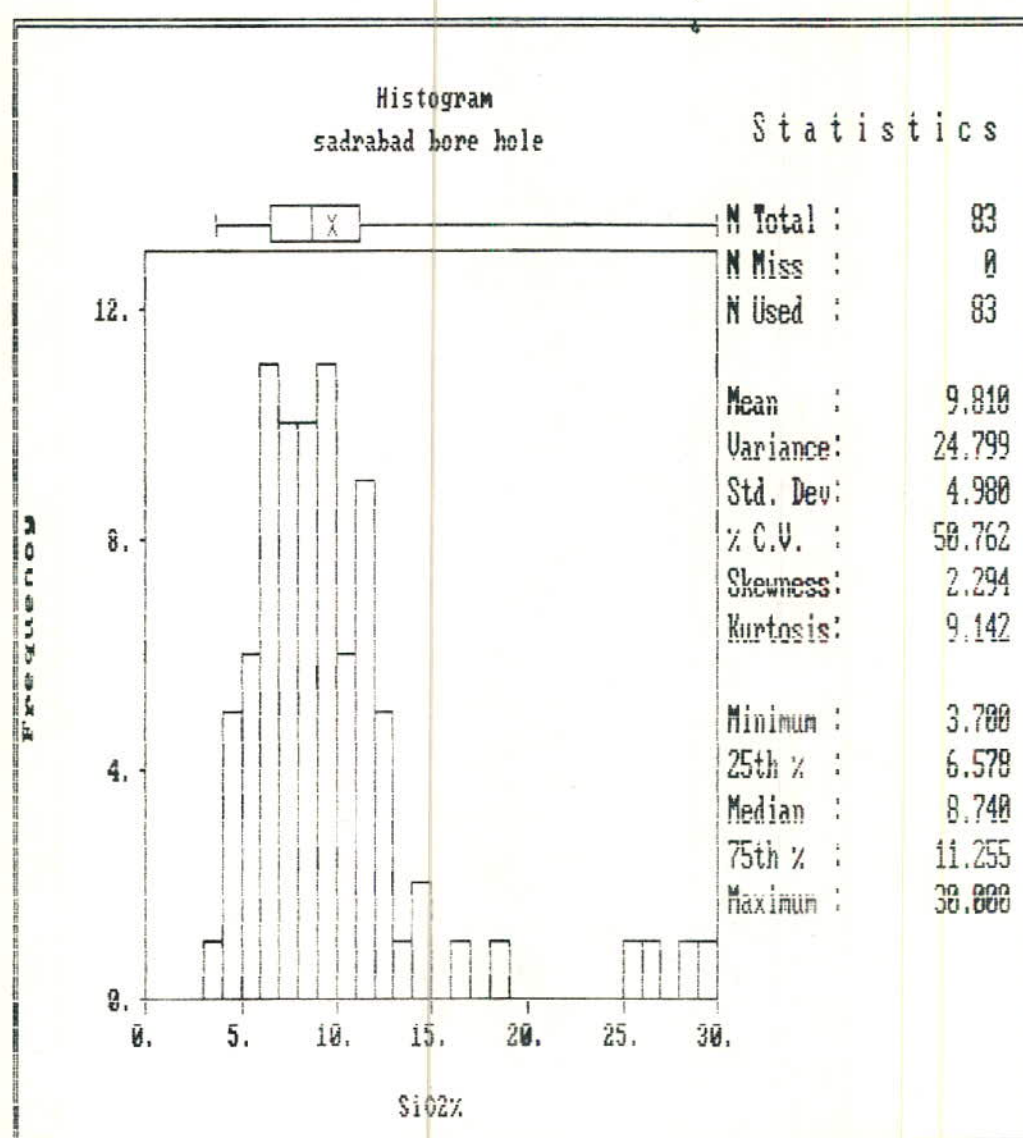
شکل شماره ۵-۲ : هیستوگرام فراوانی - ضخامت گمانه های اکتشافی کانسار بوکسیت صدر آباد که کیفیت بوکسیت آنها مشخص است.



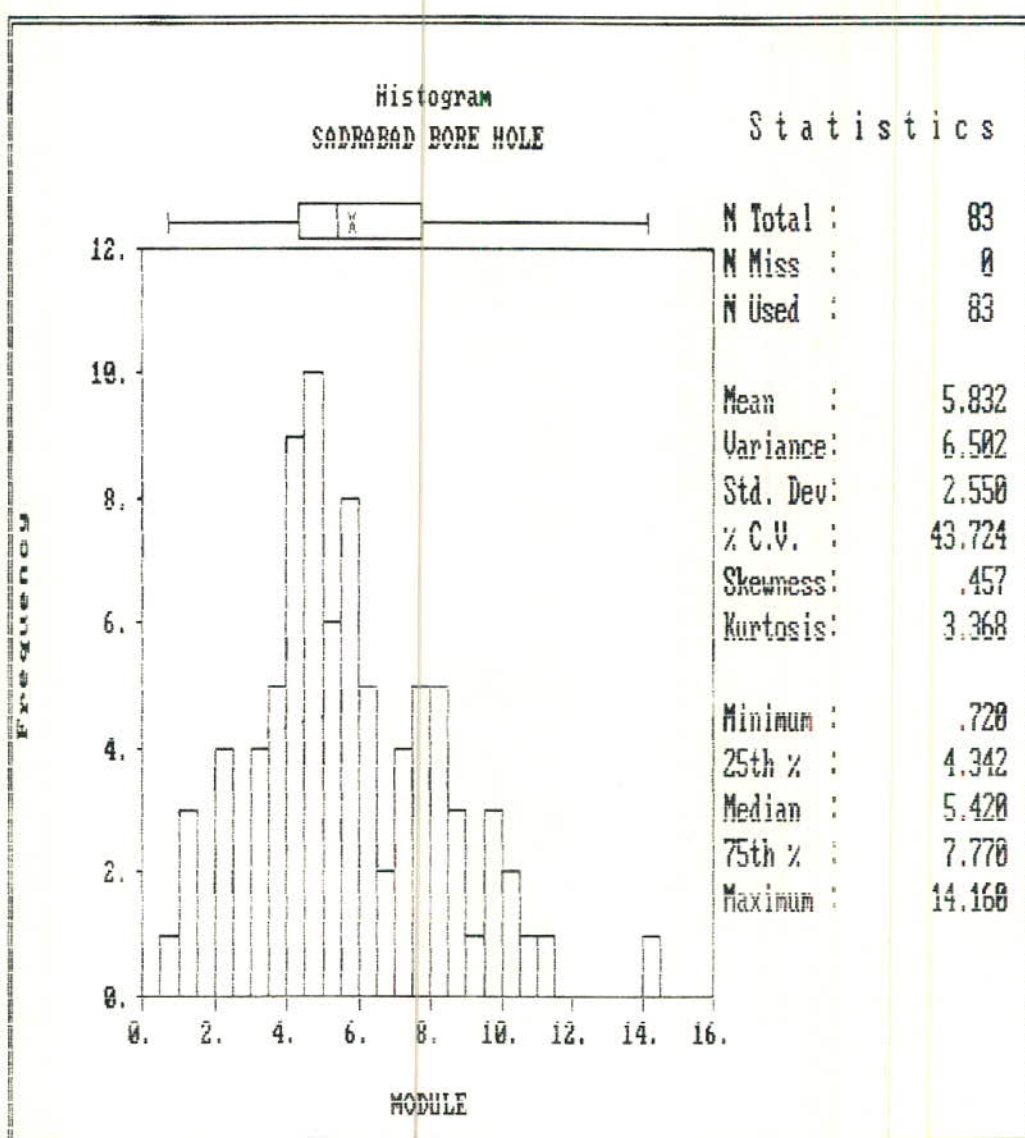
شکل شماره ۳-۵ : هیستوگرام فراوانی - درصد Al2O3 در گمانه های اکتشافی کانسار بوکسیت صدر آباد .



شکل شماره ۵-۴ : هیستوگرام فراوانی - درصد SiO<sub>2</sub> در گمانه های اکتشافی کانسار بوکسیت صدر آباد .



شکل شماره ۵-۵ : هیستوگرام فراوانی - درصد MODULE در گمانه های اکتشافی کانسار بوگسیت صدر آباد .



نشان می دهند . و اریوگرامهای جهتدار نیز برای پارامترهای فوق تهیه گردید و نشان داد در کانسار روئند خاصی وجود ندارد و تقریباً "غیر ایزوتروپی در آن مشاهده نگردید . البته این موضوع برای این تیپ کانسار که لایه‌ای می باشد نه تنها خارج از انتظار نیست بلکه طبیعی است .

#### ۴-۱- بررسی کیفی ماده معدنی

نتایج آنالیز نمونه های سطحی در جدول شماره ۳-۳ آمده است و در کانسار ۵ حلقه چاهک حفر شده است که از هر چاهک نیم متر به نیم متر نمونه گیری شده است که نتایج آن در جدول ۱۱-۴ آمده و ریز آنالیز ها نیز در جداول شماره ۱۲-۴ تا ۱۷-۴ آورده شده است . مشخصات و آنالیز گمانه ها نیز در جداول بخش محاسبه ذخیره آورده شده است و در جدول ۵-۱ اطلاعات مربوط به گمانه های واکن دریل آورده شده است بنچه های شماره ۱۲، ۱۳، ۱۴ و ۱۵ به ترتیب نقشه های هم ارزش برای  $Al2O3$  و  $SiO2$  مدلول می باشد .

#### ۵-۱- محاسبه ذخیره و حجم باطله کانسار

محاسبه ذخیره برای این کانسار می تواند به روش های کوناکون انجام شود از جمله روش مقاطع ، روش پلی گون ، روش کریجینگ و ... در اینجا به دو روش مقاطع و کریجینگ تخمین ذخیره انجام میشود .

##### ۱- روش مقاطع

در این روش با استفاده از مقاطع کانسار ( نقشه های ۹ تا ۱۱ ) که به فواصل منظم ۵۰ متر از یکدیگر می باشد ، ذخیره کانسار مطابق جدول شماره ۳-۵ محاسبه گردیده است . در این جدول کانسار به چهار بلوک که در آینده نیز می تواند به صورت چهار کارگاه جداگانه استخراج شود و در نقشه شماره ۲ محدوده آنها

مشخص شده تقسیم بندی شدند که عبارتند از :

۱- بلوک N بخش شمالی کانسار

۲- بلوک NE بخش شمال شرقی کانسار

۳- بلوک C قسمت مرکزی کانسار

۴- بلوک SW بخش جنوب غربی کانسار ( محدوده زیرزمینی )

اطلاعات مربوط به محاسبه ذخیره کانسار در جداول شماره ۲-۵

آمده است .

تخمین عیار و ذخیره با روش کریجینگ

تخمین های لازم پس از انجام مطالعات واریوگرافی برای کانسار انجام شد ، رنج بدست آمده برای پارامترهای مختلف حداقل ۱۵۰ متر می باشد . بیشترین رنج برای A1203 و کمترین آن برای مدول و ضخامت بدست آمده است . پارامترهای تخمین زده شده به شرح ذیل می باشند :

میانگین A1203 برابر  $47/89$  درصد با انحراف معیار  $5/45$

میانگین SiO<sub>2</sub> برابر  $9/4$  درصد با انحراف معیار  $2/03$

میانگین ضخامت در کل منطقه  $2/15$  متر با انحراف معیار  $1/44$

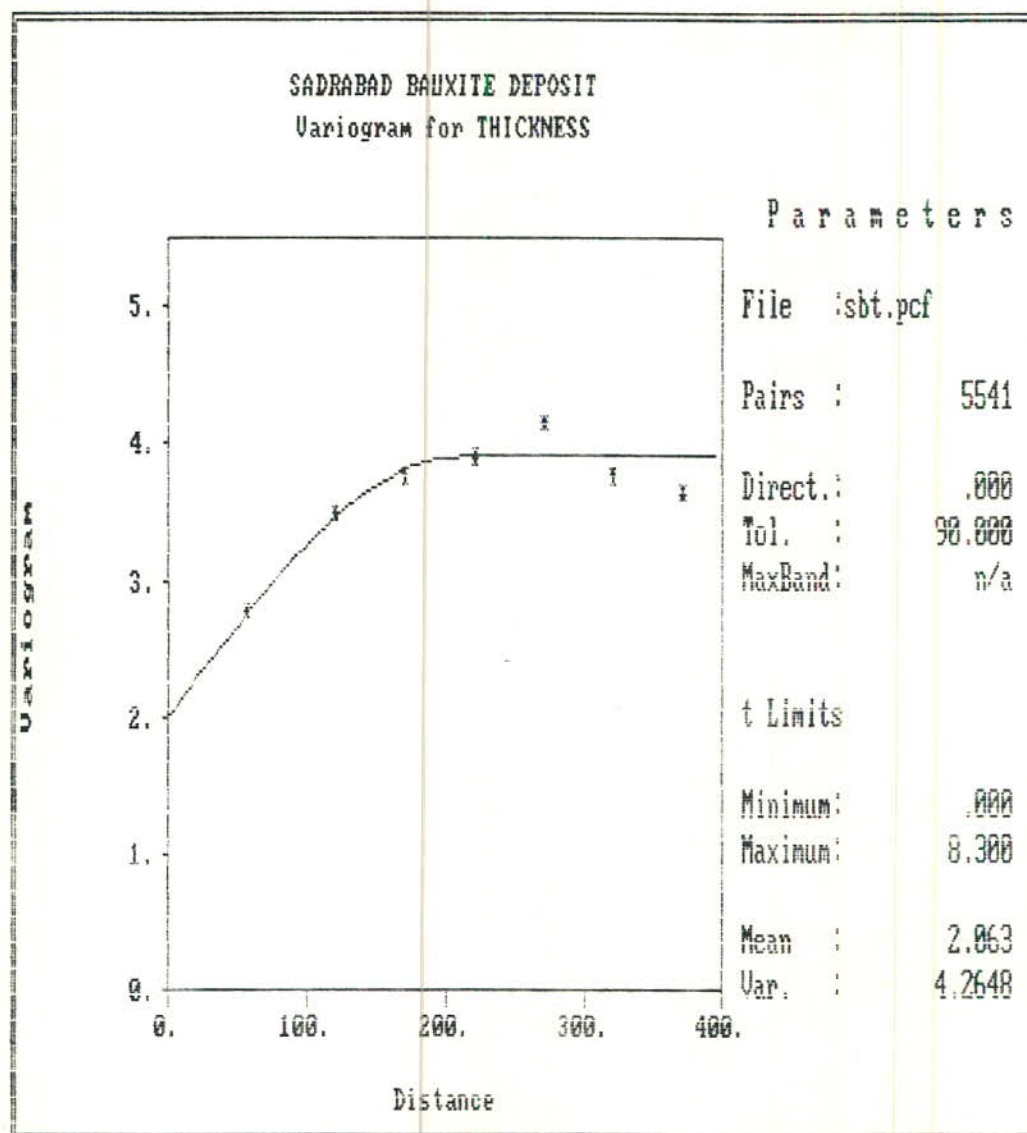
میانگین ضخامت در محدوده کانسار  $2/3$  متر با انحراف معیار  $1/02$

با نتایج فوق ذخیره کانسار در کل محدوده حدود  $2/7$  میلیون تن

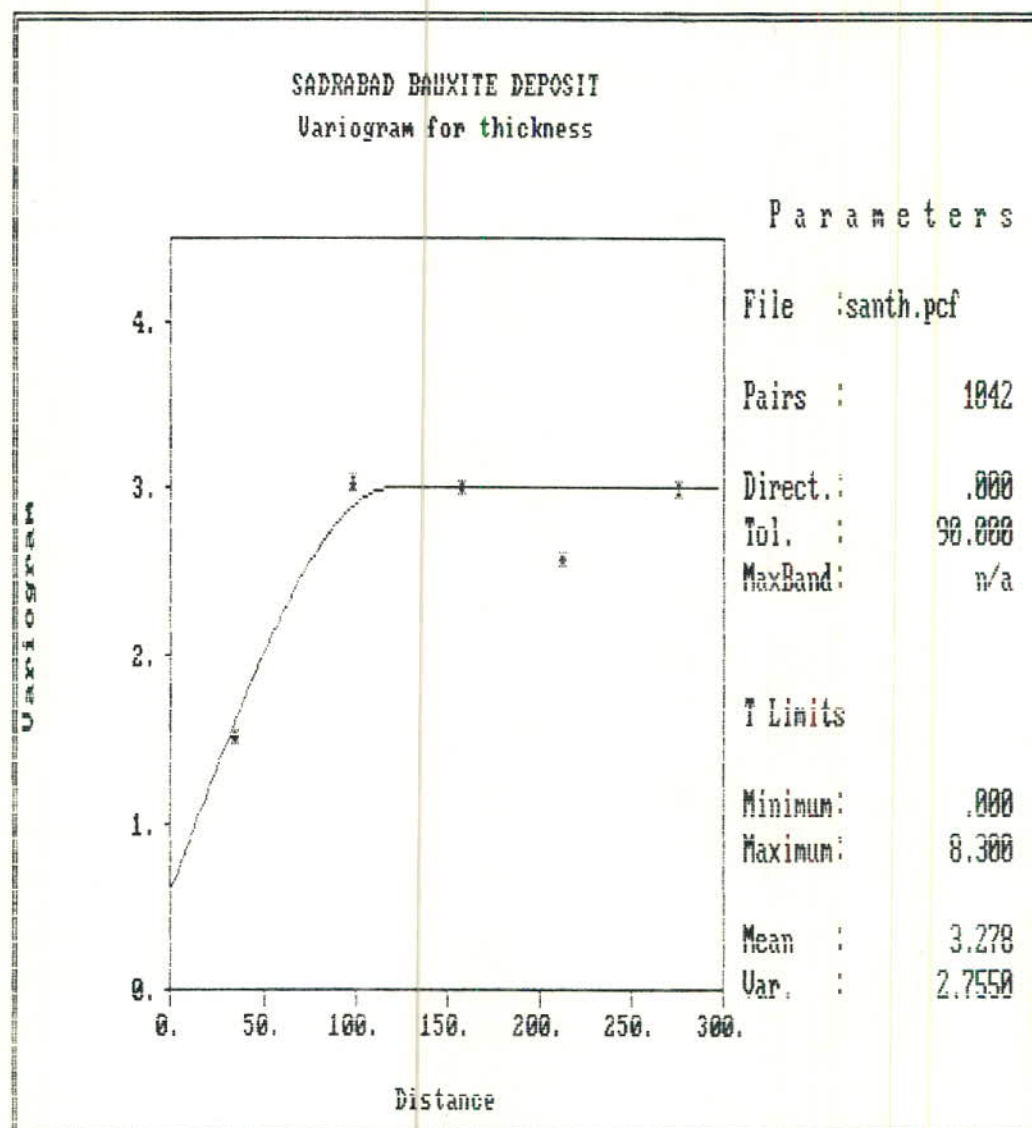
برآورد می شود که با حذف ضخامت های کمتر از نیم متر به  $2/5$

میلیون تن خواهد رسید .

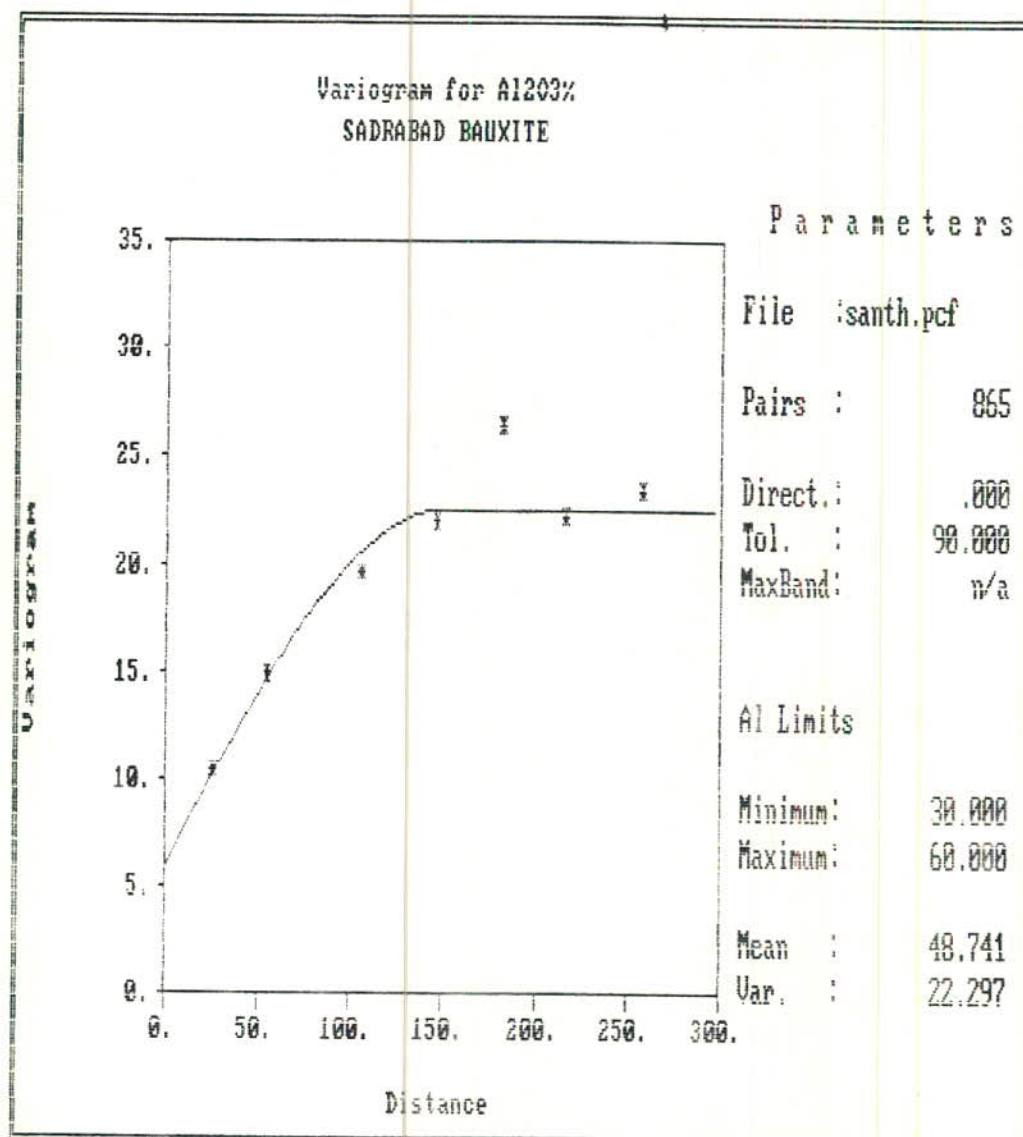
شکل شماره ۵-۶ : واریوگرام غیرجهتی برای ضخامت بوکسیت در کمانه های اکتشافی کانسار بوکسیت صدر آباد .



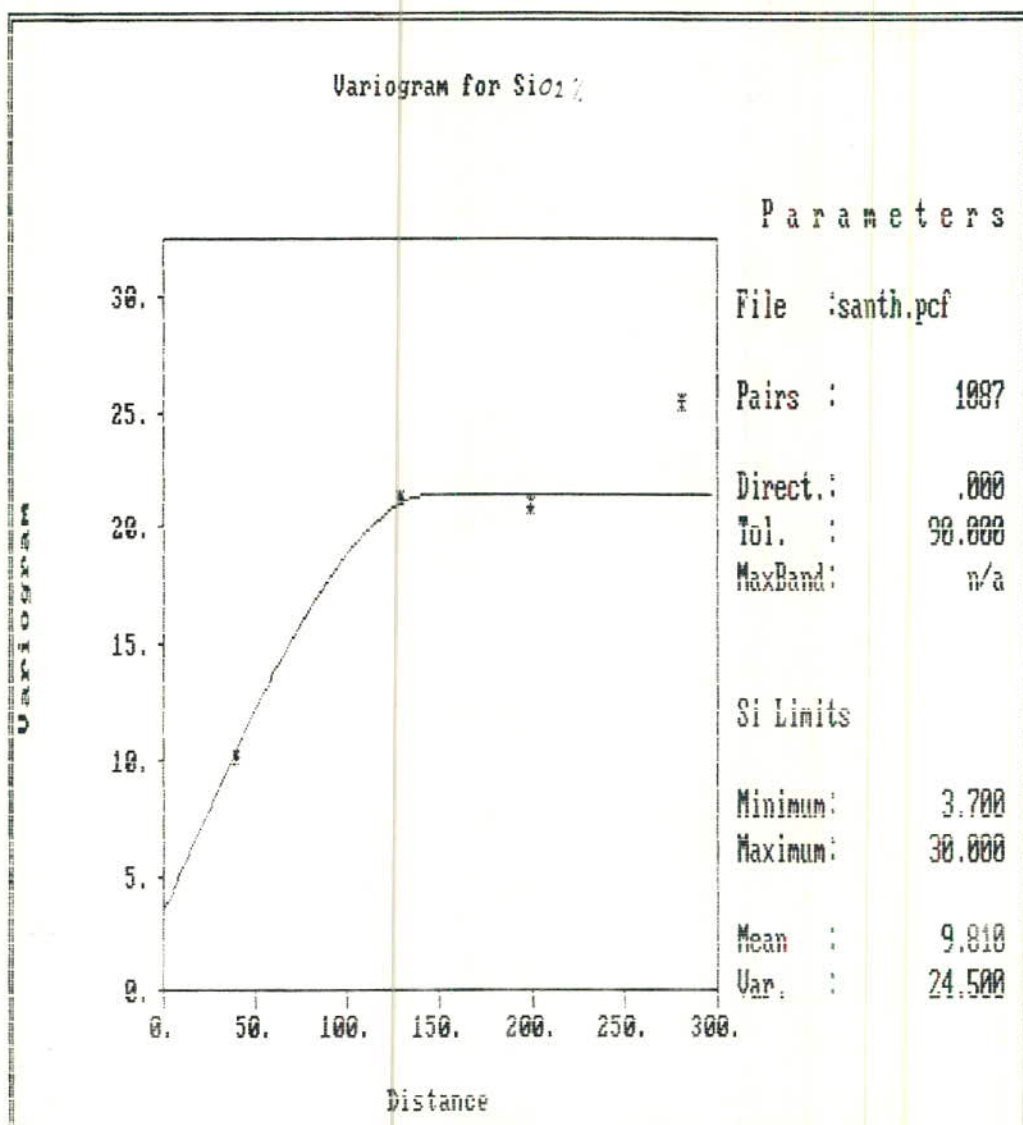
شکل شماره ۵-۲ : واریوگرام غیرجهتی برای ضخامت بوکسیت در گمانه های اکتشافی کانسار بوکسیت صدر آباد که کیفیت آنها مشخص است .



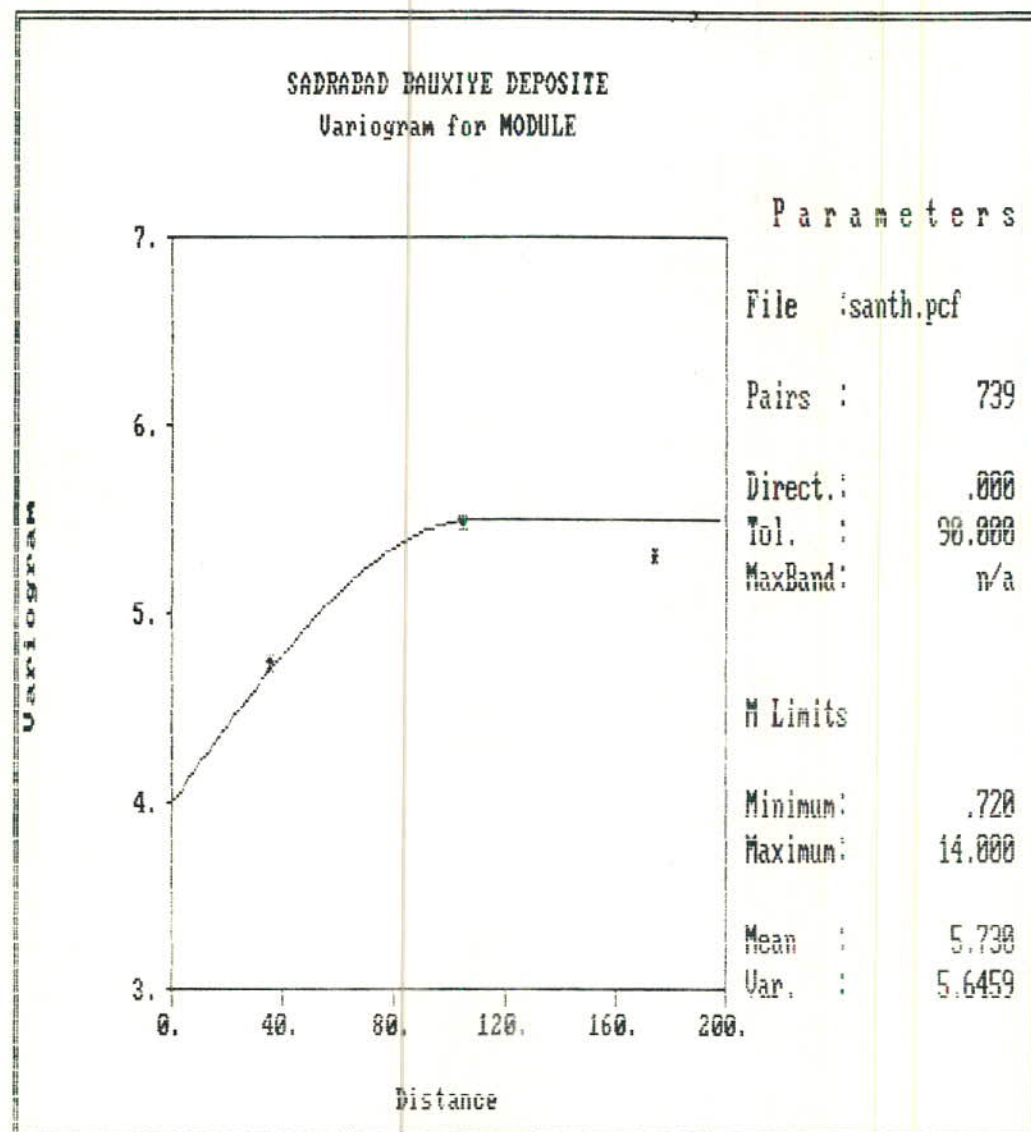
شکل شماره ۵-۸ : واریوگرام غیرجهتی برای درصد Al2O3 در گمانه های اکتشافی کانسار بوکسیت صدر آباد .



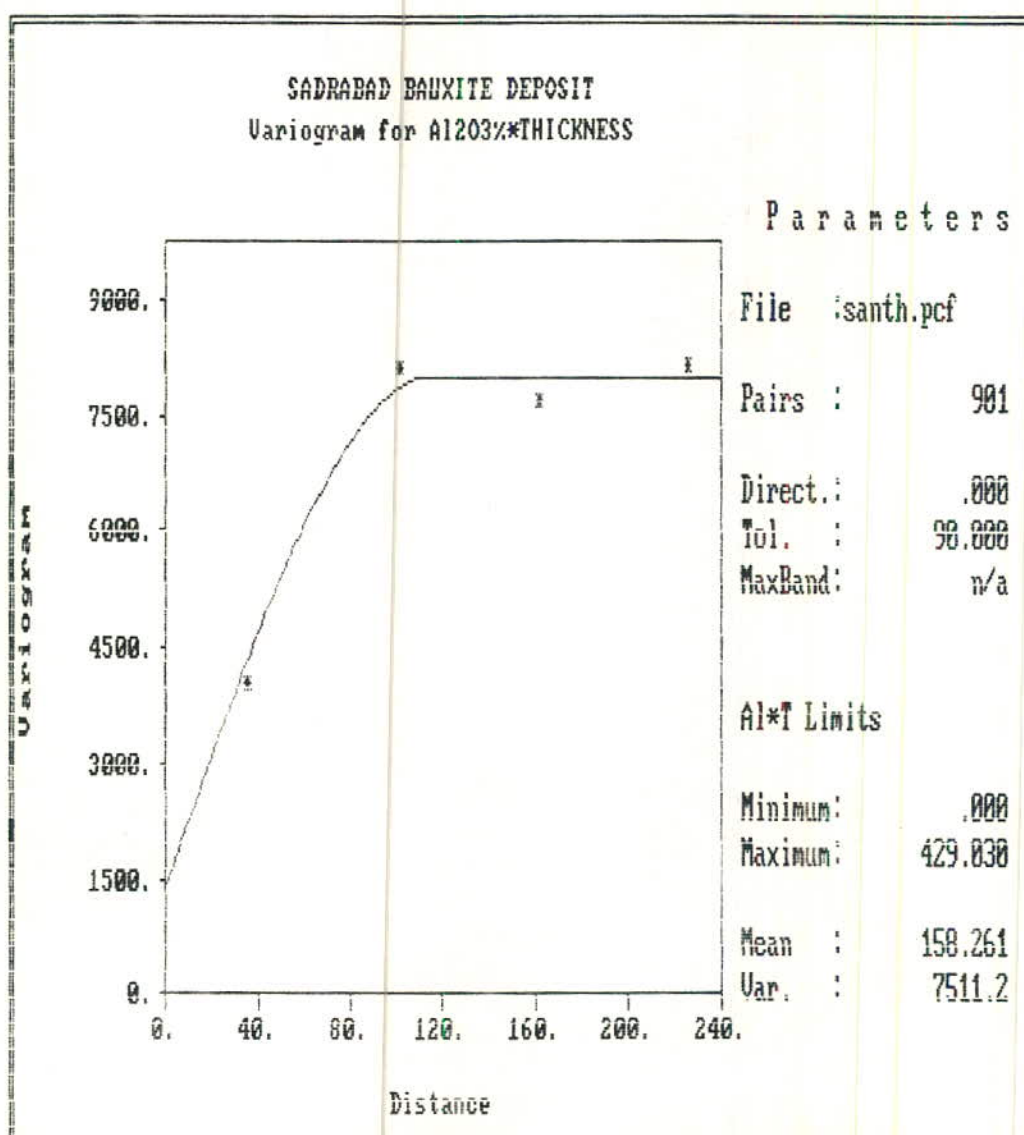
شکل شماره ۵ - ۹ : واریوگرام غیرجهتی برای درصد  $\text{SiO}_2$  در کمانه های اکتشافی کانسار بوکسیت صدر آباد .



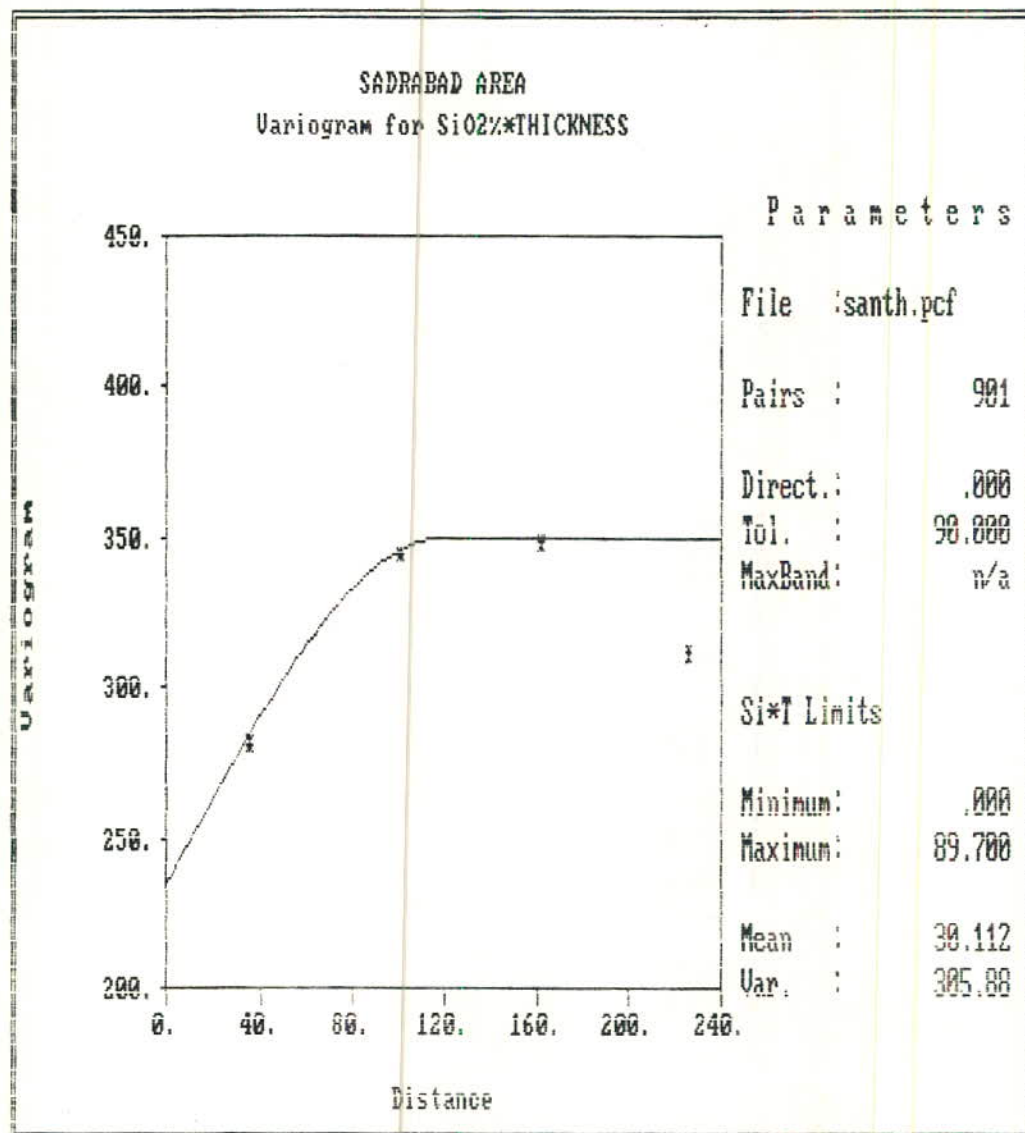
شکل شماره ۵-۱۰ : واریوگرام غیرجهتی برای مقدار MODULE در گمانه های اکتشافی کانسار بوكسیت صدر آباد .



شکل شماره ۱۱ - ۵ : واریوگرام غیرجهتی برای حاصلضرب درصد Al2O3 در خامات بوکسیت برای گمانه های اکتشافی کانسار بوکسیت صدر آباد .



شکل شماره ۵-۱۲ : واریوگرام غیرجهتی برای حاصلضرب درصد S102 در خامات بوکسیت برای گمانه های اکتشافی کانسار بوکسیت صدر آباد.



S  
TABLE 5.1 : SADRABAD BORE HOLE INFORMATIONS

No	BH No	X	Y	Z	H.T.	B.T	F.T	F.D	Al203	SiO2	MODULE
1	3	1312	1559	2323	22.2	1.9	1.9	26	49.11	8.35	5.88
2	4	1287	1516	2325	14.8	4.7	0.5	20	45.74	6.54	6.99
3	5	1262	1473	2322	2.7	3.45	0.85	7	47.1	8.95	5.26
4	5	A	1268	1484		6.35	4.95	1	12.3	51.26	5.16
5	5	B	1270	1495		9.2	5.65	0.15	15	51.52	6.37
6	5	C	1281	1505		13.1	2	0.2	15.3	50.14	5.75
7	5	D	1273	1467		4.6	4.5	1.9	11	51.85	7.32
8	5	E	1279	1478		7	5.1	0.9	13	48.41	6.23
9	5	F	1285	1489		11.15	3.45	0.4	15	48.92	5.66
10	5	G	1292	1499		13.8	2.65	0.55	17	46.88	8.7
11	5	H	1298	1510		15.1	2.35	0.65	18.1	51.2	8.74
12	5	I	1284	1460		9.45	4.95	2.1	16.5	51.83	5.09
13	5	J	1290	1471		6.2	3.4	0.9	10.5	44.37	9.66
14	5	L	1303	1482		11.5	3.9	1.1	16.5	50.64	5.36
15	5	M	1309	1503		14.15	3.6	0.25	18	46.38	12.91
16	5	N	1294	1454		7.5	3.2		10.7	42.73	12.4
17	5	O	1300	1465		7.8	6.3	0.4	14.5	48.03	12.3
18	5	P	1306	1476		6.3	3.2		9.5	51.03	11.57
19	5	Q	1313	1486		7.1	5.8	0.7	14	47.43	12.78
20	5	R	1319	1497		11.75	1.3	0.95	14		
21	5	S	1311	1458		4.5	5.5	2	12	50.88	11.63
22	5	T	1317	1469		6.55	4.1	1.85	12.5	49.94	10.73
23	5	U	1323	1480		8	3.5	0.5	12	55.26	9.33
24	7		1212	1386	2318	10.85	4.6	0.55	16	48.71	8.34
25	8		1187	1343	2316	12.55	3.95	1.5	18	43.89	9.13
26	9		1162	1300	2315	21.7	4.8	2	28.5		
27	10		1605	1967	2349	30.55	0	0.45	31		
28	11	A	1567	1911	2347	32.05	0	0.45	32.5		
29	13		1530	1837	2343	24.25	0	1.75	26		
30	14		1505	1794	2341	28	3.1	0.9	32	49.1	11.03
31	16		1455	1707	2339	31.7			31.7		
32	19		1380	1577	2331	5.35	3.05	3.6	12	51.03	4.94
33	20		1355	1535	2328	19.9	2.1		22		
34	21		1340	1485	2326	10.3	0	1.7	12		
35	22		1305	1447	2321	3.5	4.1	3.15	10.75	41.53	9.75
36	23		1280	1404	2321	18.35	1.9	2.75	23		
37	24		1255	1361	2313	9.3	8.3	2.4	20	51.69	8.39
38	25		1230	1318	2309	33			33		
39	27		1649	1942	2354	28.7	1.3	0.2	30.2		
40	28		1621	1899	2352	21.2	2.8	1	25	37.8733	11.6
41	29		1599	1855	2350	17.35	0	2.65	20		
42	30		1574	1812	2348	13.15	0.5	1.35	15		

CONT. TABLE 5.1 : SADRABAD BORE HOLE INFORMATIONS.

No	B.H.No	X	Y	Z	H.T.	B.T	F.T	F.D	Al2O3	SiO2	MODULE
43	31	1549	1769	2343	20.6	7.5	1.9	30			
44	32	1524	1726	2340	24.9	3.85	1.25	30	49.23	10.96	4.49
45	33	1501	1682	2337	30.85	5.7		36.55	47.49	7.82	6.07
46	34	1474	1639	2336	23.25	0.05	2.7	26			
47	35	1449	1595	2332	11	3.5	0.7	15.2	65.57	7.96	8.24
48	36	1424	1552	2329	2	2.8	1.2	6	50.13	7.06	7.10
49	37	1399	1509	2322	2.3	0	0.4	2.7			
50	38	1374	1465	2318	10.65			10.65			
51	39	1349	1422	2317	21.4	3.9	1.7	27			
52	41	1299	1336		33			33			
53	44	1717	1960	2362	15	7.5	0.5	23	49.36	11.96	4.13
54	45	1692	1917	2357	13.2	1.8	0.5	15.5			
55	46	1667	1873	2357	27.5	2.5	1.5	31.5			
56	47	1642	1830	2359	22.7	0.6	0.7	24			
57	48	1617	1787	2352	17.3	0.2	3.5	21			
58	49	1592	1743	2346	12.8	2.2	0.8	15.8	50.87	8.38	6.07
59	50	1567	1700	2343	23.7	3.5	1.8	29			
60	51	1542	1657	2328	19	7	1.1	27.1	50.63	10.67	4.75
61	52	1517	1613	2331	16.2	2.6	2.2	21	48.84	10.38	4.71
62	53	1492	1570	2322	7.1	3.4	1.5	12	44.65	14.51	3.08
63	54	1785	1978	2366	10.5	1	3	14.5			
64	53	S	1445	1540	2357	0	3.4	1	4.4		
65	55		1760	1935	2357	12.9	0.7	1.4	15	52.35	9.68
66	56		1735	1891	2355	25.3	1.75	0.35	27.4		
67	57		1710	1848	2349	32.3	1.5	0.6	34.4	52.76	6.48
68	58		1685	1804	2341	9.2	0.95	0.55	10.7	53.69	6.39
69	59		1660	1762	2339	8.4	2.7	1.1	12.2	50.05	6.75
70	60		1635	1718	2338	5.3	3.5	0.5	9.3	52.35	9.18
71	64		1535	1545	2332	18	0	9	27		
72	65		1510	1502	2329	28.2	1.8	1.4	31.4		
73	66		1485	1459	2327	31.7	1.65	0.35	33.7	47.03	12.95
74	67		1460	1416	2326	33	1.2	0.5	34.7	38.47	7.1
75	71		1871	2027	2365	4.2	2	0.5	6.7	36.37	14.86
76	71	A	1862	2033	2365	8.25	0	3.55	11.8		
77	72	A	1845	1983	2359	3.4	3.3	2.3	9		
78	73		1828	1953	2353	11.8	4.5	3.7	20	48.59	7.08
79	74	A	1778	1866	2355	24.45	3	1.25	28.7	19.08	9.38
80	74		1803	1909	2355	26.6	1.3	0	27.9	54.73	6.59
81	75		1753	1823	2350	11.25	5.75	3	20	43.9	9.33
82	76		1728	1779	2343	9.5	0.15	0.35	10		
83	77	A	1704	1740	2335	11.5	0	3.5	15		
84	78		1678	1693	2330	4	0.3	1.7	6		

S  
CONT. TABLE 5.1 : SADRABAD BORE HOLE INFORMATIONS.

No	BHNo	X	Y	Z	H.T.	B.T	F.T	F.D	Al2O3	SiO2	MODULE
85	79	1653	1649	2329	3.5	0	2.5	6			
86	80	1628	1606	2326	22.6	0	1.4	24			
87	81	1603	1563	2324	26.5	0	1.5	28			
88	82	1578	1520	2322	34.5	0	0.2	34.7			
89	91	A	1872	1928	2365	0	1.7	0.95	2.7	53.17	6.24
90	92	A	1847	1884	2361	5.65	1	2.35	9		
91	93		1822	1841	2360	12.1	0	2.9	15		
92	94		1797	1798	2346	9.5	0.1	5.4	15		
93	95	A	1772	1754	2341	15.7	1	2.3	19	35.69	30
94	96		1747	1711	2336	16.4	0	2.6	19		
95	97	A	1722	1668	2333	19.5	0	0.5	20		
96	98		1697	1624	2331	19			19		
97	99		1672	1581	2328	22.5	1.65	1.75	25.9	50.49	9.13
98	100		1647	1538	2326	13.8	2.2	4	20	49.95	9.69
99	101		1622	1495	2325	16.9	0	4.1	21		
100	102		1597	1451	2323	2			2		
101	111		1915	1904	2378	18.55	0	2.45	21		
102	112		1890	1859	2371	22.5	0.5	4	27	28.92	26.79
103	113		1865	1816	2363	19.5	0.1	1.4	21		
104	114		1840	1773	2354	15.3	0.1	4.1	19.5		
105	115		1815	1729	2348	26.5	0	1.5	28		
106	116		1790	1686	2345	32.25	0	0.75	33		
107	117		1765	1643	2342	16.4	0	1.6	18		
108	118		1740	1599	2338	26.9	0	0.6	27.5		
109	119		1715	1556	2334	16.1	0	3.9	20		
110	120		1690	1513	2333	9.5	0	5.5	15		
111	121		1665	1570	2331	4			4		
112	122		1640	1426		2			2		
113	131		1983	1921	2378	15.7	5.3	2	23	49.11	8.35
114	133		1933	1834	2366	16.6	0.2	1.2	18		
115	134		1908	1791	2362	11	0	2	13		
116	136		1858	1704	2345	6.8	0	2.2	9		
117	140		1758	1531	2335	19.3	0	1.7	21		
118	141		1733	1488	2335	2.8	0	3	5.8		
119	152	A	2038	1917	2378	4.5	0	4.5	9		
120	153		2026	1896	2373	25.5			25.5		
121	154		2001	1852	2367	8.1	1.15	1.45	10.7		
122	155		1976	1809	2363	7	0	2	9		
123	162		2119	1957	2390	32			32		
124	163		2094	1911	2381	18.5	0	2.5	21		
125	164		2069	1871	2372	6.8	2.2	2	11	18.45	25.65
126	165		2044	1827	2366	14	0	1.3	15.3		0.72

S  
CONT. TABLE 5.1 : SADRABAD BORE HOLE INFORMATIONS.

No	B.H.No	X	Y	Z	H.T.	B.T	F.T	F.D	Al2O3	SiO2	MODULE
127	166	2019	1784	2364	11.25	0	4.05	15.3			
128	169	2162	1933	2386	22.75	2.15	0.6	25.5	37.67	18.17	2.07
129	170	2137	1889	2377	23.4	2.3	1.3	27	52.99	10.71	4.95
130	174	2230	1951	2404	24	0	2	26			
131	175	2205	1907	2393	18.4	0	2.6	21			
132	176	2180	1864	2384	9.9	1.5	0.6	12	8.19	4.02	2.04
133	178	2273	1926	2402	16.8	0	1.6	18.4			
134	179	2253	1888	2401	11	3.5	3.5	18			
135	180	2222	1839	2394	11.8	3.5	2.9	18.2	55.22	7.07	7.81
136	182	2316	1901	2413	0	0	6	6			
137	183	2291	1857	2400	0	0	3	3			
138	188	A	2089	2194	2405	12.9	0.35	1.75	15		
139	189		1985	2325	2396	9.3	1.2	4.5	15	49.5	7.05
140	192		2021	2188		10.4	0.1	1.5	12		
141	194	A	2020	2295	2396	29.75	2.25	0.7	32.7	48.78	13.14
142	195	A	2003	2237	2385	20.2	3.2		23.4	48.14	11.73
143	198	A	1985	2349	2382	13.95	4.8	2.25	21	49.24	7.84
144	199		1960	2281	2377	5	0	1	6		
145	202		1967	2393	2391	18.4	2.8	1.8	23	49.66	6.39
146	204		1917	2307	2372	9	4.75	2.75	16.5	49.58	6.38
147	206		1943	2452	2380	33.1	0.2		33.3		
148	207		1923	2418	2368	16	3.2	2.8	22	45.83	8.69
149	210		1848	2288	2360	0	0	2.8	2.8		
150	211		1930	2530	2403	23.5	3.8	1.7	29	52.41	3.7
151	212		1905	2487	2393	20.3	7.4	0.5	28.2		
152	213		1880	2443	2383	10.2	4	0.8	15	52.49	4.74
153	214		1855	2400	2375	3.1	0	2.9	6	55.13	5.75
154	216		1805	2313	2354	3.85	0.5	1.65	6	49.7	11.15
155	218		1912	2598	2399	11.45	4.4	2.15	18		
156	219		1887	2554	2394	9.2	2.9	2.9	15	46.6	9.62
157	220		1862	2511	2389	18.4	2.95	2.65	24	50.22	8.48
158	221		1837	2468	2389	14.1	6.9		21		
159	225	A	1726	2295	2363	6	2.55	2.45	11	53	11.9
160	226	A	1701	2234	2361	11.15	1.7	2.15	15		
161	227		1687	2208	2357	7.4	3.1	3.5	14	49.17	10.28
162	230		1487	1862		28	0	1.5	29.5		
163	232		1437	1776	2341	33			33		
164	233		1412	1732		36.5			36.5		
165	234		1387	1689		24	5.05	0.95	30	49.19	4.96
166	235		1893	2666	2386	9.2	0.15	2.65	12		
167	239		1793	2494	2392	14.7	5.1	1.2	21	50.77	7.94
168	240		1768	2450	2390	19.8	5.1	1.6	26.5		

5  
CONT. TABLE 5.1 : SADRABAD BORE HOLE INFORMATIONS.

No	B.H.No	X	Y	Z	H.T.	B.T	F.T	F.D	Al2O3	SiO2	MODULE
169	241	1743	2407	2384	28.1	0	2.9	31			
170	242	1718	2363	2373	15.2	0.95	3.85	20	30.48	28.64	1.06
171	243	1693	2320	2364	6.1	3.4	2.5	12	53.78	6.78	7.93
172	244	1668	2277	2356	24			24			
173	245	1643	2233	2352	28.75	3	1.25	33	50.4	16.4	3.07
174	246	1618	2190	2348	11.55	0	0.45	12			
175	252	1444	1889		33.2			33.2			
176	254	1394	1802	2338	33.3			33.3			
177	255	1396	1757		29	0	1.2	30.2			
178	255	1369	1759		29	0	1.2	30.2			
179	258	1294	1629		12.3			12.3			
180	261	1219	1499		25			25			
181	264	1144	1368		33.2			33.2			
182	269	1775	2561	2376	12.2	0.15	2.65	15			
183	270	1750	2518	2386	25.25	0.25	2.5	28			
184	271	1725	2475	2395	33.3			33.3			
185	275	1625	2302	2363	33			33			
186	276	1600	2258	2361	33			33			
187	277	1575	2215	2352	27.5	0.5	1	29	58.07	11.85	4.90
188	278	1550	2172	2347	15.15	0.05	2.3	17.5			
189	279	1525	2128	2343	16			16			
190	280	1500	2085	2341	14	2.05	1.95	18			
191	281	1475	2042	2336	30.75	2.7	0.65	34.1	49.41	4.63	10.67
192	283	1425	1955	2336	30.6			30.6			
193	287	1325	1782		18.3			18.3			
194	289	1275	1696		15			15			
195	294	1150	1479		33.3			33.3			
196	309	1507	2197		33			33			
197	310	1482	2154		23			23			
198	312	1432	2067		30.5	0	2	32.5			
	368	1300	1110		63	0	5.15	68.15			
	394	1120	1205		50.1	0.5	5.1	56.5			
	416	1125	1150		100	0.2	2.5	120.7			
	420	635	1300		88.2	2	7.8	98			
SUM					3580	353.35	322	4274.5			
AVG					17.72	2.031	1.93	21.16	47.494	9.8101	5.8327
STD					12.8	2.1	1.4	13.2	8.3	4.9	2.5
VAR					163.8	4.2	2.0	173.9	69.0	24.5	6.4
NUMBER					202	174	167	202	83	83	83

B.H.N = Bore hole number

F.D. = Final depth

H.T = Hangingwall thickness

B.T = Bauxite thickness

F.T = Footwall thickness

TABLE 5.2 : Calculation deposit table by cross section system

REC.No	B.H.No	CHARACTERISTICS OF BORE HOLE				AVG
		O.TH.	188	189		
S.2	O.T.H.	0.35	1.2			0.78
	W.T.H.	12.9	9.3			11.10
	SiO <sub>2</sub> %		7.05			7.05
	Al <sub>2</sub> O <sub>3</sub> %		49.5			49.50
S.4	MODULE	7.02				7.02
	B.H.No	194	195	196		
	O.T.H.	2.25	3.2	0		1.82
	W.T.H.	29.75	20.2	0		16.65
S.6	SiO <sub>2</sub> %	13.14	11.7			12.29
	Al <sub>2</sub> O <sub>3</sub> %	48.47	48.14			48.28
	MODULE	3.69	4.11			3.93
	B.H.No	197	198	199		
S.8	O.T.H.	3	4.8	0		2.60
	W.T.H.	19	13.95	5		12.65
	SiO <sub>2</sub> %		7.87			7.87
	Al <sub>2</sub> O <sub>3</sub> %		49.24			49.24
S.10	MODULE	6.26				6.26
	B.H.No	202	203	204		
	O.T.H.	2.8	3.4	4.75		3.65
	W.T.H.	18.4	14.2	9		13.87
S.12	SiO <sub>2</sub> %	6.39		6.38		6.38
	Al <sub>2</sub> O <sub>3</sub> %	49.66		49.57		49.60
	MODULE	7.77	7.77			7.77
	B.H.No	206	207	208	209	210
S.14	O.T.H.	2	3.2	0	0	1.04
	W.T.H.	36	16	0	0	10.40
	SiO <sub>2</sub> %		8.69			8.69
	Al <sub>2</sub> O <sub>3</sub> %		45.83			45.83
S.16	MODULE	5.27				5.27

CONT. TABLE 5.2 : Calculation deposit table by cross section system

REC. No	B.H.No	CHARACTERISTICS OF BORE HOLE						AVG
		211	212	213	214	215	216	
S.12	O.TH.	3.8	7.4	4	0	0	0.5	0
	W.TH.	23.5	20.3	10.2	3.1	0	3.85	0
	SiO <sub>2</sub> %	3.7		4.74				
	Al <sub>2</sub> O <sub>3</sub> %	52.41		52.49				
	MODULE	14.16		11.07				
	B.H.No	218	219	220	221	222	223	224
S.14	O.TH.	4.4	2.9	2.95	6.9	0	0	2.25
	W.TH.	11.45	9.2	18.4	14.1	0	0	6
	SiO <sub>2</sub> %			8.48				11.15
	Al <sub>2</sub> O <sub>3</sub> %			46.5	50.21			7.4
	MODULE			4.75	5.92			10.28
	B.H.No	235	236	237	238	239	240	227
S.16	O.TH.	0.15	0	0	5.1	5.1	0	0.95
	W.TH.	9.2	0	0	14.7	19.8	28.1	15.2
	SiO <sub>2</sub> %				7.94			6.1
	Al <sub>2</sub> O <sub>3</sub> %				50.77			28.6
	MODULE				6.39			6.78
	B.H.No	268	269	270	271	272	273	274
S.18	O.TH.	0	0.15	1.25	1.5	2	3.2	2.5
	W.TH.	0	12.2	25.25	43.5	42.9	43.5	42.5
	SiO <sub>2</sub> %							44
	Al <sub>2</sub> O <sub>3</sub> %							42
	MODULE							27.5
	B.H.No	182	183	184				27.5
S.20	O.TH.	0	0	0				27.5
	W.TH.	0	0	0				27.5
	SiO <sub>2</sub> %							17
	Al <sub>2</sub> O <sub>3</sub> %							15.5
	MODULE							11.9

CONT. TABLE 5.2 : Calculation deposit table by cross section system

SEC.No	B.H.No	CHARACTERISTICS OF BORE HOLE				AVG
		O.TH.	3.5	3.5	180	
S.22	O.T.H.	0	3.5	3.5	0	1.75
	W.T.H.	16.8	11	11.8	0	9.90
	SiO2%			7.07		7.07
	Al2O3%			55.22		55.22
S.24	MODULE			7.81		7.81
	B.H.No	175	176	177		
	O.T.H.	0	1.5	0		0.50
	W.T.H.	18.4	9.9	0		9.43
S.26	SiO2%		4.02			4.02
	Al2O3%		8.19			8.19
	MODULE		2.04			2.04
	B.H.No	168	169	170	171	
S.28	O.T.H.	2	2.15	2.3	2.9	2.34
	W.T.H.	23	22.75	23.4	18.5	21.91
	SiO2%		18.2	10.7		14.32
	Al2O3%		37.67	52.99		45.59
S.30	MODULE		2.07	4.95		3.18
	B.H.No	163	164	165		
	O.T.H.	0	2.2	0		0.73
	W.T.H.	18.5	6.8	14		13.10
	SiO2%		25.7			25.70
	Al2O3%		18.45			18.45
	MODULE		0.72			0.72
	B.H.No	152	153	154	155	
	O.T.H.	0	3	1.15	0	1.04
	W.T.H.	4.5	29.3	8.1	7	12.23
	SiO2%					0.00
	Al2O3%					0.00
	MODULE					

CONT. TABLE 5.2 : Calculation deposit table by cross section system

REC.No	CHARACTERISTICS OF BORE HOLE						AVG
	B.H.No	131	132	133	134		
S.32	O.T.H.	5.3	3	0.2	0		2.13
	W.T.H.	15.7	15	16.6	11		14.58
	SiO2%	8.35					8.35
	Al2O3%	49.11					49.11
S.34	MODULE	5.88					5.88
	B.H.No	111	112	113	114		
	O.T.H.	0	0.5	0.1	0.1		0.18
	W.T.H.	18.55	22.5	19.5	15.3		18.98
S.36	SiO2%		28.8				28.80
	Al2O3%		28.92				28.92
	MODULE	1.08					1.08
	B.H.No	92	93	94	95		
S.38	O.T.H.	1	0	0.1	1	0	0.72
	W.T.H.	5.65	12.1	9.5	15.7	16.4	15.67
	SiO2%	6.24		30			12.41
	Al2O3%	53.17		35.69			48.22
S.40	MODULE	8.52		1.19			3.88
	B.H.No	71	72	73	74		
	O.T.H.	1	3.3	4.5	3	5.75	2.00
	W.T.H.	8.25	3.4	11.8	24.45	11.25	9.74
S.42	SiO2%	14.9		7.08	6.59	9.33	8.43
	Al2O3%	36.37		48.59	54.73	43.9	47.13
	MODULE	2.44		6.86	8.31	4.71	5.59
	B.H.No	54	55	56	57	59	
S.44	O.T.H.	1	0.7	1.75	1.5	0.95	1.52
	W.T.H.	10.5	12.9	25.3	32.3	9.2	17.93
	SiO2%	9.88		6.48	6.39	6.75	8.12
	Al2O3%	52.35		52.76	53.69	50.05	49.80
S.46	MODULE	5.30		8.14	8.40	7.41	6.13
	B.H.No	61	62	63	64	65	
	O.T.H.				2	0	1.8
	W.T.H.				0	18	1.2
S.48	SiO2%					31.7	33
	Al2O3%					13	7.1
	MODULE					47.03	38.47
	B.H.No					3.62	5.42

CONT. TABLE 5.2 : Calculation deposit table by cross section system

SEC. NO	B.H.NO	CHARACTERISTICS OF BORE HOLE										AVG
		44	45	46	47	48	49	50	51	52	53	
S.42	O.T.H.	7.5	1.8	2.5	0.6	0.2	2.2	3.5	7	2.6	3.4	3.13
	W.T.H.	15	13.2	27.5	22.7	17.3	12.8	23.7	19	16.2	7.1	17.45
	SiO <sub>2</sub> %	11.69					8.38		8.44	10.4	14.5	10.64
	Al <sub>2</sub> O <sub>3</sub> %	49.36					50.87		51.41	48.84	44.65	49.37
	MODULE	4.22				6.07			6.09	4.70	3.08	4.64
S.44	B.H.NO	27	28	29	30	31	32	33	34	35	36	37
	O.T.H.	1.3	2.8	0	0.5	7.5	3.85	5.7	0.05	3.5	3	0
	W.T.H.	28.7	21.2	17.35	13.15	20.6	24.9	30.85	23.25	11	1.5	2.3
	SiO <sub>2</sub> %	11.8					11	7.82		7.69		
	Al <sub>2</sub> O <sub>3</sub> %	37.87				49.23	47.49		56.57			48.22
S.46	MODULE	3.26				4.48	6.07		7.36			5.22
	B.H.NO	13	14	15	16	17	18	19	20	21	22	23
	O.T.H.	0	3.1	3	3	3	3	3.05	2.1	0	4.1	1.9
	W.T.H.	24.25	28	25	21	18	14.5	4.5	19.9	10.3	3.5	18.35
	SiO <sub>2</sub> %	11						7.95		13.07	9.3	38
S.48	Al <sub>2</sub> O <sub>3</sub> %	49.1					49.51			41.63		8.39
	MODULE	4.46				6.23			3.19		6.09	
	B.H.NO	230	231	232	233	234	1	2	3	4	5	6
	O.T.H.	0	2	3	3.5	5.05	3	2.5	1.8	4.7	3.1	3.85
	W.T.H.	28	38	39	31	24	23	22	22.2	14.8	2.6	0
	SiO <sub>2</sub> %				4.96				8.35	6.54	8.95	8.34
	Al <sub>2</sub> O <sub>3</sub> %				49.19				49.11	45.74	47.1	48.71
	MODULE				9.92				5.88	6.99	5.26	5.84

O = Ore

W = Waste

TH = Thickness

TABLE 5.3 : Calculation deposit table for SADRABAD area

BLU. SEC.N	SEC.DIMENSIONS	VOLUME(th M3)						WEIGHT(th TON)						ANALYSIS		
		W	O	EFFECT(M)	W	O	W/O	W	O	W/O	Al2O3%	SiO2%	MODULE	O*Al2O3%	O*SiO2%	
N 2	105*11.1	105*0.78	75	87	6	14.2	218	18	11.9	49.50	7.05	7.02	912	130		
N 4	144*16.85	144*1.82	75	180	20	9.1	450	59	7.6	48.28	12.29	3.83	2847	725		
N 6	125*12.65	125*2.6	50	79	16	4.9	198	49	4.1	49.24	7.87	6.26	2400	384		
N 8	168.5*13.87	168.5*3.65	50	118	31	3.8	294	93	3.2	49.80	6.38	7.77	4603	592		
N 10	228*10.4	228*1.04	50	118	12	10.0	298	36	8.3	45.83	8.69	5.27	1637	310		
N 12	323.5*8.71	323.5*2.24	50	141	36	3.9	352	109	3.2	52.45	4.23	12.40	5701	460		
N 14	488*7.77	488*2.42	50	183	60	3.2	484	181	2.7	49.55	10.01	4.85	8857	1810		
N 16	630*13.62	630*1.73	50	428	54	7.9	1073	183	6.6	49.98	11.36	4.40	8168	1857		
N 18	622*28.45	622*1.31	50	885	41	21.7	2212	122	18.1	51.11	6.86	7.67	6247	814		
NE 20	0	0	50	0	0	0	0	0	0			0	0	0		
NE 22	174*9.9	174*1.75	50	88	15	5.7	215	48	4.7	55.22	7.07	7.81	2522	323		
NE 24	80*9.43	80*0.5	50	38	2	18.9	84	6	15.7	8.18	4.02	2.04	49	24		
NE 26	197*21.91	197*2.34	50	216	23	9.4	540	68	7.8	45.59	14.32	3.18	3152	880		
NE 28	100*13.1	100*0.73	50	68	4	17.9	184	11	15.0	18.45	25.70	0.72	202	281		
NE 30	150*12.23	150*1.04	50	92	8	11.8	229	23	9.8			0	0	0		
NE 32	192*14.58	192*2.13	50	140	20	6.8	350	61	5.7	49.11	8.35	5.88	3013	512		
NE 34	168*18.97	168*0.18	50	157	1	105.4	384	4	87.8	28.92	26.80	1.08	130	120		
NE 36	455*15.67	455*0.72	50	356	16	21.8	891	49	18.1	48.22	12.40	3.88	2370	609		
NE 38	400*9.74	400*2	50	195	40	4.9	487	120	4.1	47.13	8.43	5.58	5656	1012		
NE 40	510*17.93	510*1.52	50	457	39	11.8	1143	116	9.8	49.93	8.12	6.13	5791	844		
C 42	500*17.45	500*3.13	50	436	78	5.6	1091	235	4.6	49.37	10.64	4.64	11580	2498		
C 44	690*18.45	690*2.72	50	637	84	6.8	1591	282	5.7	48.22	9.23	5.22	13575	2598		
C 46	800*18.05	800*3.3	50	542	89	5.5	1354	297	4.6	48.40	9.79	4.84	14375	2908		
C 48	650*20.69	650*3.28	50	672	107	6.3	1681	320	5.3	47.08	7.84	6.16	15056	2443		
TOTAL			6321	823	7.7	15802	2469	6.4	48.17	9.05	5.32					
TOTAL EXCEPT S.18 S.34 S.36			4922	764	6.4	12305	2293	5.4	48.05	9.07	5.30					
TOTAL EXCEPT S.24 S.28 S.34			6060	816	7.4	15150	2448	6.2	48.44	8.95	6.41					
TOTAL EXCEPT S.18 S.24 S.28 S.34 S.36			4319	759	6.3	12047	2277	5.3	48.3	9.00	5.37					

\* O=ORE W=WASTE S=SECTION

نتایج نمونه های سطحی برداشت شده از بخش جنوب شرقی کانسار در مرحله اکتشاف نیمه تفصیلی نشان داد که کیفیت ماده معدنی در این بخش چندان رضایت بخش نیست و بطور کلی می توان بخشی از لinzهای این منطقه را که کیفیت مناسبتر دارند استخراج نمود.

کمانه های حفاری شده نیز در منطقه نشان داد که اولاً "ماده معدنی در عمق پیوستگی چندانی ندارد، ثانیاً" نمونه های برداشت شده کیفیت مطلوبی را نشان ندادند.

با نتایج فوق در این کانسار فقط باید به بخش های سطحی ماده معدنی توجه شود، زیر تکتونیک شدید و نفوذ توده های آذرین متعدد و احتمالاً سایر عوامل باعث آلودگی کانسار در عمق شده اند و در این کانسار باقیستی لinzهای با کیفیت مناسبتر که در جداول مربوطه آمده اند انتخاب و با نمونه برداری دقیق تر اقدام به استخراج آنها گردد.

## منابع

---

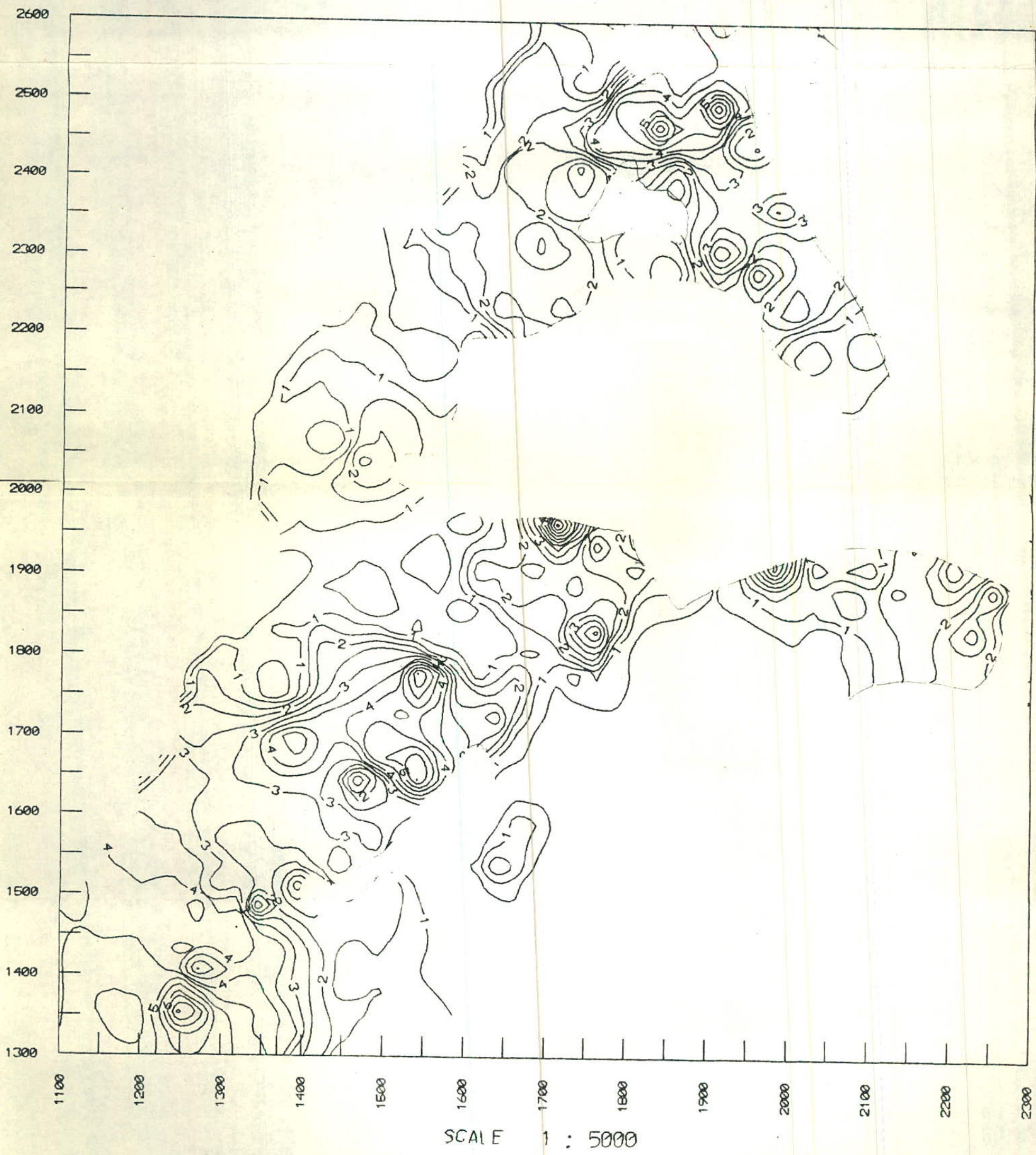
فهرست منابع بترتیب استفاده در متن می باشد .

- 1 - G. Bardossy Karst Bauxite 1982
- 2 - G. Bardossy & G.J.J Aleva Lateritic Bauxite 1990
- 3 - شادمانی علی اصغر پتانسیل بوکسیت‌های البرز و کاربرد صنعتی آنها ( سمینار کارشناسی ارشد ) ۱۳۷۴
- 4 - شهریاری محمد بوکسیت‌های کارستی با بستر کربناته ۱۳۶۵
- 5 - خسرو تهرانی خسرو چینه شناسی ایران ۱۳۶۷
- 6 - احمدزاده محمود تکتونیک و کانی سازی در ایران ( جزو درسی )
- 7 - احمدزاده محمود اکتشاف کانه های فلزی ( جزو درسی )
- 8 - خسرو آبادی گزارش پی‌جویی کانسارهای بوکسیت غرب یزد ۱۳۶۷
- 9 - دکتر حسنی پاک تحلیل آماری داده‌های مقدماتی بوکسیت‌های یزد
- 10 - اسماعیلزاده نامی گزارش اکتشاف مقدماتی کانسارهای بوکسیت یزد ۱۳۷۲
- 11 - شرکت تهیه مواد اولیه آلومینیوم گزارش های نقشه های زمین شناسی ۱:۵۰۰۰ و ۱:۲۰۰۰ کانسارهای بوکسیت یزد
- 12 - دکتر حسنی پاک نمونه برداری معدنی

ضمائِم

نقشه شماره ۵

SADRABAD BAUXITE DEPOSIT (ISOCORE MAP FOR ORE)



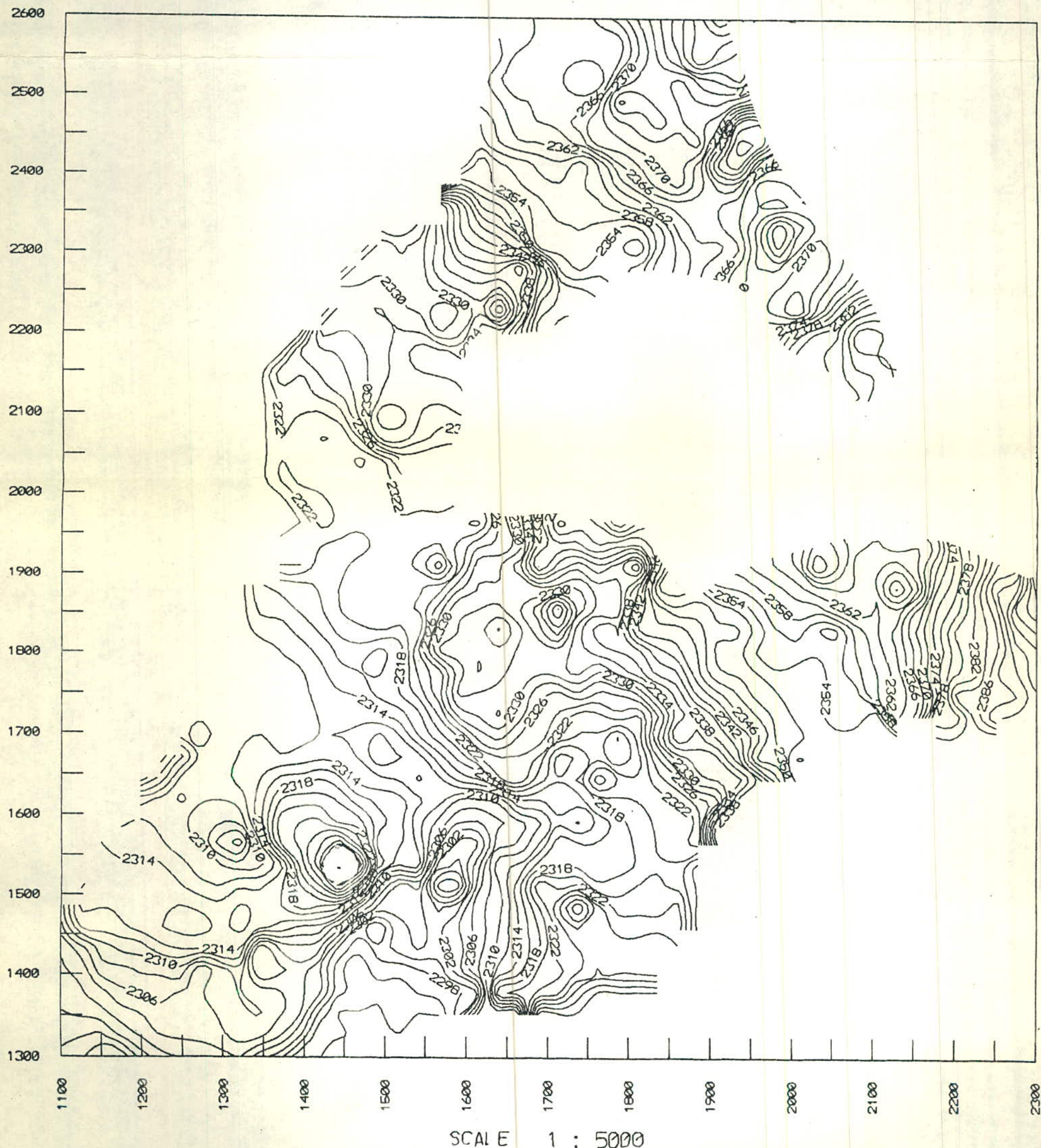
نقشه شماره ۵

SADRABAD BAUXITE DEPOSIT. (ISOCOR MAP FOR WASTE)



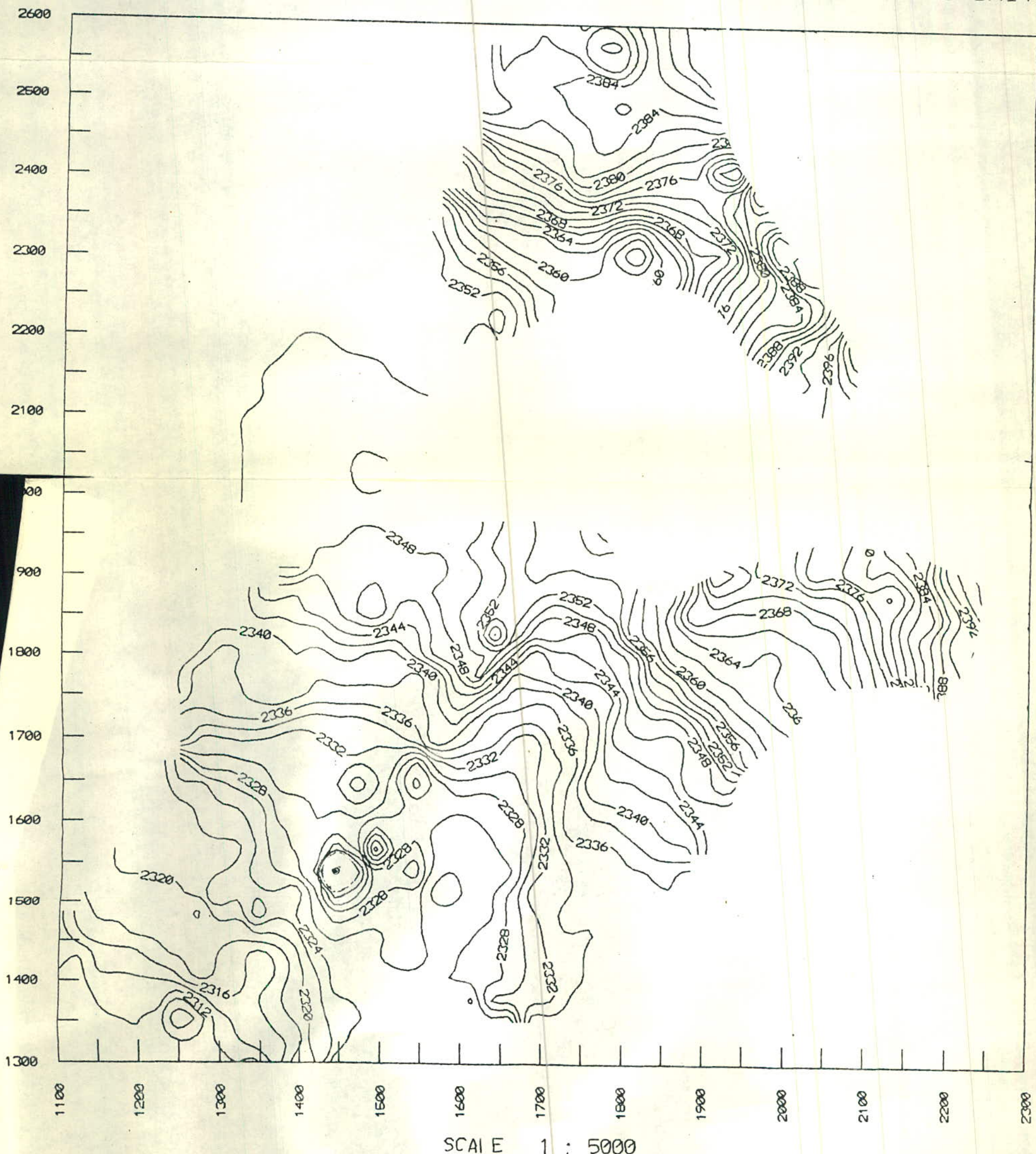
نقشه شماره ۶

SADRABAD BAUXITE DEPOSIT ( ISODEPTH MAP FOR TOP OF BAUXITE)



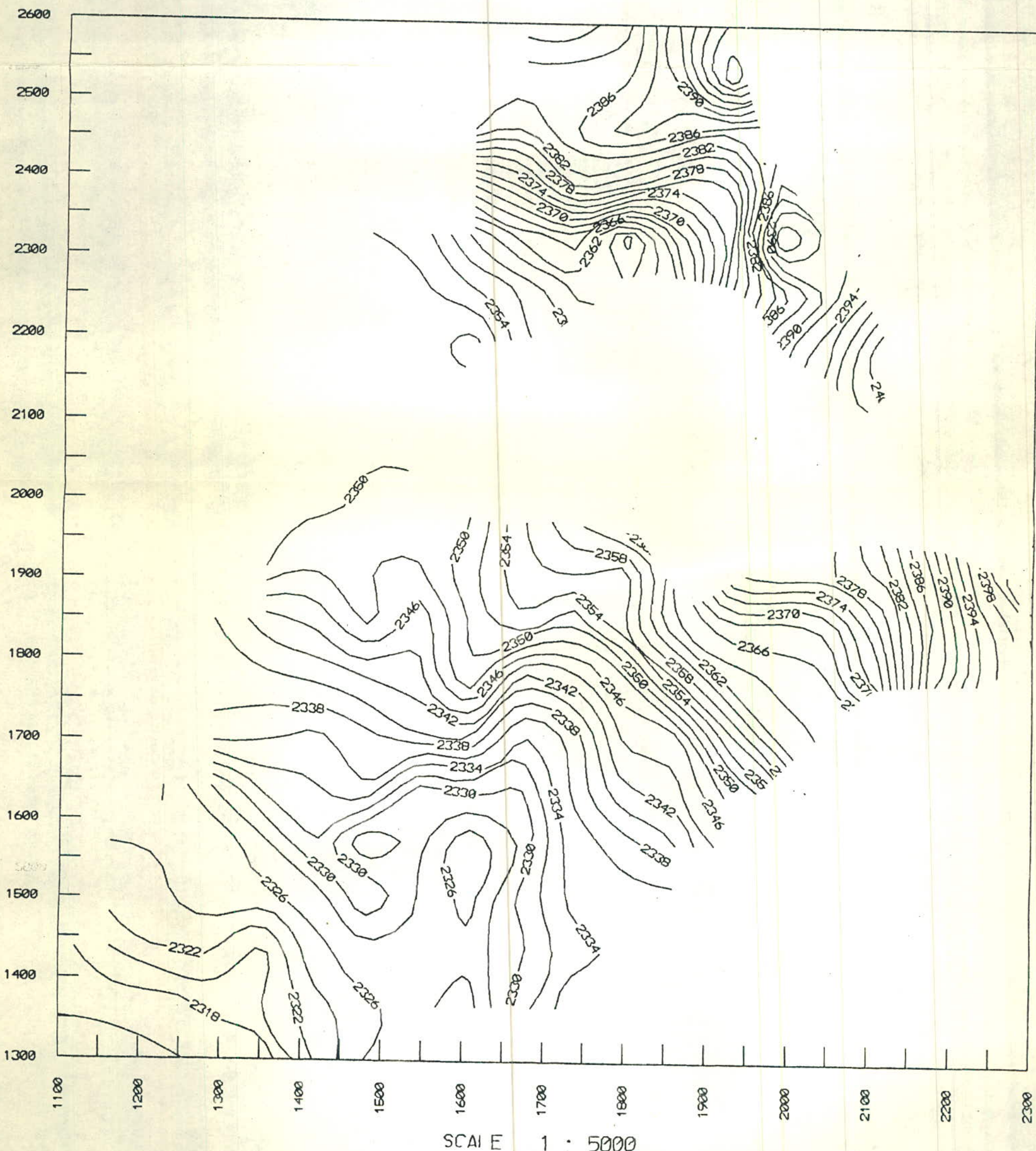
نقطه شماره ۷

SADRABAD BAUXITE DEPOSIT (ISODEPTH MAP FOR BOTTOM OF BAUXITE)



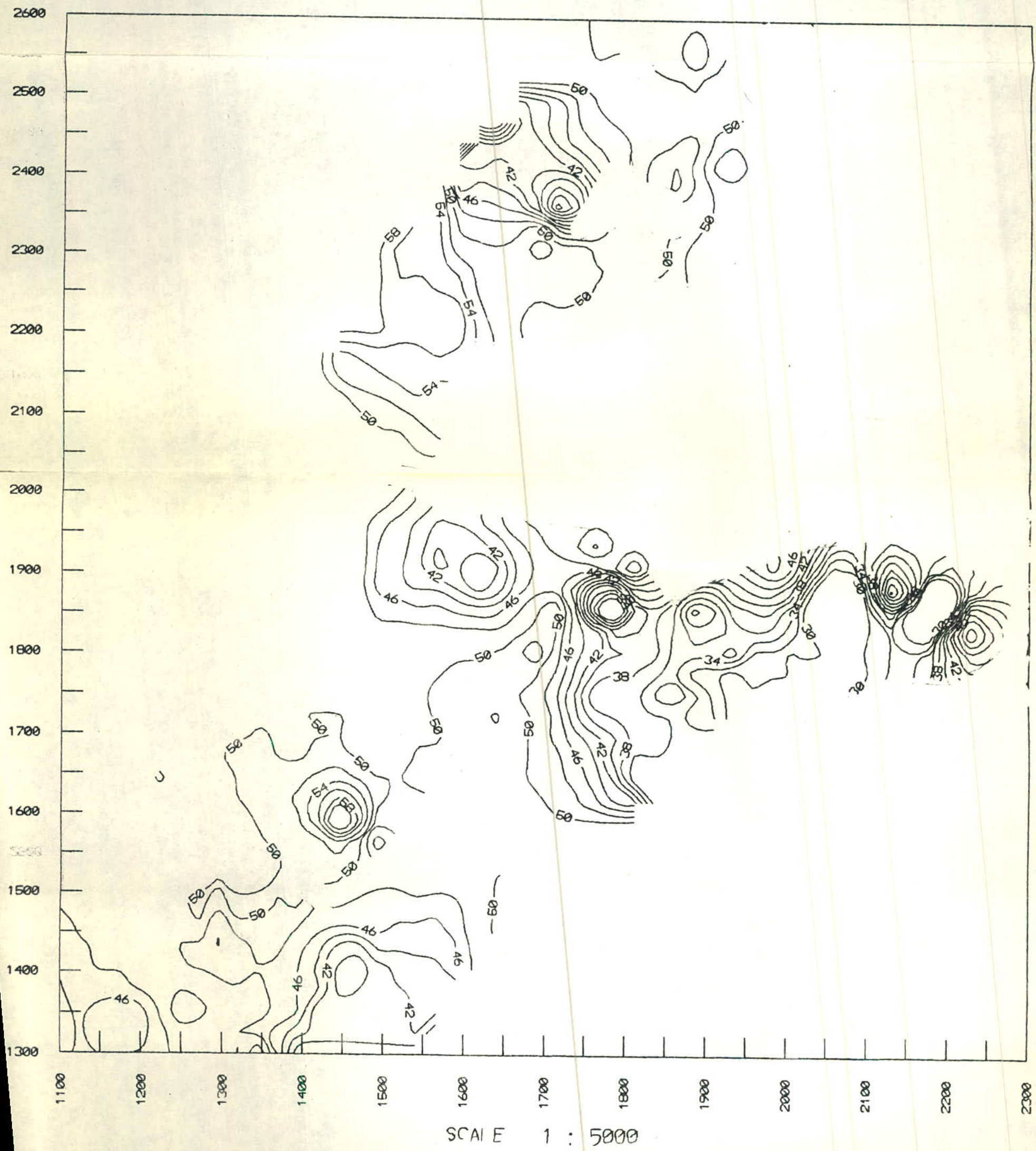
نقشه شماره ۸

SADRABAD BAUXITE DEPOSIT (TOPOGRAPHIC MAP)



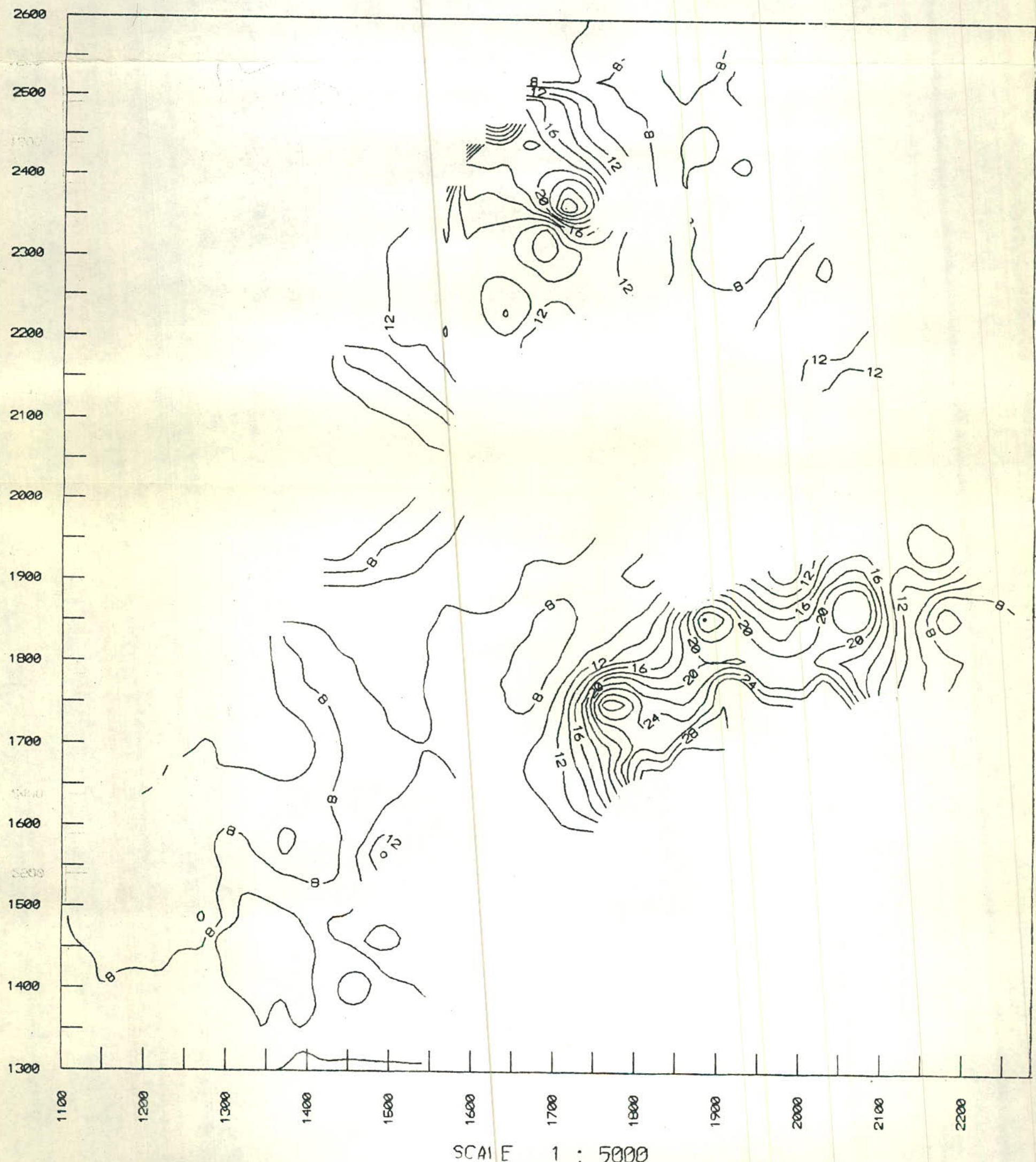
نقشه شما ره ۱۲

SADRABAD BAUXITE DEPOSIT (ISOGRAD MAP FOR AI 203)



نقشه شماره ۱۳

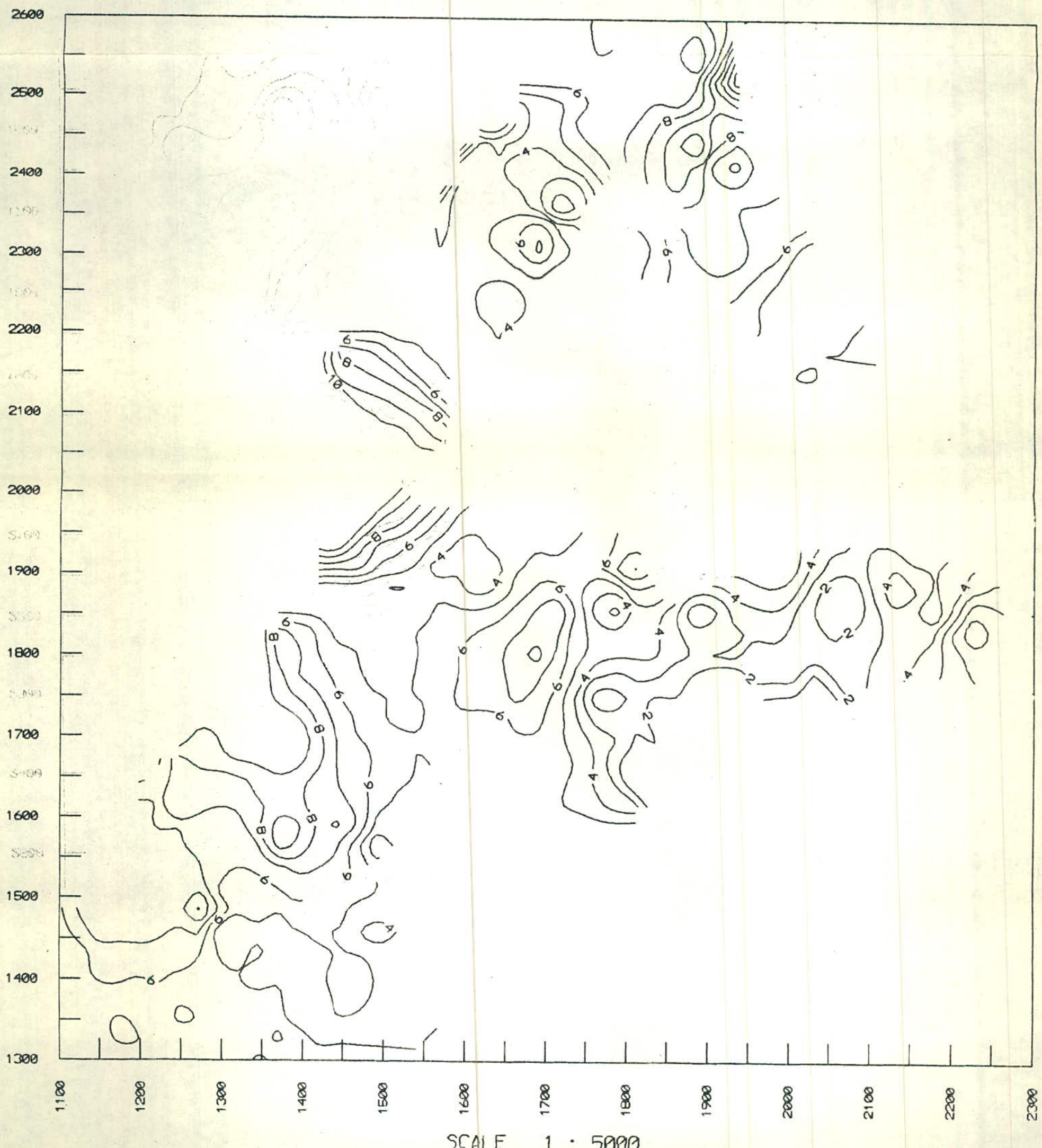
SADRABAD BAUXITE DEPOSIT (ISOGRADE MAP FOR S102)



SCALE 1 : 5000

نقشه شماره ۱۴

SADRABAD BAUXITE DEPOSIT ( ISOGRADE MAP FOR MODULE)



SCALE 1 : 5000